

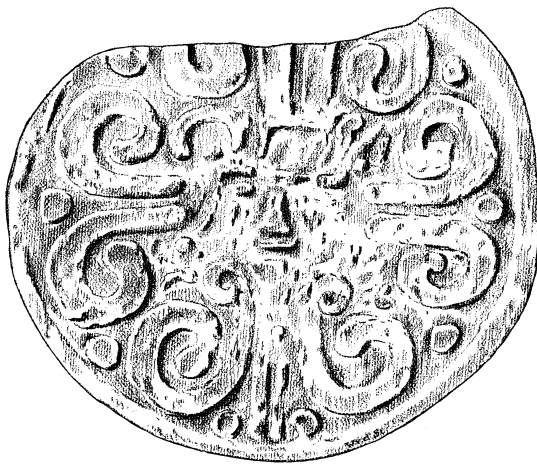
PROYECTO ARQUEOLÓGICO DE LA REGIÓN DE CHACULÁ

REPORTE DE LAS ACTIVIDADES DE CAMPO DE LA TEMPORADA 2014

Ulrich Wölfel

Paola Torres

Editores



Informe Presentado al Instituto de Antropología e Historia de Guatemala

Nueva Guatemala de la Asunción, Febrero de 2015

AGRADECIMIENTOS

La realización de la temporada de campo 2014 del Proyecto Arqueológico de la Región de Chaculá (PARCHA), fue posible gracias al apoyo incondicional de varias instituciones y personas que respaldaron las investigaciones efectuadas.

En primer lugar, se agradece a la Dirección General del Patrimonio Cultural y Natural, a su director licenciado Oscar Mora, quien brindó el permiso legal para la realización de los trabajos. Al Departamento de Monumentos Prehispánicos y Coloniales por su valiosa colaboración en los trámites administrativos y de supervisión de campo, muy especialmente a la licenciada Ana Lucía Arroyave, Jefa del Departamento, la licenciada Mónica Pellecer, sub jefa y la licenciada Carmen Ramos supervisora del proyecto y quien ha brindado todo su apoyo en la ejecución del mismo.

También a cada una de las personas de la comunidad Nueva Esperanza Chaculá, en especial a la Junta Directiva de la Cooperativa Los Pinos R.L. por su colaboración e interés para el desarrollo del proyecto y a todos los trabajadores que participaron en esta temporada por su dedicación a cada una de las actividades realizadas como parte de trabajo de campo y quienes hicieron una inestimable contribución al éxito del proyecto.

Asimismo agradecemos a las autoridades de la aldea Guaxacaná y el encargado de turismo de Yalambojoch por permitirnos llevar a cabo el reconocimiento dentro de sus terrenos, así como a Don Alonso de La Trinidad quien con su experiencia y conocimiento sobre la historia de la región fue un guía esencial. También agradecemos a la alfarera que nos mostró parte de la práctica ancestral en el proceso de manufactura y producción cerámica en El Aguacate.

Un especial reconocimiento a la Fundación Alemana de América Antigua (Deutsche Altamerikastiftung) por su confianza en esta investigación, apoyando académica y financieramente la realización de la misma. Por sus valiosos consejos y asesoramiento en la preparación del proyecto se agradece al Dr. Nikolai Grube y jun. Prof. Dr. Frauke Sachse, ambos de la Universidad de Bonn y a la Dra. Iken Paap del Instituto Iberoamericano, Berlin. Al Dr. Christian Prager y la Mtra. Elli Wagner de la Universidad de Bonn por su apoyo en la elaboración de la propuesta. Al M.A. Victor Castillo de la Universidad de Arizona, Tucson, por su respaldo en la preparación de la presente temporada y quien ha formado parte del equipo desde el inicio de las investigaciones en la zona, aunque no pudo participar en PARCHA 2014.

Finalmente, el agradecimiento al Dr. Markus Eberl de la Universidad de Vanderbilt Nashville, por su generoso préstamo de una estación total sin la cual las labores de mapeo no hubieran sido posibles. Al Sr. Dieter Richter por su paciencia y apoyo en la búsqueda de las piezas de la estación en Flores, Petén y a Alejandro Garay de la Universidad de San Carlos de Guatemala, por la realización de un taller de epigrafía dirigido a los pobladores de la comunidad de Chaculá.

Índice general

1	Introducción	
	<i>Paola Torres y Ulrich Wölfel</i>	1
2	Reconocimiento Arqueológico en la Región de Chaculá	
	<i>Ulrich Wölfel</i>	7
3	Mapeo del sitio arqueológico Chaculá	
	<i>Ulrich Wölfel</i>	47
4	Excavaciones de pozos de sondeo en los Grupo A y B del sitio arqueológico Chaculá	
	<i>Paola Torres, Mauricio Díaz, Dora García y Ulrich Wölfel</i>	68
5	Análisis de materiales arqueológicos	
	<i>Dora García y Paola Torres</i>	114
6	Notas sobre la producción de cerámica en El Aguacate	
	<i>Ulrich Wölfel, Paola Torres y Dora García</i>	200
7	Conclusiones	
	<i>Ulrich Wölfel y Paola Torres</i>	206
8	Bibliografía	209

Índice de figuras

Figura 1.1	Mapa de Guatemala indicando la Región de Chaculá	2
Figura 1.2	Mapa de la Región de Chaculá con sitios arqueológicos	6
Figura 2.1	Chaculá, CHA-4 / Templo del Este, mapa de Seler (1901)	24
Figura 2.2	Chaculá, CHA-4, vista frontal de las estructuras, dibujo tomado de Seler (1901); muro del edificio al oriente	24
Figura 2.3	Chaculá, CHA-5 / “Templo y fundamento de una casa”, mapa de Seler (1901)	25
Figura 2.4	Chaculá, CHA-5, muro preservado; subterráneo	25
Figura 2.5	Chaculá Viejo, CHA-6, fundamento de un edificio	26
Figura 2.6	Cerro Cimarrón, lado sur, croquis del sitio	27
Figura 2.7	Cerro Cimarrón, lado oeste, croquis del sitio	28
Figura 2.8	Cerro Cimarrón, lado oeste, muro preservado	28
Figura 2.9	El Cimarrón, la piedra redonda	29
Figura 2.10	Uaxac Canal, Grupo Piedra Parada, mapa de Seler (1901)	29
Figura 2.11	Uaxac Canal, Grupo Piedra Parada, las excavaciones de Seler	30
Figura 2.12	Uaxac Canal, Grupo Piedra Parada	30
Figura 2.13	Uaxac Canal, grupo al lado de la piedra parada, el posible “Grupo E”, mapa de Seler (1901)	31
Figura 2.14	Uaxac Canal, “Grupo E”, las tres estructuras al este	32
Figura 2.15	Uaxac Canal, “Grupo E”, posible monumento y cueva	32
Figura 2.16	Uaxac Canal, Grupo Llano, mapa de Seler (1901)	33

Figura 2.17 Uaxac Canal, Grupo Llano, la estructura principal, vista desde el lado de atrás	33
Figura 2.18 Uaxac Canal, Grupo Llano, la cancha para el juego de pelota	34
Figura 2.19 Uaxac Canal, Grupo Ventana, mapa de Seler (1901)	34
Figura 2.20 Uaxac Canal, La Ventana	35
Figura 2.21 Uaxac Canal, vista dentro de la Ventana	35
Figura 2.22 Uaxac Canal, Grupo Ventana, lado del juego de pelota	36
Figura 2.23 Uaxac Canal, arte rupestre en la Cueva de los Pájaros	36
Figura 2.24 Uaxac Canal, UAC-6	37
Figura 2.25 Uaxac Canal, “Hügelgruppe 1”, mapa de Seler (1901)	37
Figura 2.26 Uaxac Canal, UAC-7, croquis del sitio	38
Figura 2.27 Uaxac Canal, UAC-7	38
Figura 2.28 Uaxac Canal, UAC-8, croquis del sitio	39
Figura 2.29 Uaxac Canal, UAC-8	40
Figura 2.30 Uaxac Canal, UAC-9	40
Figura 2.31 San Francisco, pirámide	41
Figura 2.32 Yalambojoch 1, croquis del sitio	41
Figura 2.33 Yalambojoch 1, los nacimientos de agua	42
Figura 2.34 Yalambojoch 1, la cancha del juego de pelota	42
Figura 2.35 Yalambojoch 1, artefactos	43
Figura 2.36 El cerro Unin Witz, vista del lado norte	43
Figura 2.37 Unin Witz, croquis del sitio	44
Figura 2.38 Unin Witz, grupo principal	44
Figura 2.39 K’atepan, estructura al lado de la plaza superior	45
Figura 2.40 Unin Witz, estructura en la cumbre del cerro	45
Figura 2.41 Atz’am K’em, croquis del sitio	46

Figura 2.42 Quinguá, camino con pavimento de piedras; Atz'am K'em, esquina de una de las estructuras	46
Figura 3.1 Chaculá, Grupo D	56
Figura 3.2 Chaculá, Grupo E	57
Figura 3.3 Chaculá, Grupo C, estructuras	58
Figura 3.4 Chaculá, Grupo C, plataformas	59
Figura 3.5 Chaculá, Grupo C, subterráneos	59
Figura 3.6 Chaculá, Grupo C, escalinatas	60
Figura 3.7 Chaculá, Grupo C, artefactos	60
Figura 3.8 Chaculá, Grupo C, saqueo y destrucción	61
Figura 3.9 Chaculá, C-21	62
Figura 3.10 Chaculá, Grupo B, estructura en una de las brechas	62
Figura 3.11 Mapa del sitio arqueológico Chaculá	63
Figura 3.12 Mapa de Chaculá Grupo A	64
Figura 3.13 Mapa de Chaculá Grupo D	65
Figura 3.14 Mapa de Chaculá Grupo E	66
Figura 3.15 Mapa de Chaculá Grupo C	67
Figura 4.1 Mapa con pozos de sondeo, Chaculá, Grupo A	98
Figura 4.2 Mapa con pozos de sondeo, Chaculá, Grupo B	99
Figura 4.3 Perfiles de unidad TP-A-2	100
Figura 4.4 Perfiles de unidad TP-A-3	100
Figura 4.5 Planta de unidad TP-A-3	101
Figura 4.6 Perfiles de unidad TP-A-4	101
Figura 4.7 Planta de unidad TP-A-4	102
Figura 4.8 Perfiles de unidad TP-A-5	102
Figura 4.9 Perfiles de unidad TP-A-6	103

Figura 4.10 Perfiles de unidad TP-A-7	103
Figura 4.11 Planta de piso y relleno de unidad TP-A-7	103
Figura 4.12 Planta de unidad TP-A-8	104
Figura 4.13 Perfiles de unidad TP-A-8	104
Figura 4.14 Perfiles de unidad TP-A-9	105
Figura 4.15 Planta del piso de unidad TP-A-9	105
Figura 4.16 Planta nivel estéril de unidad TP-A-9	105
Figura 4.17 Perfiles de unidad TP-A-10	106
Figura 4.18 Perfiles de unidad TP-A-11	106
Figura 4.19 Planta de unidad TP-A-11	106
Figura 4.20 Perfiles de unidad TP-A-12	107
Figura 4.21 Planta de unidad TP-A-12	107
Figura 4.22 Perfiles de unidad TP-A-13	107
Figura 4.23 Planta de unidad TP-A-13	108
Figura 4.24 Perfiles de unidad TP-A-14	108
Figura 4.25 Perfiles de unidad TP-A-15	108
Figura 4.26 Planta TP-A-15 y Extensiones A y B	109
Figura 4.27 Planta Extensión B de unidad TP-A-15	109
Figura 4.28 Perfiles de unidad TP-B-2	110
Figura 4.29 Planta de unidad TP-B-2	110
Figura 4.30 Perfiles de unidad TP-B-3	111
Figura 4.31 Perfiles de unidad TP-B-4	111
Figura 4.32 Planta de unidad TP-B-4	111
Figura 4.33 Perfiles de unidad TP-B-5	112
Figura 4.34 Perfiles de unidad TP-B-6	112

Figura 4.35 Planta de unidad TP-B-6	112
Figura 4.36 Perfiles de unidad TP-B-7	113
Figura 4.37 Planta de unidad TP-B-7	113
Figura 5.1 Mapa de las Tierras Altas Occidentales y Chiapas	121
Figura 5.2 Ejemplares del tipo cerámico Pumus: V. Pumus	123
Figura 5.3 Ejemplares del tipo Santa Cruz: V. Santa Cruz	124
Figura 5.4 Ejemplar del tipo Santa Cruz: V. Estriado	125
Figura 5.5 Ejemplares del tipo Cuatzi: V. Cuatzi	125
Figura 5.6 Ejemplares del tipo Nutria: V. Nutria	126
Figura 5.7 Foto y dibujo del ejemplar de mango de incensario	127
Figura 5.8 Ejemplares del tipo Chachalaca Rojo: V. Chachalaca	128
Figura 5.9 Ejemplares del tipo Chachalaca Rojo: V. Estriado y modelado	129
Figura 5.10 Ejemplares del tipo Chachalaca Rojo: V. impreso	130
Figura 5.11 Ejemplares del tipo Chachalaca Rojo. V. café negro	131
Figura 5.12 Ejemplares del tipo Hamiltic Rojo: V. Hamiltic	132
Figura 5.13 Ejemplares del tipo Tasajo Rojo: V. Tasajo	133
Figura 5.14 Ejemplar del tipo Tasajo Rojo: V. Estriado	134
Figura 5.15 Ejemplares del tipo Chato Rojo Inciso: V. Chat	134
Figura 5.16 Ejemplar del tipo Mico Blanco Naranja Inciso: V. Mico	135
Figura 5.17 Ejemplar del tipo Chanal Modelado Tallado: V. Chanal	136
Figura 5.18 Ejemplar del tipo cerámico Huelga Rojo y Negro: V. Huelga	136
Figura 5.19 Ejemplares del tipo Tang/Nichel	137
Figura 5.20 Ejemplares del tipo Batzi rojo especular sobre ante: V. Batzi	138
Figura 5.21 Ejemplares del tipo Musaraña Rojo y Anaranjado: V. Musaraña	139
Figura 5.22 Ejemplares del tipo Danta Café: V. Danta	139

Figura 5.23 Ejemplar del tipo Yol: V. Yol	140
Figura 5.24 Ejemplares del tipo Patal Blanco: V. Patal	141
Figura 5.25 Ejemplar del tipo Chascal Impreso: V. Chascal	141
Figura 5.26 Ejemplar del tipo Sasbén Negro Café Gubiado: V. Sasbén	142
Figura 5.27 Ejemplares del tipo Tartaleta Compuesto: V. Tartaleta	143
Figura 5.28 Ejemplar del tipo Las Rosas Blanco	144
Figura 5.29 Ejemplar del tipo Plomizo	145
Figura 5.30 Frecuencia de tipos de la región del Grijalva en Grupo A y B	146
Figura 5.31 Ejemplares del tipo Máquina Café: V. Máquina	147
Figura 5.32 Ejemplar del tipo Calandria Estriado: V. Calandria	147
Figura 5.33 Ejemplares del tipo Infierno Negro: V. Infierno	148
Figura 5.34 Ejemplares del tipo Cambio Sin Engobe: V. Cambio	148
Figura 5.35 Ejemplares del tipo Encanto Estriado: V. Encanto	149
Figura 5.36 Ejemplar del tipo Negro Pasta Cambio	150
Figura 5.37 Ejemplar del tipo Chaquiste Impreso: V. Chaquiste	150
Figura 5.38 Ejemplar del tipo Zacatal Crema Polícromo: V. Zacatal	151
Figura 5.39 Ejemplares del tipo Azote Naranja: V. Azote	152
Figura 5.40 Ejemplares de la categoría Naranja Pulido Tierras Bajas	152
Figura 5.41 Ejemplares del tipo Tinaja Rojo: V. Tinaja	153
Figura 5.42 Ejemplares del grupo Saxché–Palmar	154
Figura 5.43 Foto y perfil de las vasijas encontradas en ofrenda	155
Figura 5.44 Frecuencia de tipos de Tierras Bajas en Grupo A y B	156
Figura 5.45 Ejemplar del tipo Café Negro: V. Café	157
Figura 5.46 Ejemplares de la categoría Micáceo	157
Figura 5.47 Ejemplares de la categoría Crema Micáceo Impreso	158

Figura 5.48 Ejemplares del tipo Mostaza rojo sobre natural: V. Mostaza	159
Figura 5.49 Frecuencia de tipos de Tierras Altas Grupo A y B	159
Figura 5.50 Ejemplar del tipo Tiquisate: V. Tiquisate	160
Figura 5.51 Ejemplares del grupo Rojo Acanalado	161
Figura 5.52 Ejemplares de Rojo Micáceo	162
Figura 5.53 Ejemplares del grupo Rojo Fino	163
Figura 5.54 Ejemplares del grupo Engobe Rojo	164
Figura 5.55 Ejemplares del grupo Rojo Café	165
Figura 5.56 Ejemplares del grupo Anaranjado sobre crema	166
Figura 5.57 Ejemplares del grupo Crema	167
Figura 5.58 Ejemplares del grupo Crema Inciso	167
Figura 5.59 Ejemplares del grupo Polícromos Erosionados	168
Figura 5.60 Ejemplares del grupo Dicromo Negro Rojo/Anaranjado	169
Figura 5.61 Ejemplar del grupo Bicromo	169
Figura 5.62 Ejemplar del grupo Bícromo Acanalado	170
Figura 5.63 Ejemplar del grupo Bícromo Inciso Acanalado	171
Figura 5.64 Ejemplares del grupo Café No Identificado	172
Figura 5.65 Ejemplar del grupo Gris Mate	173
Figura 5.66 Ejemplares del grupo Gris Inciso	173
Figura 5.67 Ejemplar del grupo Pasta Blanca Grisácea	174
Figura 5.68 Ejemplares de Tapaderas dentro de la colección	175
Figura 5.69 Ejemplar de Malacate de la colección del sitio	176
Figura 5.70 Ejemplares de tiestos reutilizados encontrados en las excavaciones	177
Figura 5.71 Ejemplares de Figurillas encontradas en excavaciones	178
Figura 5.72 Formas de Bordes Indeterminados (erosionados)	179

Figura 5.73 Formas de Bordos Indeterminados (erosionados)	180
Figura 5.74 Formas de Bordos Indeterminados y cuerpos de cántaro	181
Figura 5.75 Cuerpos estriados e Incisos erosionados	182
Figura 5.76 Frecuencia de tipos por región en Grupos A y B	183
Figura 5.77 Frecuencia general de tipos por región	183
Figura 5.78 Ejemplares de tipos identificados en el reconocimiento realizado en La Trinidad	184
Figura 5.79 Ejemplares de tipos observados en el reconocimiento en Uaxac Canal, UAC-9	185
Figura 5.80 Otros ejemplares de tipos observados en el reconocimiento en Uaxac Canal	185
Figura 5.81 Ejemplares observados en el reconocimiento del sitio Yalambojoch 1, YAL-2	186
Figura 5.82 Ejemplares observados en Chaculá, grupo de las “Siete Cuerdas”, CHA-3	186
Figura 5.83 Ejemplares observados en Chaculá Viejo, CHA-6	187
Figura 5.84 Detalle de fragmentos de navajas prismáticas y desechos	196
Figura 5.85 Fragmentos de manos de moler e indeterminado	197
Figura 5.86 Desechos de pedernal	198
Figura 5.87 Ejemplares de los fragmentos de hueso recuperados	199
Figura 6.1 Alfarera poniendo asas en una olla	202
Figura 6.2 El resultado de quemar cerámica	203
Figura 6.3 Tipos de comales elaborados en la región de Chaculá	205

Índice de cuadros

Cuadro 5.1	Nomenclatura de marcaje del material arqueológico	115
Cuadro 5.2	Antecedentes de análisis cerámico de la región de áreas cercanas	117
Cuadro 5.3	Cronología Arqueológica del Altiplano Occidental del Preclásico Tardío al Posclásico Tardío	120
Cuadro 5.4	Cronología de Tierras Bajas	120
Cuadro 5.5	Cronología de sitios de Chiapas y Guatemala	122
Cuadro 5.6	Fases del Clásico Tardío–Terminal	193
Cuadro 5.7	Detalle de la muestra total de artefactos de obsidiana recuperados en las excavaciones, Grupo A	194
Cuadro 5.8	Detalle de la muestra total de artefactos de obsidiana recuperados en las excavaciones, Grupo B	195
Cuadro 5.9	Detalles de la lítica mayor encontrada en excavaciones	196
Cuadro 5.10	Detalles del pedernal recuperado en excavaciones	197
Cuadro 5.11	Detalle de los fragmentos óseos recuperados en excavaciones	199

1 Introducción

Paola Torres y Ulrich Wölfel

La región de Chaculá, ubicada en el norte del Municipio de Nentón, departamento de Huehuetenango, Guatemala (Figura 1.1) era un área desconocida dentro del ámbito arqueológico, su difusión en los estudios de la cultura maya se originaron a través de los reconocimientos y excavaciones realizadas en el sitio en 1896 por el arqueólogo alemán Eduard Seler, quien hiciera la publicación de sus investigaciones en 1901 en su libro *Die alten Ansiedlungen von Chaculá im Distrikte Nenton des Departements Huehuetenango der Republik Guatemala* (Las Antiguas Ciudades de Chacula, Seler 1901).

A partir del 2013 el Proyecto Arqueológico de la Región de Chaculá (PARCHA) ha iniciado investigaciones nuevas en la región con el fin de a) localizar sitios arqueológicos reportados por Seler en la zona; b) producir un mapa preciso del sitio arqueológico Chaculá; c) generar información puntual para elaborar una base de datos para un sistema de información geográfica (GIS) de la región que ofrezca un soporte documental para futuras investigaciones más extensas; d) excavar pozos de sondeo en el sitio arqueológico Chaculá para obtener los primeros datos que sirvan de base para el fechamiento de la zona, y finalmente, e) promover el registro y la protección de los sitios arqueológicos de la región de Chaculá. Se ha planteado este proyecto como un programa piloto con el fin de realizar una documentación adecuada de la región con vistas a obtener información para elaborar posteriormente el diseño de una investigación aún más integral.

La temporada de campo 2014 del proyecto PARCHA se realizó entre el 18 de Agosto 2014 y el 21 de Octubre 2014 en la aldea Nueva Esperanza Chaculá y sus alrededores, en el norte del municipio de Nentón, Departamento de Huehuetenango. La sede del proyecto, así como el laboratorio estuvieron en una de las casas de la aldea. El personal de campo estuvo integrado por las siguientes personas:

- Ulrich Wölfel, director, encargado de excavaciones, reconocimiento y mapeo
- Paola Torres, co-directora, encargada de excavaciones y laboratorio
- Dora García, arqueóloga de campo y auxiliar de laboratorio



Figura 1.1 Mapa de Guatemala indicando la Región de Chaculá, dibujo por U. Wölfel

- Mauricio Díaz, arqueólogo de campo.

El personal operativo del Proyecto estuvo integrado por personas de la aldea quienes fueron capacitados por integrantes del proyecto en excavación, reconocimiento y mapeo. Específicamente las tareas de campo consistieron en

1. reconocimiento de sitios arqueológicos en la región de Chaculá reportados por Eduard Seler,
2. reconocimiento y mapeo del área entre los Grupos A y B del sitio arqueológico Chaculá,
3. excavaciones de 14 pozos de sondeo en el Grupo A y 6 pozos de sondeo en el Grupo B del sitio arqueológico Chaculá.

1.1. Objetivos

Los objetivos específicos del Proyecto Arqueológico de la Región de Chaculá en la temporada de 2014 fueron los siguientes:

1. localizar sitios arqueológicos reportados por Eduard Seler en su publicación de 1901 con coordenadas de GPS, así como documentar su estado de conservación actual,
2. documentar nuevos sitios arqueológicos,

3. producir un mapa y registro fotográfico de estructuras en el área entre los Grupos A y B del sitio arqueológico Chaculá,
4. elaborar una cronología de los Grupos A y B de Chaculá a través del material cerámico recuperado en excavaciones de un total de 20 pozos de sondeo.

1.2. Metodología de investigación

Fueron realizadas tres operaciones principales dentro del desarrollo de esta temporada, las cuales permitieron obtener los datos necesarios, para proseguir con estudios multidisciplinarios posteriores, que permitan el entendimiento del rol desempeñado de la región en la época prehispánica.

1.2.1. Operación 1: Reconocimiento regional

Para el reconocimiento de sitios arqueológicos en la región Chaculá, se llevaron a cabo recorridos con ayuda y conocimiento de guías locales. La ubicación de los sitios se documentó por medio de puntos de GPS, mientras las estructuras fueron documentadas con fotografías y en casos necesarios se realizaron los croquis dibujados sin escala.

Una de las prioridades del proyecto, basado en las investigaciones de Seler, es la localización de varios sitios arqueológicos reportados por este investigador. Durante PARCHA 2014 el enfoque estaba en los sitios arqueológicos de Uaxac Canal, Yalambojoch (San Francisco) y El Cimarrón, debido a que estos sitios no formaron parte de las investigaciones de PARCHA 2013. Los sitios adicionales, que se encontraron durante los recorridos, pero que no son reportados por Seler, también fueron documentados de la misma manera.

1.2.2. Operación 2: Mapeo del sitio arqueológico Chaculá

Las investigaciones en el sitio arqueológico Chaculá, se enfocaron en un área de estudio elegida en 2013, por su gran densidad de estructuras prehispánicas y el buen estado de conservación de estas. Las coordenadas en el sistema Universal Transversal Mercator (UTM) que delimitan esta área de investigación son:

- 643350, 1766850 (esquina Norte–Oeste)
- 644350, 1765850 (esquina Sur–Este).

Las actividades de reconocimiento y mapeo en Chaculá continuaron el trabajo empezado en 2013, enfocándose en el área que conecta los Grupos A y B. Esta área posee aproximadamente 200 m de ancho y 460 m de largo.

Dados los trabajos iniciales de mapeo por PARCHA 2013, existe un polígono de puntos fijos marcados de forma permanente con cemento, los cuales establecieron una red de medida orientada norte-sur. Las coordenadas de los puntos fueron medidos por una estación total y también con GPS. Los puntos de GPS sirven para conectar la red local de medida a la red global con coordenadas UTM. Todas estas referencias se encuentran guardadas en la base de datos del sistema de información geográfica (GIS).

Para el mapeo se utilizó una estación total electrónica, usando la red orientada al norte y que fue descrita anteriormente, en donde todas las medidas se guardaron en el GIS. Utilizando un script desarrollado por PARCHA, se conectaron los puntos formando un mapa preliminar de las estructuras medidas. En base a este mapa preliminar, se realizarán las rectificaciones de las plantas de los edificios con el software LibreCAD y los mapas finales con el software GRASS GIS.

1.2.3. *Operación 3: Excavaciones de pozos de sondeo en Chaculá*

Como parte de las investigaciones en Chaculá, se realizaron excavaciones de sondeo, con el objetivo de obtener información acerca de la cronología del asentamiento en los Grupos A y B, así como las posibles funciones de algunas de sus estructuras.

Se realizaron un total de 20 unidades de sondeo, distribuidas en los Grupos A (14 unidades) y B (6 unidades). Todas las unidades tuvieron dimensiones iniciales de 1 m × 1 m, las cuales en algunos casos se ampliaron para el seguimiento y de acuerdo a los rasgos encontrados. Los objetivos específicos de los sondeos consistieron en (a) buscar basureros domésticos y (b) exponer pisos y elementos arquitectónicos.

La excavación vertical se llevó a cabo por niveles estratigráficos y culturales, hasta llegar a suelo estéril o roca madre (el cual consiste de caliza en el caso de Chaculá). Se realizaron lotes arbitrarios en casos especiales para la obtención de materiales, que pudieran aportar datos importantes, en la realización de una cronología más fina. Se llevó a cabo la documentación de las unidades y los hallazgos con notas de campo, fotografías y dibujos realizados a escala 1:20. Al finalizar, todas las excavaciones fueron rellenadas. Todos los materiales recuperados fueron llevados al laboratorio, en donde se procedió a lavar y posteriormente a marcar para su análisis correspondiente.

Para el estudio de la cerámica se utilizó el sistema tipo-variedad, el cual permitió clasificar la cerámica en categorías tipológicas jerarquizadas bien definidas y conocidas (clases, tipos, grupos y variedades cerámicas), de acuerdo a ciertas combinaciones de atributos que pudieron ser identificadas en el material, incluyendo pasta, acabado de la superficie y decoración (Laporte 2007; Smith et al. 1960; Sabloff y Smith 1969). Asimismo, por medio de este sistema se pueden registrar cambios estilísticos temporales a

través de la cerámica (Ford, Woodman y Lucero 1992 citados en Laporte 2007) y permite una comparación con secuencias cerámicas en regiones vecinas. Algunas de las secuencias establecidas y que fueron consultadas son el proyecto de los tributarios superiores del río Grijalva de la Fundación Arqueológica del Nuevo Mundo (New World Archaeological Foundation) en la parte colindante del estado mexicano de Chiapas (Bryant et al. 2005), el proyecto arqueológico Chinkultic, también en Chiapas (Ball 1980) y el estudio de las regiones Huista y Akateko (Huehuetenango, Guatemala) al sur (Borgstede 2004).

Al finalizar esta segunda temporada de campo en el sitio de Chaculá y su región, se han construido cuestionamientos y problemáticas más complejas a responder en el futuro, especialmente enfocadas en la relación de Chaculá con otros sitios y su papel desempeñado dentro de los eventos importantes de la zona.

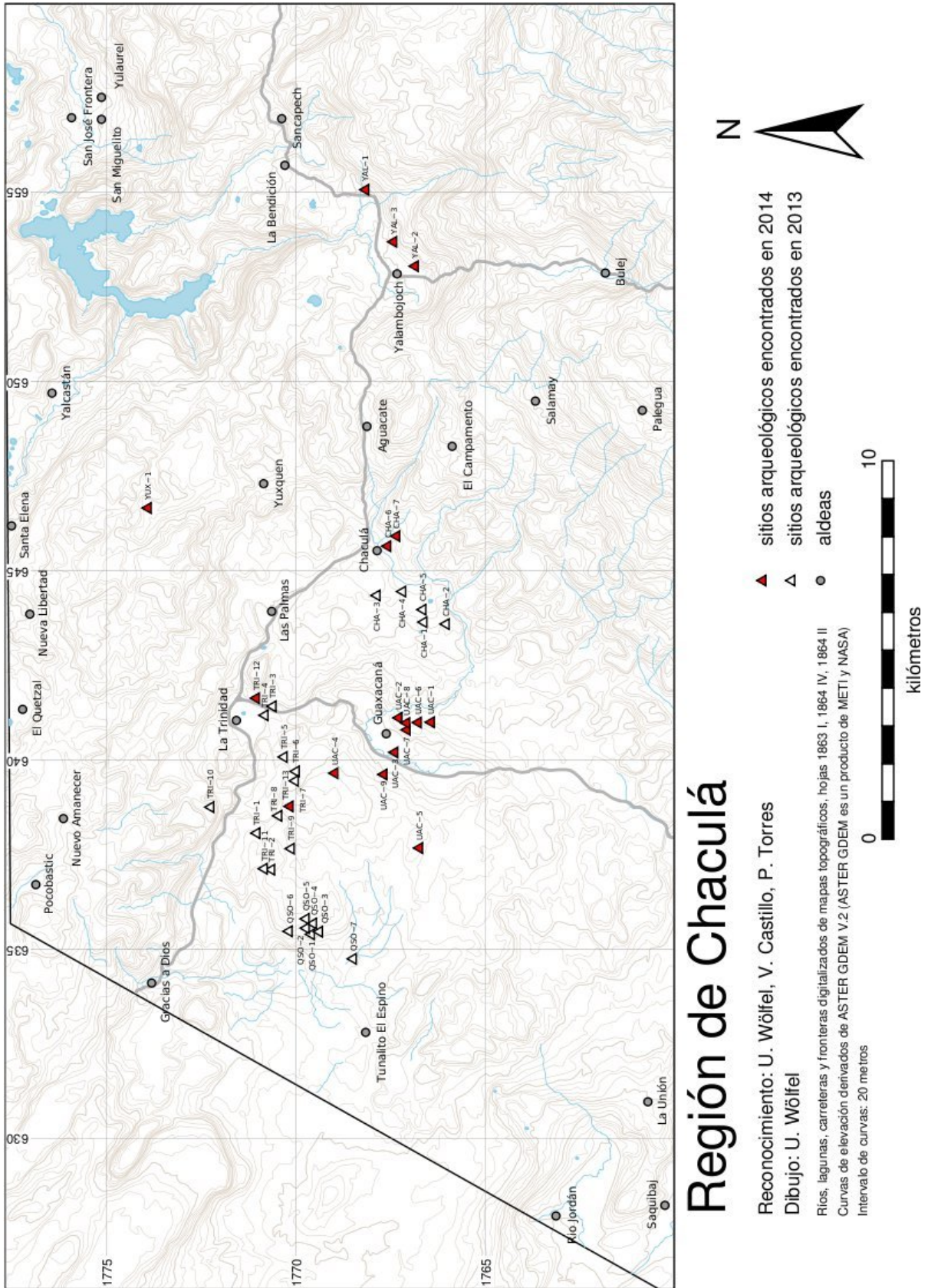


Figura 1.2 Mapa de la Región de Chaculá con sitios arqueológicos, dibujo por U. Wölfel

2 Reconocimiento Arqueológico en la Región de Chaculá

Ulrich Wölfel

El reconocimiento de terreno en la región de Chaculá se llevó a cabo por medio de caminamientos en partes de la región. La meta del reconocimiento era reubicar los sitios arqueológicos mencionados por Seler (1901) que no fueron documentados durante la temporada 2013, sobre todo Uaxac Canal. Sin embargo, el reconocimiento en esta temporada localizó otros sitios desconocidos para el investigador alemán, los cuales fueron descubiertos durante los caminamientos por la región, así como sitios que fueron reportados por algunos vecinos de Chaculá, La Trinidad, Yalambojoch y Yuxquen, quienes fueron los guías. En ese sentido, los aspectos más importantes del reconocimiento fueron la ubicación y georeferenciación de los sitios localizados y la evaluación somera del estado de preservación de las estructuras. En sitios con un alto grado de destrucción o los de menor tamaño, el registro básicamente consistió en documentación fotográfica. Se realizaron croquis sin escala para documentar los sitios que no aparecen en el libro de Seler. Se espera que futuras investigaciones en el área, logren generar mapas precisos de los sitios, que fueron descubiertos durante esta temporada.

La nomenclatura de los sitios sigue el patrón XXX-Y, siendo XXX una abreviatura que nombra la comunidad, donde se ubica cada sitio, Y representa el número del sitio. Por ejemplo, TRI-1 = sitio número 1 en terreno de La Trinidad (otras abreviaturas usadas son CHA = Chaculá, UAC = Uaxac Canal, YAL = Yalambojoch, YUX = Yuxquen). Cuando alguno de los guías o habitantes de las vecindades reportó un nombre local o un topónimo del lugar donde se encuentra el sitio, el nombre aparece junto al código de nomenclatura. Las coordenadas reportadas fueron tomadas con un GPS (Garmin GPS 60, hay unas excepciones indicadas en el texto) y convertidos al sistema UTM (dátum referencial: NAD83) usando GRASS GIS.

2.1. Chaculá

En Chaculá, dos grupos de estructuras reportados por Seler (1901) fueron re-ubicados, terminando así los trabajos de redescubrimiento en el sitio. Dado que todavía están pendientes en ser mapeados, todos los grupos descubiertos se reportan en esta sección con una designación CHA-X (con X un número), correspondiente a la nomenclatura usada en el reconocimiento. Cuando se integren estos datos en futuras temporadas, estarán incluidos dentro del mapa de Chaculá, recibiendo una nueva designación siguiendo el patrón del mapeo (Chaculá, Grupo Y, con Y una letra).

CHA-4 [UTM: 644767], *Templo del Este*

Este grupo se encuentra al norte del casco de la antigua finca y al suroeste del pueblo actual. Allí existe una pequeña loma que se eleva hacia el sur. Seler da la siguiente descripción de esta ubicación:

[es] springt spornartig ein kleiner Rücken nach Süden gegen den Bach von Chaculá vor, gleichzeitig höher werdend, so dass sein Ende wie ein von steilen Wänden begrenztes Vorgebirge unmittelbar über dem Bach und vor dem Arbeiterdorfe aufragt (Seler 1901:62).

“una pequeña loma sobresale al sur hacia el arroyo de Chaculá, al mismo tiempo subiendo, de manera que su extremo se eleva como un promontorio delimitada por paredes escarpadas justo encima del arroyo y enfrente del pueblo de los trabajadores”

Esta descripción coincide exactamente con la situación en CHA-4. En el mapa del grupo que Seler llama “Templo del Este’ (Figura 2.1) se notan dos conjuntos de edificios: (a) dos pequeños están colocados sobre una plataforma en la parte superior del cerro, (b) un juego de pelota en forma de una ‘I’, así como una pirámide y una estructura larga al pie del cerro.

Los dos edificios en la cumbre del cerro tienen, según el mapa de Seler, una escalinata hacia la plaza formada por la plataforma. En ambos casos ya no se pudo observar este rasgo debido a la destrucción que sufrieron en tiempos después de la visita de Seler. El edificio al oriente de la plataforma tiene en lugar de la escalinata un montón de piedras que posiblemente son parte de un saqueo. La estructura al sur muestra de manera más clara huellas de saqueo, no solamente en su lado hacia la plaza, sino también en la parte sur-occidental (parte posterior). Según la descripción de Seler, la arquitectura de los dos templos era idéntico. En el dibujo esquemático (Figura 2.2a) muestra un edificio con dos cuerpos, con un cuarto encima que tenía paredes de piedra para las cuales Seler

(1901:65) da una altura de 1.50 m. La presencia de paredes de piedra es un rasgo poco común en Chaculá, los únicos ejemplos conocidos son las Estructuras B-1 y B-3 que forman parte de la estructura principal del “Templo del Oeste” (otro posible ejemplo son las estructuras encontradas durante el mapeo en Grupo E, véase Sección 3.3).

En el tiempo después de la visita de Seler, las paredes de la cámara del templo oriental se derrumbaron y hoy solamente queda visible una gran cantidad de piedras de escombros como evidencia de su existencia. Las partes de mampostería todavía conservadas muestran piedras bien cuadradas, pertenecientes a los sillares de muro (Figura 2.2b), como fue observado también en otras partes del sitio Chaculá (especialmente en Grupo B, en el “Templo del Oeste”).

Además de los dos templos encima del cerro, Seler describe el conjunto del juego de pelota al pie del cerro hacia el norte. Reporta que el dueño de la finca quería “desmontar este juego de pelota porque parecía ser una cantera cómoda” (Seler 1901:62), pero el investigador trató de convencerlo de la gran importancia que tenía este conjunto y su preservación. Según la descripción, el juego de pelota estaba conformado por una cancha cerrada en forma de ‘I’. Seler brinda las dimensiones de las dos estructuras que conforman los lados de la cancha de pelota con 16 m × 4 m × 1.75 m (longitud × ancho × altura). Hoy en día, las paredes laterales (lados de la cancha), especialmente al lado occidental, están muy destruidas, mientras todavía se reconoce la parte cerrada hacia el norte de la ‘I’.

La plataforma grande al este del juego de pelota, delimitada por una estructura alargada en su lado este y a su lado sur por un edificio grande, construido adosado a la pendiente del cerro, se encuentra en buen estado de conservación. Aunque Seler califica el edificio grande como “excavado y destruido” (Seler 1901:65), todavía se puede reconocer su forma y el estado de conservación parece mejor que en el caso del juego de pelota.

Con respecto a la cantidad de conjuntos para el juego de pelota, Piedrasanta Herrera (2009:106) menciona para Chaculá la presencia de dos y cita a Becquelin (1969:120). Sin embargo, este pasaje no se refiere solamente al sitio arqueológico de Chaculá, sino más bien a la región en el norte de Nentón, también conocida como “Región de Chaculá”. El segundo juego de pelota de Becquelin parece ser uno de los dos de *Uaxac Canal*, también descrito por Seler (1901:26–33).

CHA-5 [UTM: 643766], *Templo y Fundamento de Casa*

Aparte de los dos complejos de edificios grandes llamados “Templo del Oeste” (Grupo B) y “Templo del Este” (CHA-4), Seler (1901:61) también describe “un ejemplo de una planta más simple”. Según la descripción de Seler, este grupo consiste de un “templo

y fundamento de una casa” (Figura 2.3).

La descripción que Seler brinda sobre la ubicación del grupo “Está situado encima de una colina, enfrente de la Hacienda, cerca del camino que conduce a Uaxac Canal” (Seler 1901:61), coincide bien con CHA-5. El camino entre Chaculá y Uaxac Canal, mencionado por el investigador, aún existe hoy en día y también está incluido en el mapa topográfico de la región (hoja 1863 I, Ocanté). Seler (1901:66) asimismo explica que a partir del grupo hacia el oeste se llega directamente al “Templo del Oeste”. De hecho, el camino más común hoy en día para el Templo del Oeste pasa cerca de CHA-5.

Los edificios se encuentran en un buen estado de conservación. El edificio principal, que Seler (1901:61) llama “una pirámide baja, pero amplia” tiene parte del muro de su fachada intacto (Figura 2.4a) y encima de la plataforma se observó un subterráneo largo (Figura 2.4b), tal y como fue indicado en su mapa. Sin embargo, no se encontró restos de la escalinata del edificio y por la densa vegetación, tampoco se notó la plataforma enfrente, que se observa en ese mismo mapa. De igual forma no se encontró la piedra parada, que reporta Seler con una altura de 0.70 m, aunque es posible que aparezca durante el mapeo cuando sea limpiada toda el área de la vegetación.

CHA-6 [UTM: 645767] y CHA-7 [UTM: 645767] *Chaculá Viejo*

Durante una breve caminata por los campos hacia el oriente del lado del arroyo de Chaculá (CHA-6) hasta el terreno conocido como “Chaculá Viejo” (CHA-7), se encontraron varios grupos de cimientos prehispánicos. Todos se observaron en mal estado de conservación (se muestra un ejemplo en la Figura 2.5), presumiblemente por los trabajos agrícolas. Sin embargo, la sola presencia de un sitio arqueológico en este lado indica que el asentamiento en Chaculá era aún más amplio de lo que anteriormente se había pensado. Aunque existe la posibilidad de que estos grupos conformen un sitio arqueológico diferente del sitio conocido de Chaculá, la proximidad de los mismos hace más probable que sean parte de un solo sitio. Además, vestigios de grupos que podrían haber existido entre CHA-3 y CHA-6 posiblemente desaparecieron con la construcción del actual pueblo a partir de 1994.

2.2. La Trinidad

Visitado por PARCHA en 2013, el área de La Trinidad cuenta con varios sitios arqueológicos. Las investigaciones en 2014 se enfocaron en la búsqueda del sitio llamado “El Cimarrón”, encontrándose algunos otros sitios adicionales.

TRI-12 [UTM: 641771], *La Trinidad 3*

El sitio arqueológico La Trinidad 3 se encuentra cerca de la actual aldea La Trinidad, atrás del cerro al lado de donde se encuentra el cruce de carreteras que conectan Nentón, Gracias a Dios y Chaculá. Además de varias terrazas, dos pequeñas estructuras fueron encontradas. El sitio actualmente está parcialmente cultivado por milpa. No fueron encontrados ni documentados artefactos. La coordenada fue tomada con el GPS de una cámara (Sony DSC HX10V).

TRI-13 [UTM: 638770], *Cerro Cimarrón*

El Cerro Cimarrón se encuentra cerca del llamado Hoyo Cimarrón, una dolina con forma casi redonda que hoy en día es una de las atracciones turísticas principales en la región.

En la cumbre del cerro se encuentran los restos de dos estructuras pequeñas. El espacio limitado en esta parte no permite la presencia de más construcciones.

Al lado sur del cerro se encuentran varias terrazas y fundamentos de edificios, directamente en la pendiente del cerro y en la parte plana más hacia el sur (Figura 2.6). Las partes más elevadas de este grupo se encuentran cubiertas con amplia vegetación, mientras las partes más bajas, hacia el oeste, son cultivadas con milpa. En el lado oeste del cerro existe otro grupo del sitio (Figura 2.7) con estructuras mucho más elaboradas que en la parte sur (Figura 2.8). Este grupo también está cultivado con milpa. Un agricultor que trabaja cerca del grupo refirió que en la estructura más al norte, fueron excavadas figuras de piedra, las cuales fueron vendidas después.

TRI-9 [UTM: 637770], *El Cimarrón*

Seler (1901:84–86) menciona un sitio arqueológico llamado El Cimarrón en el cual encontró una piedra redonda con relieve (Figura 2.9a,b). Existen dos descripciones de su ubicación. La primera da Eduard Seler (1901:84):

Und ihm [= Piedra Redonda bei Quen Santo] entspricht, im Osten der alten Stadt [= Quen Santo], eine andere Anlage, die man von der am Fusse der alten Stadt gelegenen Doline in einer andern langen Senke aufsteigend erreicht, auf der Kuppe eines Hügels gelegen, in einer zur Finca Trinidad gehörigen Flur, die untem Namen El Cimarron in der Gegend bekannt ist.

A este [= piedra redonda cerca de Quen Santo] corresponde otro conjunto al este de la antigua ciudad [= Quen Santo], a que se llega subiendo en otra depresión larga, empezando en la dolina al pie de la antigua ciudad,

localizado en la cumbre de una colina, en un terreno conocido en la región como El Cimarron, que pertenece a la finca Trinidad.

La segunda descripción aparece en el libro de Caecilie Seler (1900:162–163), esposa de Eduard Seler, que da la fecha 1 de Abril 1896 para la visita (la primera excursión de los Seler en la región de Chaculá):

Nachdem wir über arg zerklüftetes Gelände – wir befanden uns in karstartigem Kalkgebirge – hinabgestiegen waren, gelangten wir in einen sanften, weit ausgedehnten Wiesengrund von parkartigem Charakter. Kleine, von Buschwerk überwachsene Stufenpyramiden fanden sich verstreut, und vor zweien lagen große, runde, mit Relief verzierte Steine, von denen wir in aller Schnelligkeit Papierabdrücke machten. – Der Wiesenplan, auf dem der eine lag, wurde von den Leuten »El Cimarrón« genannt; den andern Stein bezeichneten sie kurzweg als die »Piedra Redonda«.

Después de bajar sobre un terreno muy escabroso – nos encontrábamos en una montaña cárstica de roca caliza – llegamos en una amplia pradera con el carácter de un parque. Se encontraron dispersos pequeñas pirámides cubiertas de monte y enfrente de dos de estos habían grandes piedras redondas decoradas con relieves, de los cuales tomamos con rapidez moldes de papel. – La pradera en que se encontró la una fue llamado »El Cimarrón« por la gente; la otra piedra designaron simplemente la »Piedra Redonda«.

Para la búsqueda del sitio se utilizaron ambas descripciones, sin embargo resultaron ser inexactas. La piedra redonda fue hallada finalmente en la plaza inferior del sitio TRI-9, visitado brevemente durante la temporada 2013. Una de las razones que prolongó la indagación era que la descripción que da Seler (1901:84) del sitio no coincide bien con las estructuras de piedra que se encuentran en el mismo:

In der im Osten der alten Stadt gelegenen Lokalität El Cimarron nimmt dieser Stein die Mitte eines hofartigen Raumes ein, der, wie schon gesagt, auf der Kuppe eines Hügels gelegen und von wallartigen Erhebungen oder Erdpyramiden umgesetzt ist.

En la localidad El Cimarrón, ubicada al este de la antigua ciudad, esta piedra ocupa el centro de un espacio similar a un patio, que, como ya mencionado, se encuentra en la cima de una colina y está circundado por elevaciones como terraplenes o pirámides de tierra.

Seler no realizó un mapa o croquis del sitio, por esto la identificación está basada solamente en la presencia de la piedra redonda.

2.3. Guaxacaná / Uaxac Canal

El sitio arqueológico de Uaxac Canal (alrededor de la aldea actual de Guaxacaná) fue reportado por Seler (1901) quién dedicó un capítulo entero a la descripción de los varios grupos de este sitio. La siguiente reseña de los grupos visitados por PARCHA empieza con los grupos reportados por Seler y sigue con unos grupos anteriormente no descritos.

UAC-1 [UTM: 641766], *Grupo Piedra Parada*

La piedra parada es un monumento conocido en toda la región de Chaculá (cf. Seler (1901:52)). Situado en la montaña al este del valle de Guaxacaná, el grupo permite una vista excelente sobre el área. Aunque queda cerca de la aldea de Guaxacaná, es parte de los terrenos de Chaculá, con el mojón entre las dos aldeas pasando cerca (al oeste) del grupo. Las investigaciones de Seler (1901:51–55) consistieron en la realización de un mapa (Figura 2.10) y excavaciones.

En el tiempo de Seler la piedra parada, que es un monolito de caliza no tallado con aproximadamente 2 m de altura (Figura 2.10, indicado por ‘A’; Figura 2.11a), se encontraba inclinado hacia el noroeste y según los informantes locales, tenía que ser re-erigida, por lo cual hoy en día se observa un cimientado de cemento en su base. En el fondo de la fotografía que muestra Seler (1901:Lám. XIV) de la piedra parada se observa el cerro Hokanal, visitado por PARCHA 2013 (Wölfel 2013:18–19). De todas las piedras paradas en la región de Chaculá es la más grande y por su forma, con partes casi planas, es parecida a las estelas clásicas conocidas por lugares como Chinkultic, Quen Santo o San Mateo Ixtatán.

Al lado sureste de la piedra parada encontró Seler dos pequeñas plataformas rectangulares y en las cuales realizó excavaciones. En una de estas encontró

einen großen bauchigen, dickwandigen Topf [...], der 1/4 Meter unter der Oberfläche direkt in die Steinpackung eingesetzt und darin verkeilt und mit einer Schale überdeckt war, und der in seinem Innern verwitterte menschliche Knochen untermischt mit kohligen Substanzen, aber ohne jegliche Beigaben, enthielt. Davor fanden wir einen kleineren Topf mit Knochen, wie es scheint, eines Kinderskeletts. (Seler 1901:54)

una olla grande, barriguda, gruesa [...], que fue colocada 1/4 metro bajo la superficie directamente en las piedras puestas y agarrotado entre ellos y cubierto con un cuenco y que en su interior contenía huesos humanos desmoronados mezclados con sustancias carbónicas, pero sin ningunas ofrendas. Enfrente de esto encontramos una olla más pequeña con huesos, al parecer,

del esqueleto de un niño.

Seler muestra una fotografía de sus excavaciones y la olla encontrada (Seler 1901:Lám. XIV). Los pozos excavados – como en el caso de Pueblo Viejo Quen Santo (Wölfel 2013:21–22) – están abiertas hasta hoy en día, aunque se encuentran algo derrumbadas (Figura 2.11b). Seler (1901:55) también menciona un subterráneo en la estructura al sureste de la piedra parada (indicado como ‘B’ en su mapa, Figura 2.10, Figura 2.12). Aquí encontró un entierro que parece haber sido colocado en posición flexionada. El subterráneo fue encontrado por PARCHA y se observaron abundantes fragmentos de cerámica.

UAC-2 [UTM: 641767], “Grupo E”

Probablemente el grupo de Uaxac Canal más conocido en la arqueología mesoamericana es un conjunto que Seler (1901:48) llama “Piedra-parada-Seite, Tempelgruppe 2” (lado de la piedra parada, grupo de templo 2). Dicho grupo muestra una configuración de tres estructuras pequeñas al este de una pequeña plaza y una estructura más grande al oeste. En la publicación de Ruppert (1940:227) aparece como un posible ejemplo de un conjunto tipo “Grupo E”. Aunque Ruppert es cuidadoso e indica que existen dudas de su identificación como “Grupo E”, el ejemplo de Uaxac Canal sigue apareciendo en la literatura del tema (Chase y Chase 1995:88; Aimers y Rice 2006:81, erróneamente citado como “Uaxac Canal, Baja Verapaz”). Por tal razón, aparte de ubicar el grupo y documentar su estado de conservación, una de las metas era tomar medidas con brújula para estimar la orientación de los edificios.

Rodeado por milpas, el grupo mismo no está cultivado. Se observaron árboles y arbustos creciendo encima de las estructuras, mientras la plaza está libre de vegetación (Figura 2.14). Al lado oeste se encuentra un corral de piedra en donde varias piedras talladas fueron observadas. Posiblemente formaban parte de las estructuras del grupo, especialmente el edificio grande al lado oeste, que muestra daños. La pequeña plataforma en la esquina suroeste no fue identificada, posiblemente debido a su destrucción. Todas las gradas de los edificios, presentes en el mapa de Seler (Figura 2.13), se encontraron muy dañadas y derrumbadas. Al norte de la pequeña plataforma en la plaza se descubrió un disco de piedra que posiblemente fue tallado y que podría pertenecer al patrón regional de piedras redondas (Figura 2.15a). El agujero al sureste de la estructura del oeste fue ubicado (Figura 2.15b).

El cuestionamiento sobre la posible función de este conjunto como “Grupo E” no pudo ser resuelta completamente. En otros mapas de Seler (por ejemplo en Chaculá o Pueblo Viejo Quen Santo) hay grandes divergencias en la dirección del norte indicado

y es posible que no funcionaba correctamente su brújula. La orientación citada por Ruppert (basado en el mapa de Seler) es 10° hacia el oeste, la orientación determinada por PARCHA 2014 es 12° hacia el oeste. Hay que tomar en cuenta que estas medidas son del norte magnético y existe cierta declinación para el verdadero norte. En el caso de Seler, tomando el primero de agosto de 1896 como fecha, la declinación es de 6.2° hacia el este, resultando en una orientación corregida de 16.2° , mientras la orientación de PARCHA 2014 (tomado el 25 de agosto 2014) tiene una declinación de 1.9° hacia el este, resultando en una orientación corregida de 13.9° (usando el modelo IGRF11). Por esto, el error en la orientación del mapa de Seler es pequeño y se pueden considerar válidos los resultados basados en la misma. No obstante, las medidas de las dimensiones de los edificios que reporta en su mapa muestran grandes diferencias con las realizadas por PARCHA. Según Seler, las tres estructuras al este tienen 3.5 m de ancho, con un espacio de 1 m entre ellos, mientras las medidas de PARCHA indican entre 5 y 6 m de ancho con 2 m de espacio. De igual manera reporta Seler 5 m de ancho para la estructura al norte, mientras la medida de PARCHA es un poco más que 7 m. Además, la estructura al oeste, parte integral del patrón de un “Grupo E”, no parece centrado, más con las dos estructuras al noreste y no con la tercera del sureste. Por esto se hace importante el re-investigar este grupo cuidadosamente, limpiando todos los edificios de la vegetación y mapeando todos con una estación total.

UAC-3 [UTM: 640767], *Grupo Llano*

El llano de Uaxac Canal tiene varios grupos arquitectónicos, entre ellos según Seler (1901:25-26) una pirámide de 6 m de altura con una escalinata bien preservada. Seler (1901:26-34) dedica su descripción a un complejo que denomina “Tempel u. Ballspielplatz in der Mitte der Thalebene von Uaxac canal” (templo y conjunto para el juego de pelota en el centro del llano de Uaxac canal).

El mapa de Seler para este complejo (Figura 2.16) muestra un juego de pelota orientado sureste-noroeste (Figura 2.18) al lado de una estructura piramidal con una plataforma anexada hacia el suroeste (Figura 2.17). Hoy en día estas estructuras principales se encuentran en un área cultivada con milpa, por tal razón son bastante visibles desde la carretera entre Nentón y Gracias a Dios, que pasa por Guaxacaná e incluso en imágenes aéreas de Google Earth (así se determinó la coordenada). Dada la exposición de las mismas, han sido objeto de daños y ya no se observan los rasgos como la piedra parada cerca de la esquina sur-oeste de la pirámide reportada por Seler (1901:33).

UAC-4 [UTM: 639768], *Grupo La Ventana*

Ubicado en la meseta al noroeste del valle de Guaxacaná, se encuentra un grupo de estructuras conocido como “La Ventana”. Este grupo, descrito brevemente por Seler (1901:55–58), debe su nombre a una abertura construida en el muro que delimita una de las plataformas (indicado como ‘C’ en el mapa de Seler, Figura 2.19, Figura 2.20). En esta abertura termina un canal o subterráneo dentro de la plataforma que fue construido con piedras talladas. En la Figura 2.21 se puede ver en la pared izquierda dentro de la ventana restos de pintura de color azul celeste. Más adentro, el subterráneo parece haber colapsado.

El conjunto para el juego de pelota está bien conservado, aunque cubierto con vegetación (Figura 2.22). No es claro si constituye otro ejemplo del patrón de integración cancha-plataforma principal descubierto en 2013 (Wölfel 2013). Conforme al patrón, la orientación de la cancha es sureste-noroeste, pero la estructura principal, con tres superestructuras, queda a cierta distancia al este del conjunto, sin mostrar la integración necesaria (véase también el plan de Seler en Figura 2.19).

Seler (1901:Lám. XVII) muestra una fotografía de su vista desde la Ventana que fue tomada hacia el norte, porque en el fondo de la misma, al igual que en la fotografía de la piedra parada, se observa el cerro de Hokanal. La visibilidad de Hokanal desde la mayoría de los sitios arqueológicos de la región Chaculá corrobora la hipótesis de que este cerro tenía un papel importante para los que habitaron esta área en tiempos prehispánicos.

UAC-5 [UTM: 637766], *Cueva de los Pájaros*

A una distancia de 3 km en línea directa, al suroeste del Grupo La Ventana, queda una dolina similar al Hoyo Cimarrón, pero más pequeña, que es conocida como la Cueva de los Pájaros (o Cueva del Perico, en Chuj: *k'en ch'el*, véase también Tracey 1975). Su nombre indica que en los árboles al fondo de la dolina viven grandes cantidades de pájaros (específicamente loros, que siempre vuelan en parejas desde o hacia este lugar, como nota Seler 1901:83). Seler (1901:83–84) visitó este lugar y documentó una pintura rupestre en una de las paredes de la dolina (Figura 2.23a). La esposa de Seler, encargada de la documentación fotográfica, anotó en su libro que no había ningún lugar de donde se pudiera tomar una fotografía de la pintura y que no se tuviera que bajar con lazos para acercarse (Seler 1900:274–275).

La fotografía actual (Figura 2.23b) muestra algunas diferencias con el dibujo de Seler. La pintura parece mostrar a un individuo sentado, viendo hacia la izquierda. Tiene un sombrero de dos puntas. El dibujo de Seler muestra un tocado diferente, debido a un

daño en la punta izquierda que sólo se reconoce al agrandar la fotografía. Del rostro no se puede distinguir más que un punto, posiblemente parte de un ojo, mientras Seler dibuja una línea que (por lo menos hoy) no existe. El cuerpo está cubierto por una manta con puntos (piel de jaguar).

Además de esta imagen aparecen algunas más del fondo de la dolina. Para poder realizar la documentación de estos, es necesario tener que acercarse o bajar una cámara.

Seler (1901:84) también nota que el camino real que va de Nentón por Canquintic y San Vicente (Chiapas) hacia Comitán (Chiapas) pasaba cerca de la Cueva de los Pájaros. Según el autor, este camino no era más que un sendero. Por medio de fotografías satelitales en Google Earth se puede observar un camino que pasa a unos 60 m al sur de la Cueva de los Pájaros. Este camino llega cerca a la Piedra Redonda, así como describe Seler (1901:84). Para identificar más de este posible camino real, es necesario realizar caminatas para verificar su transcurso completo y tomando coordenadas de GPS.

Con la descripción de este sitio, Cueva de los Pájaros, finalizan los sitios que fueron referidos por Seler. Dos grupos que muestra Seler (1901:Fig. 21; Fig. 28–29) no fueron identificados, aunque existe la posibilidad de que el conjunto llamado “Piedra-parada-Seite, Hügelgruppe 1” (lado de la piedra parada, grupo de túmulos 1) se encuentra entre los grupos UAC-6 hasta UAC-8. También falta identificar la “Cueva de los Murciélagos”, donde Seler (1901:58, 207–213, Lám. XLVII–L) encontró quince osamentas humanas.

UAC-6 [UTM: 640766]

Los grupos UAC-6 – UAC-8 fueron encontrados durante el reconocimiento en la montaña al lado oriental del llano de Guaxacaná. Estos son grupos con estructuras más pequeñas que no fueron reportados por Seler, aunque seguramente él pasó entre estos grupos en sus caminatas. En su libro nota que la pendiente al lado sur del llano no es tan inclinado y por esto abundan restos de los antiguos asentamientos (Seler 1901:43). Describiendo como había llegado del “Grupo E” al Grupo Piedra Parada, Seler (1901:51–52) menciona la presencia de terrazas en las pendientes de los cerros. Esta descripción aplica al grupo UAC-6 (Figura 2.24). Al lado de una pendiente poco inclinada quedan terrazas largas en varios niveles. Las pocas estructuras están mal preservadas.

UAC-7 [UTM: 640767] y UAC-8 [UTM: 640767]

Buscando lo que Seler (1901:43–47) llama “Piedra-parada-Seite Hügelgruppe 1” (Grupo de montículos 1 en el lado [del llano] de la Piedra Parada), se encontraron varios grupos de estructuras. El grupo descrito por Seler es de interés por encontrarse un ejemplo de un temascal (baño de vapor) subterráneo. Aunque se encontraron varios grupos de

estructuras en las cercanías de lo que cita Seler (en el lado de la Piedra Parada, “en una altura de aproximadamente 60 m sobre el Llano”, Seler 1901:44), no se pudieron identificar el grupo de montículos.

Uno de los conjuntos encontrados, UAC-7 (Figura 2.27), está compuesto por cuatro estructuras. En el lado oeste, hacia una ligera pendiente, se encuentra una plataforma construida para nivelar el terreno. Los edificios son plataformas bajas de casas, la mayoría se encuentran derrumbadas (Figura 2.26) por la agricultura. Se distinguió en el edificio ubicado más al oriente, un subterráneo abierto.

El grupo UAC-8 muestra cierta similitud al grupo de Seler, las tres estructuras en la parte sur del croquis (Figura 2.28) están configuradas como en el mapa (Figura 2.25). Dos edificios se encuentran en una fila, alineados norte-sur, y forman con una tercera estructura, hacia el oeste, una ‘L’. Sin embargo, los subterráneos abiertos se encuentran en la estructura más al norte (en el caso de Seler están en la estructura al sureste) y el subterráneo largo (Figura 2.29b) no muestra la forma indicada en las notas del autor, con otra recámara por abajo. Los edificios de este complejo muestran daños y sus muros están parcialmente colapsados (Figura 2.29a), formando montículos.

UAC-9 [UTM: 639767]

En la pendiente del lado occidental (que Seler llama el lado de La Ventana) existen varios grupos de cimientos antiguos. Un ejemplo es el conjunto habitacional UAC-9. Los muros todavía se encuentran en un buen estado de conservación (Figura 2.30), aunque muchas partes están cultivadas con milpa y los edificios antiguos representan para los actuales pobladores una fuente de piedras para construir sus corrales de piedras, como se observa en todos lados de la región. El reconocimiento en UAC-9 fue muy breve, pero se observó el patrón típico de conjuntos de casas compartiendo una plataforma o terraza.

Dos fragmentos de cerámica encontrados en este grupo merecen hacer referencia. Ambos datan del Clásico Tardío. Uno es de un cuenco o plato con un diseño de líneas negras (Figura 5.79, derecha), posiblemente del grupo Tang/Nichel o Musaraña; el otro es un fragmento de un incensario con diseño inciso en forma de líneas cruzadas y restos de pintura de color azul (Figura 5.79, izquierda), probablemente pertenece al grupo Nutria. La presencia de pintura de color azul en incensarios fue notado por Seler (1901:169–171) que cita una reseña realizada por Landa en su *Relación de las cosas de Yucatán* (de Landa 1997:111) sobre la costumbre de pintarraजार ciertos instrumentos de las diferentes profesiones con un “betún azul” durante ceremonias relacionados con el calendario de 365 días. Posiblemente esto también explica la presencia de pintura azul en el sitio La Ventana que notamos en la Sección 2.3, porque según Seler, citando (de Landa 1997:111), también los postes de las casas fueron pintarrajeadas. Para hacer el llamado “betún

azul”, los mayas “desleyan en su vaso un poco de su cardenillo, con agua virgen” (Seler 1901:170 citando de Landa 1997:103).

2.4. Yalambojoch

La aldea de Yalambojoch, a unos ocho kilómetros al este de Chaculá, cuenta con un sitio arqueológico conformado de varios grupos. En el centro de la aldea hay una colina donde hoy en día se encuentra la escuela. Seler (1901:78–79) considera esta colina como una construcción antigua, cuya cumbre llevó una plaza rodeada por terraplenes en sus cuatro lados. Sus observaciones son limitadas, porque justamente en este lugar actualmente se encuentra un granero para maíz y una casa de caña construidos por el dueño de la finca en ese tiempo, Gustavo Kanter. Aparte de este conjunto existen varios otros grupos, unos de los cuales fueron visitados por PARCHA en 2014.

YAL-1 [UTM: 655768], *San Francisco*

El primer informe acerca de la pirámide de San Francisco fue escrito por Seler (1901:78–82). En aquel entonces existió un bosque denso en el terreno alrededor de la pirámide y reporta que había pocas personas en Yalambojoch que conocían el lugar. Seler tomó una fotografía, compuesta por una secuencia de tres fotografías individuales que tuvo que tomar por la densidad de la vegetación y muestra un dibujo de la vista frontal (Figura 2.31a). Parte de la descripción de Seler fueron traducidas al español y publicadas por Falla (2011:80).

En el año 1982 la pirámide era el lugar de una de las masacres más graves durante la época del conflicto armado interno en Guatemala (Falla 2011). Ricardo Falla en su libro sobre la masacre documenta también el estado de conservación de la pirámide en San Francisco. En una fotografía tomada en los años 1960 (Falla 2011:101) aparece la pirámide en un perfecto estado de conservación y no se observa ningún daño, la escalinata y sus alfardas están conservadas y sin duda eran usadas para subir. Todavía en una fotografía tomada en junio de 1983 (Falla 2011:113) la pirámide se encuentra en un buen estado de conservación, incluso se reconoce el cuarto encima. En una fotografía de 2008 (Falla 2011:354) ya se ve claramente la destrucción que sufrió esta pirámide, con partes de la construcción colapsadas y muchas piedras faltantes. Actualmente es lamentable el estado en que se encontró el edificio durante la visita de PARCHA (Figura 2.31b). Por ser una estructura bien conocida en la literatura sobre la región Chaculá, el reconocimiento era limitado. La coordenada fue determinada por Google Earth y la pirámide es bastante visible en las imágenes aéreas.

YAL-2 [UTM: 653766], *Yalambojoch 1*

Al sur de la aldea Yalambojoch queda una parte del sitio arqueológico del mismo nombre que fue llamado en estas investigaciones *Yalambojoch 1*. El grupo (Figura 2.32) se ubica hacia el lado oriental de un pequeño arroyo. Un total de once estructuras fueron definidas, sin embargo por ser un reconocimiento breve y superficial (sin uso de machetes para limpiar el exceso de vegetación) es muy probable que existen más estructuras. Un rasgo interesante observado son dos nacimientos de agua al lado del arroyo. Alrededor se notaron muros de piedras no talladas en mal estado de conservación. Por la vegetación no fue posible tomar buenas fotografías de cerca, pero una vista general del complejo da una impresión (Figura 2.33). Un informante indicó que hasta el año 1980, la gente de Yalambojoch usaba el agua de estos nacimientos como agua potable. No se observó cerámica asociada con los muros, por lo cual no es muy clara su antigüedad.

A unos cuarenta metros de los pozos se encuentra una pirámide con una base cuadrada de aproximadamente 10.5 m × 10.5 m y una altura entre 7 y 8 m. El edificio está cubierto casi completamente con arbustos. La esquina sur-oriental está parcialmente derrumbada. La construcción tiene tres cuerpos y un cuarto encima. La escalinata se preserva en algunas partes y se ubica hacia el lado occidental. La forma y las dimensiones de esta pirámide son similares a la pirámide de San Francisco. Es notable que no fueron observadas estructuras directamente asociadas con la pirámide que queda sola en una planada.

Al nor-oriental de la pirámide se encontraron dos estructuras alargadas paralelas que forman un juego de pelota. El lado occidental está cubierto con vegetación, pero fue posible distinguir la banqueta baja enfrente del muro delimitador y se observó claramente la cancha (Figura 2.34). Una plataforma baja cierra el conjunto al lado norte, formando una 'T' (es posible que al lado sur se encontraba otra plataforma, pero hoy en día no se observa ningún resto de esta construcción).

Las otras estructuras, localizadas al occidente de la pirámide, tienen la apariencia de montículos bajos y los cuales son cubiertos con vegetación lo que no permite ver detalles de la arquitectura. Algunos artefactos fueron encontrados en el superficie de los tres montículos enfrente de la pirámide, tales como una punta de flecha de pedernal que es el único ejemplar de este tipo de artefacto encontrado durante PARCHA 2014 (Figura 2.35a). Asimismo varios pedazos de cerámica plomiza muy erosionada, así como una navaja prismática de obsidiana (Figura 2.35b) que posiblemente proviene del área de Jilotepeque dada su opacidad, siendo diagnósticos del Posclásico temprano. Por la presencia de estos artefactos parece importante seguir con investigaciones en este sitio arqueológico durante futuras temporadas de campo.

YAL-3 [UTM: 653767], *Unin Witz*

El cerro de Unin Witz (Chuj: “cerro pequeño / joven”, literalmente *unin* significa “hijo”) es uno de los cerros que destacan alrededor de la aldea Yalambojoch. Posee una parte cónica muy inclinada y puntiaguda en su lado norte (Figura 2.36), mientras hacia el sur-este hay una parte plana en media subida. En esta planada queda el grupo principal de un pequeño sitio arqueológico (Figura 2.37).

El grupo principal consiste de una plaza hundida (Figura 2.38a) con escalinatas en los lados del norte, oeste y sur, así como una estructura al este y un edificio principal al sur. Este edificio principal (Figura 2.38b) tiene una doble escalinata con alfardas y muestra un banco en el lado sur. La arquitectura de este grupo, especialmente la plaza hundida, recuerda a la estructura larga que delimita la plaza superior de K’atepan en San Mateo Ixtatán (Figura 2.39). Aparte de este grupo hay otro conjunto de estructuras más al sur que consiste de edificios más bajos. Al oeste, en la subida a la cumbre del cerro se encuentran algunas plataformas y terrazas. Para llegar a la cumbre no existe camino, se necesita escalar entre las rocas y por ser muy inclinado y potencialmente peligroso, solo dos trabajadores pudieron subir en el reconocimiento. En el espacio angosto encima del cerro queda una estructura grande, con escalinata y alfardas (Figura 2.40). La vista desde la plaza hundida es impresionante, pero desde la cumbre se pueden ver las pirámides de San Francisco y de Yalambojoch 1. Por la semejanza arquitectónica con K’atepan, el sitio probablemente era ocupado durante el Posclásico temprano.

El estado de conservación del grupo principal y la estructura en la cumbre es muy bueno, las gradas y alfardas están preservadas, solamente el frente del edificio principal muestra algunos daños. Aunque todavía en tiempos recientes la parte del grupo principal era usado para sembrar milpa, los edificios no sufrieron mucho deterioro, especialmente no se han realizado saqueos. Unin Witz destaca por ser el único sitio arqueológico encontrado en la región con rótulos que promueven la protección y valoración del patrimonio cultural. Estos rótulos fueron instalados por la comunidad de Yalambojoch.

2.5. Yuxquen

Una de las preguntas importantes sobre la región de Chaculá concierne en la presencia de asentamientos después de la conquista. No existen iglesias coloniales en esta región fronteriza, considerada “tierra de infieles” (Fuentes y Guzmán 1933:84). Las aldeas que existen hoy en día se fundaron – según la literatura – no más tempranamente que el siglo XIX. Por ejemplo, la Comunidad Lingüística Chuj (2001:147–148) da el año 1812 para la fundación de Yalambojoch; la primera mención de Chaculá aparece en un documento del año 1853 (Archivo General de Centro América [AGCA], Jefatura Política Huehuetenango

1853 Reg. 11, citado por Schwartzkopf 2008:320–321) y según el mismo documento el lugar ya parece haber sido poblado antes del año 1826; la aldea el Aguacate aparece en el libro de Seler (1901:79) bajo el nombre “Aguacatan” y Yuxquen solamente se menciona en un documento del año 1915 (AGCA, Sección de Tierras, Huehuetenango, Paq. 33; Exp. #2, 1915–1917).

La única aldea que se menciona varias veces en documentos coloniales es Asantic (también aparece como Asantique o Asantih). En 1673 Fuentes y Guzmán (1933:87) regresó un grupo de Ixtatecos refugiados de Asantic a San Mateo Ixtatán. En 1712 Asantic era uno de los parajes considerados para re-asentar a los Lacandones de Dolores, recién conquistados, pero al fin la elección fue en favor de Aquespala, más al suroeste, en el actual estado de Chiapas en México (de Vos 1988:206–208). Hasta el fin del siglo XIX se menciona la aldea; cuando se fundó el municipio de Nentón en diciembre de 1876, Asantic era una de las aldeas que cambiaron de San Mateo Ixtatán al nuevo municipio (Piedrasanta Herrera 2009:234–235). En cambio, en el listado de aldeas que pertenecen al municipio de Nentón que da Recinos (1913:203) ya no aparece Asantic.

Gracias a Don Alonso, vecino de la aldea La Trinidad, se pudo resolver la “desaparición” de Asantic al fin del siglo XIX. Según nuestro informante, su padre y abuelo eran de Asantic. Cuando, en los años 1890, se fundó la finca La Trinidad por la familia Kanter, había necesidad de trabajadores. Los Kanter ofrecieron trabajo a los vecinos de Asantic que al principio solamente llegaron a trabajar. Al fin, por una oferta de los Kanter de tener terrenos para sus casas y milpas en la finca La Trinidad, todas las familias se mudaron y dejaron despoblada la aldea de Asantic.

La ubicación de Asantic no está recordada en mapas y queda desconocida. de Vos (1988:206) lo ubica “a una distancia aproximada de diez leguas de San Mateo Ixtatán, al suroeste de la laguna de Yolnabaj[sic!]”, mientras según (Fuentes y Guzmán 1933:87) Asantic queda de San Mateo Ixtatán a “catorce leguas, camino desapacible, áspero y de peñasquería que va á avecindarse á la tierra del Lacandón solas seis leguas”. Don Alonso confirmó la localización general al lado suroeste de la laguna Yolnabaj, en terrenos de las aldeas Aguacate o Yuxquen. El reconocimiento en el área de la aldea Yuxquen tenía el objetivo de reubicar la aldea antigua de Asantic con la ayuda de un guía local.

El nombre Asantic no es conocido, pero fue re-interpretado como *atz’amtik* (Chuj: “lugar de la sal”) y relacionado con un lugar cerca del cerro Quinguá (o K’inwa) conocido como Atz’am K’em (es curioso que la segunda parte es *k’em* “jabalí” y no *k’en*, “piedra”, pero el guía insistió en esta forma). Pasando por Quingua, un lugar donde anteriormente quedaron unas casas, se notó parte del camino pavimentado con piedras (Figura 2.42a).

YUX-1 [UTM: 646773], *Atz'am K'em*

En Atz'am K'em existe una planada amplia rodeada por cerros que hoy en día es usada para la milpa. Existe un arroyo que pasa del noreste al oeste de la planada. El guía mostró una cueva en la parte oriental abajo de una pared de un cerro. No se observaron artefactos adentro o alrededor de la cueva. A unos 5 m de la entrada se abre un espacio al fondo de un pozo de agua.

Al lado norte de la planada queda un pequeño sitio arqueológico (Figura 2.41). La estructura más grande queda sobre una plataforma que aprovecha una elevación natural prominente. Por la densa vegetación no se pudo inspeccionar el lado sur de la plataforma, pero existe la posibilidad de que esta parte fue modificada. El edificio muestra un saqueo grande en su parte sur-oriental, con piedras sacadas de la construcción tiradas alrededor de la estructura. El informante confirmó que este saqueo es reciente. Al norte de esta estructura, un poco más arriba en la pendiente del cerro que encierra este lado de la planada, quedan alrededor de cinco estructuras bajas. Por su tamaño y forma posiblemente son fundamentos de casas. Esta parte del sitio estaba limpiada recientemente, por tal razón se pudieron identificar fácilmente las construcciones (Figura 2.42b). En dos casos se reconocieron plataformas que nivelaban la pendiente, sobre los cuales están ubicadas dos cimientos de casas uno al lado del otro. Es notable la ausencia de artefactos en la superficie, especialmente de cerámica que en otros sitios aparece en grandes cantidades, especialmente en las áreas trabajadas por agricultura. Por tal razón no fue posible fechar el sitio, aunque por los restos de arquitectura visibles que muestran la posible presencia de molduras, típicas para sitios como Uaxac Canal o Quen Santo, podría tratarse de un sitio del clásico tardío.

El sitio Atz'am K'em es importante por su ubicación en la montaña en la parte septentrional de la Región de Chaculá, lejos de todos los otros sitios conocidos por Seler. Toda esta zona es completamente desconocida arqueológicamente y aún más difícil de acceso, por la falta de caminos grandes. Por ser tan montañoso, se encuentra casi despoblada esta parte, las aldeas más próximas se encuentran cerca de la frontera con Mexico hacia el norte. Unos de los informantes indicaron que existen más sitios arqueológicos en esta área. Por esto se planea el realizar más recorridos por esta parte en futuras temporadas.

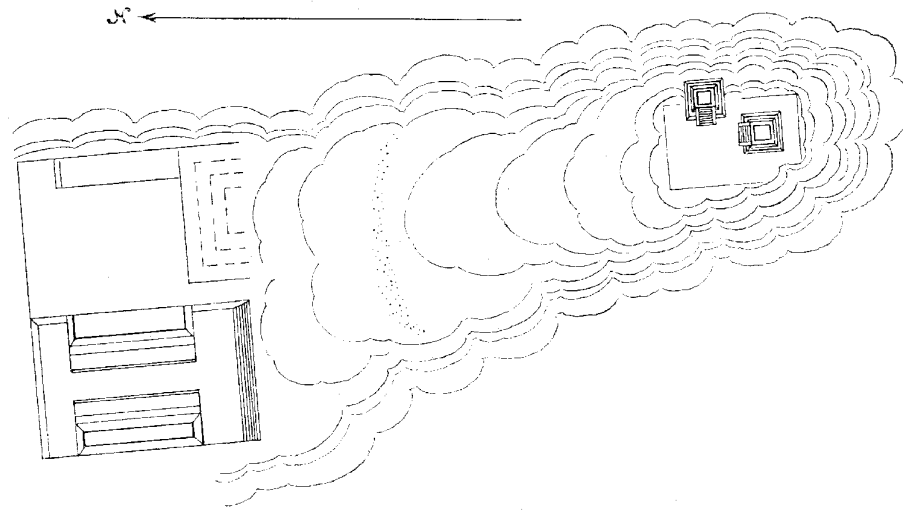


Figura 2.1 Chaculá, CHA-4 / Templo del Este, mapa de Seler (1901:Fig. 44)

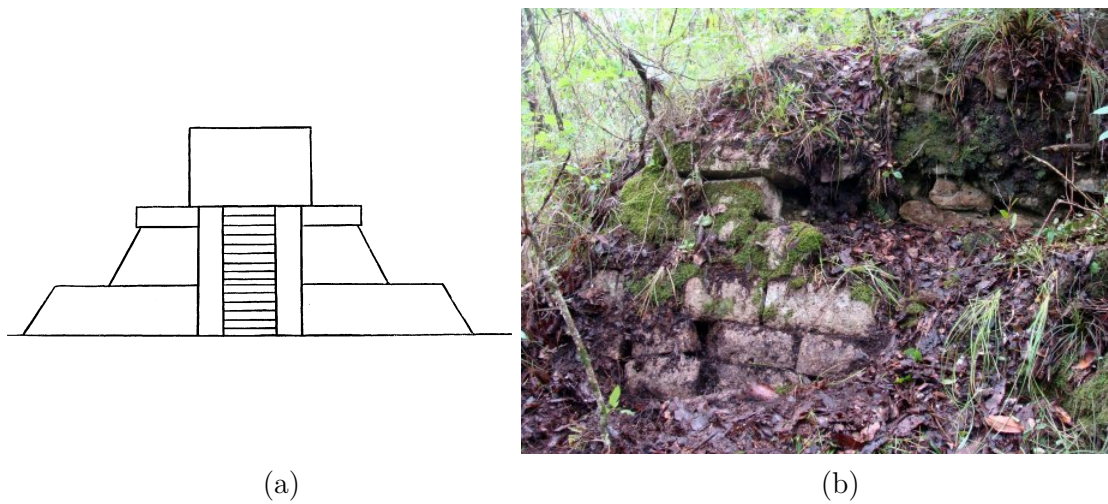


Figura 2.2 Chaculá, CHA-4: (a) vista frontal de las estructuras, dibujo tomado de Seler (1901:Fig. 47); (b) muro del edificio al oriente, fotografía por U. Wölfel

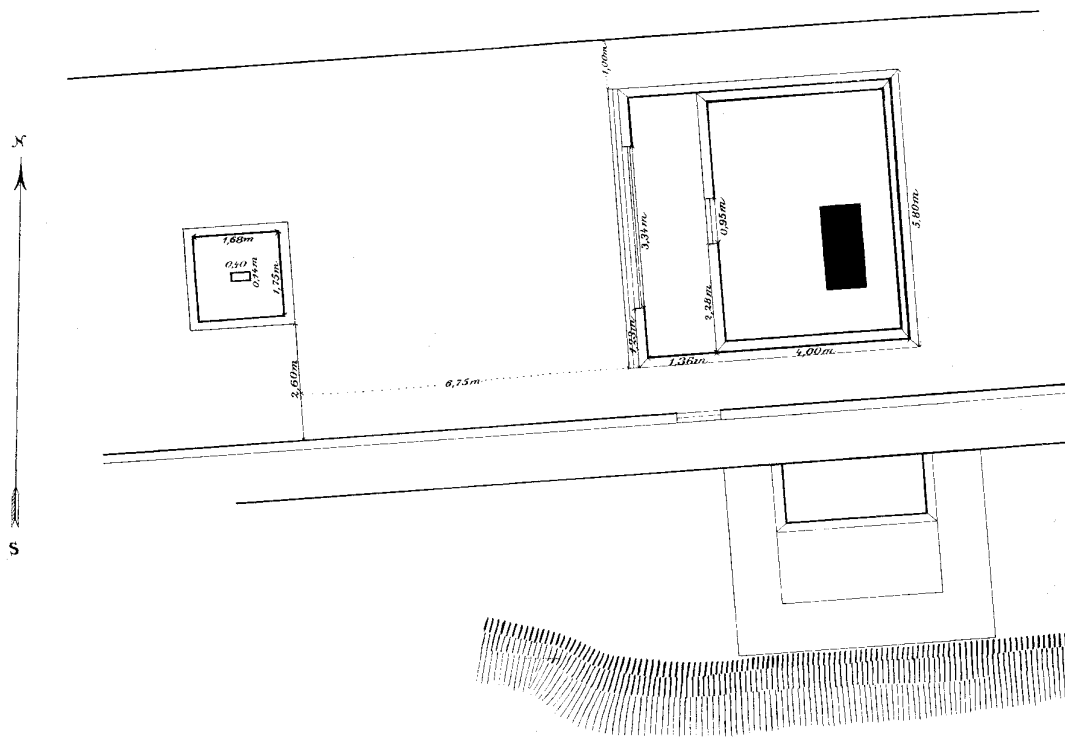


Figura 2.3 Chaculá, CHA-5 / “Templo y fundamento de una casa”, mapa de Seler (1901:Fig. 43)



(a)



(b)

Figura 2.4 Chaculá, CHA-5: (a) muro preservado; (b) subterráneo, fotografías por U. Wölfel



Figura 2.5 Chaculá Viejo, CHA-6, fundamento de un edificio, fotografía por U. Wölfel

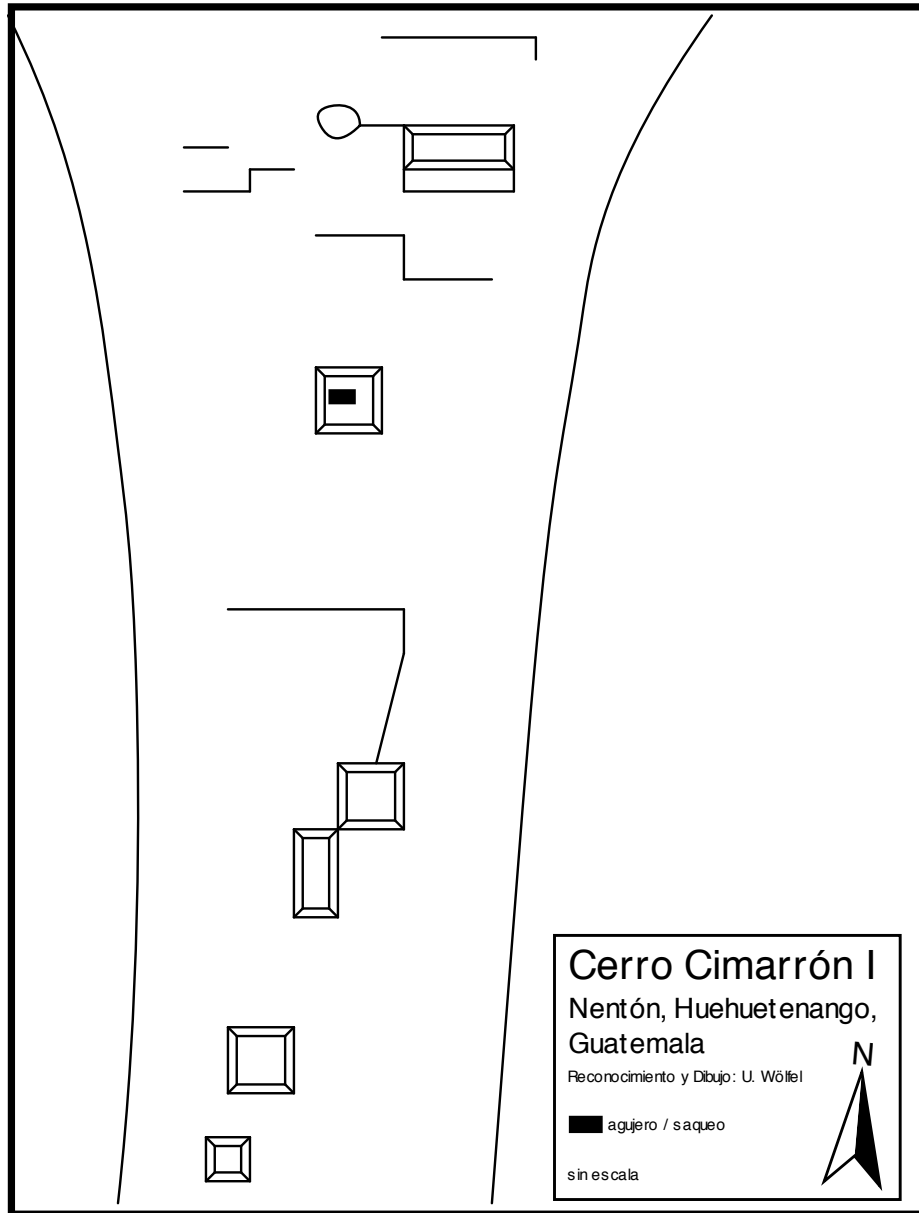


Figura 2.6 Cerro Cimarrón, lado sur, croquis del sitio, dibujo por U. Wölfel

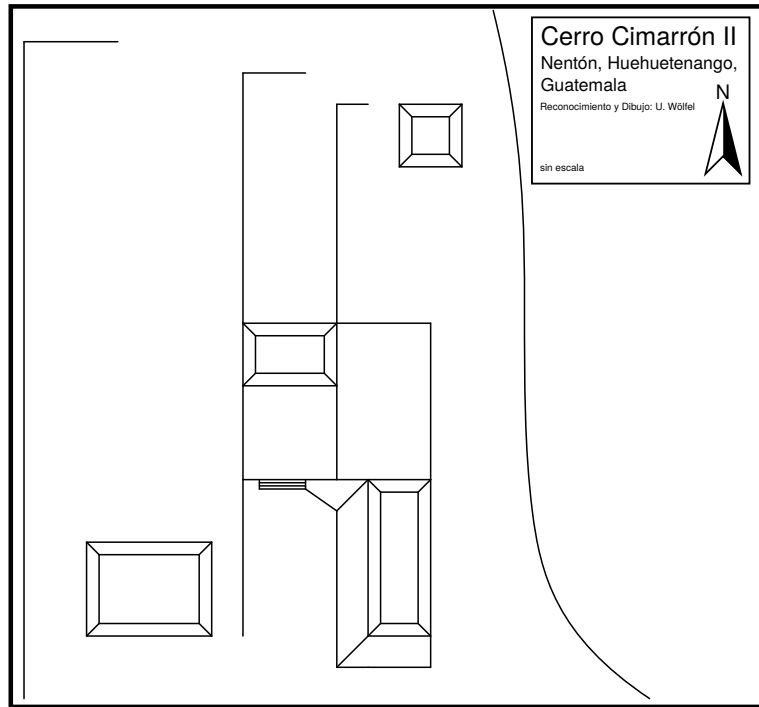


Figura 2.7 Cerro Cimarrón, lado oeste, croquis del sitio, dibujo por U. Wölfel



Figura 2.8 Cerro Cimarrón, lado oeste, muro preservado, fotografía por U. Wölfel



Figura 2.9 El Cimarrón, la piedra redonda: (a) dibujo de Seler (1901:Fig. 89); (b) fotografía tomada durante el reconocimiento, fotografía por U. Wölfel

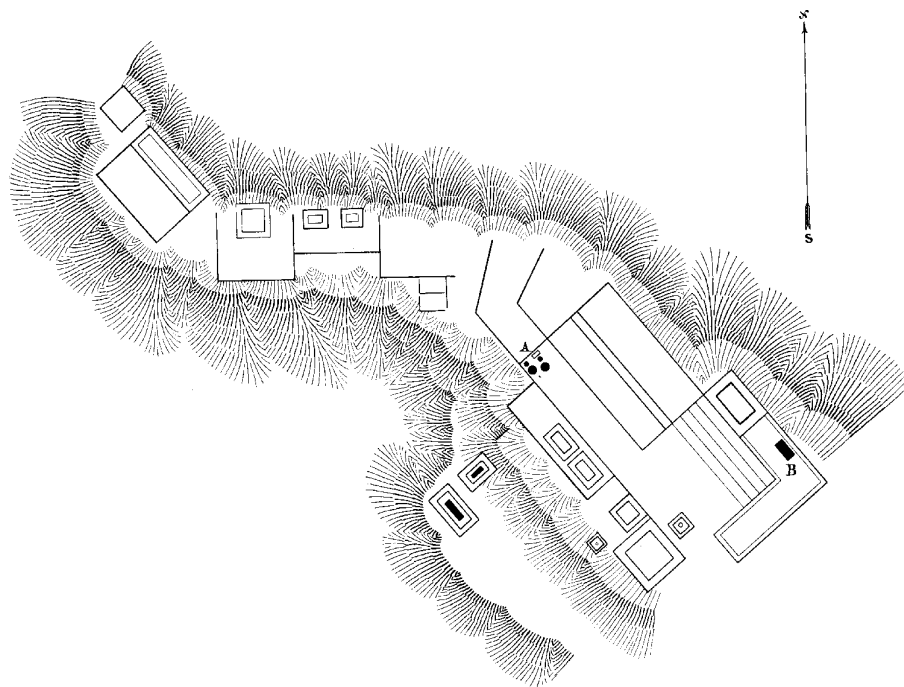


Figura 2.10 Uaxac Canal, Grupo Piedra Parada, mapa de Seler (1901:Fig. 37)



Figura 2.11 Uaxac Canal, Grupo Piedra Parada: (a) la piedra parada con las excavaciones de Seler (véase también Figura 2.10, A) a la izquierda; (b) las excavaciones de Seler, fotografías por U. Wölfel



Figura 2.12 Uaxac Canal, Grupo Piedra Parada, fotografía por U. Wölfel

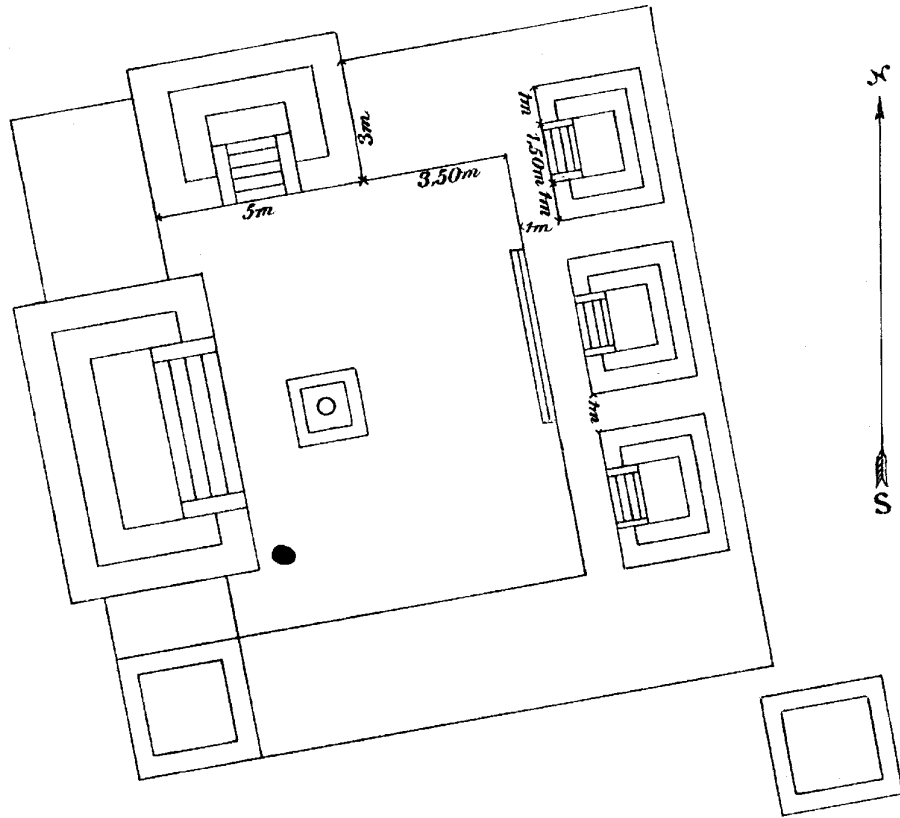


Figura 2.13 Uaxac Canal, grupo al lado de la piedra parada, el posible “Grupo E”, mapa de Seler (1901:Fig. 32)



Figura 2.14 Uaxac Canal, “Grupo E”, las tres estructuras al este, fotografía por U. Wölfel



(a)



(b)

Figura 2.15 Uaxac Canal, “Grupo E”: (a) posible monumento; (b) cueva, fotografías por U. Wölfel

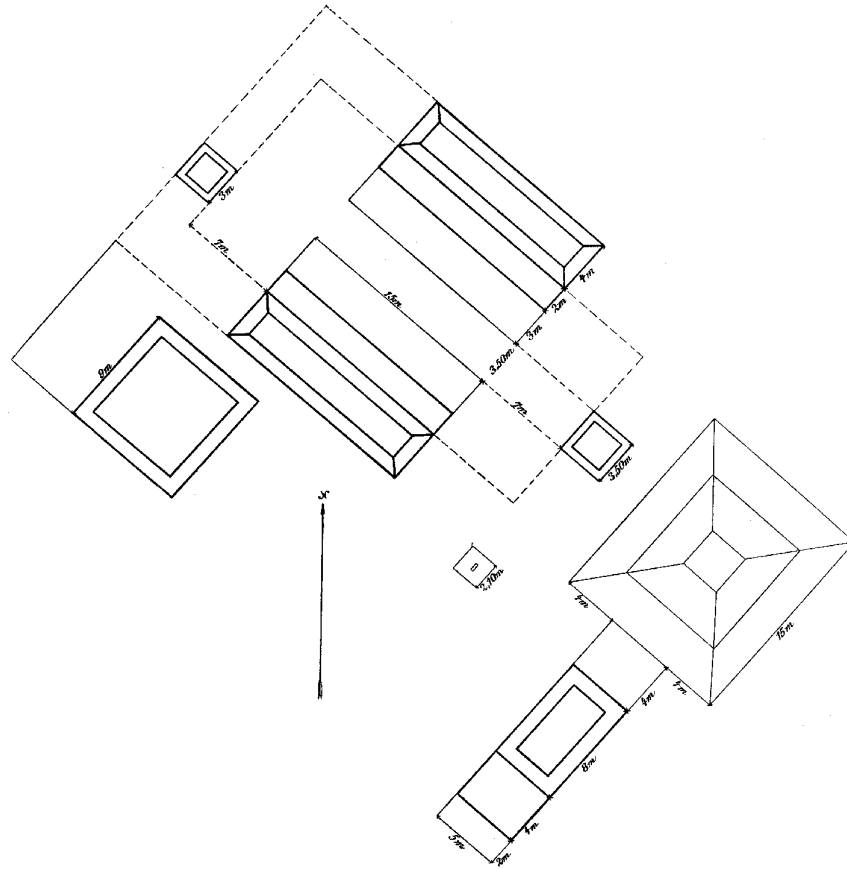


Figura 2.16 Uaxac Canal, Grupo Llano, mapa de Seler (1901:Fig. 12)



Figura 2.17 Uaxac Canal, Grupo Llano, la estructura principal, vista desde el lado de atrás, fotografía por U. Wölfel



Figura 2.18 Uaxac Canal, Grupo Llano, la cancha para el juego de pelota, fotografía por U. Wölfel

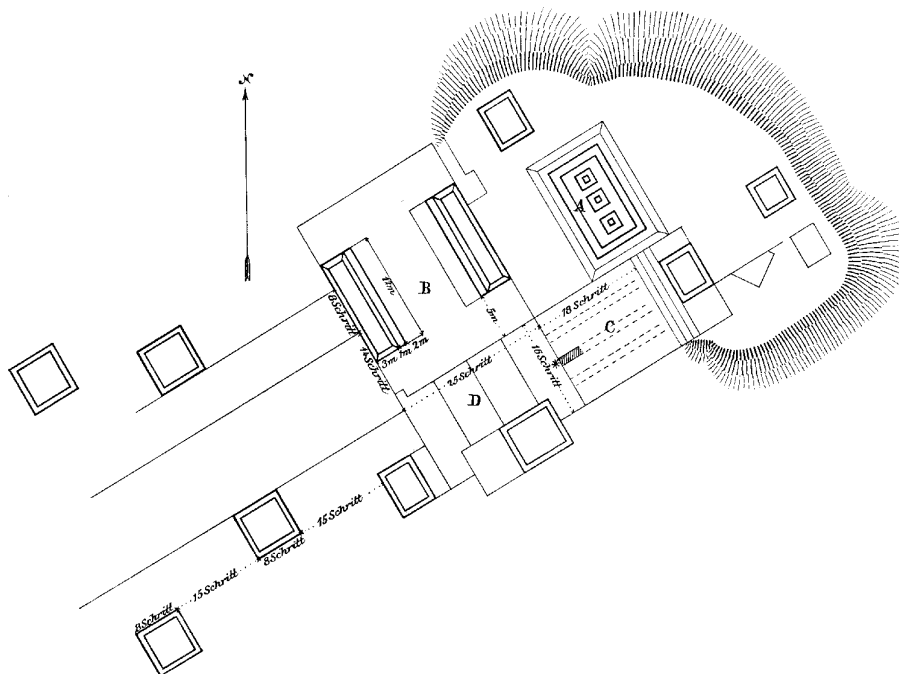


Figura 2.19 Uaxac Canal, Grupo Ventana, mapa de Seler (1901:Fig. 41)



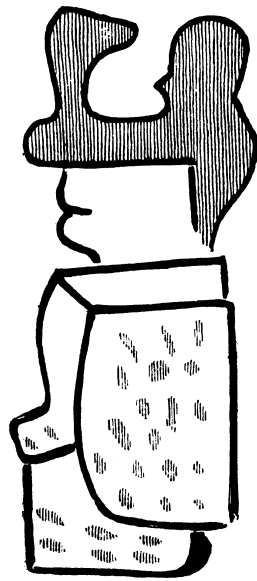
Figura 2.20 Uaxac Canal, La Ventana, fotografía por U. Wölfel



Figura 2.21 Uaxac Canal, vista dentro de la Ventana, fotografía por U. Wölfel



Figura 2.22 Uaxac Canal, Grupo Ventana, lado del juego de pelota, fotografía por U. Wölfel



(a)



(b)

Figura 2.23 Uaxac Canal, arte rupestre en la Cueva de los Pájaros: (a) dibujo de Seler (1901:Fig. 88); (b) fotografía del dibujo tomada durante reconocimiento, fotografía por U. Wölfel



Figura 2.24 Uaxac Canal, UAC-6, fotografía por U. Wölfel

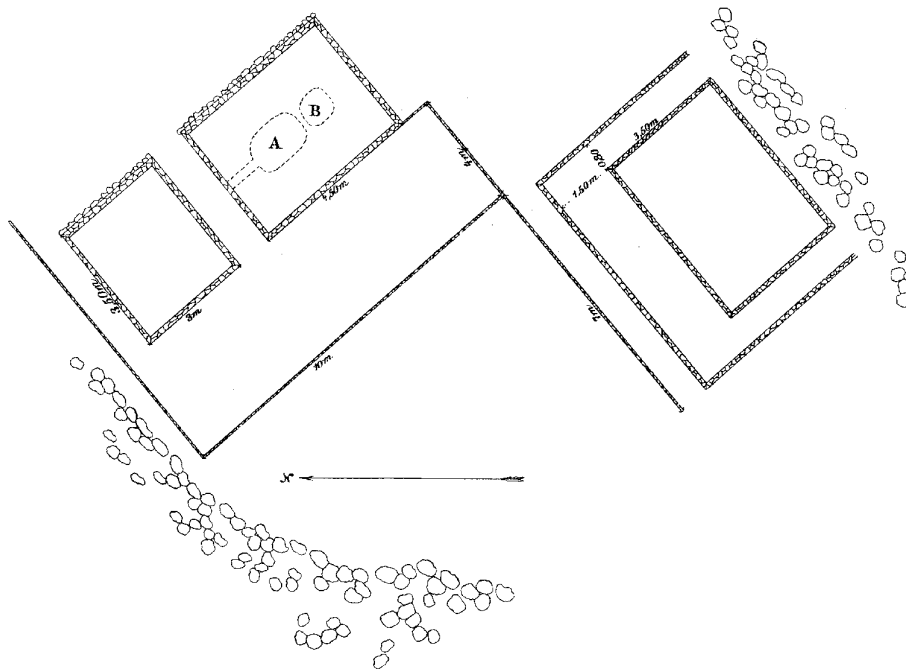


Figura 2.25 Uaxac Canal, "Hügelgruppe 1", mapa de Seler (1901:Fig. 28)

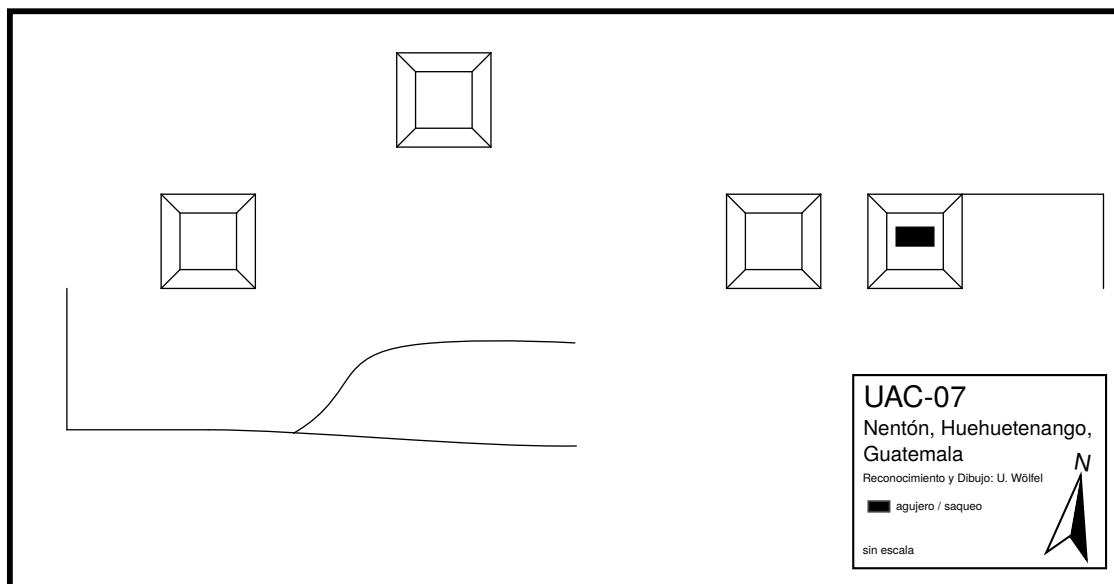


Figura 2.26 Uaxac Canal, UAC-7, croquis del sitio, dibujo por U. Wölfel



Figura 2.27 Uaxac Canal, UAC-7, fotografía por U. Wölfel

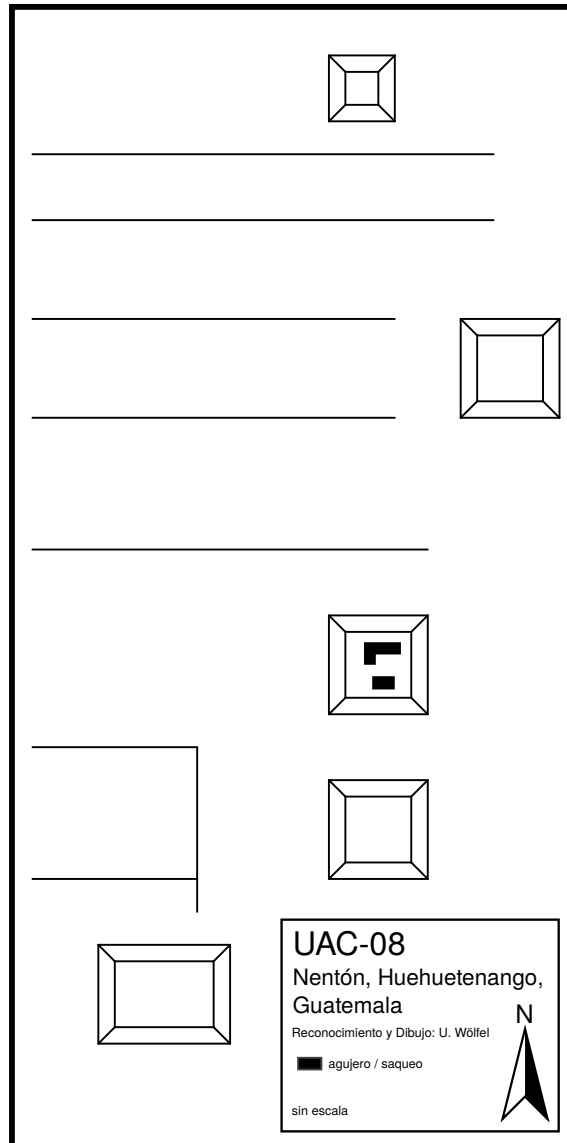


Figura 2.28 Uaxac Canal, UAC-8, croquis del sitio, dibujo por U. Wölfel



Figura 2.29 Uaxac Canal, UAC-8: (a) estructura; (b) subterráneo largo, fotografías por U. Wölfel



Figura 2.30 Uaxac Canal, UAC-9, fotografía por U. Wölfel

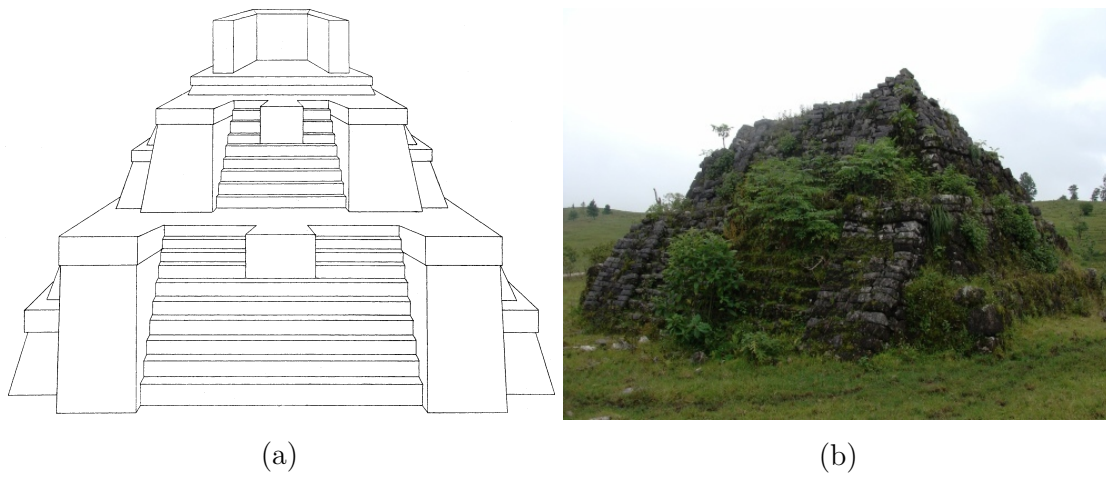


Figura 2.31 San Francisco, piramide: (a) dibujo de Seler (1901:Fig. 87); (b) fotografía tomada durante el reconocimiento, fotografía por U. Wölfel

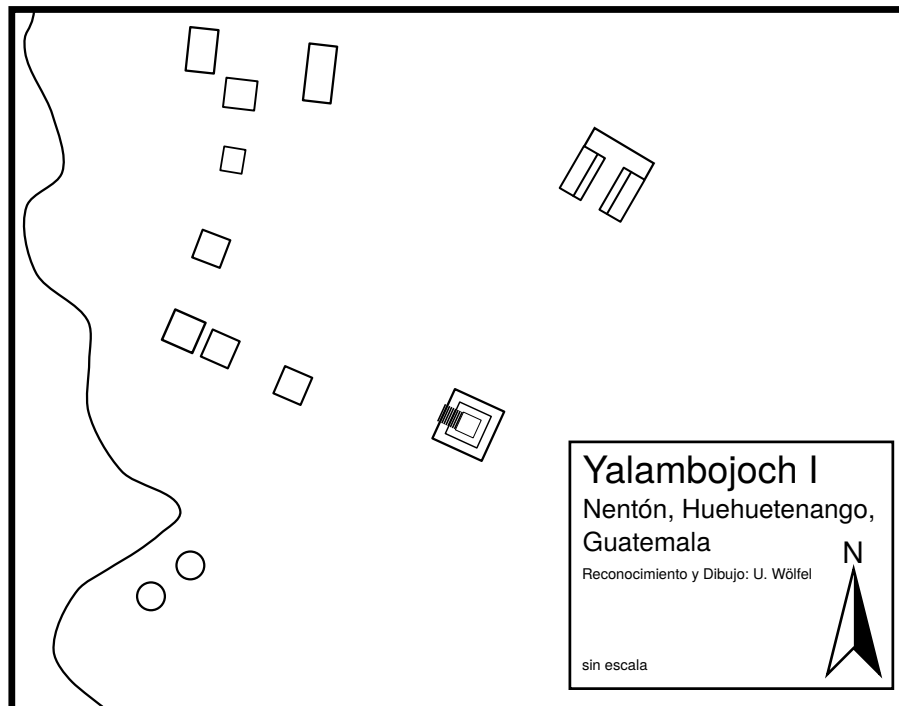


Figura 2.32 Yalambojoch 1, croquis del sitio, dibujo por U. Wölfel



Figura 2.33 Yalambojoch 1, los nacimientos de agua, fotografía por U. Wölfel



Figura 2.34 Yalambojoch 1, la cancha del juego de pelota, fotografía por U. Wölfel



Figura 2.35 Yalambojoch 1, artefactos: (a) punta de flecha (pedernal); (b) navaja prismática (obsidiana), fotografías por U. Wölfel



Figura 2.36 El cerro Unin Witz, vista del lado norte, fotografía por U. Wölfel

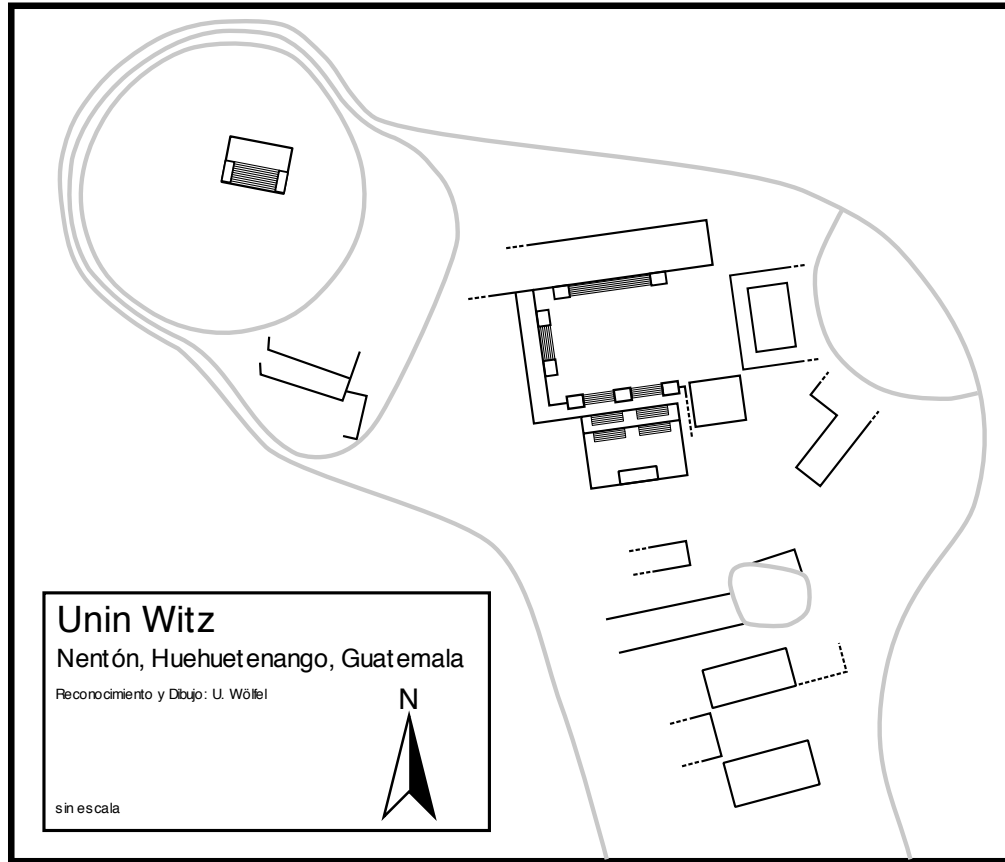


Figura 2.37 Unin Witz, croquis del sitio, dibujo por U. Wölfel



(a)



(b)

Figura 2.38 Unin Witz, grupo principal: (a) plaza hundida; (b) estructura principal, fotografías por U. Wölfel



Figura 2.39 K'atepan, estructura al lado de la plaza superior, fotografía por U. Wölfel



Figura 2.40 Unin Witz, estructura en la cumbre del cerro, fotografía por J. Sánchez

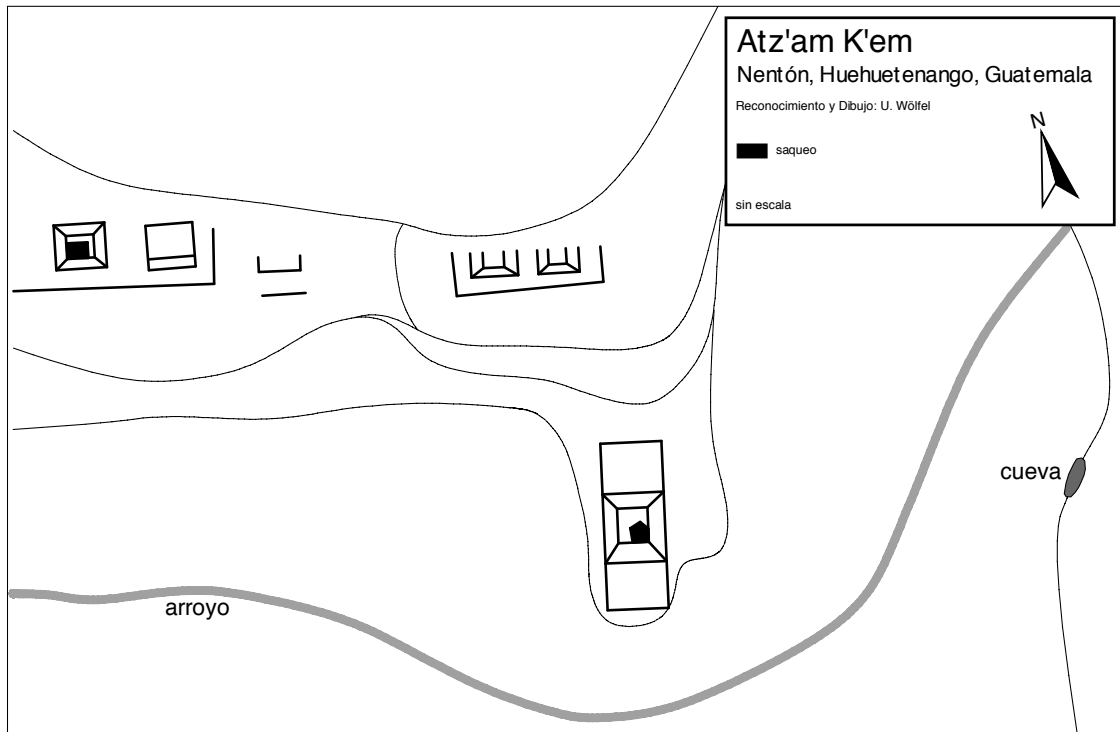


Figura 2.41 Atz'am K'em, croquis del sitio, dibujo por U. Wölfel



(a)

(b)

Figura 2.42 (a) Quinguá, camino con pavimento de piedras; (b) Atz'am K'em, esquina de una de las estructuras, fotografías por U. Wölfel

3 Mapeo del sitio arqueológico Chaculá

Ulrich Wölfel

La segunda operación de la temporada 2014 de PARCHA consistió en la continuación del mapeo en el sitio arqueológico Chaculá. Durante PARCHA 2013 dos grupos (Grupo A y Grupo B) fueron mapeados en un área de estudio escogido por tener una gran densidad de estructuras prehispánicas. Esta área se caracteriza por un bosque denso en un terreno ligeramente montañoso.

Seler (1901) fue el primero en reportar el complejo monumental del Grupo B, también conocido como el “Templo del Oeste”, por tal razón un re-estudio de este complejo era un objetivo importante de PARCHA 2013. El Grupo A quedó desconocido en la literatura científica y presentó un conjunto con un gran número de estructuras construidas en pendientes de colinas rodeando una planada (cono de denudación).

Sin embargo, entre los Grupos A y B quedó un espacio no mapeado de aproximadamente 200 m (E-O) por 450 m (N-S). La exploración y la realización de un mapa de esta área intermedia fue el objetivo de la Operación 2 de PARCHA 2014. Asimismo, en la parte nor-oriental del Grupo A todavía quedaron unas partes no investigadas.

La metodología empleada en el mapeo consistió en la división del área con brechas de 1.5 m de ancho con un espacio de aproximadamente 40 m entre cada dos brechas vecinas. Las brechas sirvieron para (a) facilitar el acceso en la exploración, con el fin de identificar estructuras prehispánicas y limpiarlas de la maleza y (b) la medición de las estructuras para producir los datos en los cuales se basa el mapa. La medición fue llevada a cabo con una estación total (Nikon Nivo 5.M), partiendo de puntos fijos establecidos alrededor del área de estudio en 2013 (usando cemento) y puntos temporales que fueron marcados con estacas y clavos durante el mapeo. Aparte de la medición de las estructuras, se mapeó también la topografía del área que consiste en varias colinas y conos de denudación. Como se describe más adelante, la topografía está directamente relacionada con el patrón de asentamiento que se encuentra en el sitio arqueológico Chaculá.

La diferencia en la metodología del mapeo usadas en las temporadas 2013 y 2014 muestra ciertas ventajas y desventajas de cada una. El enfoque en un grupo entero po-

tencialmente resulta en un mapa más completo del mismo grupo (por ejemplo Grupo A, excepto unas pocas estructuras adicionales mapeadas en 2014), pero es más arbitrario en cuanto a la selección de las áreas. Usando brechas, dividiendo un área cuadrada pre-determinada, resulta en un mapeo más sistemático y tiene más potencial descubrirse grupos desconocidos (en 2014 fueron hallados los Grupos C, D, E, así como una parte desconocida del Grupo B), pero en el caso de Chaculá los límites de los grupos (determinados por la topografía) no coincidieron bien con los límites del mapeo (determinados por un rectángulo delimitando el espacio entre Grupos A y B). Así resulta que los mapas producidos en esta temporada muestran solamente partes de tres grupos descubiertos recientemente.

3.1. El Grupo A

La parte nor-oriental de Grupo A (Figura 3.12) fue explorada y mapeada solamente durante PARCHA 2014. En esta parte se encuentran cuatro estructuras. Cerca del complejo A-56 a A-59 está A-61, que es una plataforma habitacional con gradas hacia la pendiente y una banca en su interior; un poco al sur de esta estructura hay unas gradas, A-62, que posiblemente formaron parte de una plataforma muy baja y ya destruida. Otra plataforma de casa, A-64, queda cerca, al norte, del complejo A-32 a A-34. Partes de la plataforma enfrente de esta estructura están colapsadas. Una pequeña plataforma formada por piedras naturales, A-63, se encuentra al sur-oriental de A-64.

Después de la realización de las excavaciones en la unidad TP-A-15, la plataforma en que se encuentra la piedra parada fue medida y recibió el número A-60. En el mapa la piedra parada parece estar localizada fuera del centro de la plataforma. Esto es debido a que la piedra parada está inclinada hacia el nor-occidente y el punto tomado durante el mapeo en 2013 se encuentra en la punta de la piedra.

3.2. El Grupo D

Directamente al norte de Grupo A se encuentran los Grupos D y E. Ambos grupos muestran el patrón ya conocido en el Grupo A el cual consiste en estructuras construidas en las pendientes de cerros o colinas rodeando una planada que forma el fondo de una depresión natural (cono de denudación).

Cada uno de los grupos de Chaculá consiste en un complejo de estructuras asociadas con una planada, es decir, cada planada sirve como el foco de un grupo. La determinación de los límites que dividen los grupos uno del otro, se realizó en campo usando (a) la orientación del frente de las plataformas de casa (especialmente las gradas) hacia una

planada y (b) la proximidad a otras estructuras asignadas a uno de los grupos.

Por ejemplo, la orientación de A-64 se encuentra más hacia la planada del Grupo E, pero la estructura está cerca de A-32, con muros de terrazas conectándolas. En el caso de D-12, la estructura está orientada más hacia la planada del Grupo A, pero por estar cerca de D-1, cuenta como parte de Grupo D. El edificio D-1, uno de los mejores preservados del grupo (Figura 3.1a), queda muy cerca al Grupo A, pero por su orientación hacia la planada de Grupo D, forma parte de este grupo.

La división entre los grupos constituye una interpretación preliminar y en parte subjetiva. Queda para futuras investigaciones determinar las conexiones y divisiones entre los grupos rodeando planadas en Chaculá.

El mapeo en el Grupo D incluyó un total de 12 edificios. Por ser colindante con los Grupos A (al sur), E (al oeste) y C (al norte) el mapa del Grupo D (Figura 3.13) está completa en estas partes, mientras hacia el este existen varias estructuras (aproximadamente 5) que todavía pertenecen al grupo D, que quedaron fuera del área mapeada.

La planada está rodeada por una terraza baja. En algunas partes se pueden distinguir las piedras no talladas usadas en su construcción. Solamente durante la época de lluvia se junta agua en algunas partes. No existen estructuras asociadas directamente con la planada. Al lado nor-oriental, cerca de D-2 existe un rasgo que se puede interpretar como un pequeño canal (Figura 3.1f), posiblemente de origen natural, que baja hacia la planada (Figura 3.1d).

La Estructura D-2 es la menos preservada del grupo. De las piedras que taparon un subterráneo en forma de 'L' solamente quedan algunas que dan la apariencia de un "esqueleto" (Figura 3.1b). Enfrente del edificio se encontraron unas gradas que permiten subir al nivel de la terraza.

Existen dos conjuntos de edificios con carácter habitacional, D-3 y D-4, que se encuentran al nor-oriental de la planada. La Estructura D-3 está construida sobre una plataforma de piedras grandes no talladas con formas muy irregulares (Figura 3.1c). El acceso posiblemente fue por el lado sur-oeste, aunque no se observó una escalinata. La Estructura D-4 no comparte la misma plataforma con D-3, pero por su cercanía es probable que era parte del mismo conjunto. Las terrazas al lado sur-oeste de D-3 llegan hasta D-11, un edificio pequeño que podría haber sido parte del conjunto, aunque a cierta distancia. Un rasgo interesante de D-11 es la incorporación de un afloramiento de la roca madre en la plataforma, sobre el cual está construido el edificio. Otra estructura cerca de D-11 es la D-10, construida sobre una plataforma que no comparte con otro edificio. La presencia de una banca la identifica como casa habitacional, aunque no se reconoce una asociación con otros edificios.

El conjunto más grande está conformado por las estructuras de D-5 a D-7, todas

construidas sobre la misma plataforma de piedras grandes, y posiblemente también D-8 y D-9, a los lados. La plataforma de D-5/6/7 está parcialmente derrumbada enfrente de D-7. Probablemente y siguiendo con el patrón común en Chaculá, el acceso a la plataforma no era frontal, pero lateral – el lado occidental se observa con algunas piedras caídas, que podrían ser los restos de una pequeña escalinata (Figura 3.1e). La presencia de una banca en D-5 indica que fue un conjunto habitacional; existe la posibilidad de otras bancas en D-6 y/o D-7 y que hoy ya no son visibles en el superficie.

Entre las estructuras no mapeadas destaca una estructura al oriente del grupo. Está construida sobre una plataforma que muestra un anexo central que sobresale. Aunque al principio el anexo parecía como una escalinata destruida, la examinación con más detalle de la construcción muestra que no habían gradas, pero posee muros rectos que llegan a la altura del resto de la plataforma. Encima de esta plataforma se encuentra una piedra larga, con una base ancha que podría haber sido erigida como “piedra parada”. Este patrón de una plataforma con anexo sobresaliente también fue observado en las plataformas de E-10 y C-9 (véase más abajo).

3.3. El Grupo E

La división entre los Grupos D y E no es tan pronunciada como en el caso de los Grupos A y D. Al oeste de la planada del Grupo D, el terreno no se eleva para formar una pendiente, pero baja hacia la planada de otro cono de denudación que es parte del Grupo E. El límite entre los dos grupos fue determinado por el borde occidental de la planada del Grupo D, pero esta división podría ser arbitraria y los dos grupos podrían ser considerados como uno solo. Debido a la falta de tiempo solamente 15 estructuras fueron mapeadas. El reconocimiento en el área identificó por lo menos unas 20 estructuras más, y es posible que existe un número todavía más alto.

Las estructuras mapeadas (Figura 3.14) tienen un carácter habitacional, las plataformas de casas se encuentran encima de terrazas o plataformas construidas en las pendientes circundando la planada, asociada con este grupo que se encuentra al oeste del área mapeada. Conjuntos de edificios, como por ejemplo E-4 y E-5, fueron erigidos sobre una plataforma y muestran rasgos que pueden ser parte de escalinatas (Figura 3.2a) y bancas (E-4) que permiten la identificación de casas habitacionales. Generalmente, no hay una gran diferenciación con respecto al tamaño de los edificios en la parte mapeada. En el caso de E-9 la división entre el edificio y una posible plataforma que se extiende hacia el norte no fue visible, por esta razón se observa con forma de una ‘L’.

Un rasgo notable es la presencia de una pequeña cueva (EC-1) al lado norte de la plataforma de E-4 y E-5. Esta cueva tiene una profundidad de 2.30 m. Aunque la cueva no

fue explorada por PARCHA, la presencia de un complejo habitacional inmediatamente al lado indica que fue importante en la selección del lugar de construcción. Se observó otro ejemplo de una cueva directamente asociada con un conjunto habitacional en el Grupo C, enfrente de C-23 (CC-1, véase más abajo). Existen también varias cuevas en la parte de Chaculá denominada “las siete cuerdas”, al oeste del pueblo actual. Se espera en estudios futuros explorar estas cuevas y determinar su uso y significado para los antiguos habitantes.

El estado de conservación es muy variado en este grupo. Mientras en el caso de E-7 las gradas y una alfarda de la escalinata son claramente visibles (Figura 3.2b) al igual que el muro de la plataforma con sus piedras grandes está bien preservadas (Figura 3.2c), otras partes del grupo, como la plataforma de E-4 y E-5 o el complejo de E-11 a E-14 (Figura 3.2e) muestran un alto nivel de derrumbe. La ausencia de grandes agujeros o trincheras indica que esta destrucción no fue causada por saqueo.

Un rasgo interesante es un anexo sobresaliente en la plataforma enfrente de E-10 (Figura 3.2d). Aunque está muy destruida, se puede distinguir como una adición a la plataforma, porque el muro sigue recto atrás del anexo. Un anexo muy similar existe en la plataforma de C-9 (abajo) y en una estructura al este de la parte mapeada del Grupo D (véase más arriba), formando un patrón común en Chaculá.

A una distancia de aproximadamente 150 m al oeste de E-7 (fuera del área de mapeo para 2014) existe un complejo notable por su arquitectura que forma parte del Grupo E. Una estructura construida en una pendiente inclinada muestra una cantidad grande de piedras derrumbadas (Figura 3.2f). En su estado actual parece ser un montículo derrumbado de una pirámide construida en la pendiente del cerro, aunque no es claro si realmente era parte de una pirámide. La cantidad del derrumbe y la manera en que cayeron las piedras podría ser indicio de que la estructura tenía paredes de piedra, un rasgo raro en Chaculá, solamente observado por Seler (1901) en los templos del oeste y este. La ubicación del acceso podría ser al lado del cerro, es decir, atrás de la estructura, al nivel de una terraza. Al otro lado de esta terraza, hacia el cerro, existe otro edificio que está cubierto con una densa vegetación. A sus lados existen muros de plataformas con piedras grandes. Al parecer este edificio también podría haber tenido paredes de piedra. Aunque está en mejor estado de conservación, la vegetación no permite una vista completa, por esto las observaciones son muy preliminares. Sin embargo, parece claro que este conjunto destaca de los otros encontrados en los Grupos A, C, D y E. Los edificios más semejantes a este complejo es el “Templo del Oeste” del Grupo B. La presencia de un posible conjunto ceremonial en el Grupo E hace destacar este grupo y subraya la importancia de estudios futuros en el mismo.

3.4. El Grupo C

El Grupo C (Figura 3.15) está localizado al norte de los Grupos D y E, asimismo al sur del Grupo B. Este grupo fue el último en ser mapeado durante la temporada 2014 y por falta de tiempo no todas las estructuras encontradas durante el reconocimiento pudieron ser mapeadas¹. El grupo muestra el mismo patrón conocido de Chaculá, es decir, las estructuras están construidas sobre plataformas y terrazas en las pendientes circundantes de un cono de denudación. Al fondo de esta depresión existe una planada.

El complejo más grande del Grupo C está conformado por los edificios C-7 a C-14. Posiblemente las Estructuras C-5 y C-6 podrían ser parte de este complejo, porque estos comparten una terraza con C-7 y están separados por otras partes del grupo en los lados norte y este por un muro exento, un rasgo no muy común en el sitio. En la misma manera que los complejos habitacionales en otras partes del sitio, los edificios principales, C-10 (Figura 3.3a) y C-11, están construidos sobre una plataforma (Figura 3.4a), viendo hacia la planada del grupo. A los lados de los edificios principales quedan otras estructuras, C-12 y C-7 sobre la misma plataforma, C-8, C-9 y C-13 sobre una plataforma a un nivel más bajo y C-14 a un nivel menor que el anterior, enfrente de C-13.

La plataforma de C-9 (Figura 3.4b) se encuentra casi centrada enfrente de la plataforma principal con las Estructuras C-10 y C-11, sobresale la plataforma sobre la que están construidas C-8 y C-13. Este rasgo es comparable con E-10 y una plataforma no mapeada en Grupo D (véase más arriba). La Estructura C-9 (Figura 3.3c) es una plataforma muy baja que muestra un subterráneo en forma de 'L' (Figura 3.5a). Dentro del subterráneo que fue encontrado abierto quedan fragmentos de cerámica utilitaria (tipo Chachalaca); algunos fragmentos también se encuentran afuera, al lado del subterráneo. Posiblemente fue abierto en tiempos recientes y los pedazos de cerámica observados son los restos que los saqueadores dejaron.

El estado de conservación en el conjunto principal es variado. Generalmente, las estructuras son bien preservadas, las gradas de las escalinatas de C-8 y C-12 (Figura 3.6a) son bien visibles. Partes de las Estructuras C-7 y C-8 están derrumbadas y C-12 muestra dos trincheras en su parte superior, posiblemente saqueos. La plataforma que sostiene C-10 y C-11 está derrumbada enfrente de las estructuras (Figura 3.8b) – no es claro si existían gradas o si el acceso a los edificios fue por los lados, como es el caso en otros complejos de Chaculá. La estructura más dañada es C-5, cuyo lado nor-occidental está completamente derrumbado. Se observa una trinchera grande en lo que parece ser un subterráneo (Figura 3.8a). Es uno de los casos de saqueo más graves observados en Chaculá. Otra estructura con alto nivel de destrucción es C-31 (Figura 3.8d). En este

¹Las estructuras del Grupo C que faltan de incluir en el mapa son C-1 a C-4 y C-15 a C-21

caso ya no es posible reconocer la orientación del edificio; se presume igual a C-29, con la entrada hacia el oeste.

La Estructura C-13 (Figura 3.3b) tiene el potencial de ser una de las más importantes del conjunto principal. Al inicio fue reconocida como una pequeña plataforma o un altar, posiblemente asociado con C-12. Una inspección más cuidadosa mostró la existencia de dos filas de piedras paralelas que entran del lado norte (posible acceso) hacia el sur (por adentro del edificio). Existe la posibilidad de que esta estructura tuvo una función de temascal (baño de vapor). Con respecto a esta hipótesis, el espacio definido por las dos filas de piedras podría haber servido como (a) un drenaje, (b) una entrada angosta que no permitía la salida del vapor o (c) el espacio entre dos bancas en el interior del temascal. Estos argumentos fueron también encontrados en la literatura sobre temascales arqueológicos (Satterthwaite 2005; Matarredona Desantes 2014), pero se debe tomar en cuenta que la estructura en Chaculá es mucho más sencilla que los edificios elaborados de Piedras Negras u otros lugares. Además, con la poca evidencia superficial en el caso de C-13 es importante comprobar esta hipótesis con excavaciones en una futura temporada de PARCHA.

Al sur del complejo principal se observaron otros conjuntos habitacionales. El conjunto C-22–C-24 destaca por la presencia de una pequeña cueva (CC-1) enfrente (esquina sur-oeste) de C-23, similar a la cueva observada al lado de la plataforma de E-4 y E-5 (EC-1, véase más arriba). Durante los trabajos de medición de los edificios, se observaron dos fragmentos de un espeleotema, probablemente una estalactita (Figura 3.7a) al lado del subterráneo abierto de C-22. El subterráneo de C-23 es un ejemplo particularmente largo de este tipo de rasgo arquitectónico (Figura 3.5b). Aunque las estructuras se encuentran parcialmente dañadas (Figura 3.8c), todavía quedan suficientes detalles visibles, como los muros y esquinas en la parte posterior de la Estructura C-23 (Figura 3.3d) o las gradas bien preservadas de la escalinata frontal en C-24 (Figura 3.6b).

Otro conjunto habitacional consiste en las Estructuras C-25 y C-26, organizadas en forma de una ‘L’ sobre una plataforma, con C-26 viendo hacia la planada del Grupo C (al oeste) y C-25 orientada hacia el sur. La banca de C-26 todavía es claramente visible (Figura 3.3e). Enfrente de la plataforma se encontró el fragmento de un metate (Figura 3.7b).

Las Estructuras C-27–C-29 forman otro grupo habitacional, en donde C-28 y C-29 forman una ‘L’, aunque C-28 parece orientada hacia un espacio al lado de C-29 y no hacia la plataforma enfrente de C-29. La Estructura C-27 queda enfrente de la plataforma de C-29 posiblemente viendo hacia la misma, aunque esto no es tan claro debido a su mal estado de conservación. Siendo el edificio principal y por esto también el más elaborado, se reconocen todavía detalles de la construcción de C-29, incluso partes de su escalinata.

Sin embargo, los subterráneos se encontraron todos abiertos y en uno se observó una gran trinchera de saqueo que se extiende hacia el lado norte del edificio que también sufrió daños (Figura 3.8f). Otro rasgo potencialmente interesante queda en la plataforma baja al norte de C-29 en donde dos líneas sencillas de piedras forman una estructura triangular. En la superficie no se observan más que estas filas de piedras que apenas son visibles en la fotografía (Figura 3.3f). Futuras investigaciones con excavaciones podrían dar más certeza acerca del carácter de este rasgo.

Las Estructuras C-27 y C-30 muestran daños sufridos por la instalación de una tubería moderna que cruza partes de estas estructuras (Figura 3.8e). En las partes afectadas por el tubo, los edificios muestran un corte que se extiende por todo sus largos del este al oeste y que miden aproximadamente 0.50 m (C-30) y 0.60 m (C-27) de ancho.

Una de las estructuras no mapeadas merece especial mención. En la planada del Grupo C existe una estructura rectangular (C-21) dentro de la cual se acumula el agua de lluvia. Antes de la limpieza de la planada, esta parte parecía como una pequeña aguada natural. Una vez limpiado, se pudieron distinguir piedras que forman paredes bajas. Según lo observado, mientras el resto de la planada solamente se inunda parcialmente durante la época de lluvia, este pozo contiene agua por la mayor parte del año (Figura 3.9). En la esquina nor-oriental el muro circundando el pozo está interrumpido por lo que preliminarmente fue identificado como un canal afluente.

Aunque en este momento no se tienen datos más precisos del pozo y su posible canal, su forma recuerda a los *buk'te'* encontrados en tierras bajas, especialmente en el norte de la península Yucatán (Johnston 2004:283–285). Estas construcciones tenían la función de dirigir los restos del agua que quedan en la aguada durante la época seca hacia el pozo con dimensiones reducidas para minimizar los efectos de filtración y evaporación y mantener una cierta cantidad de agua accesible durante este período. En Chaculá, el canal y posiblemente el terreno alrededor sirvieron como una especie de embudo para dirigir el agua. Futuras investigaciones proporcionarán más detalles sobre la importancia de esta construcción y su función.

3.5. El Grupo B

Aunque el mapeo en 2014 terminó con el Grupo C, algunas de las brechas conectaron con el Grupo B. Esto permitió un breve reconocimiento del área entre los grupos C y B. En el mapeo del año 2013 el enfoque era re-mapear el llamado “Templo del Oeste” de Seler y este complejo arquitectónico fue denominado Grupo B. Sin embargo, las estructuras mapeadas solamente constituyen una parte del grupo. Al suroeste del Grupo B y al norte del Grupo C existe otro cono de denudación cuya planada está rodeada por

varias estructuras que fueron construidas en las pendientes circundantes (Figura 3.10). Al lado oeste de la planada existe una parte en que estas pendientes se aplanan por lo cual no se observan estructuras en esa área.

Es importante notar que con estas observaciones que el Grupo B como fue mapeado en 2013 aún queda incompleto. Tomando en cuenta la presencia del cono de denudación con sus varias estructuras adicionales en las pendientes, el complejo del “Templo del Oeste” forma parte del patrón conocido de los otros grupos de Chaculá; la presencia del complejo monumental puede ser comparado con los casos de A-22-A-26 y C-7-C-14.

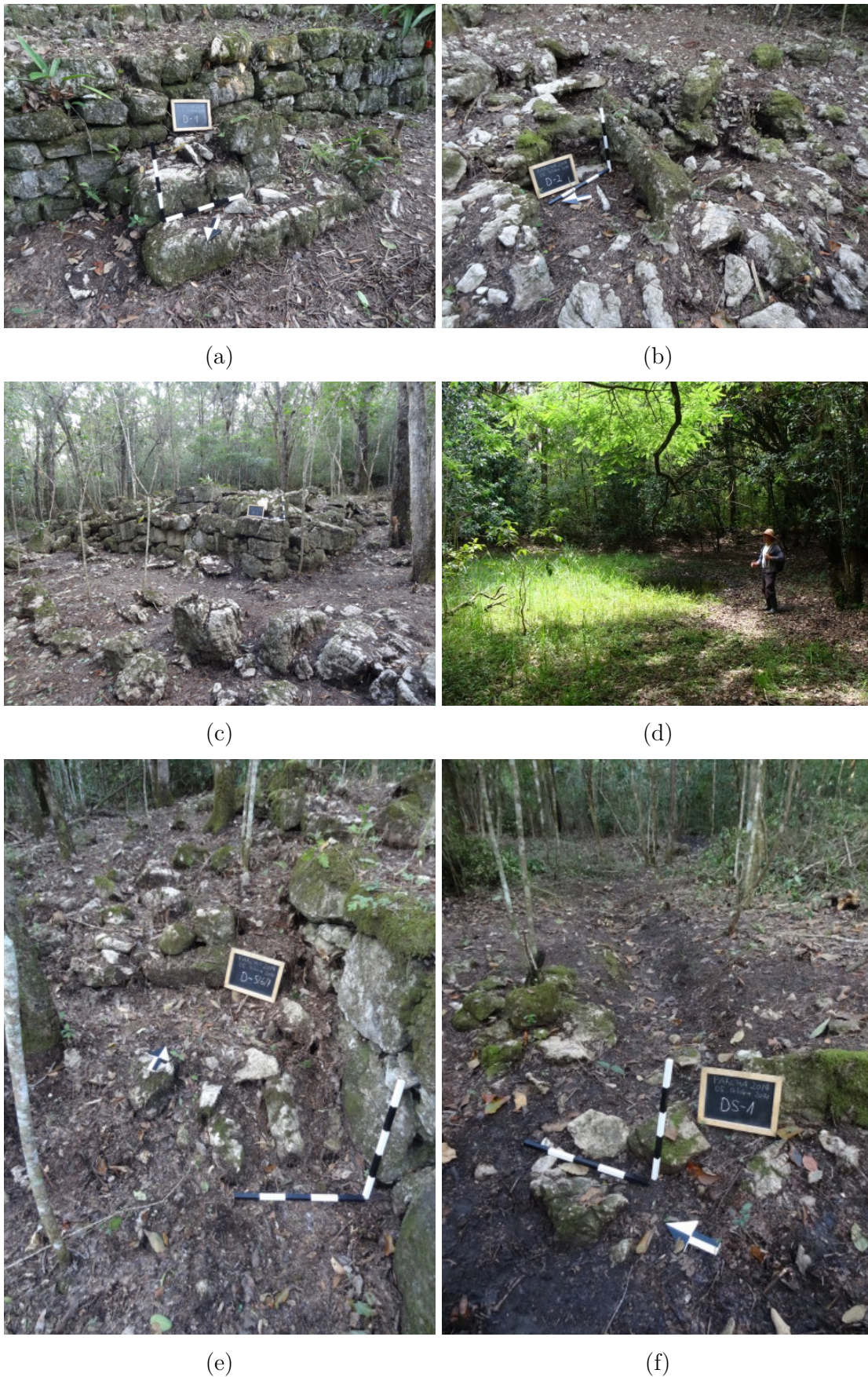


Figura 3.1 Chaculá, Grupo D: (a) D-1, escalinata; (b) D-2, subterráneo abierto; (c) D-3; (d) planada de Grupo D; (e) D-5/6/7, posible escalinata; (f) DS-1, posible canal, fotografías por U. Wölfel

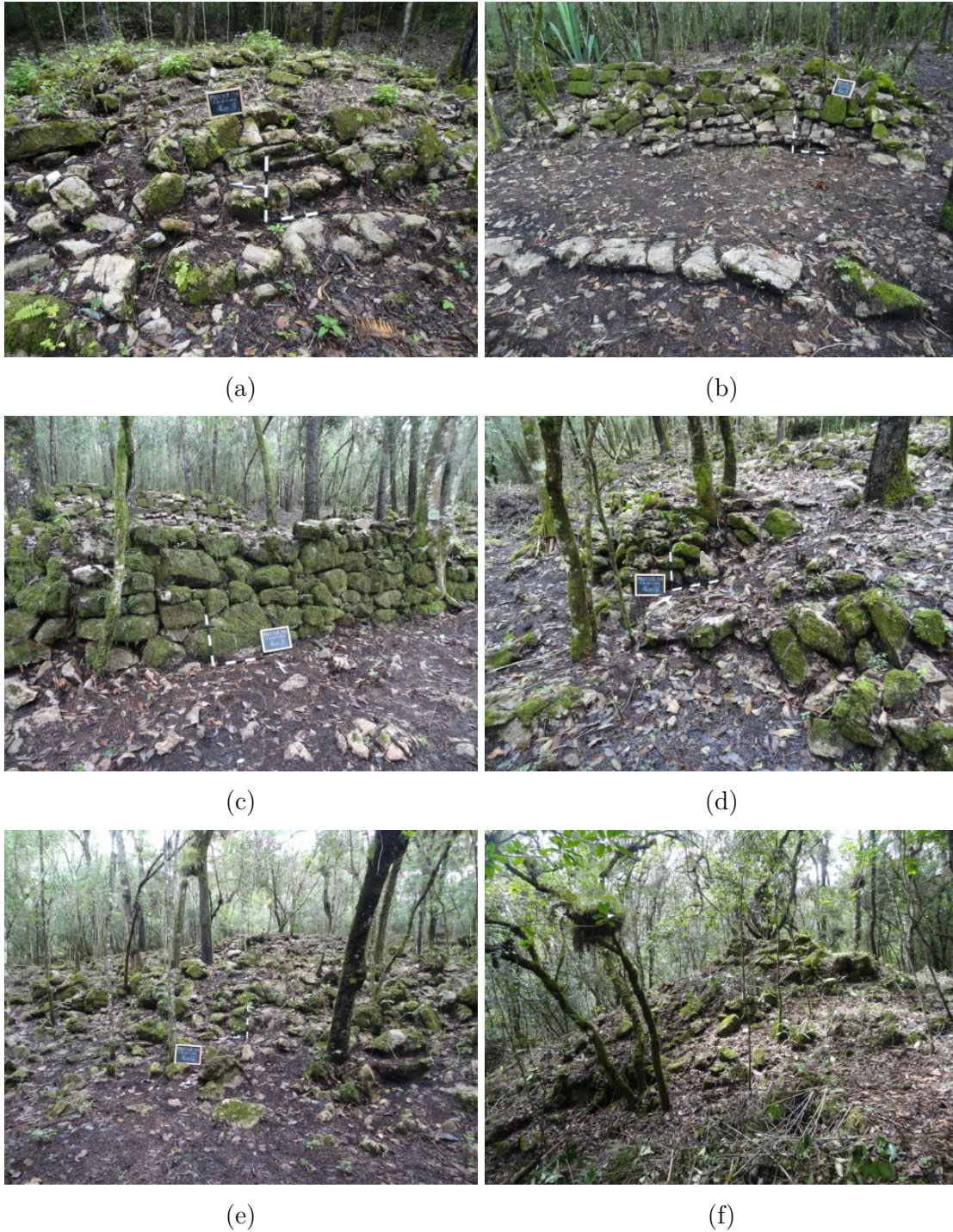


Figura 3.2 Chaculá, Grupo E: (a) E-4, escalinata; (b) E-7, vista frontal con escalinata; (c) E-7, plataforma; (d) E-10, plataforma con anexo sobresaliente (izquierda); (e) derrumbe del conjunto E-11–E-14; (f) posible conjunto ceremonial fuera del área de mapeo, fotografías por U. Wölfel

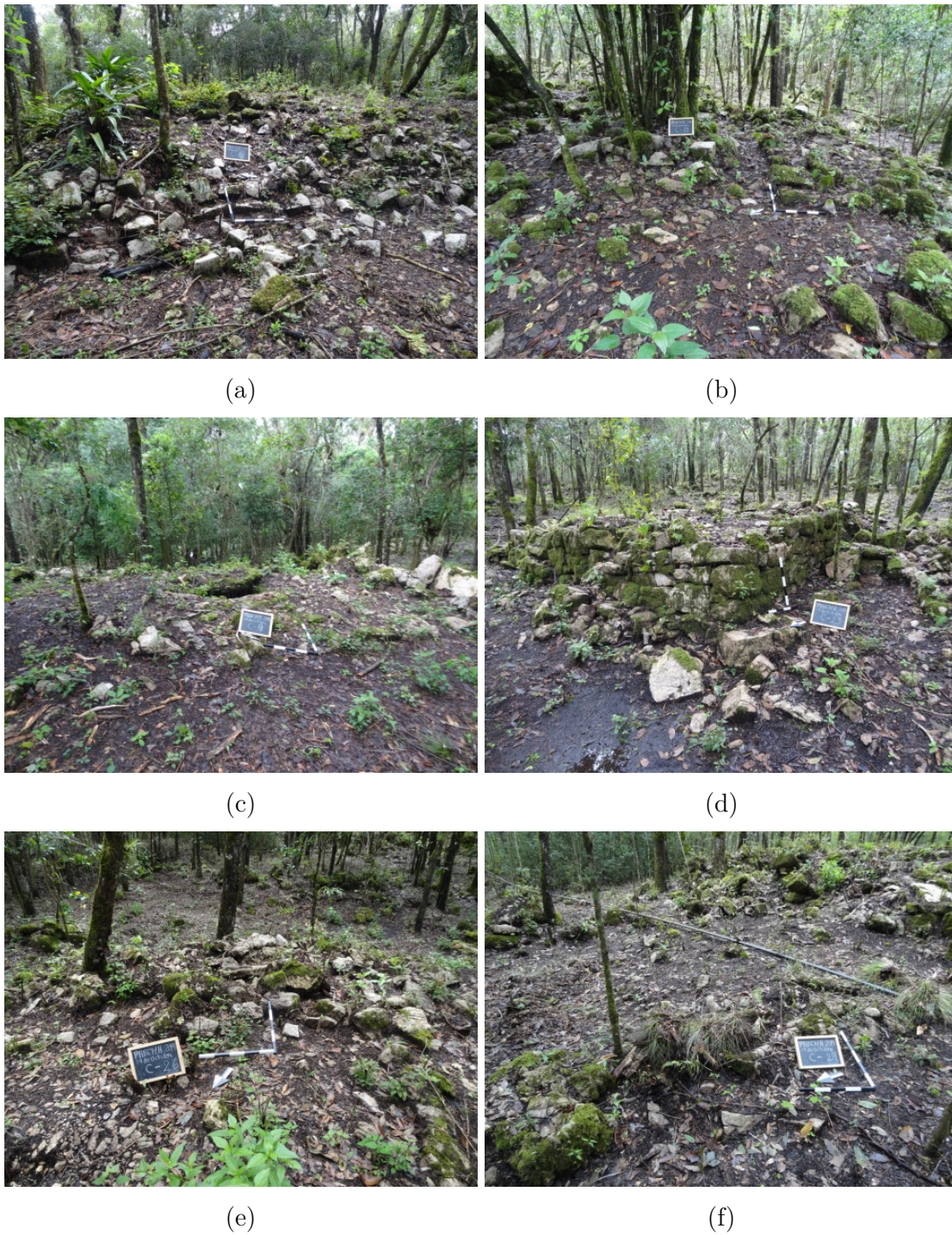


Figura 3.3 Chaculá, Grupo C, estructuras: (a) C-10; (b) C-13, posible temascal; (c) C-9; (d) C-23, parte atrás; (e) C-26, banco; (f) C-29, rasgo triangular, fotografías por U. Wölfel



Figura 3.4 Chaculá, Grupo C, plataformas: (a) plataforma de C-10 y C-11; (b) C-9, plataforma sobresaliente, fotografías por U. Wölfel

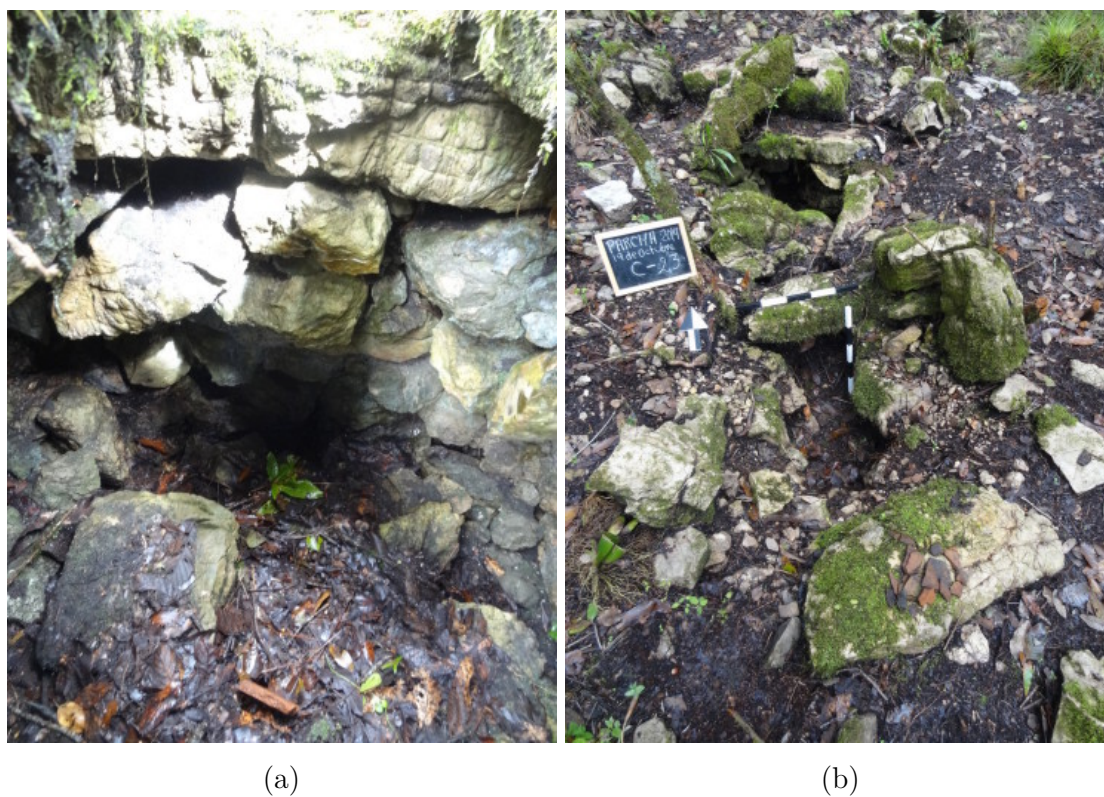


Figura 3.5 Chaculá, Grupo C, subterráneos: (a) C-9; (b) C-23, fotografías por U. Wölfel



Figura 3.6 Chaculá, Grupo C, escalinatas: (a) C-12; (b) C-24, fotografías por U. Wölfel



Figura 3.7 Chaculá, Grupo C, artefactos: (a) estalactita en C-22; (b) fragmento de metate enfrente de C-24, fotografías por U. Wölfel

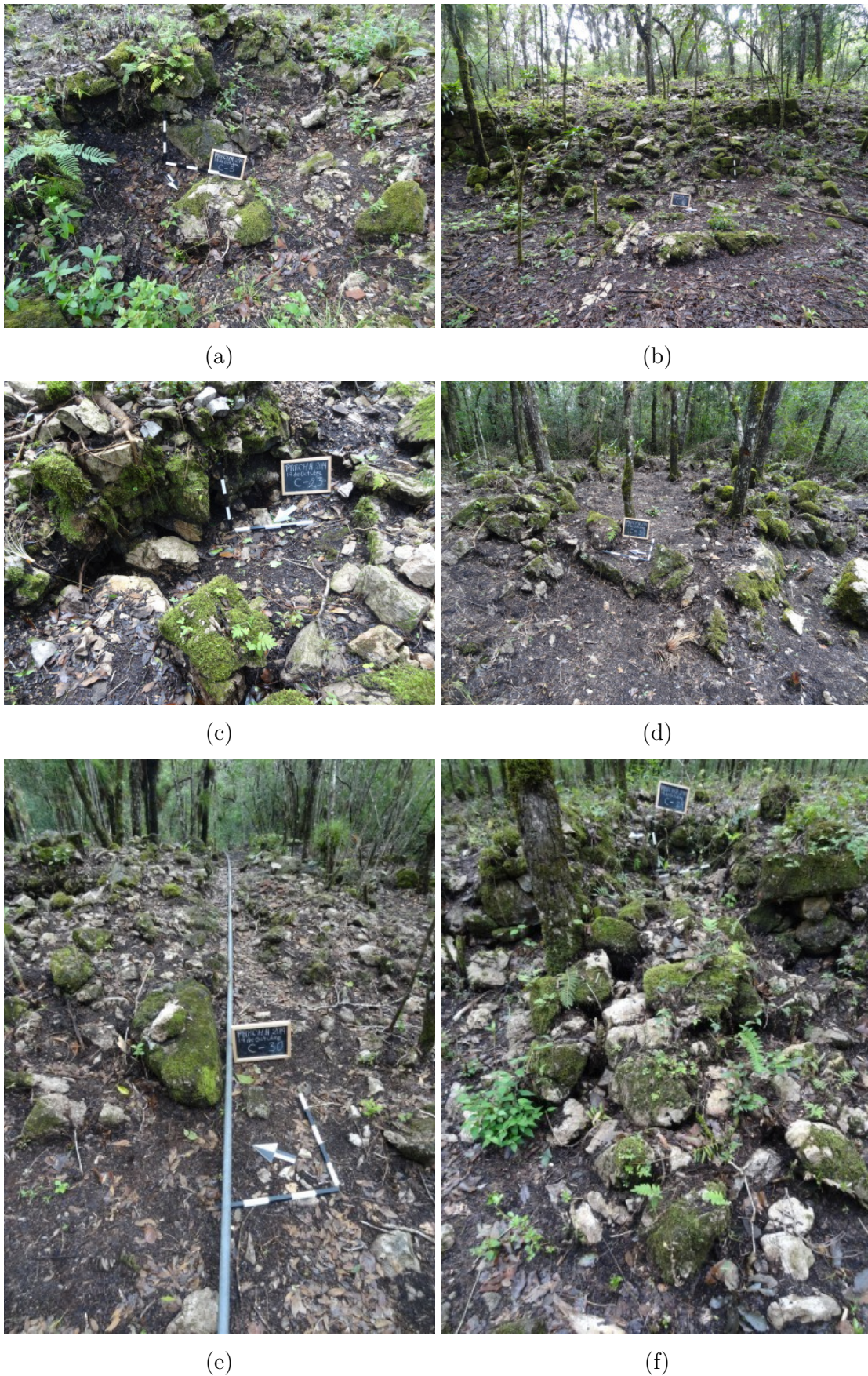


Figura 3.8 Chaculá, Grupo C, saqueo y destrucción: (a) C-5; (b) plataforma de C-10 y C-11; (c) C-23; (d) C-31; (e) C-30 con tubo; (f) C-29, subterráneo, fotografías por U. Wölfel



Figura 3.9 Chaculá, C-21, fotografía por U. Wölfel



Figura 3.10 Chaculá, Grupo B, estructura en una de las brechas, fotografía por U. Wölfel

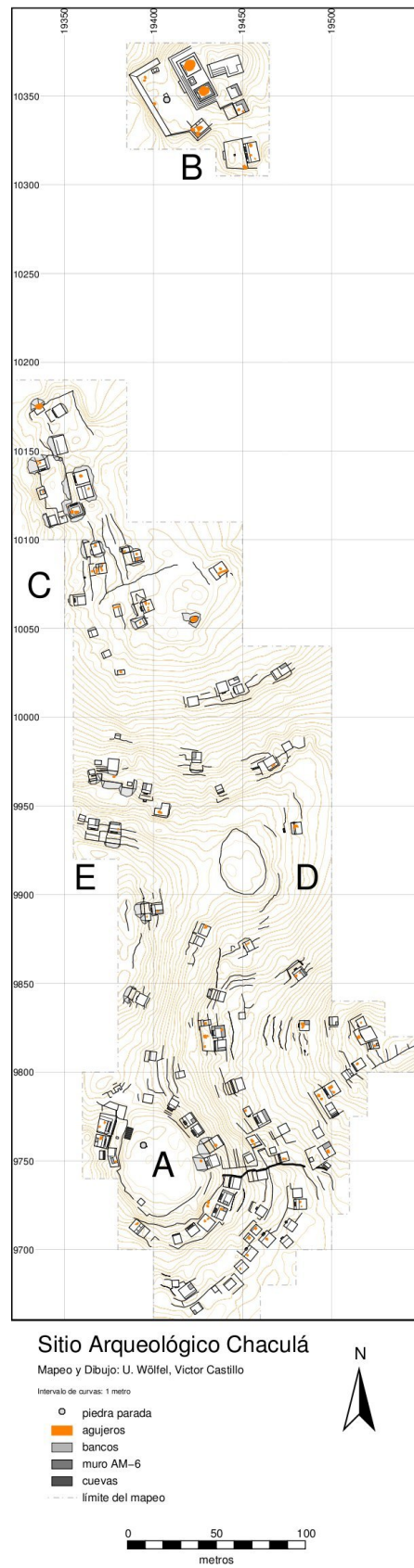


Figura 3.11 Mapa del sitio arqueológico Chaculá, dibujo por U. Wölfel

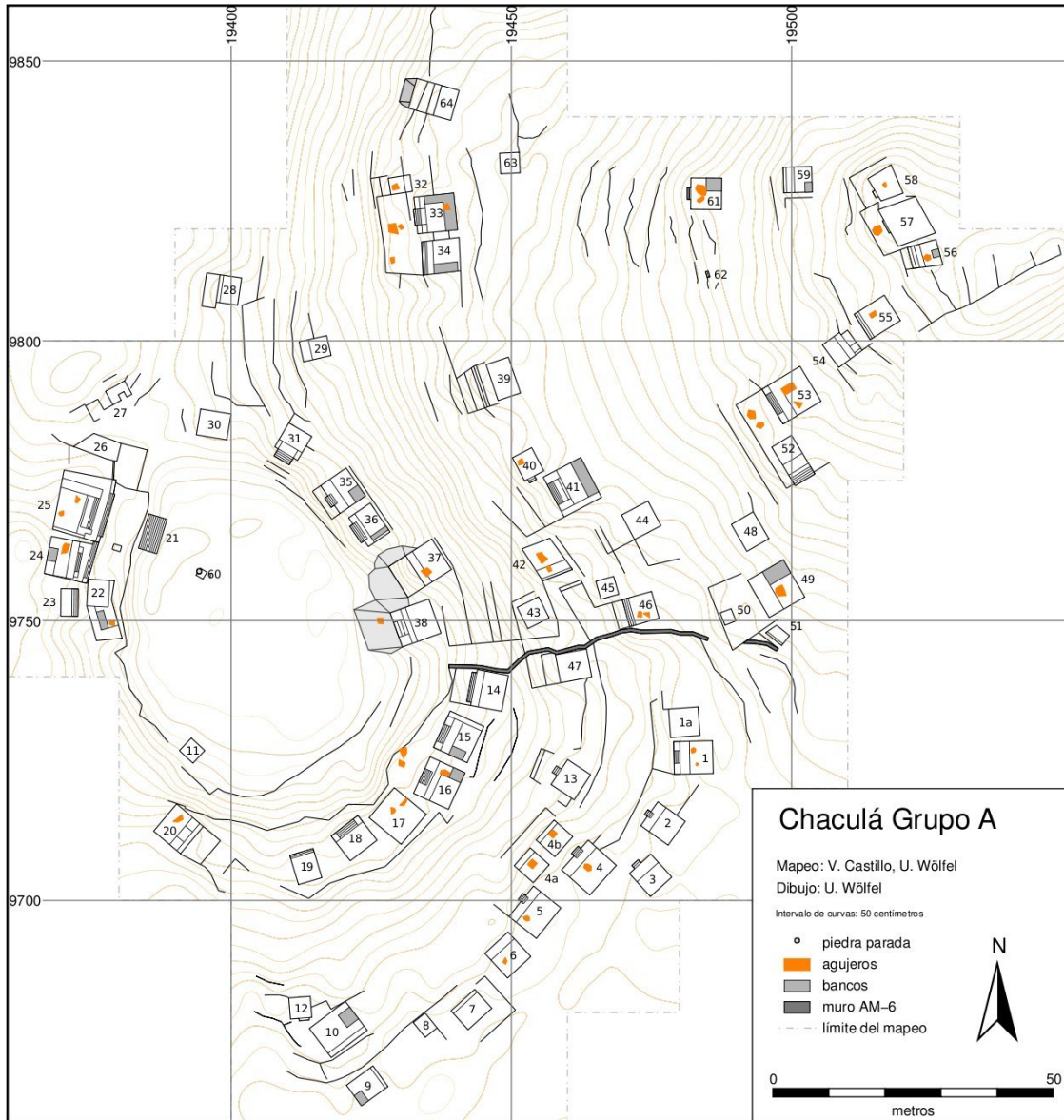
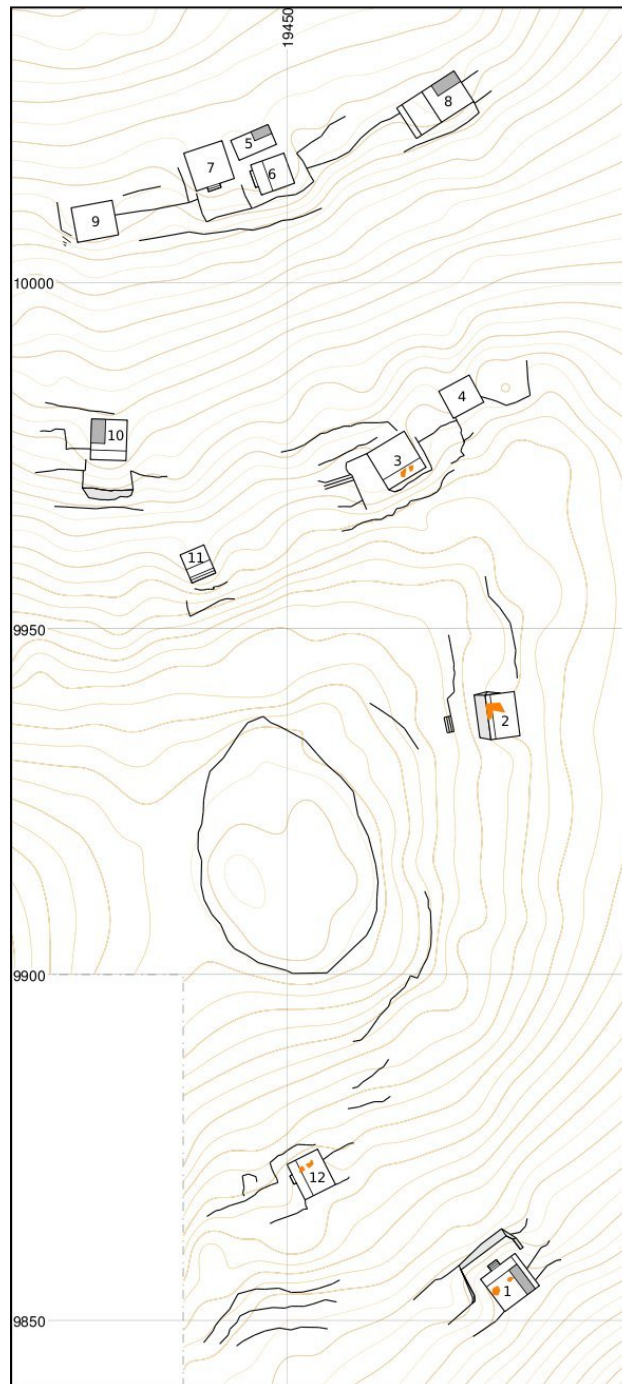


Figura 3.12 Mapa de Chaculá Grupo A, dibujo por U. Wölfel



Chaculá Grupo D

Mapeo y Dibujo: U. Wölfel

Intervalo de curvas: 50 centímetros

- agujeros
- bancos
- límite del mapeo

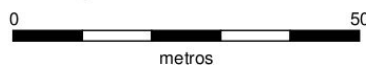
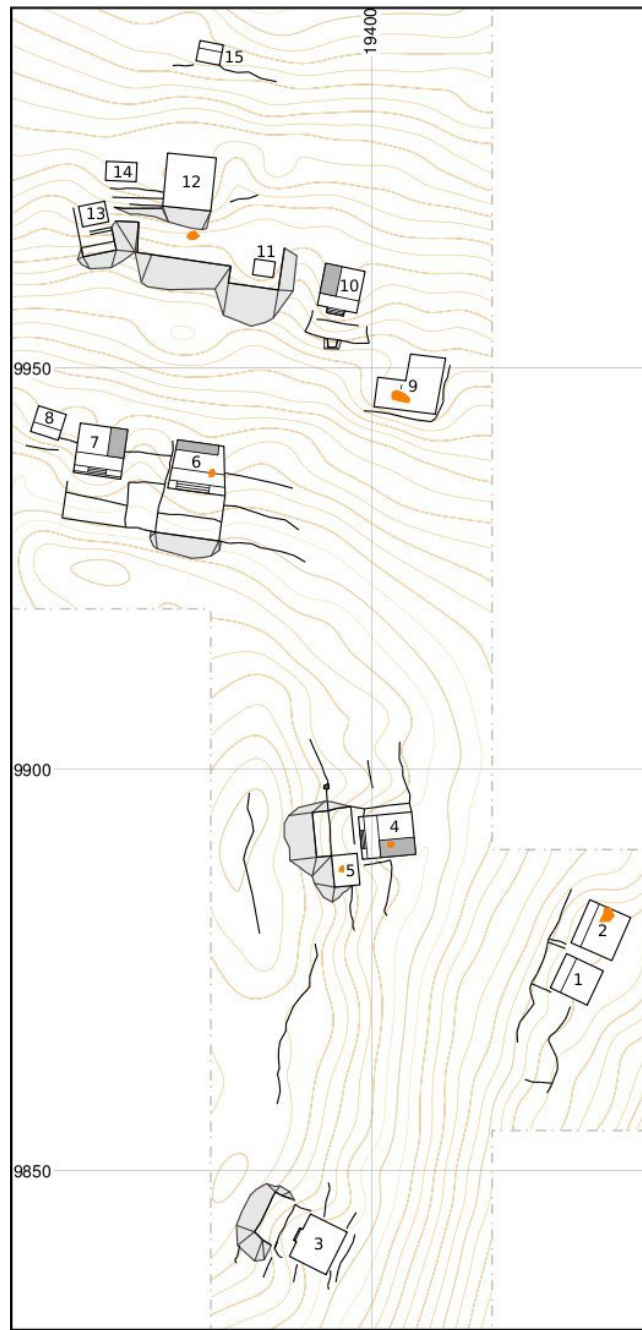


Figura 3.13 Mapa de Chaculá Grupo D, dibujo por U. Wölfel



Chaculá Grupo E

Mapeo y Dibujo: U. Wölfel

Intervalo de curvas: 50 centímetros

- agujeros
- bancos
- cuevas
- límite del mapeo

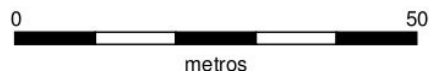
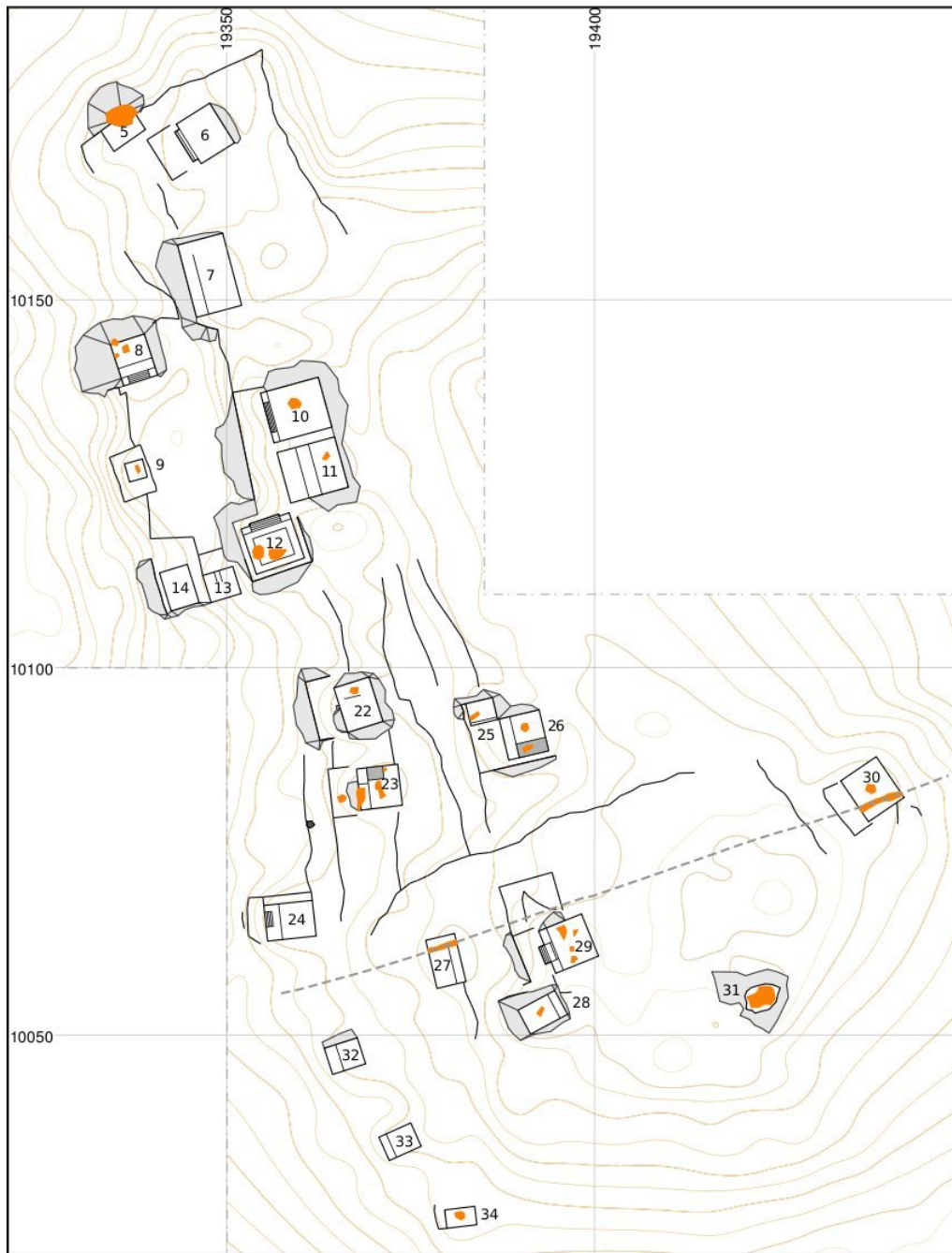


Figura 3.14 Mapa de Chaculá Grupo E, dibujo por U. Wölfel



Chaculá Grupo C

Mapeo y Dibujo: U. Wölfel

Intervalo de curvas: 50 centímetros

- tubo de metal
- agujeros
- bancos
- cuevas
- ... límite del mapeo



Figura 3.15 Mapa de Chaculá Grupo C, dibujo por U. Wölfel

4 Excavaciones de pozos de sondeo en los Grupos A y B del sitio arqueológico Chaculá

Paola Torres, Mauricio Díaz, Dora García y Ulrich Wölfel

El inicio de las investigaciones en el sitio de Chaculá en la temporada 2013, permitieron el mapeo de los denominados Grupos A y B que forman parte del epicentro del sitio (Castillo y Wölfel 2013), por lo que el seguimiento en el estudio de ambos grupos en la presente temporada ha sido un eje prioritario del Proyecto Arqueológico Regional de Chaculá considerado como un componente básico y parte integral en el entendimiento del desarrollo de los procesos culturales de la zona (Figura 3.11).

A partir de los reconocimientos y del mapeo realizado por Castillo y Wölfel (2013), se hizo evidente la peculiaridad del sitio con respecto a su patrón de asentamiento, ya que los conjuntos y grupos arquitectónicos no se asentaron sobre terrenos planos, sino que fueron construidos en las pendientes de los cerros del lugar, sobre un complejo sistema de terrazas que sirvieron de fundamento para una gran variedad de construcciones. Dado lo anterior, no existen grandes plazas ni espacios abiertos centrales con amplitud.

El Grupo A fue descubierto durante la temporada 2013 y consiste en un conjunto residencial de 64 estructuras dispuestas alrededor de un cono de denudación, con mayor concentración de edificios en la pendiente este del cono, que es la más alta y pronunciada (Figura 4.1). Existe una pequeña planada hacia el fondo, como parte de una plazuela y en la cual fue colocado un monumento liso. La mayoría de estructuras del sitio presentan escalinatas de acceso en su parte oeste, un descanso en la parte superior y un cuarto principal que en muchos de los casos exhiben restos de cimientos de bancas (Castillo 2013).

El Grupo B o denominado Templo del Oeste, fue reportado desde los estudios de Seler en su libro de 1901. Se localiza en la cima de un cerro y lo conforman un conjunto principal de estructuras que consiste en una plataforma alineada noroeste-suroeste que presenta tres estructuras en su parte superior (Figura 4.2). Hacia el este de esta plataforma se extiende una amplia planada artificial que se eleva sobre el terreno y desciende vertiginosamente hacia el oeste. Al centro de la plaza se localiza una pequeña plataforma

rectangular y una estela lisa que actualmente no se encuentra en su posición original. Se han logrado identificar un total de 11 estructuras en el grupo y dadas sus características forman parte del área ceremonial o ritual del sitio (*Ibíd.*).

En el aspecto cronológico se ha fechado el sitio alrededor del 1000 d.C., como un centro transicional entre el Clásico Tardío y el Posclásico (Navarrete 1979; Castillo y Wölfel 2013), sin embargo los estudios y resultados preliminares de la cerámica expuestos en el siguiente capítulo (García y Torres, Capítulo 5) señalan una ocupación de estos grupos específicos para el período Clásico Tardío (600–800 d.C.).

En el presente capítulo se describe el trabajo de campo realizado en el Grupo A y en el Grupo B en donde fueron excavados un total de 20 pozos de sondeo en algunas de sus estructuras y rasgos más importantes (Figura 4.1 y Figura 4.2), conformando el primer antecedente de estudio y los cuales dejaron al descubierto interesantes rasgos constructivos que serán expuestos a continuación en cada una de las descripciones de las unidades.

4.1. Objetivos

Al momento de plantear la excavación de los pozos de sondeo en los Grupos A y B se trazaron los siguientes objetivos:

- Localizar rasgos especiales (ofrendas, entierros) y basureros con alta concentración de materiales que permitan definir funciones y filiaciones de cada una de las estructuras, y otros aspectos relevantes como tecnología y comercio, para lograr comprender la importancia de cada conjunto y grupo dentro de la dinámica social, política y económica del sitio.
- Establecer la secuencia constructiva de las estructuras.
- Recolectar material arqueológico (cerámica, lítica, concha, otros), que permita determinar la cronología y lograr así un fechamiento preliminar de los grupos.

4.2. Metodología

La actividad inicial en el sitio consistió en realizar la limpieza de las áreas previamente seleccionadas para excavación, identificando cada una de las estructuras en los grupos respectivos (A y B). Posteriormente se realizó la colocación de los cernidores cercanos a cada una de las unidades. Fue retirada la maleza que se encontraba en abundancia dentro del lugar. Como metodología de excavación se trazaron pozos de sondeo con dimensiones iniciales de 1.00 m × 1.00 m y que en algunos casos fueron ampliados para el seguimiento

de rasgos que se consideraron significativos en la investigación. Todas estas unidades fueron establecidas con la finalidad principal de conocer los estadios constructivos en cada una de las plataformas y estructuras, asimismo como el localizar basureros y definir rasgos arquitectónicos importantes. Se llevó a cabo el control estratigráfico inicialmente por medio de niveles arbitrarios en las primeras tres unidades realizadas (TP-A-3, TP-A-8 y TP-A-15) para lograr conocer la estratigrafía del área, mientras que en las siguientes unidades se realizó por medio de niveles estratigráficos. Los lotes se enumeraron en todas las unidades de acuerdo al rasgo arquitectónico o presencia de material arqueológico dentro del horizonte edáfico.

Toda la piedra sustraída del escombros fue clasificada por su tamaño y talla, y fue colocada en un área cercana a las excavaciones. La tierra producto de esta investigación también fue ubicada en un área cercana y toda fue cernida con cernidores con calibración de 1/4, principalmente para encontrar artefactos diminutos en la tierra.

Asimismo se recolectó, clasificó, etiquetó y empacó todo el material arqueológico de acuerdo a su industria (concha, obsidiana, pedernal, cerámica, etc.) y su conformación (figurilla, malacate, etc.). Para el registro gráfico de la investigación se tomaron fotografías, utilizando escala, flecha para definir el norte magnético y pizarrón para anotar las características y nomenclatura del rasgo fotografiado.

Por otra parte se hicieron dibujos a escala 1:20, con el objeto de tener el registro de perfiles y plantas, así como cualquier otro rasgo relevante. Finalmente se llevó el registro del trabajo de investigación por medio de fichas especiales, así como un cuaderno de campo, en el cual se anotaron los procesos, métodos y estado de los rasgos antropogénicos encontrados en la excavación.

Las unidades se colocaron al frente de las estructuras o a los costados, dependiendo del objetivo de cada una. Es importante mencionar que la orientación de las unidades se efectuó siguiendo la de la estructura a la cual estaban asociadas.

4.3. Descripción de las Excavaciones

Las excavaciones fueron designadas bajo la operación 3 y se utilizó la nomenclatura TP-A o TP-B para designar a las unidades realizadas tanto en el Grupo A como en el Grupo B. Se realizaron un total de 14 unidades en el Grupo A y 6 unidades en el Grupo B. La cantidad total excavada en esta temporada fue de 25 metros cuadrados.

Grupo A

Unidad: TP-A-2

Dimensiones: 1.00 m × 1.00 m

No. Estratos: 5

No. Lotes: 7

Profundidad Máxima: 0.65 m

Ubicación: frente a la Estructura A-16, en el Grupo A (Figura 4.1).

Objetivo: identificar secuencia de pisos en la plataforma frente a la estructura. Pozo excavado en niveles arbitrarios de 0.10 m.

Descripción: Por el tipo de excavación arbitraria se definieron 6 niveles y 7 lotes en la unidad, identificándose cinco estratos (Figura 4.3), descritos a continuación:

Estrato 1: capa orgánica moderna y humus. Color negro, muy húmedo, grumoso y aglutinante. Mucha presencia de raíces pequeñas. Presentó un grosor máximo de 0.18 m. Se identificó un lote. Se llegó a nivel de piso de estuco muy fragmentado.

Lote 1: 34 tiestos, 2 fragmentos de pedernal.

Estrato 2: nivel de piso. Barro café oscuro, casi negro. Húmedo, grumoso, aglutinante. Presentó un grosor máximo de 0.10 m. Algunas raíces y piedras pequeñas de 0.03 m de diámetro en promedio. Los materiales hallados encima del nivel de piso fueron marcados como:

Lote 2: 160 tiestos, 1 fragmento de obsidiana, 1 fragmento de piedra de moler, 1 fragmento de pedernal, 2 fragmentos de estuco de piso, 1 fragmento de calcita.

Estrato 3: relleno. Barro café oscuro, húmedo, aglutinante con piedras medianas sin forma de aproximadamente 0.20 m de diámetro en promedio. Este estrato presentó un grosor máximo de 0.25 m. Se definió un lote con el material debajo del piso.

Lote 3: 210 tiestos, 1 fragmento de calcita, 1 fragmento de hueso de fauna.

Estrato 4: relleno. Piedra grande con barro café oscuro. Presentó un grosor máximo de 0.20 m. Las piedras promediaron 0.25 m de diámetro, colocadas sin orden.

Lote 4: 214 tiestos.

Lote 5: 32 tiestos.

Lote 6: 15 tiestos.

Estrato 5: relleno. Barro café amarillento con piedras. Presentó un grosor máximo de 0.15 m. El barro presentó textura media, aglutinante y compacta. Se definió un lote:

Lote 7: 20 tiestos.

Se llegó a nivel de barro estéril, por lo que se detuvo la excavación.

Comentarios: En esta unidad se logró identificar el piso de plataforma asociado a la estructura. Este se encontró en mal estado de conservación, debido a la erosión y al crecimiento de raíces. Presentó un grosor máximo de 0.05 m.

Únicamente se identificó una etapa constructiva en la secuencia de pisos, por lo que se infiere que la plataforma y la estructura fueron construidas en un mismo momento.

Unidad: TP-A-3

Dimensiones: 2.00 m × 1.00 m

No. Estratos: 3

No. Lotes: 13

Profundidad Máxima: 0.50 m

Ubicación: al lado noreste de la Estructura A-11, en el Grupo A (Figura 4.1).

Objetivo: identificar el límite de la estructura y definir la existencia de una posible rampa o escalinata, así como el piso de plaza asociado con la misma.

Descripción: Esta unidad fue controlada por medio de niveles arbitrarios de 0.10 m, definiéndose un total de 9 niveles, 13 lotes y 3 estratos (Figura 4.4).

Estrato 1: humus con abundante presencia de raíces. La tierra era de consistencia suelta y arenosa. Este lote se identificó de 0.00 m a 0.13 m de profundidad de la superficie. Se recolectaron materiales que se registraron en un lote:

Lote 1: 21 tiestos de cerámica.

Estrato 2: relleno de barro café oscuro compacto, con un grosor máximo de 0.30 m. Se encontraron dentro del derrumbe varios fragmentos de argamasa entre las piedras que no pudieron ser asociados con un piso y probablemente eran parte del mortero que consolidaba las piedras. Debido al mal estado de conservación y el uso de piedras no talladas en la construcción, no se pudo verificar la presencia de una escalinata (Figura 4.5). Fueron registrados 12 lotes de materiales.

Lote 2: 172 tiestos, 1 lasca de obsidiana, 14 fragmentos de barro quemado y una muestra de argamasa.

Lote 3: 60 tiestos.

Lote 4: 11 tiestos, 1 fragmento de barro quemado y 1 fragmento de pedernal.

Lote 5: 4 tiestos.

Lote 6: 48 tiestos, 1 fragmento de pedernal y 26 pequeñas muestras de barro quemado.

Lote 7: 5 tiestos.

Lote 8: 3 tiestos.

Lote 9: 32 tiestos y 1 fragmento de pedernal.

Lote 10: 13 tiestos.

Lote 11: 155 tiestos

Lote 12: asociado solamente al NE de la unidad, con la recolección de 45 tiestos

Estrato 3: barro medio compacto mezclado con arena y presencia de abundantes inclusiones de piedras pequeñas que forma parte del relleno de nivelación. Tuvo un grosor máximo de 0.12 m. Se finalizó la unidad en este nivel y fue registrado un lote de materiales.

Lote 13: 23 tiestos

Comentarios: Debido al desplazamiento de algunas piedras no fue posible definir si existía algún rasgo específico de acceso tales como escalinata o rampa, y tampoco fue distinguible ningún rasgo arquitectónico que definiera el límite de la plataforma. Solamente se pudo determinar la existencia de una etapa constructiva en el área.

Unidad: TP-A-4

Dimensiones: 1.00 m × 1.00 m

No. Estratos: 3

No. Lotes: 3

Profundidad Máxima: 0.64 m

Ubicación: al oeste de la Estructura A-47 y enfrente del muro AM-6 del Grupo A (Figura 4.1).

Objetivo: definir el estadio constructivo del muro AM-6 y su fechamiento.

Descripción: Esta unidad fue controlada por medio de niveles estratigráficos, por lo cual se definieron un total de tres estratos y tres lotes (Figura 4.6).

Estrato 1: humus con presencia de raíces, de consistencia suelta y arenosa. Este lote se identificó de 0.00 m a 0.04 m de profundidad desde la superficie. Se observaron cuatro piedras de derrumbe. Se registró un lote de materiales:

Lote 1: 4 tiestos.

Estrato 2: barro café oscuro de consistencia arcillosa y semi-compacta. Este estrato tuvo un grosor máximo de 0.31 m. Se encontraron varias piedras que son parte del escombros (Figura 4.7). Se registraron dos lotes de materiales.

Lote 2: asociado al material recolectado sobre el escombros, con 167 tiestos, 1 fragmento de mano de moler, 1 fragmento de pedernal y 1 fragmento de cuarzo.

Lote 3: lote asociado al material recuperado debajo de las piedras del escombros. Se obtuvieron 286 tiestos, 1 lasca de obsidiana y 1 fragmento de hueso quemado (según observaciones puede tratarse de un hueso de fauna).

Estrato 3: relleno de arena y pedrín que conforma el nivel estéril. Se obtuvo un grosor máximo de 0.28 m. No fueron encontrados materiales.

Comentarios: Según lo observado en la unidad, no fue posible identificar el piso o restos del mismo, para seguir hasta el rasgo del muro y poder comprobar su construcción antes o después de la edificación de la Estructura A-47. Se pudo evidenciar solamente una ocupación para este conjunto. Posiblemente con excavaciones más cercanas o sobre el muro, se podría evidenciar su construcción y relación con el grupo.

Unidad: TP-A-5

Dimensiones: 1.00 m × 1.00 m

No. Estratos: 4

No. Lotes: 3

Profundidad Máxima: 0.65 m

Ubicación: en costado sur de la Estructura A-49, Grupo A (Figura 4.1).

Objetivo: identificar basurero asociado a la estructura.

Descripción: Esta unidad fue controlada por medio de niveles estratigráficos, se definieron cuatro estratos y tres lotes (Figura 4.8).

Estrato 1: humus. Color café oscuro, húmedo grumoso y suelto, con inclusiones de raíces pequeñas. Presentó un grosor máximo de 0.05 m. Se definió un lote con los materiales recuperados.

Lote 1: 60 tiestos, 1 pedernal y 1 fragmento de calcita.

Estrato 2: barro café claro compacto, húmedo, grumoso y con algunas raíces. Presentó un grosor máximo de 0.25 m. Se definió un lote.

Lote 2: 1 fragmento de carbón de poca relevancia, posiblemente raíz quemada moderna.

Estrato 3: relleno de nivelación. Barro café oscuro, compacto, húmedo, grumoso. Tuvo un grosor máximo de 0.18 m y presentó aproximadamente 20 % de piedra mediana y grande. Se definió un lote.

Lote 3: 35 tiestos.

Estrato 4: estéril. Barro amarillento, compacto, aglutinante, con piedrín calizo y arena. Mucha piedra grande. No se definió ningún lote al no hallarse material cultural.

Comentarios: Pese a su cercanía a esta, no se halló basurero asociado a la estructura. Sin embargo, se logró identificar una etapa de nivelación del terreno al sur del edificio.

Unidad: TP-A-6

Dimensiones: 1.00 m × 1.00 m

No. Estratos: 6

No. Lotes: 5

Profundidad Máxima: 0.62 m

Ubicación: al costado Noroeste de la Estructura A-49, en el grupo A (Figura 4.1).

Objetivo: identificar el piso de plataforma asociado a la estructura.

Descripción: El control de esta unidad se realizó por medio de niveles estratigráficos, fueron definidos seis estratos y cinco lotes (Figura 4.9).

Estrato 1: humus con abundante presencia de raíces. De consistencia húmedo, grumoso y suelto. Este lote presentó una grosor máximo de 0.12 m.

Lote 1: 23 tiestos

Estrato 2: derrumbe/nivel de piso. Barro café oscuro con pedrín y algunas raíces. Presentó un grosor máximo de 0.10 m. Se hallaron varios fragmentos de estuco sin nivel, de los cuales la mayoría se encontraba volteada. Se recolectaron algunos que posiblemente fueran esquina de grada. Los materiales recolectados en este nivel se registraron como:

Lote 2: 28 tiestos y 13 fragmentos de estuco.

Estrato 3: relleno. Barro negro compacto, grumoso, aglutinante y con presencia de pedrín mediano de aproximadamente 0.10 m de diámetro en promedio. Este pedrín consistía entre el 40–45 % de la matriz, que presentó un grosor máximo de 0.15 m.

Lote 3: 85 tiestos.

Estrato 4: relleno de nivelación de piedra mediana y grande con barro negro/grisáceo. La piedra promedió 0.25 m de diámetro y el estrato presentó un grosor máximo de 0.20 m.

Lote 4: 98 tiestos.

Estrato 5: relleno. Barro café grisáceo húmedo, compacto, aglutinante, con pedrín calizo pequeño de aproximadamente 0.03 m de diámetro promedio. El estrato presentó un grosor máximo de 0.12 m.

Lote 5: 17 tiestos.

Estrato 6: estéril. Barro café amarillento compacto, aglutinante, húmedo y con piedrín calizo. Presentó un grosor máximo de 0.08 m. Se detuvo la excavación. No se halló ningún material arqueológico, por lo que no se definió ningún lote.

Comentarios: Debido al crecimiento de árboles en el área, el piso de plataforma no se logró identificar en su lugar, sin embargo, se determinó el nivel que debió haber ocupado a -0.30 m del datum. Este consistió en estuco de mediana calidad y un grosor promedio de entre 0.05 m a 0.10 m.

En el mismo nivel donde se hallaron los restos del piso, también se hallaron fragmentos de estuco en esquina, elementos de la escalinata, lo que evidencia que al menos esta estructura estuvo estucada en su fachada frontal.

Debajo de este derrumbe, únicamente se identificaron estratos de rellenos de nivelación colocados sobre el estrato estéril, atestiguando una sola etapa constructiva.

Unidad: TP-A-7

Estructura: 24

Dimensiones: 1.00 m x1.00 m

No. Estratos: 4

No. Lotes: 5

Profundidad Máxima: 0.70 m

Ubicación: enfrente de la Estructura A-24, en el Grupo A (Figura 4.1).

Objetivo: definir la secuencia de pisos en la plataforma y asociarlos a la estructura.

Descripción: El control de esta unidad fue por medio de niveles estratigráficos, definiéndose cuatro estratos y cinco lotes (Figura 4.10).

Estrato 1: Humus, tierra negra suelta con abundantes raíces y broza en la superficie actual.

Lote 1: 2 tiestos.

Estrato 2: barro café negro suelto con algunas raíces y piedras irregulares. Se observan al oeste del pozo, dos piedras talladas que corresponden al muro de la estructura, además de algunas de derrumbe. Se evidencia a una profundidad de 0.20 m los restos conservados del piso de la plataforma al noreste y

oeste de la unidad, consistente en estuco y una argamasa de cal con piedrín (Figura 4.11). Se registró un lote.

Lote 2: 1 fragmento de mano de moler y 128 tiestos.

Estrato 3: barro café negro suelto con raíces y rocas irregulares del relleno de la plataforma debajo del piso, con abundante material cerámico.

Lote 3: 225 tiestos.

Estrato 4: barro café claro a beige de textura media, arenosa con algunos terrones de barro café, con bloques de roca caliza. En este estrato se registraron dos lotes arbitrarios de 0.10 m cada uno.

Lote 4: 31 tiestos

Lote 5: 90 tiestos.

Comentarios: En esta unidad de excavación se evidencia una única etapa constructiva y que se logró definir por el piso de la plataforma que se encontró en mejor estado de conservación al pie de la escalinata, debajo de este fue observado el relleno de nivelación y finalmente el estrato natural de roca caliza. La mayor cantidad de material cerámico se obtuvo debajo del piso a poca profundidad.

Unidad: TP-A-8

Dimensiones: 2.00 m × 1.00 m

No. Estratos: 4

No. Lotes: 19

Profundidad Máxima: 1.08 m

Ubicación: al frente de la escalinata de la Estructura A-21, en el Grupo A (Figura 4.1).

Objetivo: identificar el piso de plaza asociado con la escalinata y definir rasgos arquitectónicos.

Descripción: En esta unidad se realizaron dos extensiones. La extensión A fue ubicada al sureste de la unidad con 0.50 m × 1.00 m y posteriormente fue realizada la extensión B para dar seguimiento a los rasgos encontrados. La extensión B también fue realizada con dimensiones de 0.50 m × 1.00 m hacia el sureste de la extensión A. Esta unidad fue controlada por medio de niveles arbitrarios de 0.10 m, definiéndose 4 estratos, 8 niveles y 19 lotes (Figura 4.13).

Estrato 1: humus con abundante presencia de raíces. La tierra era de consistencia suelta y arenosa. Se observaron varias piedras que formaban parte del derrumbe del muro frontal de la plataforma tanto en el inicio de la unidad como en las extensiones. Este lote se identificó de 0.00 m a 0.29 m de profundidad de la superficie. Se recolectaron materiales que se registraron en tres lotes.

Lote 1: 4 tiestos.

Lote 2: 53 tiestos que forman parte del material que se encontraba debajo del levantamiento de algunas de las piedras del derrumbe.

Lote 7: material asociado a la extensión B, con 22 tiestos.

Estrato 2: relleno de barro café oscuro, de consistencia medio compacta y grueso. Este estrato tuvo un grosor máximo de 0.41 m. Se observó una concentración de piedras pequeñas de estuco que forman parte del piso erosionado, asimismo se definieron dos filas de piedras que forman parte de dos escalones y un alineamiento de piedras hacia la esquina SE de la unidad. Se encontró una ofrenda enfrente de la escalinata (Figura 4.12). Fueron registrados seis lotes de materiales.

Lote 3: 112 tiestos, asociados al posible piso erosionado.

Lote 4: 271 tiestos, 1 fragmento de pedernal, 1 fragmento de barro quemado asociado a la alineación de piedras al este.

Lote 5: asociado a la extensión A con 23 tiestos.

Lote 6: 137 tiestos.

Lote 8: asociado a la extensión B con 66 tiestos.

Lote 15: 77 tiestos, 9 fragmentos de pedernal, 1 diente de animal, 2 fragmentos de huesos (fauna) y 1 muestra de carbón asociados al área de la plaza y al último escalón.

Lote 16: material asociado al primer y segundo escalón con 110 tiestos cerámicos y 9 fragmentos de pedernal.

Lote 17: ofrenda encontrada enfrente de la escalinata, consistió en una vasija completa y un cuenco semi-completo, ambos fueron encontrados boca abajo.

Lote 18: 29 tiestos recolectados debajo de las vasijas de la ofrenda.

Estrato 3: barro café oscuro con relleno de pedrín de estuco, tuvo un grosor máximo de 0.40 m en la extensión B. Se registraron cinco lotes hacia esta extensión que fue en donde se siguió bajando el tercer estrato en niveles arbitrarios de 0.10 m.

Lote 9: 72 tiestos

Lote 10: 59 tiestos

Lote 11: 101 tiestos

Lote 12: 102 tiestos y 1 fragmento de pedernal

Lote 13: 105 tiestos, 1 fragmento de obsidiana y 4 fragmentos de pedernal.

Estrato 4: barro café amarillento, de consistencia dura. Se observó un grosor máximo de 0.33 m hacia la extensión A. La unidad se finalizó en este estrato. En la extensión A se encontraron fragmentos de cerámica en mejor estado de preservación que los demás lotes, y en la extensión B ya no fueron encontrados materiales. Fueron registrados dos lotes.

Lote 14: perteneciente a la extensión A, se recolectaron 229 tiestos y 12 fragmentos de pedernal.

Lote 19: 2 tiestos.

Comentarios: La unidad evidenció rasgos arquitectónicos importantes, como lo fueron el segmento de dos escalones y un descanso como parte del acceso hacia la Estructura A-21 y en la cual se encontraba una ofrenda cerámica consistente en dos vasijas. No fue posible observar el piso de plaza con claridad en esta unidad, solamente en las extensiones A y B se encontraron restos de lo pareciera ser restos del piso de estuco. Sin embargo se pudo definir una sola etapa constructiva para esta plataforma.

Unidad: TP-A-9

Dimensiones: 1.00 m × 1.00 m

No. Estratos: 5

No. Lotes: 8

Profundidad Máxima: 1.93 m

Ubicación: enfrente de la Estructura A-25, Grupo A (Figura 4.1).

Objetivo: definir el piso asociado a esta estructura y su ocupación.

Descripción: Esta unidad fue controlada mediante niveles estratigráficos, se definieron cinco estratos y seis lotes (Figura 4.14).

Estrato 1: humus, tierra negra suelta con abundantes raíces y piedras de derrumbe de la estructura.

Lote 1: 3 tiestos.

Estrato 2: barro café oscuro de textura media con abundantes raíces. Se encontraron piedras de derrumbe del muro y evidencia del piso de la plataforma en mal estado de conservación a 0.15 m de profundidad, que consiste en restos de estuco y una argamasa a base de pedrín con cal bien compacto (Figura 4.15). Se recuperó mayor cantidad de cerámica.

Lote 2: 26 tiestos.

Estrato 3: barro café negro oscuro de textura media, compacto con abundantes raíces y piedras de relleno de tamaño pequeño y medianas. Al oeste del pozo se observaron las piedras talladas que forman parte del muro frontal de la estructura. Fue registrado un lote de materiales.

Lote 3: 86 tiestos.

Estrato 4: barro café negro oscuro compacto, de textura media con abundantes piedras de relleno, posteriormente inicia un nuevo estrato de bloques de roca caliza y pedrín.

Lote 4: 44 tiestos.

Estrato 5: bloques de roca caliza con tierra suelta arenosa de color café claro, se observaron en algunas partes pequeños rellenos de barro café claro compacto (Figura 4.16). En este estrato se registraron dos lotes de 0.10 m. Los siguientes 0.20 m no tuvieron evidencia de material, siendo este el nivel estéril se finalizó la excavación.

Lote 5: 20 tiestos.

Lote 6: 16 tiestos, además de un diente posiblemente animal.

Comentarios: Esta excavación ubicada al noreste de la plataforma al pie de la Estructura 25 evidencia una sola etapa constructiva. Luego del estrato de humus se encontró un piso a poca profundidad en mal estado de conservación del cual fueron visibles solamente algunos restos, el material cerámico fue abundante en este nivel. La cantidad de materiales aumenta en el relleno de la plataforma debajo de este piso finalizando con el estrato natural de roca caliza.

Unidad: TP-A-10

Dimensiones: 1.00 m × 1.50 m

No. Estratos: 5

No. Lotes: 6

Profundidad Máxima: 0.55 m

Ubicación: al norte de la Estructura A-41 y al este de la Estructura A-40, en el Grupo A (Figura 4.1).

Objetivo: pozo de sondeo excavado para hallar basurero asociado a las estructuras.

Descripción: La unidad fue controlada por medio de niveles estratigráficos, se definieron cinco estratos y seis lotes. Al pozo original se le realizó una extensión al Sur de 0.50 m, denominada Extensión A.

Estrato 1: broza. Capa orgánica moderna, alta presencia de raíces y de material vegetal en descomposición. Presentó un grosor máximo de 0.04 m. No se recuperaron materiales en este estrato.

Estrato 2: humus, color negro, húmedo, compacto, mucha presencia de raíces pequeñas. Presentó un grosor máximo de 0.16 m. Se definieron dos lotes en este estrato:

Lote 1: en pozo original, 200 tiestos.

Lote 3: en Extensión A, 64 tiestos.

Estrato 3: basurero. Barro negro con piedra. Presentó un grosor máximo de 0.20 m. Estrato muy húmedo, compacto, con presencia de raíces. Las piedras halladas en este estrato promediaron 0.20 m de diámetro. Se definieron dos lotes en este nivel:

Lote 2: en pozo original, 284 tiestos y 1 fragmento de pedernal.

Lote 4: en Extensión A, 235 tiestos, 3 fragmentos de pedernal y 1 fragmento de obsidiana.

Estrato 4: basurero. Barro café oscuro con piedrín. Presentó un grosor aproximado de 0.12 m. El piedrín hallado en el estrato promedió aproximadamente 30 % de la matriz. Se definió un lote, correspondiente a toda la unidad, tomando tanto el pozo original como la extensión en uno solo.

Lote 5: 180 tiestos, 1 fragmento de obsidiana y 2 fragmentos de hueso quemado (fauna).

Estrato 5: nivel más profundo de basurero. Presentó un grosor máximo de 0.15 m. Barro café claro con piedrín en aproximadamente 40 % de la matriz y arena. Se observaron fragmentos minúsculos de carbón, sobre todo al sur de la unidad.

Lote 6: 200 tiestos, 1 pedernal, 1 obsidiana, 3 fragmentos de hueso quemado, 1 fragmento de hueso de animal y 1 fragmento posiblemente de travertino de cueva.

Se llegó a nivel de barro estéril, por lo que se detuvo la excavación.

Comentarios: En este pozo de sondeo se logró el objetivo de hallar un basurero asociado a las Estructuras A-40 y A-41. La cantidad de cerámica recuperada podrá brindar información sobre las vajillas utilitarias y de servicio utilizadas en el sitio y a su vez fechar la ocupación del lugar.

La presencia de carbones minúsculos y huesos de fauna quemados atestiguan que los habitantes de estas plataformas quemaban la basura para evitar la proliferación de plagas y que animales externos llegaran a hurgarla.

El análisis de estos huesos en un futuro podrá brindar información sobre las especies que los habitantes del sitio explotaban para su consumo.

Unidad: TP-A-11

Dimensiones: 1.00 m × 1.00 m

No. Estratos: 3

No. Lotes: 3

Profundidad Máxima: 0.54 m

Ubicación: cercana a la esquina NE de la Estructura A-53, del Grupo A (Figura 4.1).

Objetivo: localizar un basurero con abundantes materiales para lograr realizar un fechamiento del área y definición de la tipología del sitio.

Descripción: Esta unidad fue controlada por medio de niveles estratigráficos, se definieron tres estratos y tres lotes (Figura 4.18).

Estrato 1: humus con presencia de abundantes raíces debido a que se encontraba un árbol de roble cercano. Este lote se identificó de 0.00 m a 0.05 m de profundidad desde la superficie. No fueron encontrados materiales.

Estrato 2: barro café rojizo compacto mezclado con barro quemado. El barro quemado se encuentra de manera homogénea en la unidad. El grosor máximo fue de 0.37 m en el centro del pozo. Se observaron algunas piedras de caliza y se registraron dos lotes de materiales (Figura 4.19).

Lote 1: 88 tiestos y 1 muestra de barro quemado.

Lote 2: 256 tiestos, 1 lasca de obsidiana y 7 fragmentos de barro quemado para análisis posteriores.

Estrato 3: relleno de barro café oscuro compacto. Al seguir bajando se llegó a la roca madre por lo que se finalizó la unidad en este nivel. El grosor máximo fue de 0.12 m. Fue registrado un lote.

Lote 3: 69 tiestos.

Comentarios: El terreno en esta unidad mostró bastante alteración debido a la presencia de las raíces y por lo tanto el hallazgo del barro quemado fue interpretado más como un rasgo contemporáneo (p. ej. un árbol quemado con anterioridad) y no como un rasgo prehispánico de apisonado o algún otro aspecto arquitectónico especial. No fue encontrado ningún basurero. La ocupación en este conjunto se pudo evidenciar que fue en una sola etapa.

Unidad: TP-A-12

Dimensiones: 1.00 m × 1.00 m

No. Estratos: 3

No. Lotes: 3

Profundidad Máxima: 0.78 m

Ubicación: al frente de la Estructura A-34, del Grupo A (Figura 4.1).

Objetivo: localizar el piso asociado con la ocupación y construcción de la estructura.

Descripción: La unidad fue controlada por medio de niveles estratigráficos, se identificaron tres estratos con tres lotes (Figura 4.20).

Estrato 1: humus con presencia de raíces. Este lote se identificó de 0.00 m a 0.07 m de profundidad desde la superficie. Se registró un lote de materiales.

Lote 1: 44 tiestos y 2 lascas de obsidiana.

Estrato 2: relleno de barro café oscuro suelto y mezclado con abundantes piedras calizas de tamaño pequeño. El grosor máximo fue de 0.37 m. Este estrato pertenece al relleno constructivo de la plataforma y se encontraron abundantes materiales cerámicos como parte del mismo. Se definió un lote.

Lote 2: 1,117 tiestos, 1 figurilla que representa una cara zoomorfa, 1 fragmento de hueso (posiblemente de fauna) y 1 fragmento de piedra de moler.

Estrato 3: relleno de barro café y grandes piedras calizas. Las piedras son de forma irregular y de gran tamaño y se encuentran de manera suelta (Figura 4.21). El grosor máximo fue de 0.44 m. Debido a que ya no fue posible seguir bajando por lo estrecho de la unidad, se finalizó en este nivel y solamente hacia el norte se pudo observar el inicio del suelo estéril debajo de este relleno. Fue registrado un lote.

Lote 3: 148 tiestos.

Comentarios: En esta unidad no fue posible encontrar el piso enfrente de la plataforma debido al deterioro del mismo. Solamente se pudo afirmar la ocupación para una sola fase constructiva del conjunto y en donde la estratigrafía permitió establecer una secuencia en el patrón constructivo que siguieron los pobladores del sitio, ya que realizaron plataformas artificiales con la colocación inicial de un relleno de grandes piedras sin ningún orden aparente que permitió dar el volumen requerido, colocando luego una capa de barro mezclado con piedras más pequeñas como parte de un relleno de nivelación. Seguramente sobre este relleno se encontraba el piso.

Unidad: TP-A-13

Dimensiones: 1.00 m × 1.00 m

No. Estratos: 3

No. Lotes: 2

Profundidad Máxima: 0.43 m

Ubicación: al suroeste de la Estructura A-57, del Grupo A (Figura 4.1).

Objetivo: definir el piso asociado a la construcción y ocupación de la plataforma, asimismo determinar la existencia de una posible escalinata hacia este punto como parte del acceso.

Descripción: Unidad controlada por medio de niveles estratigráficos. Fueron identificados tres estratos y tres lotes (Figura 4.20).

Estrato 1: humus con presencia de raíces. Este lote se identificó de 0.00 m a 0.09 m de profundidad desde la superficie. Se observaron algunas piedras sueltas. No se encontraron materiales.

Estrato 2: relleno de barro café oscuro compacto. Se observaron hacia el noroeste dos piedras grandes de caliza muy erosionadas, estas se consideró formaban parte del escombros. El grosor máximo fue de 0.38 m. Se definieron dos lotes.

Lote 1: 43 tiestos.

Lote 2: 41 tiestos, 1 fragmento de pedernal y 1 lasca de obsidiana. Este lote se asocia al material recolectado debajo de las piedras calizas y en donde en algunas partes de la unidad ya se observaba parte de la roca madre.

Estrato 3: inicio de la roca madre (Figura 4.23). Se finalizó la unidad en este nivel, observándose hacia la esquina este un grosor máximo de 0.11 m. No se encontraron materiales.

Comentarios: No fue definido ningún rasgo arquitectónico asociado a la estructura, solamente se pudo observar el inicio de la roca madre a poca profundidad desde la superficie. Las piedras descritas en los estratos 1 y 2 se pueden considerar como parte del escombros.

Unidad: TP-A-14

Dimensiones: 1.00 m × 1.00 m

No. Estratos: 5

No. Lotes: 4

Profundidad Máxima: 0.48 m

Ubicación: Al norte de la Estructura A-33 y al este de la Estructura A-32 (Figura 4.1)

Objetivo: pozo de sondeo excavado para hallar basurero asociado a las estructuras.

Descripción: Fue controlada la unidad por medio de niveles estratigráficos, definiéndose cinco estratos y cuatro lotes (Figura 4.24).

Estrato 1: broza, capa orgánica moderna, presentó un grosor máximo de 0.04 m. Mucha presencia de raíces y restos vegetales en descomposición, de consistencia muy húmeda. No se recuperaron materiales.

Estrato 2: humus de color negro, seco, compacto y grumoso. Tuvo un grosor máximo de 0.10 m. presentó algunas piedras y raíces pequeñas.

Lote 1: 25 tiestos.

Estrato 3: derrumbe. Barro café oscuro, húmedo, compacto, grumoso y aglutinante. Presentó un grosor máximo de 0.20 m. Se observaron muchas piedras sin cantear, provenientes del derrumbe de las estructuras. Mucha raíz pequeña en el estrato. La matriz se presentó terronuda sobre todo en la esquina NE de la unidad. En el costado sur del pozo se observaron varios fragmentos pequeños de barro quemado.

Lote 2: 55 tiestos y 1 fragmento de navaja prismática de obsidiana.

Estrato 4: barro café claro húmedo, compacto y terronudo. Presentó un grosor máximo de 0.15 m. Al sur de la unidad se observó un área de barro quemado dispersa.

Lote 3: 60 tiestos, muestras de barro quemado.

Estrato 5: posible relleno de barro café claro con piedrín. Presentó un grosor máximo de 0.08 m. Registró aproximadamente 30% de piedrín. En la esquina SO del pozo se observaron y removieron varias piedras grandes de aproximadamente 0.25 m de diámetro en promedio.

Lote 4: 22 tiestos.

Debajo de este estrato se llegó a la roca madre, por lo que se detuvo la excavación.

Comentarios: Pese a la ubicación de la unidad entre dos estructuras domésticas no se identificó ningún basurero asociado a ellas.

Unidad: TP-A-15

Dimensiones: 2.00 m × 1.00 m

No. Estratos: 3

No. Lotes: 12

Profundidad Máxima: 1.10 m

Ubicación: al lado sureste de la Estructura A-60, plataforma con Piedra Parada en la planada del Grupo A (Figura 4.1).

Objetivo: definir la plataforma A-60 sobre la cual fue erigida la denominada Piedra Parada e identificar el piso de la planada (plaza) asociado con la estructura.

Descripción: En esta unidad se realizaron hacia el este dos extensiones de 0.50 m × 1.00 m cada una. La estratigrafía fue controlada por medio de niveles arbitrarios de 0.10 m. Fueron definidos 6 estratos y 19 lotes (Figura 4.25).

Estrato 1: humus con abundante presencia de raíces. La tierra era de consistencia suave y suelta. Este lote se identificó de 0.00 m a 0.04 m de profundidad de la superficie. Se recolectaron materiales que se registraron en dos lotes.

Lote 1: 1 tiesto asociado a la unidad original.

Lote 6: 4 tiestos en la extensión B.

Estrato 2: relleno de barro café oscuro. Se encontró un muro de piedras talladas que forma parte del lado este de la plataforma sobre la cual está erigida la piedra parada. Enfrente (hacia el este) de la plataforma se observó restos de argamasa encima de piedras naturales con una superficie plana. En las dos extensiones de 0.5 m hacia el este (Figura 4.26 y Figura 4.27) se encontró otro muro más bajo de piedras no talladas paralelo con la plataforma. Junto con las piedras planas esta construcción se interpreta como una grada al lado este de plataforma. Enfrente de la grada (hacia el este) se encontró restos de estuco que se conservaban aún en el muro, como parte del repello. Entre los materiales destacan un mango de incensario y dos fragmentos de navajas prismáticas de obsidiana. Fueron registrados trece lotes de materiales:

Lote 2: 28 tiestos.

Lote 3: 149 tiestos.

Lote 4: 84 tiestos.

Lote 5: 24 tiestos y 8 muestras de argamasa.

Lote 7: 121 tiestos y 1 fragmento de obsidiana.

Lote 8: 20 tiestos.

Lote 9: 41 tiestos.

Lote 10: 89 tiestos, 1 fragmento de obsidiana y 3 muestras de argamasa.

Lote 11: 38 tiestos en la extensión A.

Lote 12: 34 tiestos en la extensión A.

Lote 14: 38 tiestos en la extensión B.

Lote 15: 75 tiestos en la extensión B

Lote 16: 91 tiestos en la extensión B

Estrato 3: en este nivel se encontró el estéril hacia el oeste de la unidad, por lo cual solamente en las extensiones se pudo seguir bajando. En la extensión A fue identificado material de relleno debajo de las lajas en barro café claro granuloso. Hacia el oeste del muro de la estructura en su base se obtuvo abundante material cerámico. En la extensión B fue encontrado barro café claro amarillento granuloso y compacto. Se registraron tres lotes de materiales.

Lote 13: 88 tiestos en la extensión A.

Lote 17: 18 tiestos asociados a la extensión B.

Lote 18: 14 tiestos asociados a la extensión B.

Estrato 4: Barro café claro amarillo pastoso, al sur de la extensión A se observa aún parte del relleno consistente en rocas grandes y piedrín, recuperando material cerámico abundante. En la extensión B fue finalizada la excavación ya que se identificó el suelo estéril.

Lote 19: asociado a la extensión A con 2 fragmentos de pedernal y 50 tiestos.

Estrato 5: Barro café claro amarillo, moldeable. Estéril, sin evidencia de material. Únicamente identificado en la extensión A.

Estrato 6: Barro café gris oscuro pastoso. Estéril, sin evidencia de material. Únicamente identificado en la extensión A.

Comentarios: En esta unidad se pudo identificar parte de la arquitectura de la plataforma A-60, se evidenciaron tanto el muro frontal como el posterior, asimismo un escalón de acceso hacia la plataforma. El nivel de la plaza era más bajo de lo que puede ser observado actualmente, y no se pudieron definir con exactitud la existencia de drenajes por lo que queda la interrogante de su función en época de lluvia, ya que el área es inundable y solamente sobresale la Piedra Parada. En la extensión A se observó evidencia del muro de la estructura asociada a la Piedra Parada y parte del piso de estuco que debido a la humedad y consistencia del barro negro compacto, no logró conservarse. Debajo del piso fueron identificadas una serie de lajas que pudieron ser el sostén del mismo. La extensión B presentó en su totalidad el alineamiento de piedras talladas y evidencia de restos del piso de

estuco en la base de esta de cuyo contexto se obtuvo la mayor cantidad de material cerámico.

Grupo B

Unidad: TP-B-2

Dimensiones: 2.00 m × 1.00 m

No. Estratos: 5

No. Lotes: 7

Profundidad Máxima: 0.88 m

Ubicación: al frente (costado norte) de la Estructura B-9, en el Grupo B (Figura 4.2).

Objetivo: Hallar secuencia de pisos frente a la estructura.

Descripción: Unidad controlada por medio de niveles estratigráficos. Fueron definidos cinco estratos y seis lotes (Figura 4.28). Se realizaron dos extensiones debido al hallazgo de una alineación de piedras.

Estrato 1: broza moderna. Se definió a -0.38 m desde datum. Presento un grosor máximo de 0.03 m. No presento materiales arqueológicos, por lo que no se definió ningún lote en ella.

Estrato 2: humus negro, húmedo, grumoso y aglutinante. A partir de este estrato, se realizaron dos extensiones a la unidad original. La Extensión A de 0.50 m × 1.00 m al norte y la Extensión B de las mismas dimensiones en la mitad norte del perfil este. Tuvo un grosor máximo de 0.12 m. Se definieron tres lotes.

Lote 1: definido en el pozo original; 270 tiestos.

Lote 3: definido en la Extensión A; 40 tiestos, 1 obsidiana y un diente humano.

Lote 7: definido en la Extensión B; 57 tiestos.

Estrato 3: Derrumbe. Barro negro, húmedo, compacto, grumoso y aglutinante. Presentó un grosor máximo de 0.22 m. Se definieron dos lotes en el estrato.

Lote 2: definido en el pozo original, 109 tiestos y 1 obsidiana.

Lote 4: definido en Extensión A, 4 tiestos y 1 fragmento de cuarzo.

Estrato 4: Relleno. Barro café oscuro con piedrín de entre 0.02 m a 0.04 m de diámetro en promedio. Húmedo, compacto, aglutinante. Tuvo un grosor máximo de 0.10 m y se definió un lote.

Lote 5: en Extensión A, 32 tiestos.

Estrato 5: Relleno. Barro café oscuro con piedrín. Tuvo un grosor máximo de 0.04 m y únicamente en Extensión A se definió un lote.

Lote 6: 20 tiestos, 1 obsidiana.

Comentarios: No se recuperó evidencia de piso de plaza, posiblemente debido a la acción del crecimiento de raíces en el área. Sin embargo, tanto en la excavación original como en sus extensiones se identificó una alineación de cinco bloques de piedra caliza canteados alienados este-oeste (Figura 4.29). Estos posiblemente se traten de una banquetta al frente del Edificio B-9.

En la secuencia estratigráfica pudo identificarse una sola etapa constructiva.

Unidad: TP-B-3

Dimensiones: 1.00 m × 1.00 m

No. Estratos: 5

No. Lotes: 4

Profundidad Máxima: 0.78 m

Ubicación: al frente de la Estructura B-6, en el Grupo B (Figura 4.2).

Objetivo: identificar el piso de plaza asociado con la estructura.

Descripción: En esta unidad se utilizó la metodología de niveles estratigráficos, identificándose cinco estratos y cuatro lotes (Figura 4.30).

Estrato 1: broza, capa orgánica moderna. Este lote se identificó de 0.00 m a 0.02 m de profundidad de la superficie. Se registró únicamente un lote.

Lote 1: 1 tiesto.

Estrato 2: humus color negro, húmedo, compacto, grumoso y aglutinante. Se observaron algunas raíces pequeñas y algunos carbones muy superficiales. Presentó un grosor máximo de 0.10 m. Fue registrado un lote.

Lote 2: 70 tiestos, 3 pedernales y 1 obsidiana.

Estrato 3: barro café oscuro húmedo, compacto, grumoso y aglutinante, posiblemente corresponda al abandono de la estructura. Presento un grosor máximo 0.15 m. Se definió un lote.

Lote 3: 70 tiestos y 1 pedernal.

Estrato 4: relleno de nivelación. Barro café oscuro con piedra mediana de entre 0.25 m a 0.35 m de diámetro promedio, colocada sin orden. Tuvo un grosor máximo de 0.18 m. Se recolecto un lote.

Lote 4: 25 tiestos, 2 pedernales, un fragmento de hueso de fauna y lo que parece ser un colmillo quemado.

Estrato 5: Estrato estéril, barro café amarillento con piedrín pequeño y poca piedra grande con algunas raíces. Alcanzó una profundidad máxima de 0.78 m. No se recolectaron materiales.

Comentarios: Debido a la erosión, no fue posible observar el piso de plaza en esta unidad. Sin embargo se pudo definir una sola etapa constructiva para esta plataforma.

Unidad: TP-B-4

Dimensiones: 1.00 m × 1.00 m

No. Estratos: 3

No. Lotes: 3

Profundidad Máxima: 0.59 m

Ubicación: cercano a la Piedra Parada del Grupo B, al centro de la plaza (Figura 4.2).

Objetivo: definir el piso de la plaza y las posibles remodelaciones o construcciones anteriores relacionadas al grupo.

Descripción: En esta unidad se utilizó la metodología de niveles estratigráficos, identificándose tres estratos y tres lotes (Figura 4.31).

Estrato 1: humus, este lote se identificó de 0.00 m a 0.05 m de profundidad desde la superficie. No se encontraron materiales.

Estrato 2: relleno de barro café oscuro compacto mezclado con piedras pequeñas de caliza. El grosor máximo fue de 0.34 m. Se definieron dos lotes.

Lote 1: 52 tiestos.

Lote 2: asociado al material recolectado debajo de la primera capa del relleno, se contabilizaron 36 tiestos.

Estrato 3: relleno de grandes piedras, que fueron colocadas sin ningún orden aparente. Este estrato forma parte del relleno utilizado para dar volumen a la plataforma, ya no fue posible seguir bajando en la unidad debido a lo estrecho de las dimensiones del pozo (Figura 4.32). Se tuvo un grosor máximo de 0.26 m. Se registró un lote de materiales.

Lote 3: 27 tiestos

Comentarios: En esta unidad no fue posible observar el piso de la plaza, debido a la erosión. Se definió una sola ocupación y se evidenciaron las etapas constructivas de la plataforma con los dos rellenos: uno de nivelación (estrato 2) y el de inicio de la construcción de esta plataforma artificial sobre la cual fue edificado este grupo ceremonial (estrato 3).

Unidad: TP-B-5

Dimensiones: 1.00 m × 1.50 m

No. Estratos: 5

No. Lotes: 4

Profundidad Máxima: 0.25 m

Ubicación: Frente a la escalinata de la Estructura B-5 (Figura 4.2).

Objetivo: hallar secuencia de pisos en la plaza.

Descripción: La unidad fue controlada mediante niveles estratigráficos, identificándose cinco estratos y tres lotes (Figura 4.33). Se extendió la unidad al este con el objetivo de encontrar parte del piso.

Estrato 1: broza, material orgánico moderno. Tuvo un grosor máximo de 0.03 m. No se recuperó material de este nivel, por lo que no se definió ningún lote.

Estrato 2: humus negro, húmedo, terronado, aglutinante con algunas raíces pequeñas. En el costado sur de la unidad se descubrieron algunas piedras medianas, parte del derrumbe. Tuvo un grosor máximo de 0.08 m. Tras remover el Estrato 1, se extendió la unidad al este, por lo que se definieron dos lotes.

Lote 1: definido en el pozo original, 12 tiestos y 1 obsidiana.

Lote 4: definido en Extensión A, 5 tiestos.

Estrato 3: relleno de barro negro con piedra mediana sin labrar. Barro húmedo, grumoso, aglutinante con raíces pequeñas. Las piedras promediaron 0.15 m de diámetro y ocupaban un 30 % de la matriz. Tuvo un grosor máximo de 0.10 m y se definió un lote.

Lote 2: 121 tiestos y una obsidiana.

Estrato 4: relleno de barro café oscuro con piedrín y arena, húmedo, grumoso y aglutinante. Tuvo un grosor máximo de 0.05 m y se definió un lote.

Lote 3: 76 tiestos.

Estrato 5: natural. Barro estéril café amarillento. Húmedo, grumoso, aglutinante. Presentó inclusiones de arena y piedrín pequeño. Tuvo un grosor máximo de 0.04 m. Por ser natural y no recuperarse materiales en el estrato, no se definió ningún lote.

Comentarios: No se encontró evidencia de pisos en la plaza, seguramente debido al efecto de la erosión. Sin embargo se identificó una sola etapa constructiva.

Unidad: TP-B-6

Dimensiones: 1.00 m × 1.00 m

No. Estratos: 3

No. Lotes: 4

Profundidad Máxima: 0.87 m

Ubicación: en el límite este de la Plataforma 5, Grupo B (Figura 4.2).

Objetivo: Identificar etapas constructivas de la plataforma y asociación al conjunto arquitectónico, único en monumentalidad del sitio.

Descripción: La unidad fue controlada mediante niveles estratigráficos, identificándose tres estratos y cuatro lotes (Figura 4.34). Se extendió la unidad al este con el objetivo de encontrar parte del piso.

Estrato 1: Humus, tierra café negro suelta con broza en la superficie, abundantes raíces y piedras pequeñas. Se registró un lote de materiales.

Lote 1: 50 tiestos.

Estrato 2: barro café negro suelta con abundantes raíces y piedras pequeñas, no se encontró evidencia del piso de la plataforma, únicamente el relleno de la estructura con abundante material cultural.

Lote 2: 3 fragmentos de obsidiana, 2 de pedernal y 180 tiestos.

Estrato 3: tierra suelta con abundantes piedras grandes de relleno de la estructura. Hacia el centro se encontró un relleno de barro café oscuro. Este estrato tuvo un grosor máximo de 0.40 m y la unidad fue finalizada en este nivel (Figura 4.35). Fueron registrados dos lotes de materiales.

Lote 3: 1 fragmento de obsidiana y 220 tiestos.

Lote 4: asociado al barro café oscuro que se encuentra en el centro de la unidad. Se recolectaron 203 tiestos, 1 fragmento de hueso quemado, 4 lascas de obsidiana y una muestra de carbón.

Comentarios: En esta unidad ubicada dentro de la plataforma no se identificó ningún piso de ocupación, únicamente el relleno de la estructura con abundante material cultural y abundantes piedras, definiendo una sola etapa constructiva.

Unidad: TP-B-7

Dimensiones: 1.00 m × 1.00 m

No. Estratos: 3

No. Lotes: 4

Profundidad Máxima: 0.54 m

Ubicación: al sureste de la Plataforma 13, en donde era la ubicación original de la Piedra Parada, en el Grupo B (Figura 4.2).

Objetivo: definir la esquina sureste de la Plataforma 13 y el piso de plaza.

Descripción: La unidad fue controlada mediante niveles estratigráficos, identificándose tres estratos y tres lotes (Figura 4.36). Se extendió la unidad al este con el objetivo de encontrar parte del piso.

Estrato 1: humus con presencia de raíces y algunas piedras sueltas de diversos tamaños. Fue definido este lote de 0.00 m a 0.06 m de profundidad desde la superficie. Se registró un lote.

Lote 1: 5 tiestos.

Estrato 2: relleno de barro café oscuro semi-compacto mezclado con piedras pequeñas de caliza. El grosor máximo fue de 0.34 m. Se recolectaron materiales que fueron registrados en dos lotes.

Lote 2: 293 tiestos, entre los cuales varios fragmentos pertenecen a incensarios dadas las formas y decoraciones. También se recuperó una lasca de obsidiana.

Lote 3: 66 tiestos asociados a la segunda capa del relleno.

Estrato 3: relleno de grandes piedras, que fueron colocadas sin ningún orden aparente (Figura 4.37). Este estrato forma parte del relleno utilizado para dar volumen a la plataforma, ya no fue posible seguir bajando en la unidad debido a lo estrecho de las dimensiones del pozo. Se tuvo un grosor máximo de 0.16 m. Se registró un lote de materiales.

Lote 3: 3 tiestos.

Comentarios: La alteración del área no permitió establecer la esquina de la plataforma ni el piso de la plaza, que eran los objetivos principales de esta unidad. Solamente se pudo corroborar la ocupación en un solo estadio y las etapas constructivas de la plataforma con los dos rellenos observados también en la unidad TP-B-4: el de nivelación (estrato 2) y el de inicio de la construcción (estrato 3). Un rasgo interesante fue el hallazgo de los fragmentos de incensarios, que dan una connotación ritual al área y que se relaciona con la Piedra Parada.

4.4. Resultados de las Excavaciones

Por medio de los pozos de sondeo realizados en los grupos A y B del sitio de Chaculá, se pudo tener un primer acercamiento a la naturaleza y funcionalidad de cada una de sus estructuras, en las cuales los hallazgos pusieron de manifiesto algunos rasgos importantes con respecto a su ocupación, sistema constructivo y de artefactos empleados como parte de la cotidianidad de sus habitantes.

Se pudo definir una sola etapa constructiva para todas las estructuras investigadas, pudiéndose establecer la construcción y ocupación de los dos grupos por lo menos desde el Clásico Tardío. Es importante señalar que se identificaron varios tiestos con filiación hacia la Cuenca Superior del Río Grijalva, el Altiplano, las Tierras Bajas y de producción local.

En algunas de las unidades se pudo establecer el patrón constructivo en la edificación de varias de las plataformas artificiales, las cuales requirieron una gran inversión de

trabajo en su construcción, aunque posiblemente fueron realizadas de manera rápida y en un corto período de tiempo. Así sobre la roca natural se colocaron de manera suelta una serie de piedras de gran tamaño y sin orden aparente, para dar el volumen requerido a la plataforma. Posteriormente fue colocado un relleno de nivelación de barro mezclado con piedras pequeñas, tipo piedrín, y de donde fueron recuperadas la mayor cantidad de materiales (a excepción del basurero identificado en la unidad TP-A-10). Sobre este relleno fue colocado el piso (de mediana calidad), que aunque en la mayoría de las unidades se encontraba erosionado, si se logró preservar en por lo menos tres de los pozos.

También fue posible observar por medio del hallazgo de fragmentos de estuco (unidad TP-A-7), que algunas de las estructuras tuvieron un recubrimiento de este material en sus fachadas.

Las investigaciones de esta temporada pusieron de manifiesto que la cosmovisión de los antiguos habitantes del sitio estaba intrínsecamente ligada a las ideologías de los otros sitios del área maya, demostrando con esto la integración cultural de la zona. Fueron realizadas ceremonias especiales, que se evidenciaron por los fragmentos de incensarios encontrados en las unidades TP-A-15 y TP-B-7 asociadas a las plataformas sobre las cuales fueron erigidos los monumentos o también llamados “Piedras Paradas”, dando una connotación altamente ritual a estos espacios en cada uno de los grupos. Asimismo la colocación de la ofrenda encontrada al frente del acceso hacia una de las estructuras (TP-A-8) fue un hallazgo importante.

El descubrimiento del basurero en la unidad TP-A-10 fue significativo, ya que con los análisis posteriores del carbón y huesos de fauna recolectados en este contexto podrán brindar más datos importantes sobre la dieta de los pobladores y las especies que habitaban la zona. También como fue mencionado con anterioridad en la descripción de la unidad, puso de manifiesto la práctica de quemar la basura como una costumbre de los pobladores y que hasta hoy en día es realizada sobre todo en áreas rurales.

4.5. Conclusiones

A pesar del reflejo hasta el momento de una corta ocupación, el sitio de Chaculá presenta características especiales, que también demuestran que los antiguos pobladores del sitio supieron manejar el paisaje y adaptar así su propio espacio urbano, como parte de un proceso al parecer bien planificado.

Aún faltan estudios más intensivos que determinen el papel que jugó este sitio dentro de la dinámica social, política, económica y cultural de esta zona transicional, sin embargo con los primeros resultados de esta temporada se han creado nuevas expectativas

con respecto a la visión de sus habitantes.

Investigaciones a futuro enfocadas en cada una de las estructuras permitirán establecer con mayor claridad la funcionalidad de cada una de ellas y su relación dentro del desarrollo del sitio.

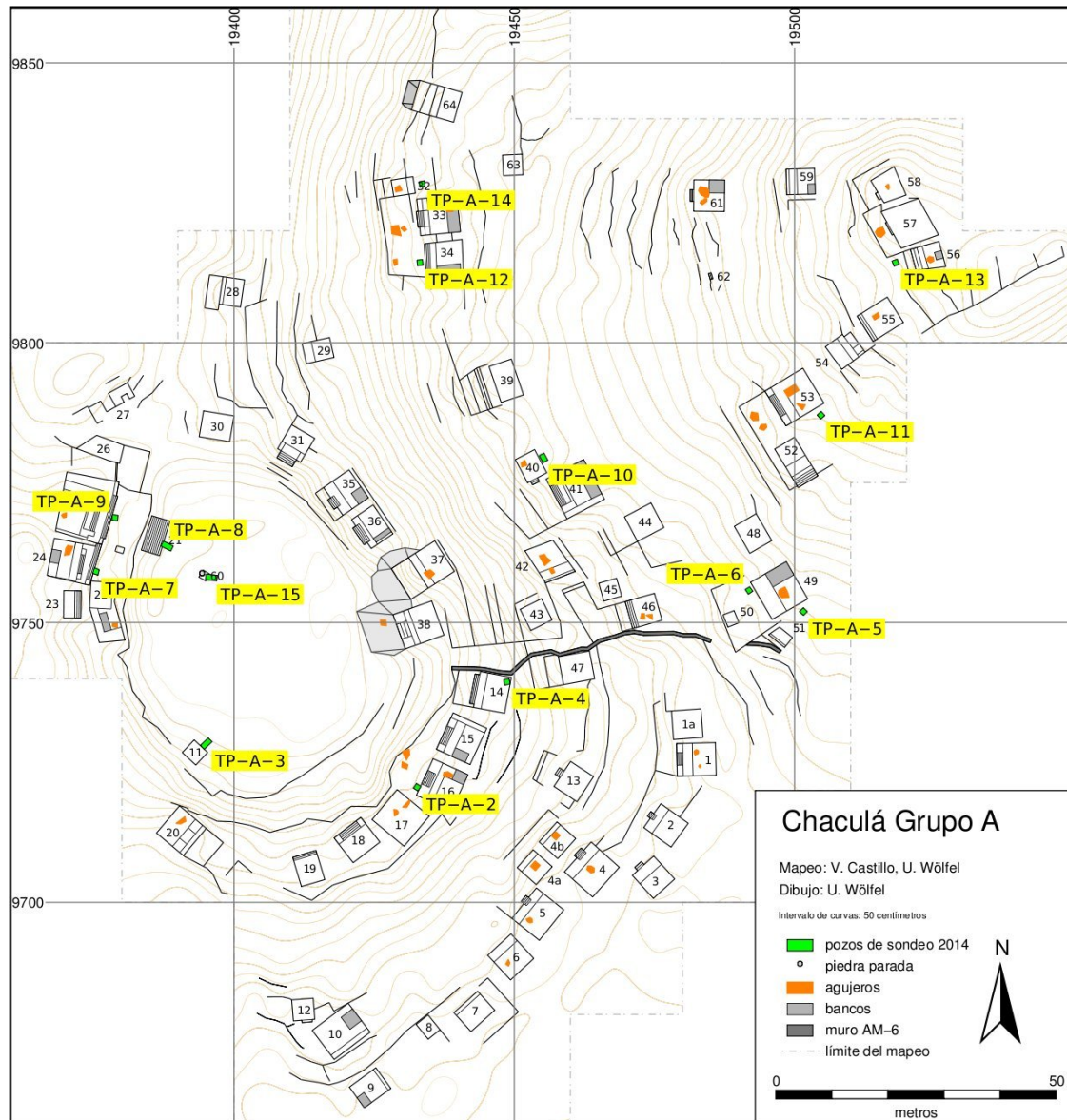
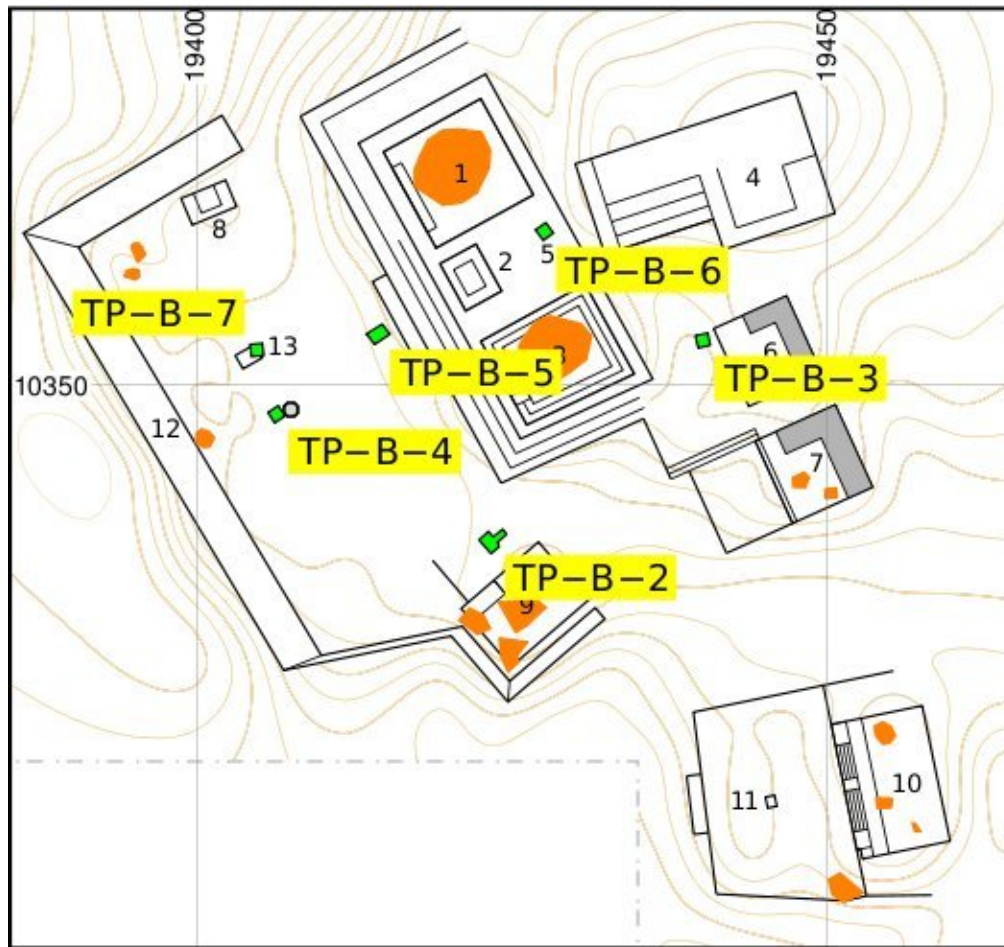


Figura 4.1 Mapa con pozos de sondeo, Chaculá, Grupo A, dibujo por U. Wölfel



Chaculá Grupo B

Mapeo: V. Castillo, U. Wölfel

Dibujo: U. Wölfel

Intervalo de curvas: 50 centímetros

- piedra parada
- pozos de sondeo 2014
- agujeros
- bancos
- - - límite del mapeo

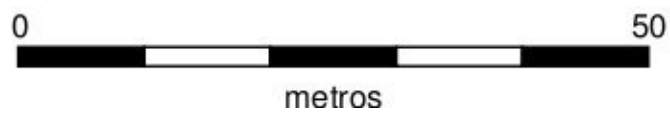


Figura 4.2 Mapa con pozos de sondeo, Chaculá, Grupo B, dibujo por U. Wölfel

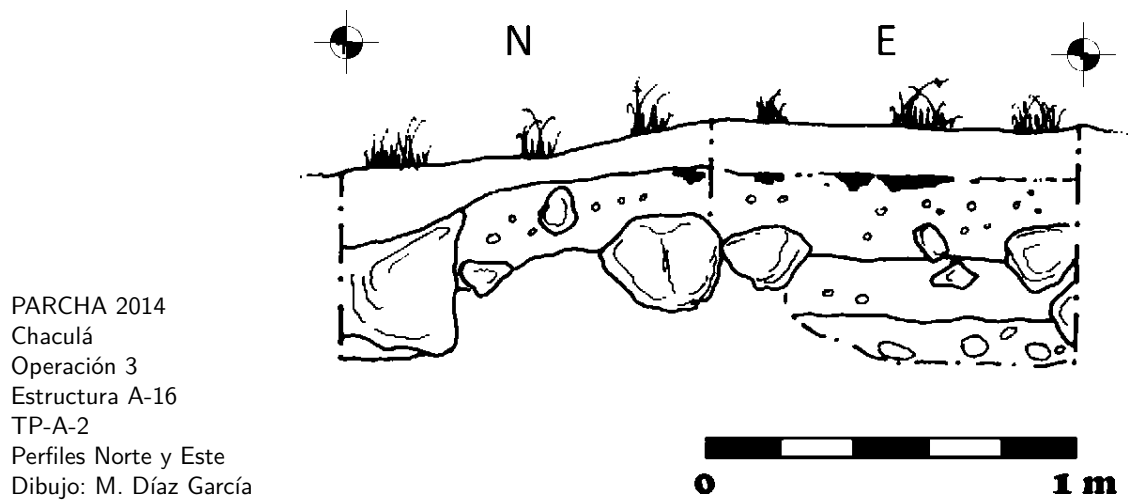


Figura 4.3 Perfiles de unidad TP-A-2, dibujo por M. Díaz García

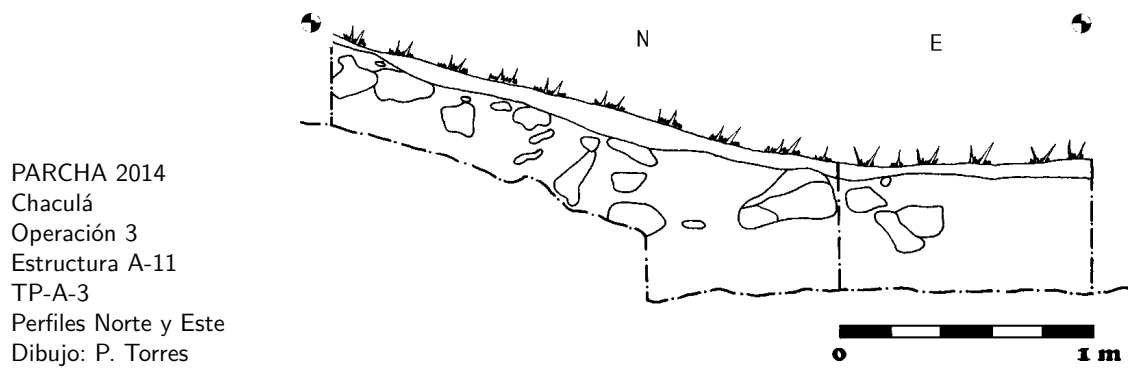


Figura 4.4 Perfiles de unidad TP-A-3, dibujo por P. Torres

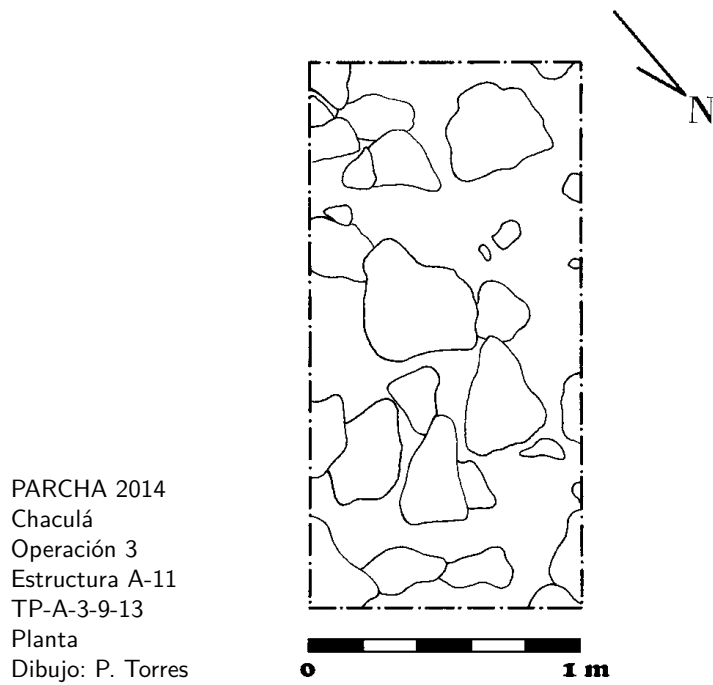


Figura 4.5 Planta de unidad TP-A-3, dibujo por P. Torres

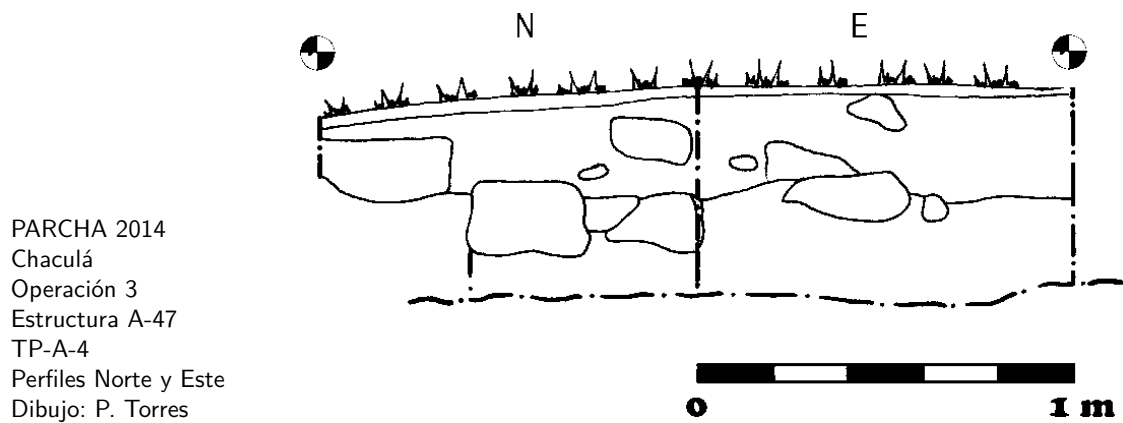


Figura 4.6 Perfiles de unidad TP-A-4, dibujo por P. Torres

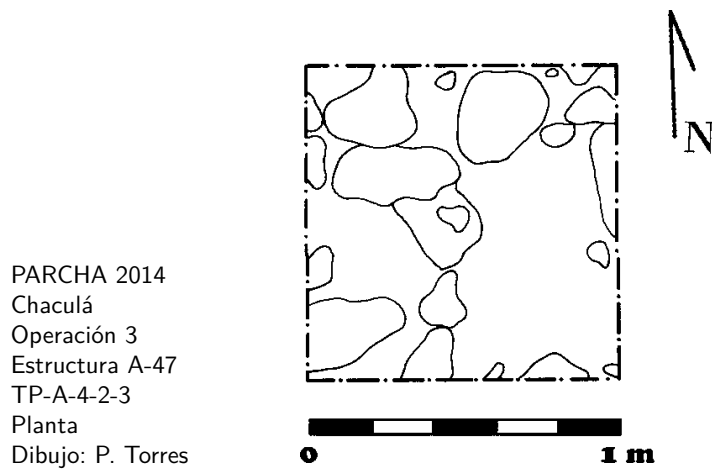


Figura 4.7 Planta de unidad TP-A-4, dibujo por P. Torres

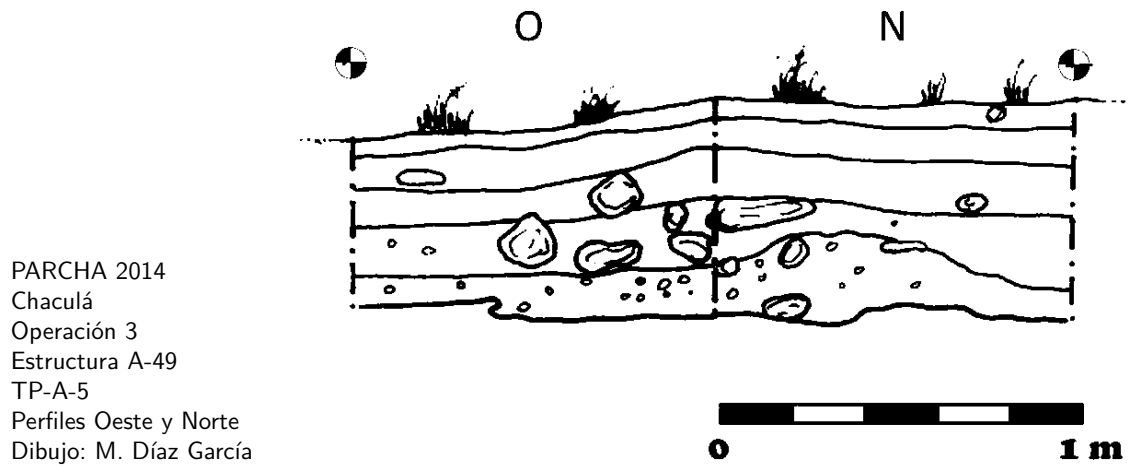


Figura 4.8 Perfiles de unidad TP-A-5, dibujo por M. Díaz García

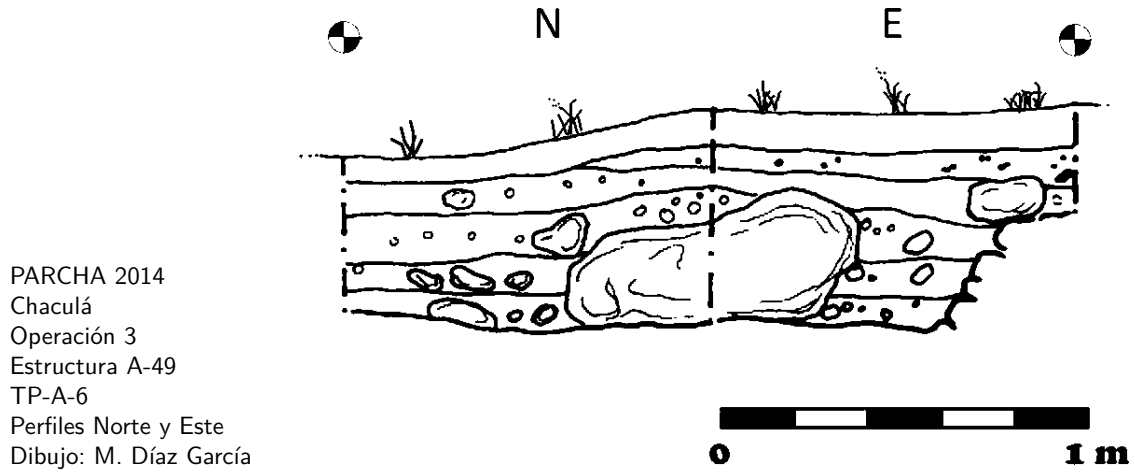


Figura 4.9 Perfiles de unidad TP-A-6, dibujo por M. Díaz García

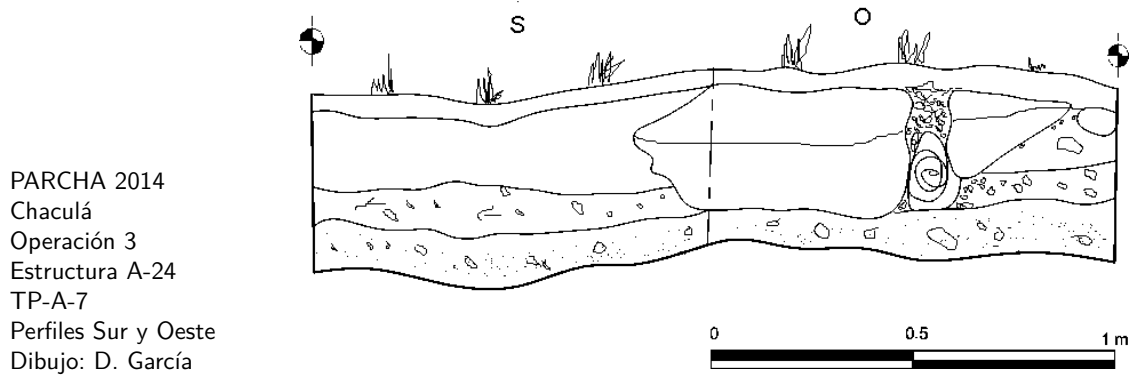


Figura 4.10 Perfiles de unidad TP-A-7, dibujo por D. García

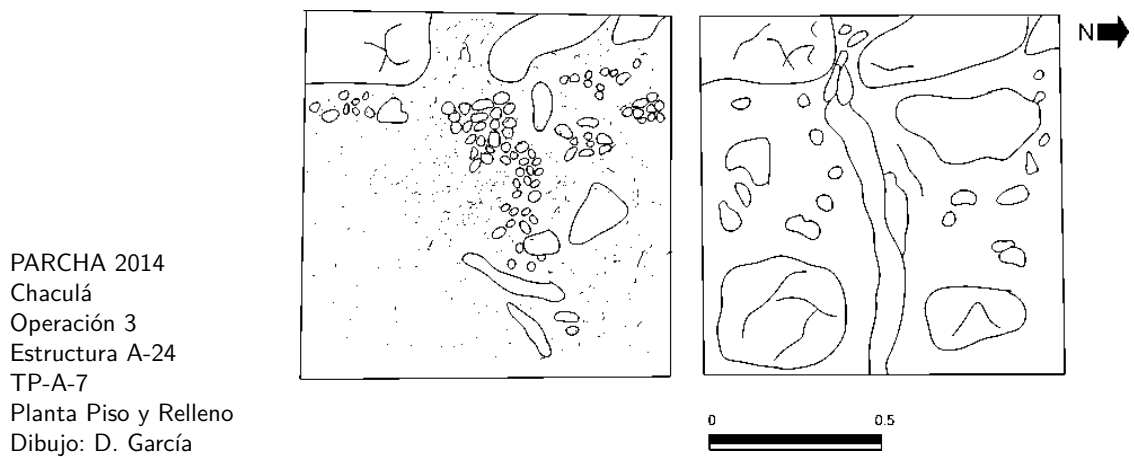


Figura 4.11 Planta de piso y relleno de unidad TP-A-7, dibujo por D. García

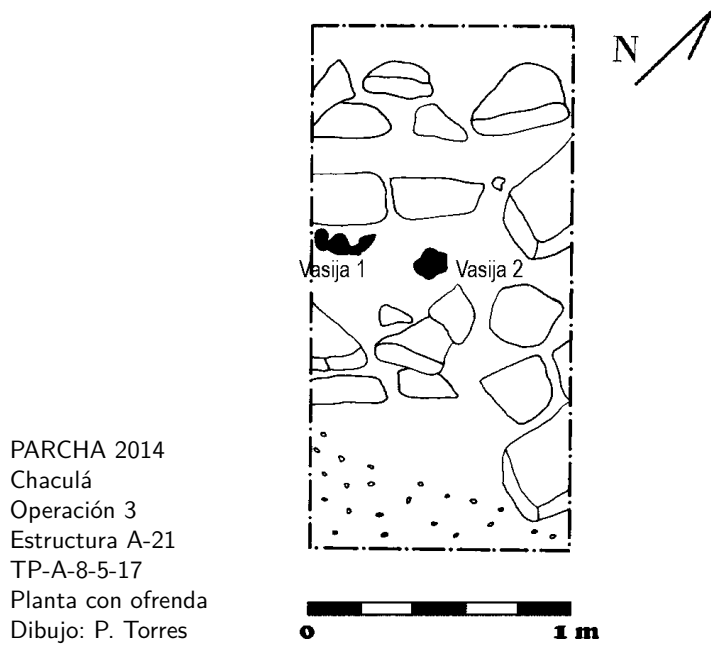


Figura 4.12 Planta de unidad TP-A-8, dibujo por P. Torres

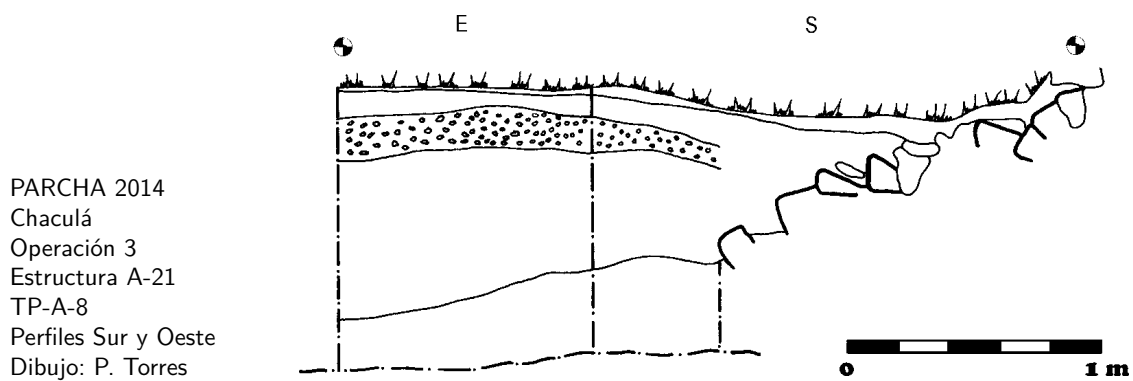


Figura 4.13 Perfiles de unidad TP-A-8, dibujo por P. Torres

PARCHA 2014
Chaculá
Operación 3
Estructura A-25
TP-A-9
Perfiles Sur y Oeste
Dibujo: D. García

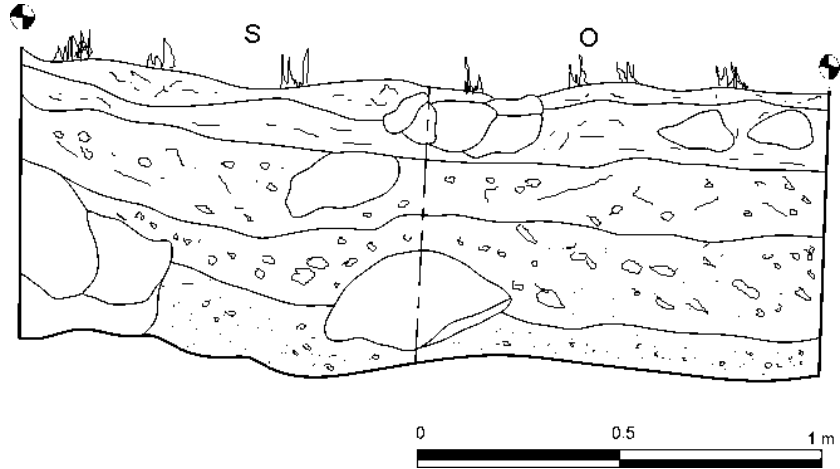


Figura 4.14 Perfiles de unidad TP-A-9, dibujo por D. García

PARCHA 2014
Chaculá
Operación 3
Estructura A-25
TP-A-9
Planta de piso
Dibujo: D. García

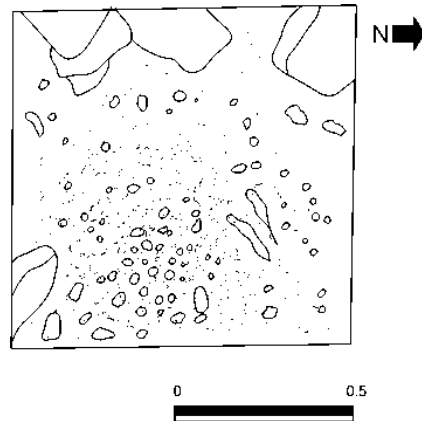


Figura 4.15 Planta del piso de unidad TP-A-9, dibujo por D. García

PARCHA 2014
Chaculá
Operación 3
Estructura A-25
TP-A-9
Planta estéril
Dibujo: D. García

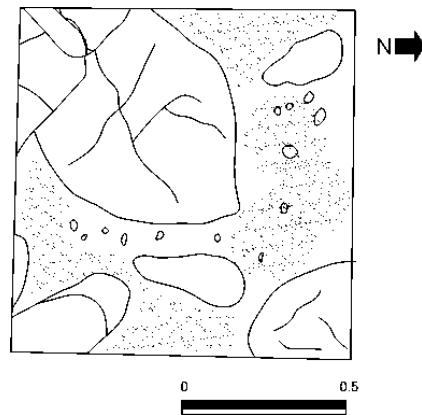


Figura 4.16 Planta nivel estéril de unidad TP-A-9, dibujo por D. García

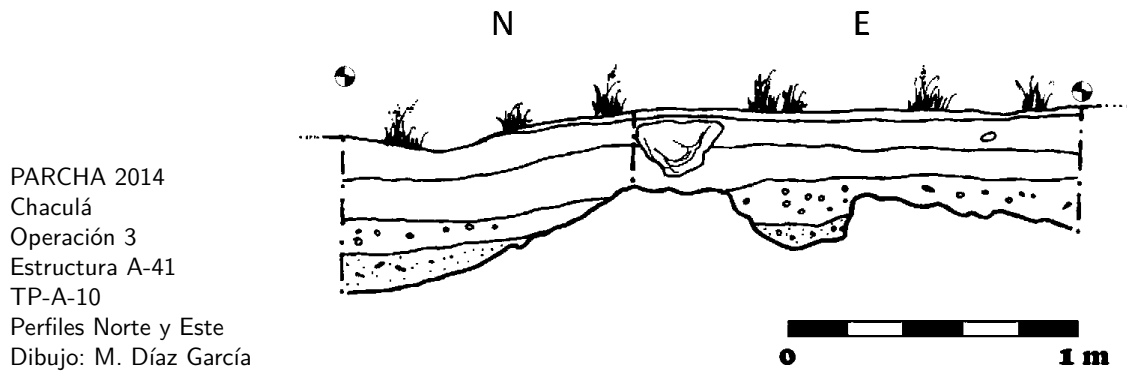


Figura 4.17 Perfiles de unidad TP-A-10, dibujo por M. Díaz García

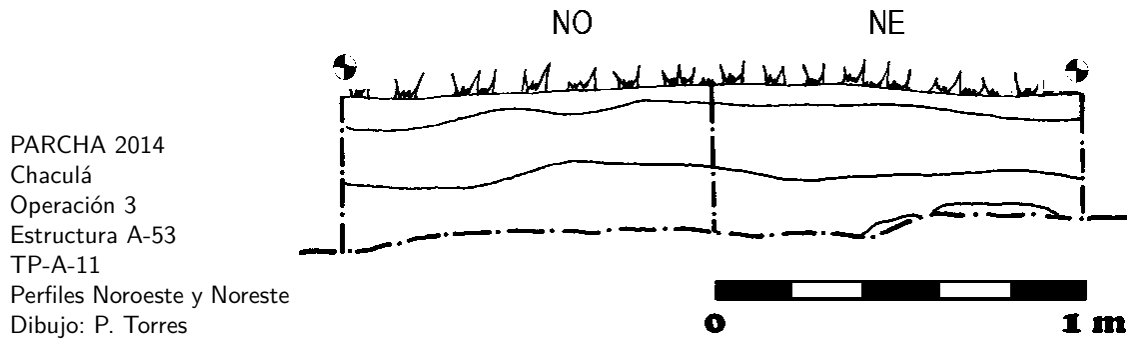


Figura 4.18 Perfiles de unidad TP-A-11, dibujo por P. Torres



Figura 4.19 Planta de unidad TP-A-11, dibujo por P. Torres

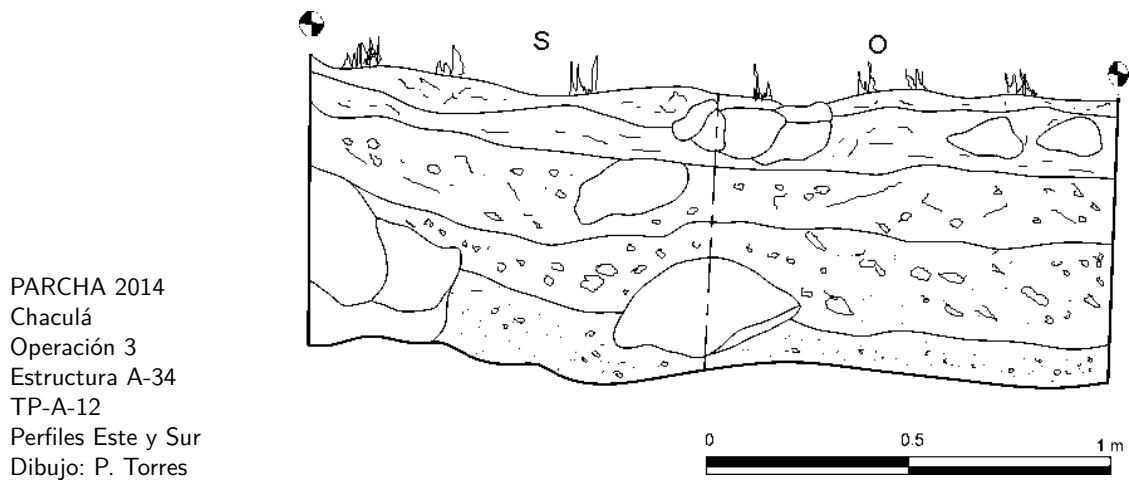


Figura 4.20 Perfiles de unidad TP-A-12, dibujo por P. Torres

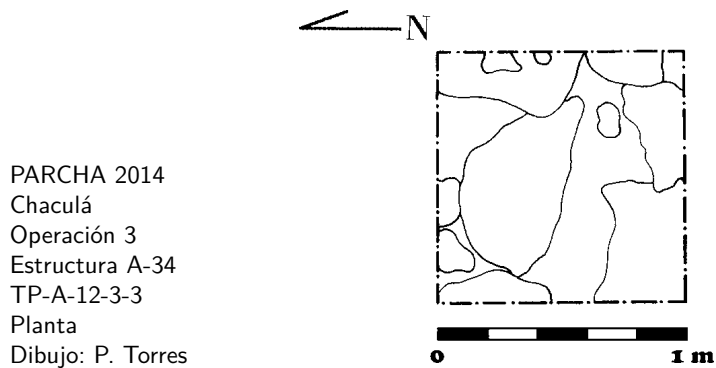


Figura 4.21 Planta de unidad TP-A-12, dibujo por P. Torres

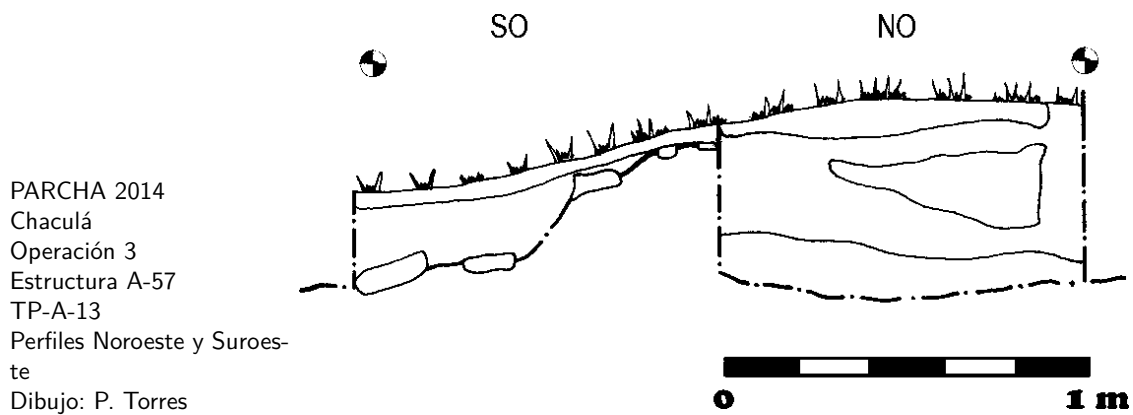


Figura 4.22 Perfiles de unidad TP-A-13, dibujo por P. Torres

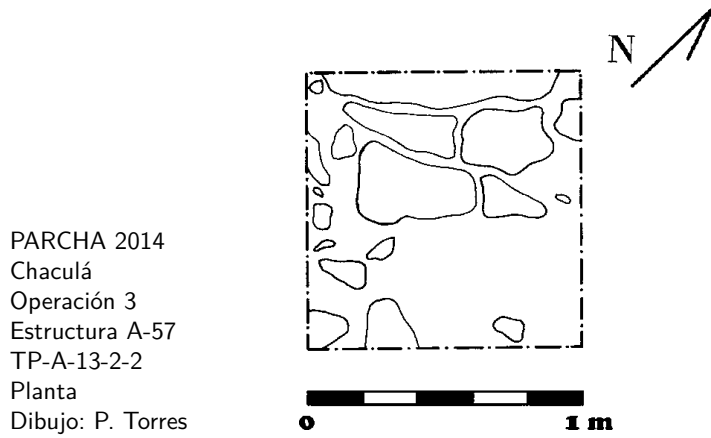


Figura 4.23 Planta de unidad TP-A-13, dibujo por P. Torres

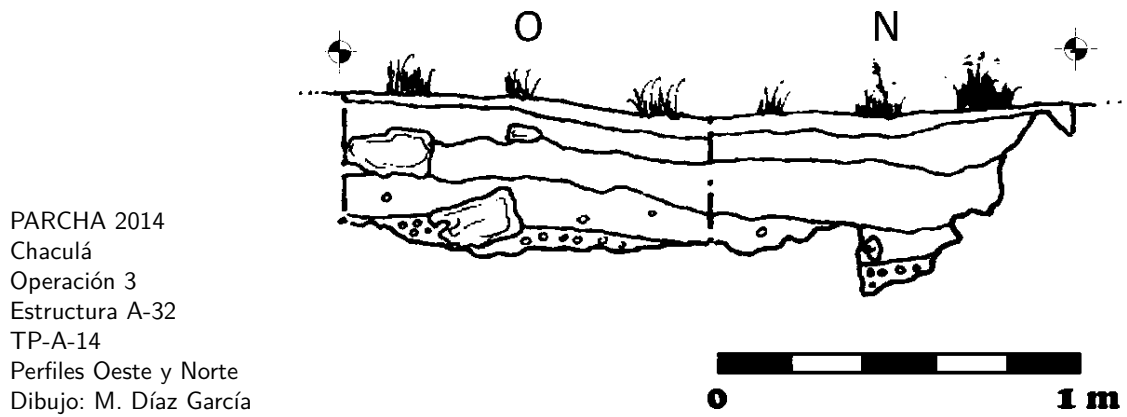


Figura 4.24 Perfiles de unidad TP-A-14, dibujo por M. Díaz García

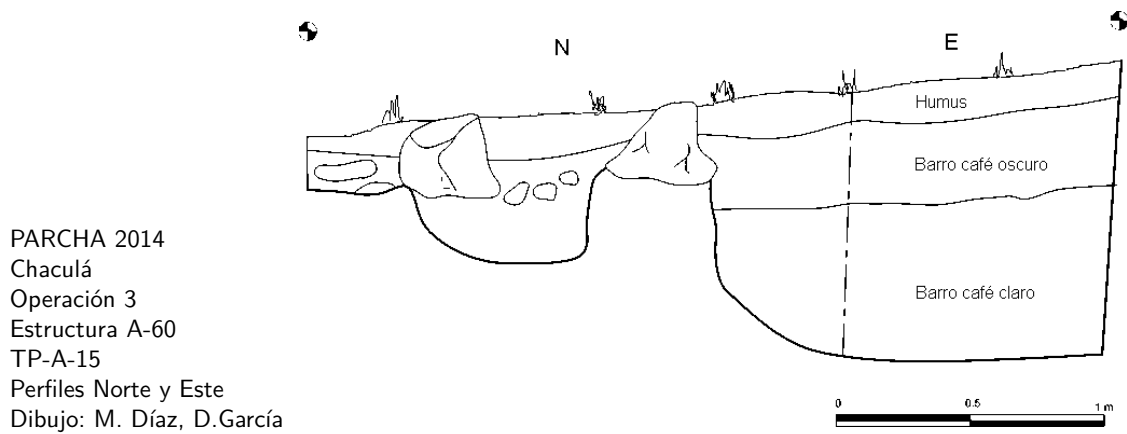


Figura 4.25 Perfiles de unidad TP-A-15, dibujo por M. Díaz García

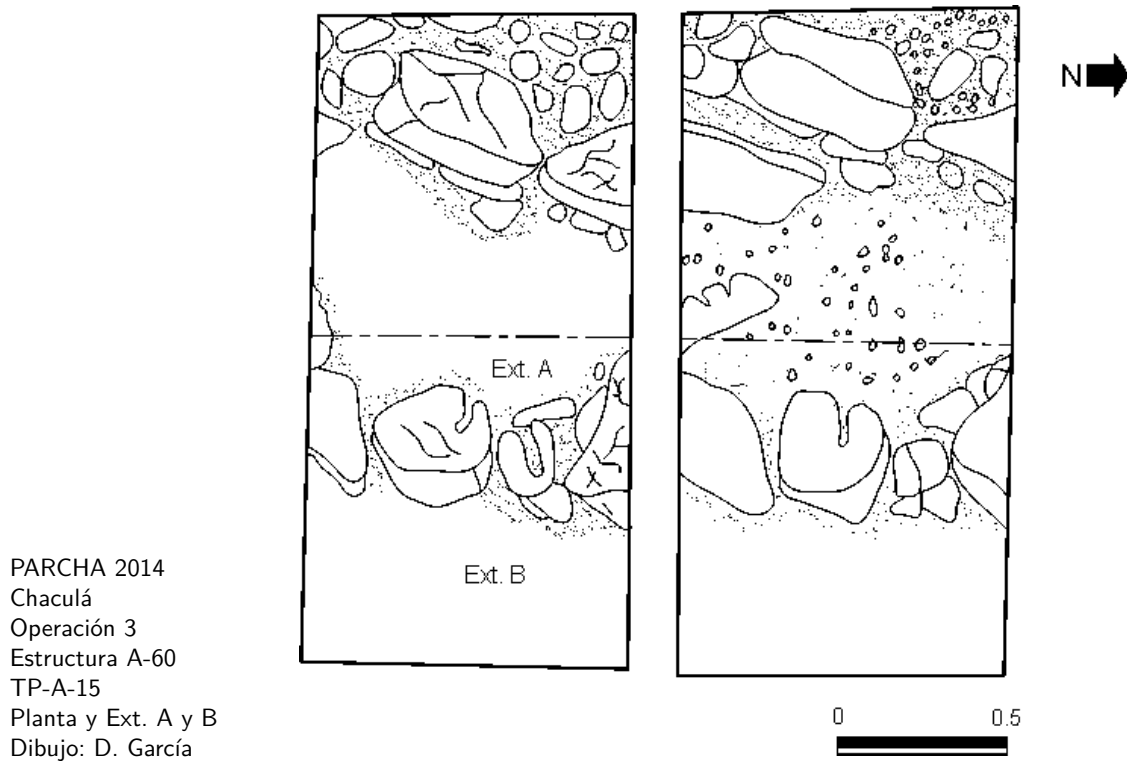


Figura 4.26 Planta TP-A-15 y Extensiones A y B, dibujo por D. García

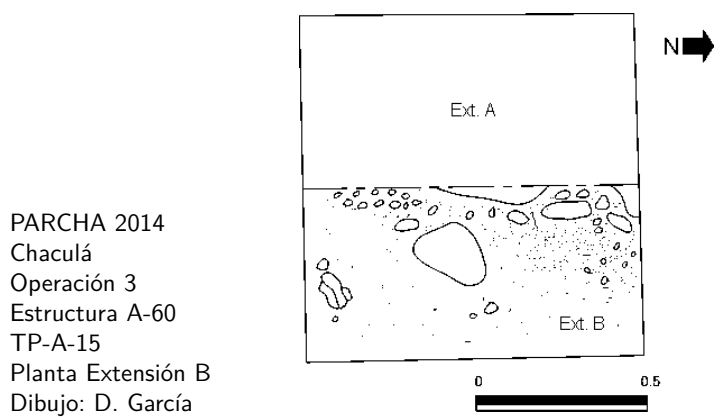


Figura 4.27 Planta Extensión B de unidad TP-A-15, dibujo por D. García

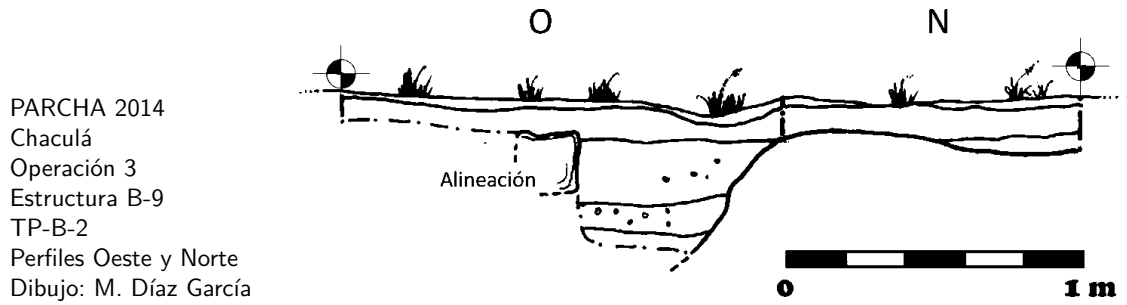


Figura 4.28 Perfiles de unidad TP-B-2, dibujo por M. Díaz García

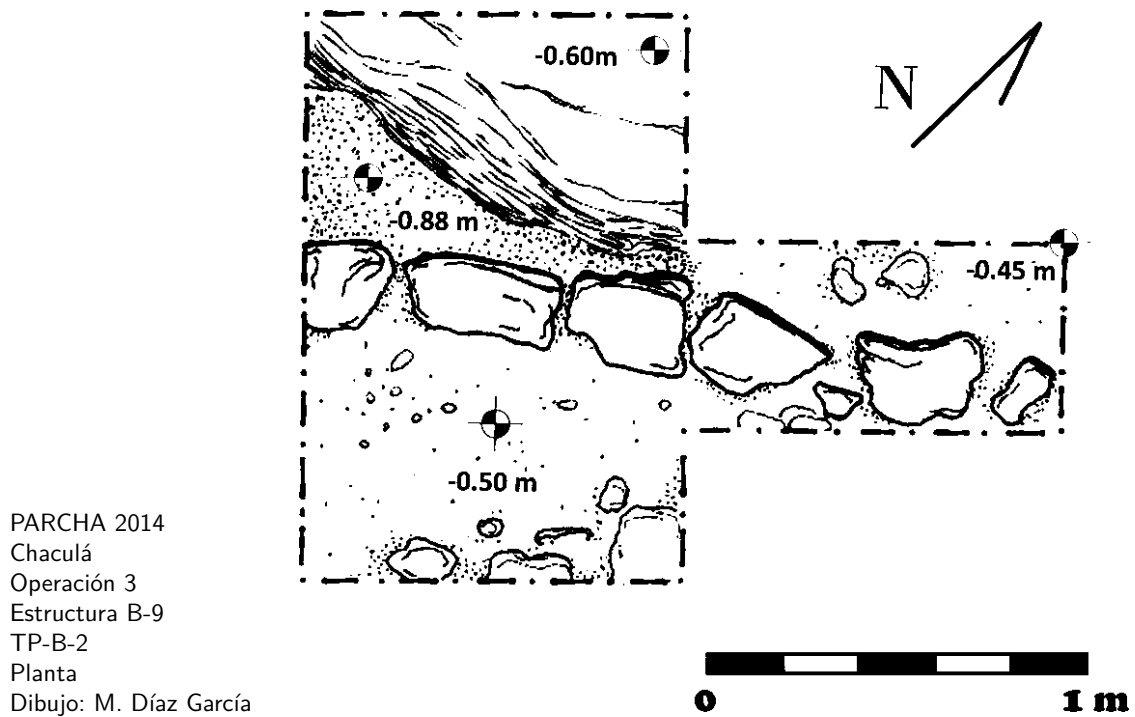


Figura 4.29 Planta de unidad TP-B-2, dibujo por M. Díaz García

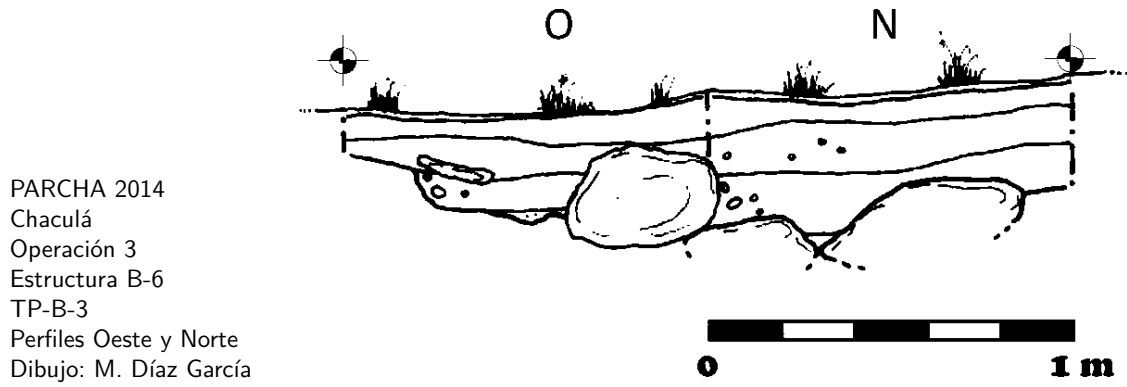


Figura 4.30 Perfiles de unidad TP-B-3, dibujo por M. Díaz García

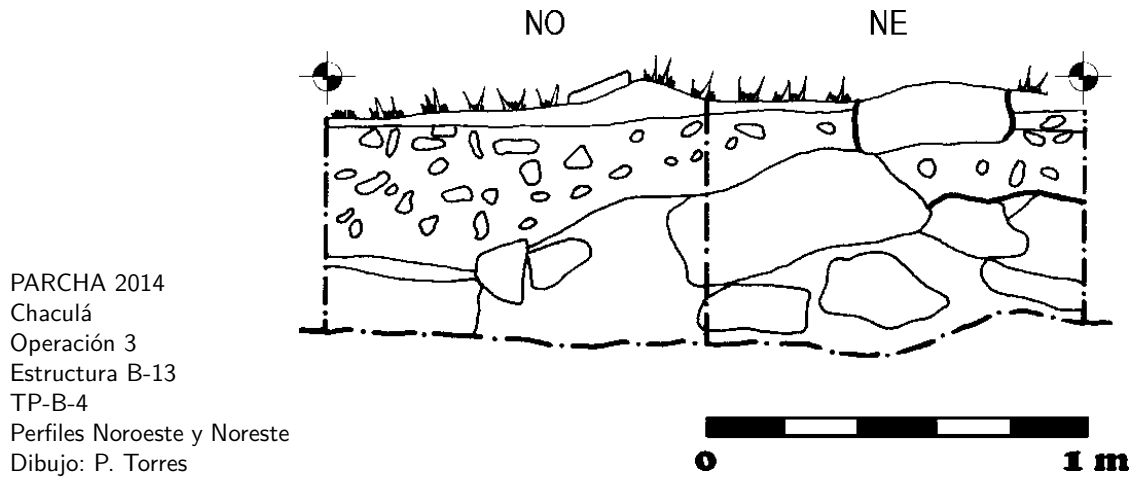


Figura 4.31 Perfiles de unidad TP-B-4, dibujo por P. Torres

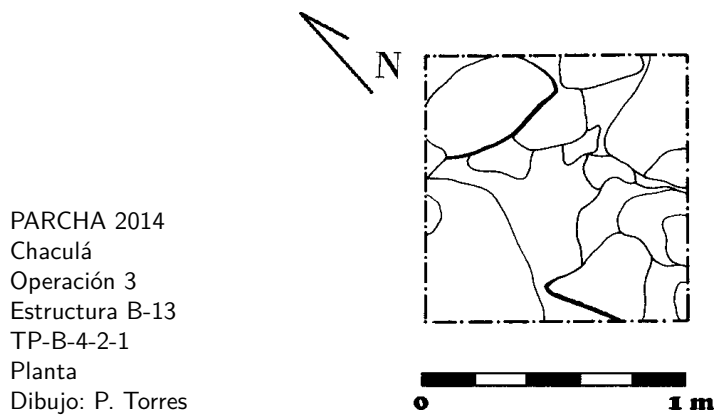


Figura 4.32 Planta de unidad TP-B-4, dibujo por P. Torres

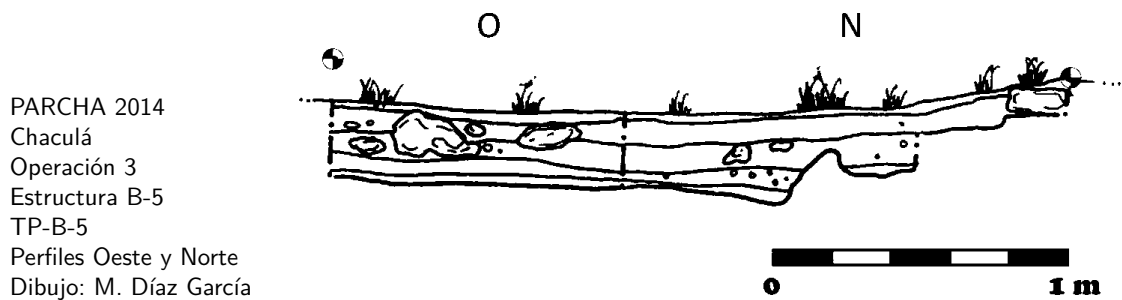


Figura 4.33 Perfiles de unidad TP-B-5, dibujo por M. Díaz García

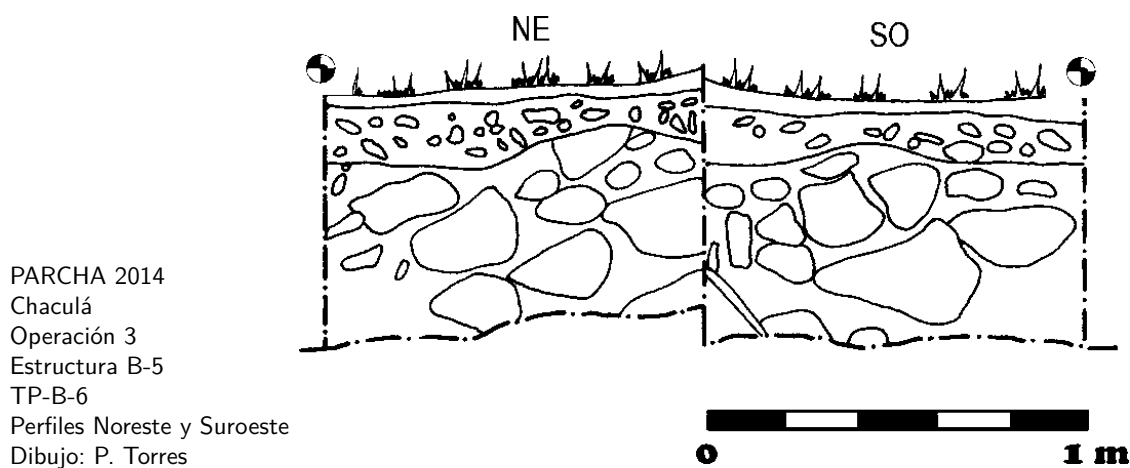


Figura 4.34 Perfiles de unidad TP-B-6, dibujo por P. Torres

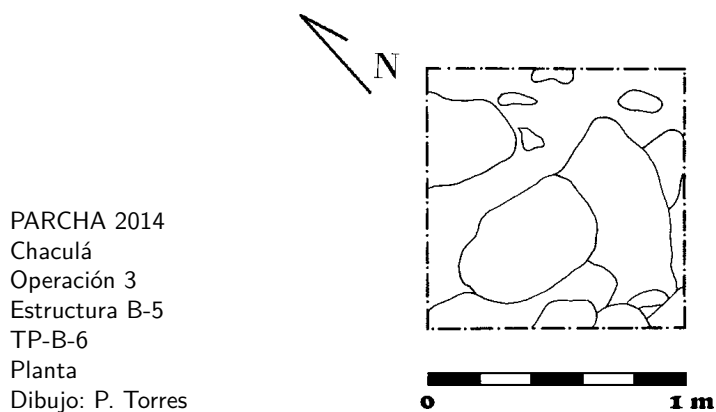


Figura 4.35 Planta de unidad TP-B-6, dibujo por P. Torres

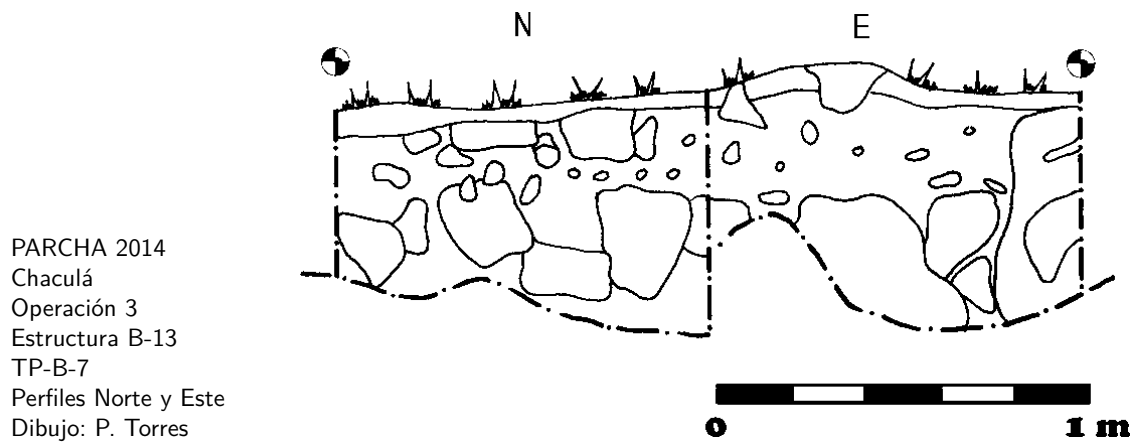


Figura 4.36 Perfiles de unidad TP-B-7, dibujo por P. Torres

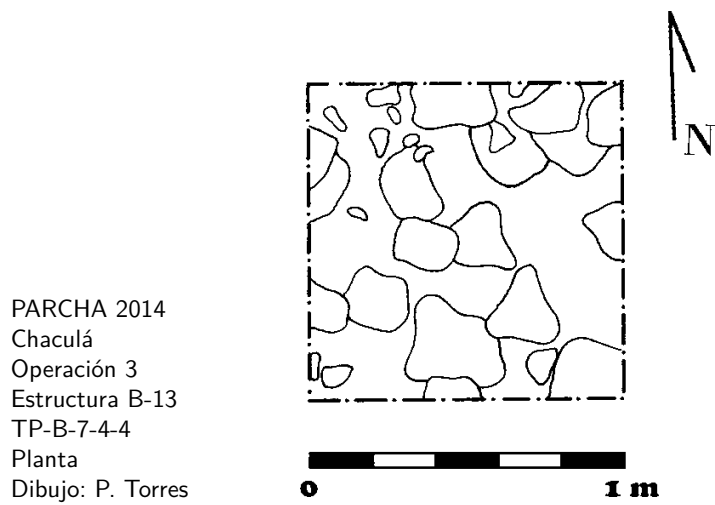


Figura 4.37 Planta de unidad TP-B-7, dibujo por P. Torres

5 Análisis de materiales arqueológicos

Dora García y Paola Torres

Cerámica

Introducción

El análisis de laboratorio de la temporada 2014 del Proyecto Arqueológico Regional de Chaculá, presentó toda una serie de retos por tratarse del primer análisis realizado con materiales provenientes de contextos plenamente documentados, ya que anteriormente se habían expuesto algunos datos preliminares en torno a la cerámica del área, pero en base a materiales que habían sido recolectados por los pobladores de la finca y los cuales carecían de contextos específicos (Castillo y Wölfel 2013).

Por lo tanto dentro de los objetivos primordiales establecidos por el proyecto, el análisis de materiales arqueológicos es fundamental como parte del entendimiento en las primeras investigaciones, ya que con los reportes e informes realizados por Seler no se llegó a conocer la totalidad y esplendor de este sitio particular ubicado al noroeste del altiplano guatemalteco.

En esta línea uno de los principales enfoques fue el estudio de la cerámica y otros materiales que contribuyeran a establecer un fechamiento más claro de los grupos importantes del sitio, así como la identificación de los tipos cerámicos que puedan ayudar a vislumbrar las filiaciones culturales, así como la relación o pertenencia de Chaculá en la configuración política, económica y cultural de esta área arqueológica poco conocida.

Para cumplir los objetivos establecidos, fue necesario realizar una revisión de las cronologías y tipologías establecidas en sitios cercanos ya que fueron considerados como entes referentes importantes a nivel comparativo, así fueron consultados los estudios realizados en los tributarios superiores del río Grijalva (Clark et al. 2001; Bryant et al. 2005), Zaculeu (Woodbury y Trik 1953, citado en Borgstede 2004), Chinkultic (Ball 1980), entre otros, además se realizó una revisión a los muestrarios de la Ceramoteca del Departamento de Monumentos Prehispánicos y Coloniales, el laboratorio del sitio de Cancuén y Salinas de los Nueve Cerros, a quienes se les agradece por su colaboración.

Nombre del Sitio (Iniciales)	Unidad de Excavación	Estructura	Nivel	Lote
CHA	TP-A (Grupo A)	15	2	3
	TP-B (Grupo B)			

Cuadro 5.1 Nomenclatura de marcaje del material arqueológico

Metodología

El control de materiales fue llevado a cabo desde las excavaciones en donde se separó por tipo de industria (cerámica, lítica, hueso, malacológico, etc.) y se realizó un conteo preliminar para cada lote de acuerdo a la estratigrafía y hallazgos encontrados, posteriormente fue llevado a cabo el lavado, marcado y análisis en el laboratorio del Proyecto, que fue ubicado en la Casa mayor de la Posada Rural finca Chaculá, comunidad Nueva Esperanza Chaculá, municipio de Nentón, departamento de Huehuetenango.

Para el lavado, todo el material fue cuidadosamente manipulado haciendo uso de agua y cepillos de cerdas suaves. Para el proceso de secado fueron empleados canastos plásticos y todo fue expuesto en sombra. En el marcado se empleó esmalte de uñas, tinta china blanca y negra. Se siguió la nomenclatura que se presenta en el Cuadro 5.1 y en donde se ejemplifica el código de marcaje.

Para el registro del análisis de material cerámico, fue creada una ficha especial en donde se incluyeron los siguientes datos: operación, grupo o tipo, formas principales, parte de la vasija a la que corresponde cada fragmento, pasta, desgrasantes y totales por contexto. Las fichas fueron procesadas luego en una base de datos digital creada en Excel para obtener cantidades más precisas de porcentajes.

Se tomaron fotografías y dibujos correspondientes a las muestras representativas del total de material analizado (Fotos y dibujos de Torres y García).

Para el registro de formas cerámicas y siguiendo a Hatch y Castillo (1984:80) se puede mencionar que *“como parte de los sistemas de clasificación es necesario organizar el material de acuerdo a similitudes y diferencias determinantes, en cuanto a las formas, su estudio se facilita haciendo uso de un marco básico, los sistemas clasificatorios más sencillos funcionan mejor porque buscan un mínimo de categorías, basados en los rasgos consistentes y determinantes para diferenciar el uno del otro”*. En este sentido para las descripciones de formas se utilizó la siguiente nomenclatura de formas básicas y algunas formas especiales identificadas durante el análisis:

- A: Cántaro
- B: Cuenco
- C: Vaso

- D: Plato
- E: Comal
- F. Incensario
- G. Misceláneo

Cada forma presenta variantes en la morfología de su cuerpo, paredes, base, cuello, borde, etc., y distintos tipos de decoración. Las descripciones de formas y decoraciones son un indicador importante de características temporales y de ocupación en todos los estudios cerámicos.

Sistema de análisis Tipo-Variedad

Para el análisis de los materiales cerámicos se utilizó el ampliamente conocido sistema Tipo-Variedad, el cual permite clasificar los materiales a partir de categorías tipológicas establecidas y con un orden jerárquico (clases, tipos, grupos y variedades) (Laporte 2007; Smith et al. 1960; Sabloff y Smith 1969), es decir una estructura con varios niveles definidos, que basa sus estudios en el acabado de superficie y decoración como herramienta interpretativa de procesos culturales inferidos mediante la identificación de tipos y variedades (Rivera 2009).

Además de la identificación y combinación de ciertos atributos, que también pueden incluir modos de forma y pasta, es posible el registro de aquellos cambios estilísticos temporales (Ford, Woodman y Lucero 1992 citados en Laporte 2007) que permitirán una comparación con secuencias cerámicas de otras áreas.

Al ser el primer acercamiento al establecimiento de una cronología cerámica de este sitio, con la identificación de los tipos y la filiación cultural se pretenden definir conjuntos cerámicos, es decir “la agrupación de unidades tipológicas características de una región específica, ya sea porque los recipientes provienen directamente de dicha región, o porque los estilos decorativo, morfológico o técnico son característicos de la producción cerámica de esta región (Forné et al. 2011). A partir de esta definición cada grupo y tipo será nombrado siguiendo lo ya establecido en cada región específica (Tierras Altas, Tierras Bajas, Región Cuenca Grijalva, etc.), como un primer inicio para determinar los conjuntos cerámicos de Chaculá.

En total se recolectaron 11787 tiestos, pero debido a la fuerte erosión que presentaron la mayoría y su tamaño menor a 0.02 m, fueron analizados únicamente 2203 tiestos. Las futuras investigaciones pueden ser de gran aporte para una secuencia cerámica más completa y comprensible, que permita conocer el desarrollo cultural, económico y social de los habitantes de esta región.

Referentes para el análisis cerámico

Como fue mencionado al inicio de este capítulo, fue fundamental realizar una investigación comparativa consultando muestrarios de cerámica de sitios arqueológicos y áreas cercanas a Chaculá, para la identificación de los tipos, además de la consulta bibliográfica de tipologías ya determinadas (ver Cuadro 5.2), que son consideradas importantes en el establecimiento de posibles filiaciones y relaciones culturales con otras regiones.

Título de la publicación	Año	Ubicación	Autores
The Archaeological Ceramics of Chinkultic	1980	Chiapas, México	Joseph W. Ball
Arqueología del Occidente de Guatemala	1995	Tierras Altas Occidentales, Guatemala	Andrés Ciudad Ruiz, María Josefa Iglesias Ponce de León
Exploraciones Arqueológicas de la Cuenca Superior del Río Grijalva	2000	Huehuetenango, Guatemala	Mario Tejada, John Clark y Beatriz Balcárcel
Prospección Arqueológica de la Cuenca Superior del Río Grijalva	2001	Huehuetenango, Guatemala	John E. Clark, Mario Tejada Bouscayrol, Donaldo Castillo, David Cheetham, Deirdre Nuttall, Beatriz Balcárcel
Ethnicity and Archaeology in the Western Maya Highlands	2004	Huehuetenango, Guatemala	Gregory J. Borgstede
Ceramic Sequence of the Upper Grijalva Region Chiapas, Mexico	2005	Chiapas, México	Douglas Donne Bryant, John E. Clark y David Cheetham
Informe de Cerámica, Proyecto Arqueológico Lagartero	2007	Trinitaria, Chiapas, México	Sonia Rivero, Ulises Chávez
Relaciones entre las Tierras Altas Occidentales de Guatemala y las Tierras Bajas en el Clásico Terminal	2007	Tierras Altas Occidentales, Guatemala	Gregory J. Borgstede y Luis Romero
Cerámica recuperada a lo largo de cinco temporadas de campo Proyecto Regional Sierra de Lacandón	2010	Sierra del Lacandón	Ana Lucía Arroyave
Proyecto Arqueológico de Rescate Caserío Ixquisis	2011 y 2012	San Mateo Ixtatán, Huehuetenango, Guatemala	José Luis Garrido López

Cuadro 5.2 Antecedentes de análisis cerámico de la región de áreas cercanas

Así desde 1980 la Fundación de Arqueología del Nuevo Mundo (*New World Archaeological Foundation*), y el análisis realizado por Ball (1980) establecen la secuencia cerámica del sitio arqueológico Chinkultic, Chiapas, México, partiendo del Preclásico (200 a.C.) hasta el Posclásico (1300 d.C.) haciendo la descripción detallada de los tipos y variedades de la cerámica. En el estudio de Chaculá se identificaron algunos de estos tipos que corresponden al período Clásico Tardío, aunque en su mayoría se identificaron de la secuencia cerámica de la región del Grijalva, hacia la misma temporalidad (Fase Mix 650–900 d.C.), e incluso del Posclásico.

El análisis de la cerámica del Grijalva presenta poca variabilidad en la cerámica do-

méstica, por lo cual parecen haber existido centros de fabricación en serie, predominando el engobe rojo. Por otra parte no se reporta en su publicación suficientes elementos que evidencien la transición del Clásico Tardío al Posclásico, solamente se reportan pocos cambios con algunos tipos característicos como el Plomizo.

Posteriormente Bryant et al. (2005) establecen para el Clásico Tardío un aumento de población en todos los sitios de la región de la Cuenca Superior del Grijalva (Tenam Rosario, Guajilar, Ojo de Agua, Guajillo, Los Encuentros, Lagartero), que puede resultar de la migración de grupos mayas que abandonaron las Tierras Bajas Mayas durante este período. A pesar de ello los pobladores locales no aplicaron las técnicas constructivas de los mayas, visibles en sus características arquitectónicas e inventario de artefactos de estos, sino más bien de producción local, plataformas con fachadas de bloques de piedra tallada y material perecedero.

La cerámica comparte un corpus consistente de tipos compartidos entre todos los sitios objeto de estudio, con algunas diferencias en cuanto a materiales finos que pudieron ser comercializados (cerámica policroma), además de la abundancia de material doméstico. Particularmente los estudios en Lagartero (Rivero Torres y Chávez Jiménez 2007), resaltan la ocupación Clásico Tardío reportando los tipos característicos Lagarto Sin Engobe (Cambio Sin Engobe), Nutria (Incensarios), Chachalaca, Tasajo Rojo entre otros.

En el área de Huehuetenango, Guatemala, el análisis realizado en Ixquisis, San Mateo Ixtatán (Garrido López 2012a, 2012b), confirma la relación con el área de la Cuenca Superior del Grijalva, identificando algunos de sus tipos y variedades, a pesar de ser una muestra pequeña y erosionada. En esta investigación el análisis de la pasta fue importante, al identificar elementos que corresponden a características de Tierras Altas de Guatemala y Tierras Bajas Mayas, es decir una fusión entre ambos. En cuanto a cronología, fecha para el Clásico Tardío utilizando las fases de Clark et al. (2001), que corresponde a Huehue IX, Complejo K (600–900 d.C.), identificando cerámica característica de Tierras Bajas en formas y decoraciones de Tierras Altas (por ejemplo Amatle).

Nuevamente se identifica como cerámica de producción local, por las fuentes de materia prima existentes en colores naranjas y rojos, característica evidente también en Chaculá, así como tipos utilitarios como Lagarto Sin Engobe (Cambio Sin Engobe) de Tierras Bajas y Tasajo Rojo (Bryant et al. 2005), de la tradición de la Cuenca Superior del Grijalva, es decir que estos sitios en Huehuetenango están integrados a esta amplia región cultural que las fronteras hoy dividen.

Para Garrido López (2012a, 2012b), un determinante del desarrollo de esta área responde a su posición geográfica y las cuencas principales tanto del Grijalva y el Usumacinta, con afluentes de agua que provienen de los Cuchumatanes, abarcando lo

que se conoce como Tierras Altas del Norte y el territorio de Chiapas, México. Ixquisis se identifica como una zona habitada por los Chuj en épocas tardías, la variación de otras poblaciones la atribuye a las migraciones y relaciones comerciales, sociales y políticas que pudieron desarrollarse.

En este sentido la región arqueológica de la Cuenca Superior del Grijalva tanto del territorio de Chiapas, México, como en Huehuetenango, Guatemala presenta características típicas de la región de Chaculá, evidenciado en los tipos cerámicos y período de ocupación con su mayor auge durante el Clásico Tardío.

Clark et al. (2001) realizan estudios de reconocimiento precisamente en esta región del lado de Huehuetenango, con el objetivo de integrar los datos de Chiapas tanto arqueológicos como geográficos, etnográficos y etnohistóricos, y obtener así una visión más amplia. La cerámica de superficie de estos sitios data desde el Preclásico Medio hasta el Posclásico, sin embargo predomina el período Clásico observable también en las características arquitectónicas, como estructuras con alfardas y talud. Cerámica del Clásico Tardío es representada por vasijas polícromas, vasos y cuencos, engobes naranjas pulidos de pasta fina y compacta, engobe café sobre naranja; del Posclásico prevalecen los mangos de incensarios y la cerámica micácea.

Otros estudios han abordado la problemática del estudio de las Tierras Altas Occidentales y su relación con las Tierras Bajas, Chiapas y otras áreas, principalmente durante el Clásico Tardío-Terminal. Agua Tibia, es un sitio arqueológico de Totonicapán en el cual Ciudad Ruiz e Iglesias Ponce de León (1995) (Cuadro 5.3), realizan un análisis de la arqueología de esta zona mencionando cambios en la tradición cerámica del Clásico Tardío con rasgos aún presentes de la tradición Preclásica (rojo sobre crema), del Altiplano Norte (Xibal Negro), Costa Sur (Tiquisate, Plomizo San Juan) y Tierras Bajas (Saxche Naranja Polícromo), por otra parte mencionan la tradición escultórica de sitios como Chaculá y Quen Santo que corresponden a rasgos de naturaleza Tolteca y Mexica (esculturas de bulto, toscas y rígidas), durante el Posclásico (Mexicano Tardío 950–1550 d.C.).

Adicionalmente Tejada et al. (2000) hace énfasis en las rutas de comercio de las Tierras Altas y Tierras Bajas de Guatemala, con la región de la Cuenca del Grijalva y mucho más en el área Olmeca, alrededor de la ocupación del Grijalva en territorio Guatemalteco que cuenta con varios sitios cuyas características arquitectónicas corresponden al Clásico Temprano y Tardío (muros de piedra cortada, juegos de pelota abiertos) y Posclásico (estructuras con alfardas, talud-tablero y estuco), resaltando la ocupación Preclásica de El Cambote.

A este propósito la cerámica fina del Clásico Tardío (550–810 d.C.) Gris Fino y Naranja Fino, característico de este período y ampliamente comercializada, se reporta tanto en

Cronología Arqueológica del Altiplano Occidental del Preclásico Tardío al Postclásico Tardío					
		Alto Samalá	Tajumulco	Zaculeu	Chitux (Velásquez 1996)
Posclásico Tardío	1200-1524dC	Xantun		Xinabahul	
Posclásico Temprano	900-1200dC		San Marcos	Qankyak	
Clásico Tardío	550-900dC	Totonicapán		Chinaq	Cham
Clásico Temprano	200-550dC			Atzán	Ajmak
Preclásico Terminal (Protoclásico)	100-200dC	Salcajá			Ajpuj
Preclásico Tardío	400aC-100dC				

Cuadro 5.3 Cronología Arqueológica del Altiplano Occidental del Preclásico Tardío al Posclásico Tardío, modificado por Bauer (2012), a partir de Ciudad Ruiz e Iglesias Ponce de León (1995)

la región del Grijalva (Chiapas), como en la Sierra del Lacandón, en sitios cercanos a Yaxchilán y Piedras Negras que conforman la cuenca del Usumacinta, donde ambas se relacionan y comparten el auge y mayor desarrollo durante este período (Arroyave 2010), (Cuadro 5.4). La cerámica se caracteriza por su decoración rojo y naranja sobre crema (tipo Santa Rosa Crema Polícromo para Piedras Negras). Para el Clásico Terminal (810–1000 d.C.) se reporta cerámica importada de pasta fina de color naranja (Grupo Altar, Tipo Pabellón Moldeado), gris (Tres Naciones) y pasta fina café no identificada de engobe negro que puede presentar incisiones. Según Ball (1980), durante el Clásico Terminal la región del Usumacinta, tuvo relaciones con el sitio arqueológico de Chinkultic.

Es importante mencionar esta área precisamente por la presencia de tipos compartidos en la Cuenca del Grijalva durante el Clásico Tardío–Terminal. En este sentido un punto clave para la comprensión del corpus cerámico del área del presente estudio son las relaciones entre las Tierras Bajas Mayas y las Tierras Altas Occidentales. Un punto clave de análisis lo realiza Borgstede y Romero (2007), especialmente para el Clásico Tardío–Terminal, que corresponde al colapso maya. Su estudio se concentra en la región Huista–Akateko, identificando cerámica naranja y roja y polícromos con características de Tierras Bajas Mayas, además de tipos utilitarios de engobe rojo y café burdo, en tinajas y cuencos grandes. Arquitectónicamente los sitios se componen de pirámides,

PERIODOS HISTÓRICOS	PIEDRAS	YAXCHILÁN	ALTAR DE SACRIFICIOS	PETEXBATÚN	SEIBAL	CANCUÉN	UAXACTÚN	CALAKMUL
1100				TAMARINDO				?
1000			JIMBA					
900	KUMCHE		BOCA RÉC.	SEPENS	BAYAL	?	TEPEU 3	HALIBE
800	CHACALHAZ	YAXMUC	BOCA ANC.		TRANSITION	CHAMÁN		
700	YAXCHE	YAXKIN	PASIÓN	NACIMIENTO	TEPEJILOTE	LOS LAURELES	TEPEU 2	KU
600			CHIXOY			CONCORDIA	TEPEU 1	
500	BALCHE		VEREMOS		TRANSITION		TZAKOL 3	
400	NABA	YAXCAB	AYN	JORDAN			TZAKOL 2	KAYNIKTE
300	POM		SALINAS	FAISAN	JUNCO		TZAKOL 1	

Cuadro 5.4 Cronología de Tierras Bajas, tomado de Forné et al. (2011)

plataformas y juegos de pelota a base de piedra careada y material perecedero. La introducción de tipos cerámicos y otras características en patrón de asentamiento son atribuidas a migraciones de la Cuenca Superior del Grijalva, hasta la región Huista durante el Clásico Tardío–Terminal, período donde se da una ruptura y cambio hacia el Posclásico.

En comparación, durante el Clásico Terminal la región de Chaculá comparte ciertos aspectos en patrón de asentamiento, arquitectura y relaciones en tipos cerámicos con la región Huista, Chiapas y el Usumacinta (Figura 5.1). Propuestas sobre posibles migraciones, relaciones comerciales, políticas, y/o intercambios y adopción de formas culturales y poblacionales, son algunos de los puntos que es necesario lograr entender en el estudio de esta zona.

Descripción tipológica preliminar de la colección del sitio de Chaculá

La definición tipológica para el sitio de Chaculá ha sido realizada tipo por tipo, estableciéndose las variedades para cada uno de ellos, de acuerdo a las observaciones y características más relevantes de cada una de las categorías. Comparaciones regionales e interregionales han sido desarrolladas, aunque todavía preliminares, ya que queda pendiente examinar otras colecciones cerámicas, que podrían aportar nuevos datos y complementar las informaciones obtenidas. Se presentan a continuación la definición de los tipos y variedades identificadas en el estudio de esta temporada y son expuestos de acuerdo al conjunto del área en la que fueron establecidos e identificados.

	Chinkultic	Cuenca Superior Grijalva	Huehuetenango	Cancún
1500				
1400				
1300		Tan Posclásico Tardío	Huehue XII Complejo N	
1200				
1100	Tepancuapan	Nichim Postclásico Temprano	Huehue XI Complejo M	
900				
800				Chamán
700	Yobnajib	Mix Clásico Tardío	Huehue X Complejo L	Los Laureles
600				Concordia
500		Lek Clásico Medio		
400	Hiatus		Huehue IX Complejo K	
300		Kau Clásico Temprano		
200			Huehue VIII Complejo J	
100	Chanujabab Tardío		Huehue VI Complejo I	
0				
100				
200	Chanujabab Temprano		Huehue V Complejo G	
300				
400				
500			Huehue IV Complejo F	
600				
700			Huehue III Complejo E	
800			Huehue II Complejo D	

Cuadro 5.5 Cronología de sitios de Chiapas y Guatemala, modificado por García, a partir de Ball (1980), Bryant et al. (2005), Clark et al. (2001) y Forné et al. (2011)

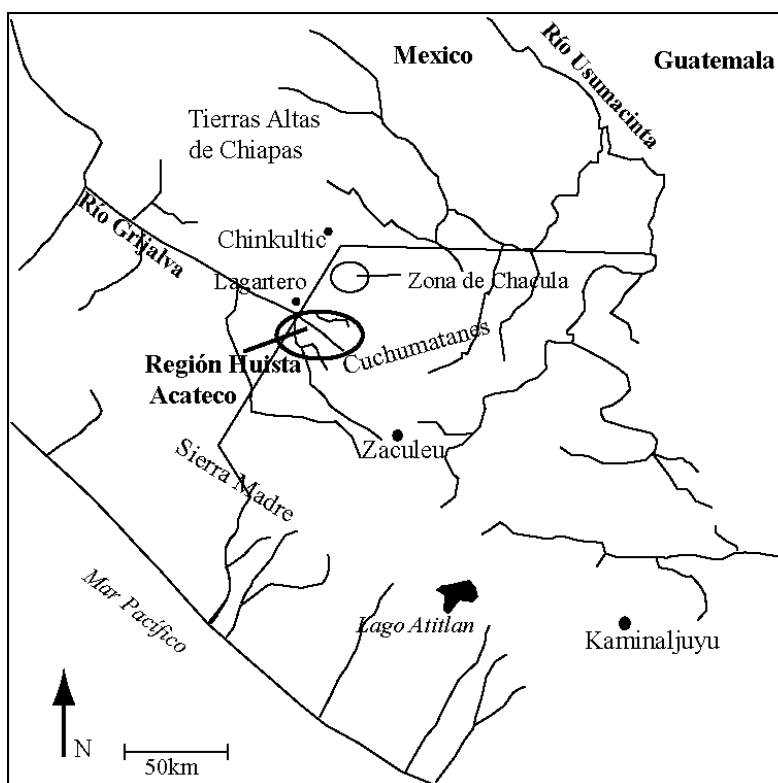


Figura 5.1 Mapa de las Tierras Altas Occidentales y Chiapas (Borgstede y Romero 2007)

Tipos de la Cuenca Superior del Grijalva

Tipo-Variiedad: *Pumus*

Grupo Cerámico: Pumus

Total de tiestos identificados: 5 en el Grupo A

Descripción:

Pasta de textura media, dura y compacta, color café amarillento, con des-grasante de caliza y cuarzo; superficie sin engobe con baño de color crema, generalmente con estrías de alisamiento, sin decoración.

Forma de cuenco de paredes divergentes y labio redondeado.



Figura 5.2 Ejemplares del tipo cerámico Pumus: V. Pumus, fotografía por P. Torres y dibujo por D. García

Tipo-Variedad: *Santa Cruz*

Grupo Cerámico: Santa Cruz

Total de tiosos identificados: 14 en el Grupo A

Descripción:

Pasta de textura media, color de beige a gris con desgrasante de caliza y cuarzo; superficies sin engobe con estrías de alisamiento. Forma de cántaro de borde evertido, labio plano, redondeado y reforzado en el exterior.

Observaciones:

Por sus características este tipo es similar con el grupo Cambio sin engobe de Tierras Bajas.



Figura 5.3 Ejemplares del tipo Santa Cruz: V. Santa Cruz, fotografía por P. Torres y dibujos por D. García

Tipo-Variiedad: *Santa Cruz Estriado***Grupo Cerámico:** Santa Cruz**Total de tiosos identificados:** 1 en el Grupo A**Descripción:**

Cuerpo de cántaro superficie exterior estriada. Pasta y superficie del tipo Santa Cruz.

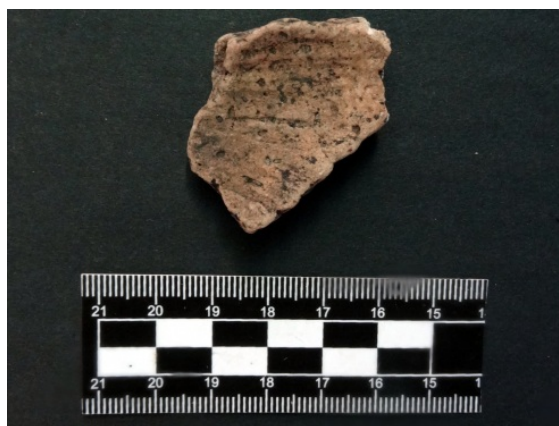


Figura 5.4 Ejemplar del tipo Santa Cruz: V. Estriado, fotografía por P. Torres

Tipo-Variiedad: *Cuatzi***Grupo Cerámico:** Cuatzi**Total de tiosos identificados:** 16 en el Grupo A y 1 en el Grupo B**Descripción:**

Pasta de textura media, color café rojizo y puede tener núcleo gris, desgrasantes de cuarzo, caliza y ferruginosos; superficies alisadas sin engobe del color de la pasta. Forma de cuenco de pared curvo convergente y labio redondeado, presenta una leve acanaladura en el exterior del borde por manufactura.

Observaciones:

Bryant et al. (2005) hacen referencia a la forma de comales y coladores característicos del clásico tardío y postclásico en las Tierras Altas de Guatemala, sin embargo esta forma no se identificó en la muestra analizada.



Figura 5.5 Ejemplares del tipo Cuatzi: V. Cuatzi, fotografía por P. Torres y dibujo por D. García

Tipo-Variedad: *Nutria*

Grupo Cerámico: Nutria

Total de tiosos identificados: 3 en el Grupo A

Descripción:

Pasta de textura media, color rojo/anaranjado, con desgrasantes de caliza, mica y ferruginosos; superficies alisadas sin engobe. En la presente muestra se identificó un fragmento de cuenco pequeño erosionado de pared recta divergente y borde redondeado, con una aplicación posiblemente de mango de incensario, típico de los incensarios de este tipo que pueden tener decoración de color blanco y azul, además de aplicaciones antro y/o zoomorfas (Bryant et al. 2005).



Figura 5.6 Ejemplares del tipo Nutria: V. Nutria, fotografía por P. Torres y dibujos por D. García

Mango de Incensario:

Este fragmento de mango fue encontrado en la Unidad TP-A-15 del Grupo A, frente a las estructuras 24 y 25, cuyas dimensiones y disposición las hace el conjunto arquitectónico principal de este grupo y en cuya planada se ubica una “Piedra Parada”. Es por ello que con el objetivo de determinar el posible uso y características de este tipo de piedras, se ubicó esta unidad de excavación enfrente a este rasgo, definiéndose parte de la plataforma A-60 y en la cual se encontró este artefacto que evidencia el uso de incensarios típicos del grupo Nutria, para posibles actividades rituales de tipo público.



Figura 5.7 Foto y dibujo del ejemplar de mango de incensario, fotografía por P. Torres y dibujo por D. García

Tipo-Variedad: *Chachalaca Rojo*

Grupo Cerámico: Chachalaca

Total de tiosos identificados: 113 en el Grupo A y 69 en el Grupo B

Descripción:

Pasta de textura media a gruesa de color rojo/anaranjado a café con desgrasantes de mica, caliza y ferruginosos, la superficie presenta engobe rojo anaranjado de fácil erosión, en la forma de cuenco únicamente en el interior y en la forma de cántaro en el exterior e interior del borde. La forma predominante en este tipo es el cuenco de pared divergente y/o borde evertido, labio redondeado, plano y reforzado en el exterior. En su forma de cántaro presentan cuello divergente o curvo divergente, borde evertido o directo de labio redondeado, puede presentar una acanaladura leve en el exterior.

Observaciones:

Este tipo es característico de los sitios clásico tardío de la cuenca del Grijalva con bastante parecido al tipo Tasajo Rojo. En Chinkultic se identifica como la

principal cerámica doméstica (Bryant et al. 2005).



Figura 5.8 Ejemplares del tipo Chachalaca Rojo: V. Chachalaca, fotografía por P. Torres y dibujos por D. García

Tipo-Variiedad: *Chachalaca estriado modelado*

Grupo Cerámico: Chachalaca

Total de tiosos identificados: 11 en el Grupo B: 11

Descripción:

Pasta y superficie del tipo Chachalaca Rojo: V. Chachalaca, esta variedad presenta cuerpos estriados con aplicaciones modeladas cuya identificación no es posible debido a la erosión. La muestra corresponde a cuerpos de posibles cuencos (ver formas Chachalaca rojo), base plana hacia pared divergente.



Figura 5.9 Ejemplares del tipo Chachalaca Rojo: V. Estriado y modelado, fotografía y dibujos por P. Torres

Tipo-Variiedad: *Chachalaca impreso*

Grupo Cerámico: Chachalaca

Total de tiosos identificados: 8 en el Grupo A y 1 en el Grupo B

Descripción:

Pasta y superficie de Chachalaca Rojo: V. Chachalaca, sus formas son de cuencos grandes con decoración impresa en el exterior del borde, de paredes divergentes labio redondeado y/o engrosado en el exterior; cuencos de pared curva convergente similar a la forma de los tecomates, de labio redondeado y filete impreso en el exterior del cuerpo.



Figura 5.10 Ejemplares del tipo Chachalaca Rojo: V. impreso, fotografías por P. Torres y dibujos por D. García

Tipo-Variiedad: *Chachalaca café negro*

Grupo Cerámico: Chachalaca

Total de tiosos identificados: 13 en el Grupo A y 4 en el Grupo B

Descripción:

Pasta de Chachalaca Rojo: V. Chachalaca, su superficie se caracteriza por engobe de color café negro rojizo sobre el interior posiblemente causado por la oxidación durante la cocción. Forma de cuenco (ver Chachalaca rojo).



Figura 5.11 Ejemplares del tipo Chachalaca Rojo. V. café negro, fotografía por P. Torres

Tipo-Variiedad: *Hamiltic Rojo*

Grupo Cerámico: Hamiltic

Total de tiestos identificados: 19 en el Grupo A y 7 en el Grupo B

Descripción:

Pasta de textura media porosa de color rojizo amarillento a café, desgrasantes visibles de caliza, cuarzo láminas de mica y gránulos ferruginosos. La superficie interior presenta un engobe naranja rojizo pulido, mientras el exterior es burdo del color de su pasta. La forma identificada es de cuencos de pared curva y recta divergente labio redondeado.

Observaciones:

La forma de platos es predominante en este tipo de cerámica doméstica, sin embargo no fue identificada en la muestra analizada, además de las variedades Sha rojo sin engobe y Kavas rojo, naranja/blanco en su forma de platos, que presentan decoración en el interior de líneas y bandas en blanco y naranja (Bryant et al. 2005).



Figura 5.12 Ejemplares del tipo Hamiltic Rojo: V. Hamiltic, fotografía por P. Torres y dibujo por D. García

Tipo-Variedad: *Tasajo Rojo*

Grupo Cerámico: Tasajo

Total de tiestos identificados: 115 en el Grupo A y 54 en el Grupo B

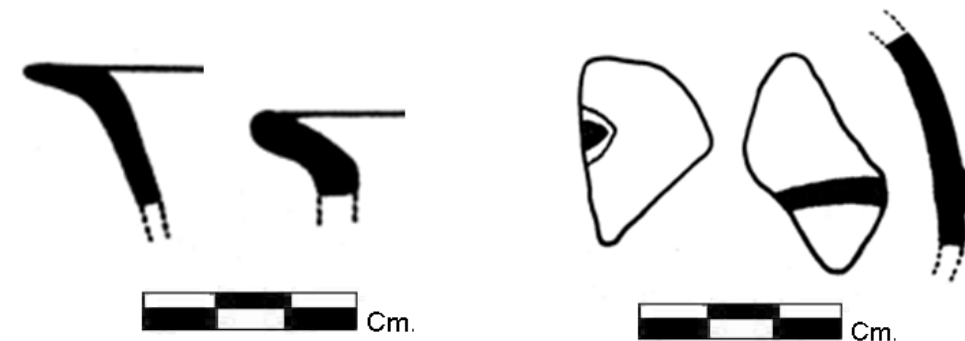
Descripción:

Pasta de textura fina a media, color rojo anaranjado amarillento, con desgrasantes de mica, cuarzo y ferruginosos, la superficie presenta engobe rojo pulido bastante erosionado en algunos casos, en la forma de cuenco puede presentar el exterior sin engobe. Las formas identificadas son de cuencos, platos y cántaros, los cántaros presentan bordes evertido y evertido plano con labio redondeado y adelgazado redondeado; algunos cuerpos presentan molduras y aplicaciones. Por otra parte los cuencos pueden tener paredes gruesas o delgadas, divergentes, labio redondeado y plano, una muestra presenta una aplicación no determinada debido a la erosión, los cuencos también pueden ser de pared recta convergente y labio redondeado adelgazado. Platos pequeños de pared curvo convergente y labio redondeado se presentan en esta forma.

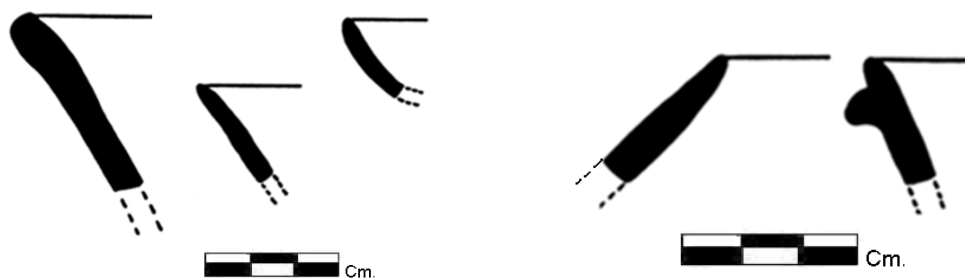
Observaciones:

El análisis de la pasta de este tipo permite distinguir los desgrasantes que varían de un sitio a otro, en este caso en Chinkultic con mayor cantidad de cuarzo en relación a los sitios de la Cuenca del Grijalva que presentan más cantidad de arena. Esto hace referencia a que esta cerámica fue producida en varios centros, es decir que no fue producida en un solo sitio (Bryant et al. 2005). Otras decoraciones son reportadas en Chinkultic para la fase Yobnajib (Ball 1980), en base a líneas y círculos en el borde de color blanco, siendo este sitio el primero en reportar este tipo cerámico, haciéndose mucho más común e

importante dentro de la cerámica doméstica al igual que el grupo Chachalaca para el Clásico Tardío Terminal, con algunas similitudes del tipo Tinaja Rojo y Camenac Rojo (Tipo de Salinas de los nueve Cerros), en tanto la variedad impresa es parecida al tipo Subo Rojo o Chaquiste Impreso.



Bordes y aplicaciones decorativas Forma A



Forma B y D

Perfiles y decoración de moldura Forma B

Figura 5.13 Ejemplares del tipo Tasajo Rojo: V. Tasajo, dibujos por D. García

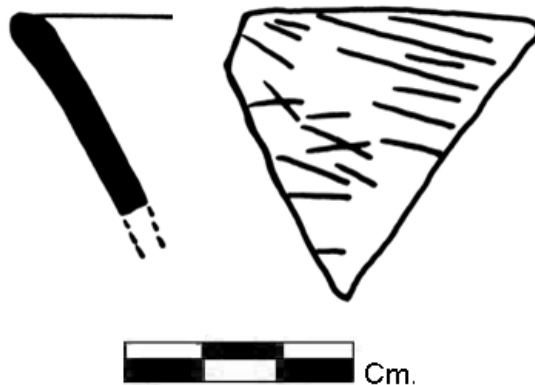
Tipo-Variiedad: *Tasajo Rojo Estriado*

Grupo Cerámico: Tasajo

Total de tiosos identificados: 1 en el Grupo B

Descripción:

Pasta y superficie de Tasajo Rojo: V. Tasajo. Forma de cuenco de pared divergente y labio redondeado, interior con engobe rojo erosionado y exterior sin engobe estriado.



Borde y cuerpo estriado forma B

Figura 5.14 Ejemplar del tipo Tasajo Rojo: V. Estriado, dibujos por D. García

Tipo-Variiedad: *Chat Rojo Inciso***Grupo Cerámico:** Chat**Total de tiestos identificados:** 3 en el Grupo A**Descripción:**

Pasta de textura fina a media, de color café rojizo, desgrasantes de caliza, ferruginosos y mica. Superficie sin engobe con algunas estrías de alisamiento, y láminas de mica visibles, Forma de cántaro, cuerpos con decoración incisa media.

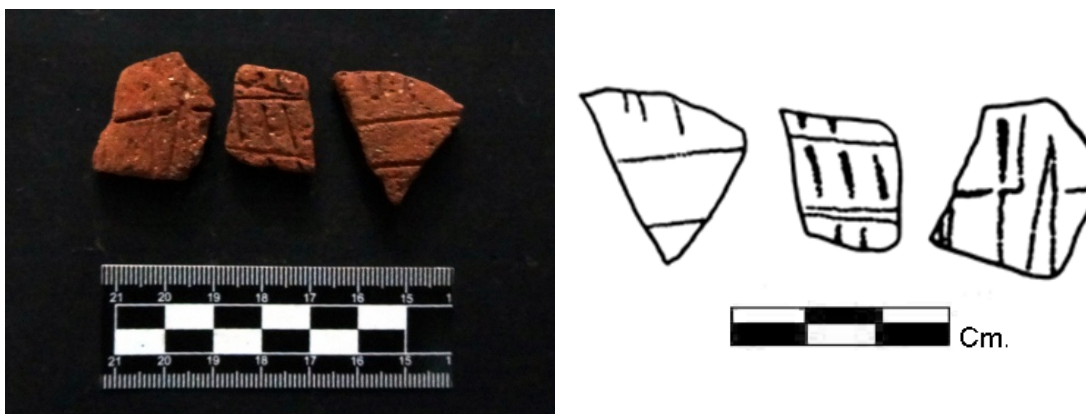


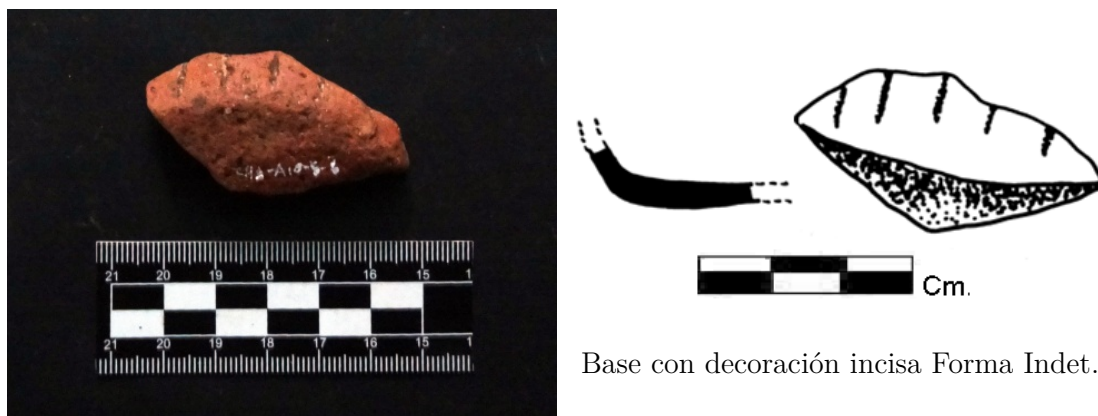
Figura 5.15 Ejemplares del tipo Chato Rojo Inciso: V. Chat, fotografía por P. Torres y dibujo por D. García

Tipo-Variiedad: *Mico Blanco Naranja Inciso***Grupo Cerámico:** Chat**Total de tiestos identificados:** 1 en el Grupo A**Descripción:**

Pasta de textura fina media compacta, color rojizo naranja, presenta una superficie con engobe anaranjado claro erosionado y líneas incisas con pintura blanca delgada. El fragmento identificado corresponde a una base de forma indeterminada.

Observaciones:

Este tipo fue reportado en el sitio Lagartero de la Cuenca del Grijalva donde la presencia de mica y biotita sugiere que su fabricación pudo ser en la región del Soconusco (Costa Pacífico de Chiapas), donde se ubica la fuente de estos minerales (Bryant et al. 2005).



Base con decoración incisa Forma Indet.

Figura 5.16 Ejemplar del tipo Mico Blanco Naranja Inciso: V. Mico, fotografía por P. Torres y dibujo por D. García

Tipo-Variiedad: *Chanal Modelado tallado***Grupo Cerámico:** Nichel**Total de tiestos identificados:** 2 en el Grupo A**Descripción:**

Pasta de textura fina, color beige amarillento con desgrasantes de mica y caliza. Superficie erosionada sin engobe. La muestra corresponde a un cuerpo decorado, que pudo ser parte de los típicos paneles modelados de este tipo que consisten en bandas de glifos, representaciones iconográficas y/o de personajes representados en el exterior de los vasos.

Observaciones:

Tipo presenta similitudes con el tipo Pabellón Modelado de Tierras Bajas.



Figura 5.17 Ejemplar del tipo Chanal Modelado Tallado: V. Chanal, fotografía por P. Torres y dibujo por D. García

Tipo-Variiedad: *Huelga Rojo y Negro*

Grupo Cerámico: Nichel

Total de tientos identificados: 1 en el Grupo A

Descripción:

Pasta de textura fina a media, color beige claro o amarillento con desgrasantes de mica, caliza y ferruginosos; la superficie exterior presenta engobe rojo alisado pulido en tanto el interior presenta un color rojo negro manchado. Forma de cuenco de pared recta borde levemente evertido y labio redondeado.



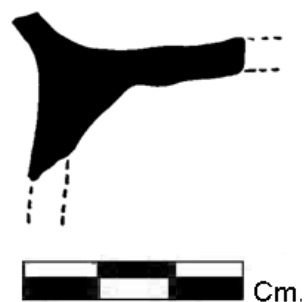
Figura 5.18 Ejemplar del tipo cerámico Huelga Rojo y Negro: V. Huelga, fotografías por P. Torres

Tipo-Variiedad: *Tang/Nichel***Grupo Cerámico:** Tang/Nichel**Total de tiestos identificados:** 14 en el Grupo A**Descripción:**

Pasta de textura media porosa, color anaranjado amarillento, con desgrasantes visibles de mica, caliza y ferruginosos; superficie engobe de color rojo pulido y suave al tacto en su mayoría erosionado. Dentro de la muestra se encuentra un fragmento de soporte erosionado que pudo corresponder a la forma típica de platos con soportes cónicos y huecos de este grupo cerámico, además de cuerpos con engobe exterior e interiores burdos posiblemente de algún cántaro.

Observaciones:

En este tipo se reportan platos sin engobe en el exterior, con decoración policroma en líneas y diseños de pintura negra en el interior sobre un engobe rojo pulido. Otras formas como los cántaros presentan engobe exterior (Bryant et al. 2005). Tang/Nichel Policroma parece una imitación de colores y diseños de la cerámica policroma del Clásico de las Tierras Bajas Mayas especialmente del grupo Saxché Palmar.



Fragmento soporte erosionado.

Figura 5.19 Ejemplares del tipo Tang/Nichel, fotografía por P. Torres y dibujo por D. García**Tipo-Variiedad:** *Batzi Rojo Especular sobre ante***Grupo Cerámico:** Batzi**Total de tiestos identificados:** 2 en el Grupo B**Descripción:**

Pasta de textura media algo porosa, color beige amarillento a café con desgrasantes de caliza, cuarzo y ferruginosos. Superficie exterior alisada con leve pulimiento de rojo especular sobre ante. La muestra corresponde a dos cuerpos

sin tratamiento en el interior, por lo que pudieron ser de un cántaro, forma reportada para esta variedad.

Observaciones:

Este tipo cerámico es muy similar al tipo reportado para el área de Alta Verapaz por Arnauld (1986) denominado Chipilín Rojo: V. Chipilín, solamente que a nivel cronológico pertenece al clásico temprano dentro de la esfera Cobán 1.

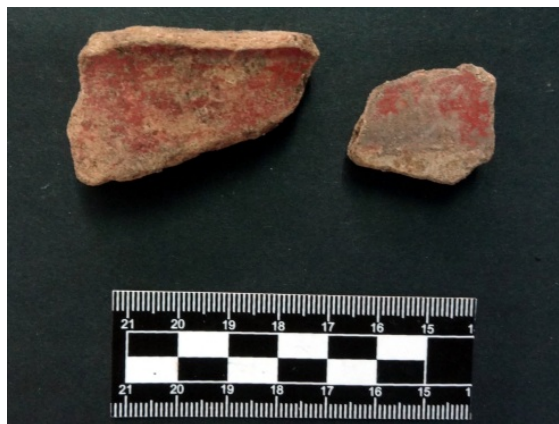


Figura 5.20 Ejemplares del tipo Batzi rojo especular sobre ante: V. Batzi, fotografía por P. Torres

Tipo-Variedad: *Musaraña rojo y anaranjado*

Grupo Cerámico: Musaraña

Total de tientos identificados: 9 en el Grupo A

Descripción:

Pasta de textura media, color rojo café, similar a la pasta del grupo Chachalaca, con desgrasantes de caliza y cuarzo. La superficie exterior presenta un alisado levemente pulido con engobe de color naranja que se aplicó de forma irregular en algunas áreas.

La forma identificada es de cántaro de borde divergente y labio redondeado, además de algunos cuerpos y fragmentos de asas tubulares planas de banda sobre el cuerpo.

Observaciones:

Este tipo se caracteriza por su base naranja sobre el cual se aplicaron diseños pintados en rojo especular en líneas y círculos. Las formas principales reportadas son cántaros y platos (Bryant et al. 2005).



Figura 5.21 Ejemplares del tipo Musaraña Rojo y Anaranjado: V. Musaraña, fotografía por P. Torres

Tipo-Variedad: *Danta café*

Grupo Cerámico: Danta

Total de tiosos identificados: 4 en el Grupo A y 1 en el Grupo B

Descripción:

Pasta de textura media bien compacta, color café rojizo con desgrasantes de caliza y ferruginosos. La superficie exterior es alisada con engobe rojizo a café, levemente pulido que aún se puede observar a pesar de la erosión con algunas manchas de color negro visibles. La muestra corresponde a cuerpos de cántaros de forma no determinada.

Observaciones:

Cántaros reportados de este tipo presentan decoración incisa y de filete.



Figura 5.22 Ejemplares del tipo Danta Café: V. Danta, fotografía por P. Torres

Tipo-Variedad: Yol**Grupo Cerámico:** Tasajo**Total de tientos identificados:** 1 en el Grupo A**Descripción:**

Pasta de textura fina a media, similar a la del grupo Tasajo Rojo, desgrasantes de mica y cuarzo. Superficie interior y exterior con engobe rojo pulido suave al tacto. El único ejemplar identificado corresponde a un cuerpo con una acanaladura horizontal en el interior.

Observaciones:

Formas ya reportadas son de cuencos o platos.



Figura 5.23 Ejemplar del tipo Yol: V. Yol, fotografía por P. Torres

Tipo-Variedad: Patal Blanco**Grupo Cerámico:** Patal**Total de tientos identificados:** 19 en el Grupo A y 1 en el Grupo B**Descripción:**

Pasta de textura media a gruesa porosa y arenosa, color rojizo que puede tener núcleo gris a negro, con desgrasantes de caliza, cuarzo, otros; la superficie exterior es alisada con engobe blanco a rosado grueso que se desprende por la erosión. La forma identificada es de cántaro de borde divergente y labio engrosado en el exterior.

Observaciones:

Tipo se encuentra ampliamente distribuido durante todo el Clásico Tardío en la Cuenca Superior del Grijalva. A fines del Clásico Tardío destaca como cerámica doméstica siendo un marcador de este período y parece haber desaparecido para el Posclásico (Bryant et al. 2005).



Figura 5.24 Ejemplares del tipo Patal Blanco: V. Patal, fotografía por P. Torres y dibujo por D. García

Tipo-Variiedad: *Chascal Impreso*

Grupo Cerámico: Chascal

Total de tiestos identificados: 1 en el Grupo A

Descripción:

Pasta de textura media, color café beige, con desgrasantes de mica y caliza; la superficie interna y externa presenta un alisado mate sin engobe debido a la erosión. La muestra corresponde a un único borde con decoración aplicada e impresa en el exterior del labio que consiste en una banda con filetes impresos. Forma de cuenco de pared recta divergente y labio redondeado.

Observaciones:

Reportado como filete impreso compuesto B no determinado en Chinkultic (Ball 1980).



Figura 5.25 Ejemplar del tipo Chascal Impreso: V. Chascal, fotografía por P. Torres y dibujo por D. García

Tipo-Variiedad: Sasben negro café gubiado

Grupo Cerámico: Sasben

Total de tiestos identificados: 1 en el Grupo B

Descripción:

Pasta de textura fina compacta algo porosa de color gris a beige con desgrasantes de mica, caliza y ferruginosos; la superficie interna y externa presenta un engobe café negro erosionado. Forma de plato de pared divergente y labio redondeado con la decoración típica de este tipo consistente en bandas de diseños geométricos ubicados un centímetro abajo del labio.

Observaciones:

De Ojo de Agua y Lagartero de la cuenca Grijalva presentan tiestos con estuco pintado.



Figura 5.26 Ejemplar del tipo Sasbén Negro Café Gubiado: V. Sasbén, fotografía por P. Torres y dibujos por D. García

Tipo-Variiedad: *Tartaleta Compuesto***Grupo Cerámico:** Tasajo**Total de tiestos identificados:** 4 en el Grupo A y 7 en el Grupo B**Descripción:**

Pasta de textura media a gruesa compacta de color rojizo a café beige y puede presentar núcleo gris oscuro; la superficie exterior presenta un alisado sin engobe que puede ser mate hasta bruñido al igual que el interior, con variación de color desde amarillo rojizo, café beige, hasta gris. Se caracteriza por las aplicaciones modeladas, en la muestra únicamente se encontraron fragmentos de cuerpos.

Observaciones:

Tipo Tartaleta fue identificado en Chinkultic, caracterizándose por las aplicaciones modeladas, decoraciones incisas, pintadas y de efigie, que muestran la forma de cilindros con tapadera al estilo de los conocidos incensarios tubulares de Palenque, en Chiapas. Estos incensarios son reportados durante la fase Murciélagos (690–770 d.C.), principios del Clásico Tardío para Chinkultic, por lo cual posiblemente fue Palenque quién influenció en este sitio debido a las similitudes de estos (Ball 1980), siendo así una tradición de incensarios aplicados modelados de la región tanto de las Tierras Altas como del noroeste de Chiapas.

Las formas pueden ser diversas, sin embargo en la muestra no pudieron ser definidas, por la falta de bordes. A pesar de ello aplicaciones modeladas y pastillaje están presentes en distintas regiones (Laporte 2008; Ichon 1992; Arnauld 1986), identificando como principales formas los cilindros seguido de cuencos y otros, con representaciones antropomorfas. Es importante notar la mayor presencia de estos ejemplares de incensarios asociados a áreas ceremoniales durante el Clásico Tardío–Terminal, y de igual forma los contextos en los cuales fueron encontrados la mayoría de ejemplares de este estudio corresponde a las unidades relacionadas con las denominadas “Piedras Paradas”, tanto en el Grupo A como en el B.



Figura 5.27 Ejemplares del tipo Tartaleta Compuesto: V. Tartaleta, fotografía por P. Torres y dibujo por D. García

Tipo-Variiedad: *Las Rosas Blanco*

Grupo Cerámico: Las Rosas

Total de tiestos identificados: 1 en el Grupo A

Descripción:

Pasta de textura fina a media porosa, de color rojizo a beige, con núcleo gris con desgrasantes de caliza y mica. Superficie externa e interna presentan un engobe blanco a crema delgado mate. La muestra es de un cuerpo sin forma determinada.

Observaciones:

Formas reportadas son de platos y cuencos.



Figura 5.28 Ejemplar del tipo Las Rosas Blanco, fotografía por P. Torres

Tipo-Variedad: *Plomizo***Grupo Cerámico:** Plomizo**Total de tiosos identificados:** 2 en el Grupo A**Descripción:**

Pasta de textura fina compacta a porosa, color anaranjado rojizo con desgrasante de mica y ferruginosos; superficies alisadas de ambos lados con engobe anaranjado grisáceo con leve pulimento y bastante erosionados. Cuerpos de forma no determinada.

Observaciones:

Tipo es identificado en la región del Grijalva (Ball 1980; Bryant et al. 2005) durante el Posclásico, sin embargo debido a la presencia de material Clásico Tardío–Terminal, es posible que el Plomizo de esta zona se desarrollara durante este periodo al igual que en las Tierras Altas de Guatemala, aunque asegurarlo es prematuro debido al número de la muestra.



Figura 5.29 Ejemplar del tipo Plomizo, fotografía por P. Torres

Resultados generales de la Cuenca Superior del Grijalva

Los resultados generales en torno al material analizado pusieron de manifiesto varios tipos principales dentro de este conjunto, en donde prevalecieron los tipos Tasajo Rojo:V. Tasajo y Chachalaca Rojo: V. Chachalaca. A nivel de totales por grupo (Figura 5.30) no parece extraño que prevalezcan la mayoría de tipos en el Grupo A, ya que fue en donde se realizaron la mayor cantidad de excavaciones, sin embargo el dato que llama la atención es la alta frecuencia del tipo Tartaleta Compuesto en el Grupo B, indicando con esto la función del grupo hacia fines de carácter más ritual y/o ceremonial.

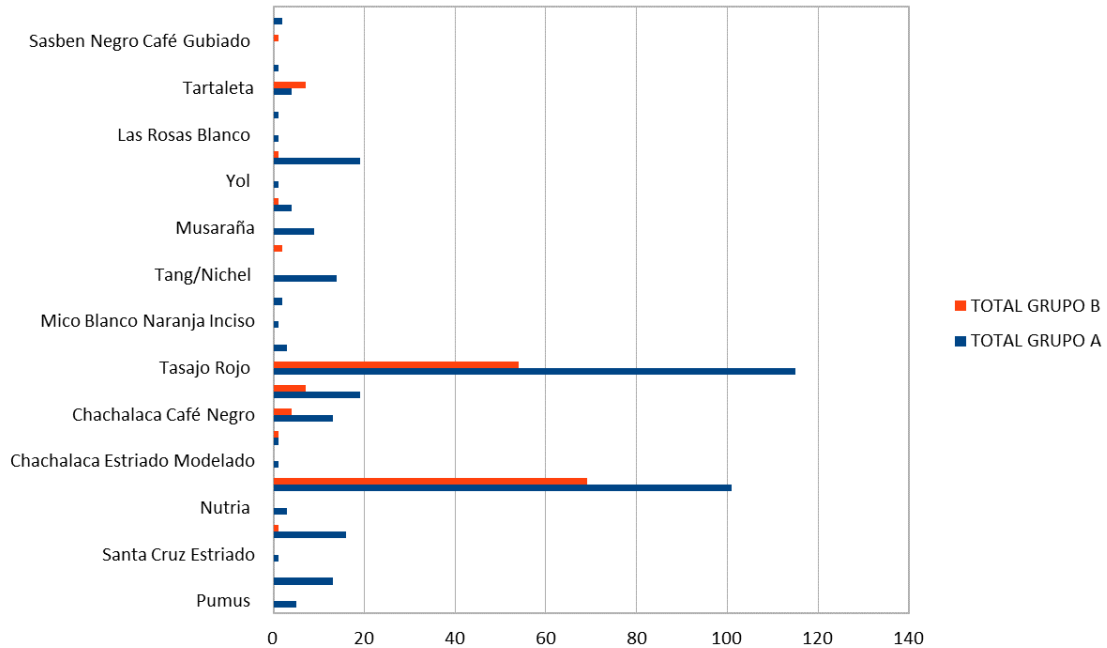


Figura 5.30 Frecuencia de tipos de la región del Grijalva en Grupo A y B, elaborada por D. García

Tipos de las Tierras Bajas

Tipo-Variiedad: Máquina Café

Grupo Cerámico: Máquina

Total de tiosos identificados: 20 en el Grupo A y 6 en el Grupo B

Descripción:

Pasta de textura media, color café rojizo a beige claro con desgrasantes de caliza y cuarzo; superficie interior y exterior alisada con engobe café negro que se desprende por la erosión. Forma de plato de pared recta divergente y labio redondeado; forma de cuenco de pared recta divergente y labio redondeado.



Figura 5.31 Ejemplares del tipo Máquina Café: V. Máquina, fotografía por P. Torres y dibujos por P. Torres

Tipo-Variedad: *Calandria Estriado*

Grupo Cerámico: Máquina

Total de tiosos identificados: 1 en el Grupo A

Descripción:

Cuerpo con engobe café negro, decoración estriada, se observan algunas partículas de mica. La muestra corresponde a un cuerpo de posiblemente de cántaro. (Ver pasta y superficie del grupo Máquina).



Figura 5.32 Ejemplar del tipo Calandria Estriado: V. Calandria, fotografía por P. Torres

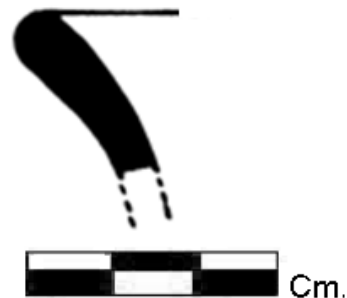
Tipo-Variedad: *Infierno Negro*

Grupo Cerámico: Infierno

Total de tiosos identificados: 2 en el Grupo A y 1 en el Grupo B

Descripción:

Pasta de textura fina color café beige a rojizo, con desgrasante de mica y caliza; superficies con engobe negro pulido erosionado. Forma de cuenco de borde curvo divergente y labio redondeado.



Forma B

Figura 5.33 Ejemplares del tipo Infierno Negro: V. Infierno, fotografía por P. Torres y dibujo por D. García

Tipo-Variedad: *Cambio Sin Engobe*

Grupo Cerámico: Cambio

Total de tientos identificados: 18 en el Grupo A y 24 en el Grupo B

Descripción:

Pasta de textura media a gruesa porosa, desgrasantes de mica, cuarzo y ferruginosos. La muestra corresponde a cuerpos de cántaros alisados sin engobe.



Figura 5.34 Ejemplares del tipo Cambio Sin Engobe: V. Cambio, fotografía por P. Torres

Tipo-Variiedad: *Encanto Estriado***Grupo Cerámico:** Cambio**Total de tientos identificados:** 19 en el Grupo A**Descripción:**

Pasta de textura media a gruesa porosa, de color grisáceo, desgrasantes de caliza y cuarzo; superficies alisadas sin engobe, el exterior presenta decoración estriada. La forma corresponde a los típicos cántaros de este tipo.



Figura 5.35 Ejemplares del tipo Encanto Estriado: V. Encanto, fotografía por P. Torres y dibujo por D. García

Tipo-Variiedad: *Negro Pasta Cambio (categoría)***Grupo Cerámico:** Cambio**Total de tientos identificados:** 1 en el Grupo B**Descripción:**

Pasta del grupo Cambio. Superficie interior alisada sin engobe, exterior mate de color negro erosionado. Cuerpo de posible cántaro.



Figura 5.36 Ejemplar del tipo Negro Pasta Cambio, fotografía por P. Torres

Tipo-Variiedad: *Chaquiste Impreso*

Grupo Cerámico: Chaquiste

Total de tiosos identificados: 1 en el Grupo B

Descripción:

Pasta de textura media porosa, color anaranjado rojizo, desgrasantes de cuarzo, caliza y ferruginosos; superficies alisadas con engobe rojizo anaranjado levemente pulido. Forma de cuenco de pared curva convergente, labio redondeado; presenta decoración de una incisión fina en el exterior del borde y aplicación impresa en el cuerpo.

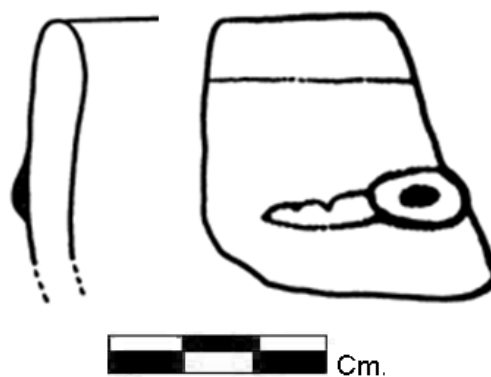


Figura 5.37 Ejemplar del tipo Chaquiste Impreso: V. Chaquiste, fotografía por P. Torres y dibujo por D. García

Tipo-Variiedad: *Zacatal Crema Polícromo***Grupo Cerámico:** *Zacatal***Total de tiosos identificados:** 1 en el Grupo A**Descripción:**

Pasta de textura fina, color beige, con desgrasantes de mica y caliza; superficies alisadas con engobe anaranjado levemente pulido sobre el cual se observa decoración de color rojizo, aunque las muestras presentan bastante erosión. La forma es de un plato de pared divergente y labio redondeado.



Figura 5.38 Ejemplar del tipo Zacatal Crema Polícromo: V. Zacatal, fotografía por P. Torres y dibujo por D. García

Tipo-Variiedad: *Azote***Grupo Cerámico:** *Azote***Total de tiosos identificados:** 5 en el Grupo A**Descripción:**

Pasta de textura media porosa, color beige/café claro a gris, con desgrasantes de mica, caliza y ferruginosos; a pesar de la erosión aún se observa el engobe anaranjado oscuro pulido, en cuerpos de forma indeterminada.



Figura 5.39 Ejemplares del tipo Azote Naranja: V. Azote, fotografía por P. Torres

Tipo-Variiedad: *Naranja Pulido Tierras Bajas (categoría)*

Grupo Cerámico: Indeterminado

Total de tiosos identificados: 7 en el Grupo A

Descripción:

Pasta de textura fina, compacta y dura, color beige a anaranjado, con desgrasantes de mica y caliza; superficies alisadas con engobe naranja pulido ceroso al tacto, visible en algunas áreas debido a la impregnación de caliza en las muestras. En cuanto a la forma se identificó un borde de cuenco de pared curva convergente y labio redondeado, además de bases, plana hacia pared curva y plana hacia pared recta.



Figura 5.40 Ejemplares de la categoría Naranja Pulido Tierras Bajas, fotografía y dibujos por P. Torres

Tipo-Variiedad: *Tinaja Rojo***Grupo Cerámico:** Tinaja**Total de tientos identificados:** 69 en el Grupo A y 4 en el Grupo B**Descripción:**

Pasta de textura fina a media porosa, color anaranjado rojizo a beige, con desgrasantes de mica, caliza y ferruginosos; superficies alisadas con engobe rojo anaranjado pulido que se erosiona con facilidad. Forma de cuenco de pared curva convergente, labio redondeado y base plana. Plato de pared curva convergente y pared divergente de labio redondeado. Cántaro de borde divergente y labio engrosado en el exterior.

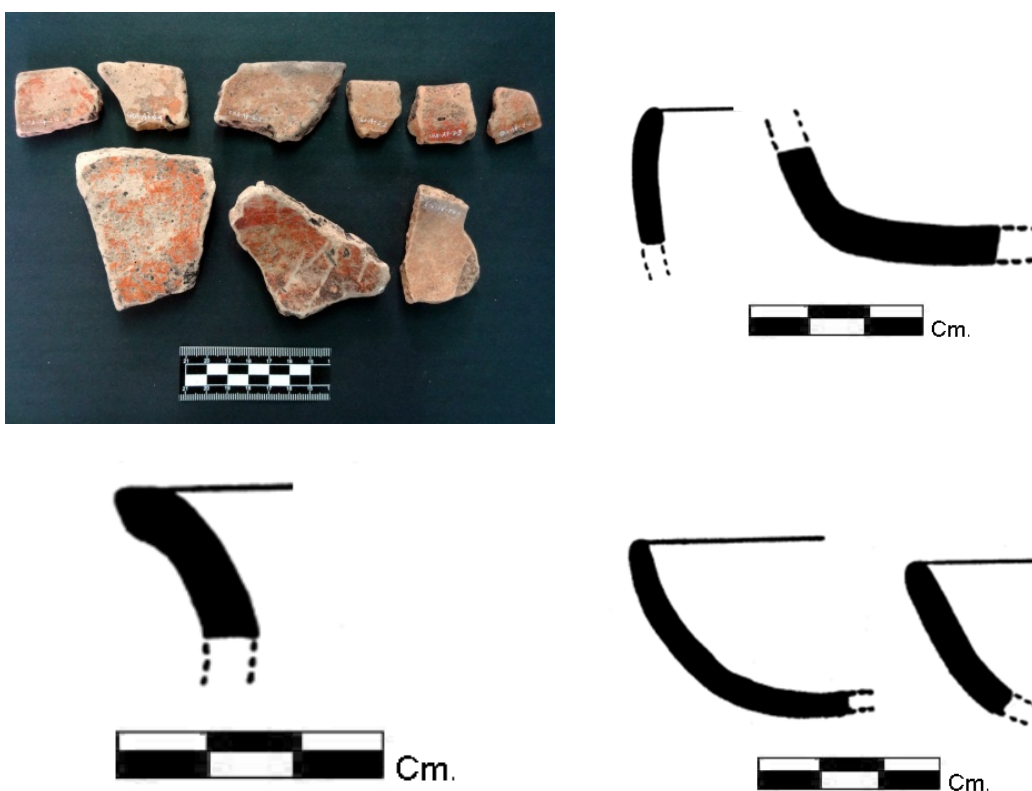


Figura 5.41 Ejemplares del tipo Tinaja Rojo: V. Tinaja, fotografía por P. Torres y dibujo por D. García y P. Torres

Tipo-Variiedad: *Saxché Palmar***Grupo Cerámico:** Saxché**Total de tientos identificados:** 36 en el Grupo A y 1 en el Grupo B**Descripción:**

Pasta de textura fina color beige claro a naranja con desgrasante de mica y caliza; superficies alisadas con engobe naranja pulido en una muestra se observan bandas horizontales de pintura roja, debido a la erosión no es posible ver más características de la decoración policroma de este tipo. Dentro de las formas se identificaron cuencos de pared divergente y labio redondeado; cuenco de pared curvo convergente y labio redondeado; cuenco de pared recta divergente adelgazada terminando en el labio redondeado. Plato de pared recta divergente y labio redondeado.

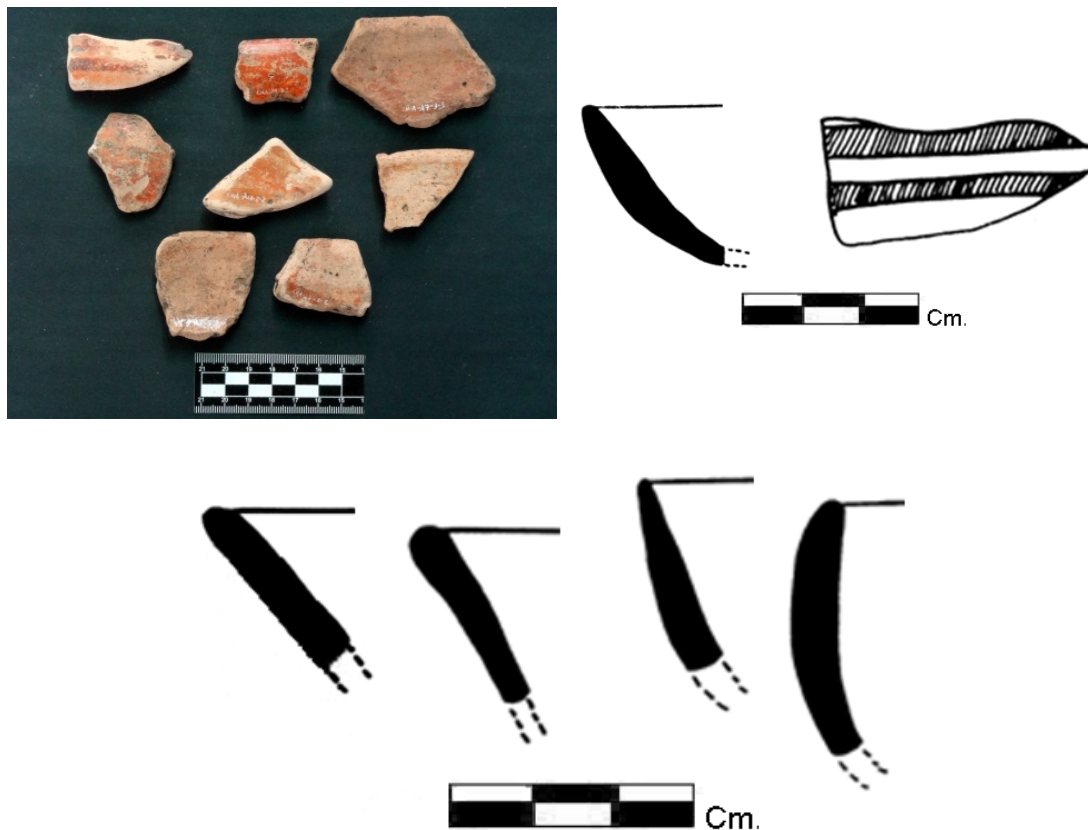


Figura 5.42 Ejemplares del grupo Saxché-Palmar, fotografía por P. Torres y dibujo por D. García

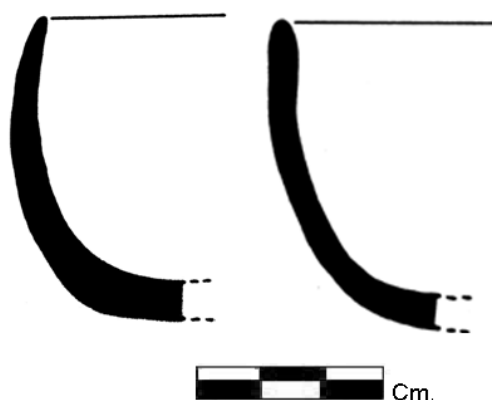
Ofrenda de vasijas:

Dos vasijas de este tipo fueron encontradas de forma invertida al pie de la escalinata de la Estructura 21 del Grupo A, (unidad TP-A-8), asociadas a fragmentos óseos no determinados.



Vasija No. 2

Vasija No. 1



Perfiles Vasija 1 y 2

Figura 5.43 Foto y perfil de las vasijas encontradas en ofrenda, fotografía por P. Torres y dibujo por D. García

Resultados generales de la cerámica de Tierras Bajas

Dentro del conjunto de las Tierras Bajas predominan los grupos Saxché Palmar y Cambio Sin Engobe, con los mayores porcentajes para ambos grupos (Figura 5.44). El tipo Encanto Estriado: V. Encanto y Máquina Café: V. Máquina también presentan un porcentaje elevado, pero solamente en el Grupo A. En general, los tipos de filiación hacia las Tierras Bajas necesitan un estudio con más detalle y de ser posible con análisis de activación de neutrones que permitan establecer relaciones entre algunos tipos muy parecidos descritos dentro de la tipología de la Cuenca del Grijalva y que puedan proceder de la misma área.

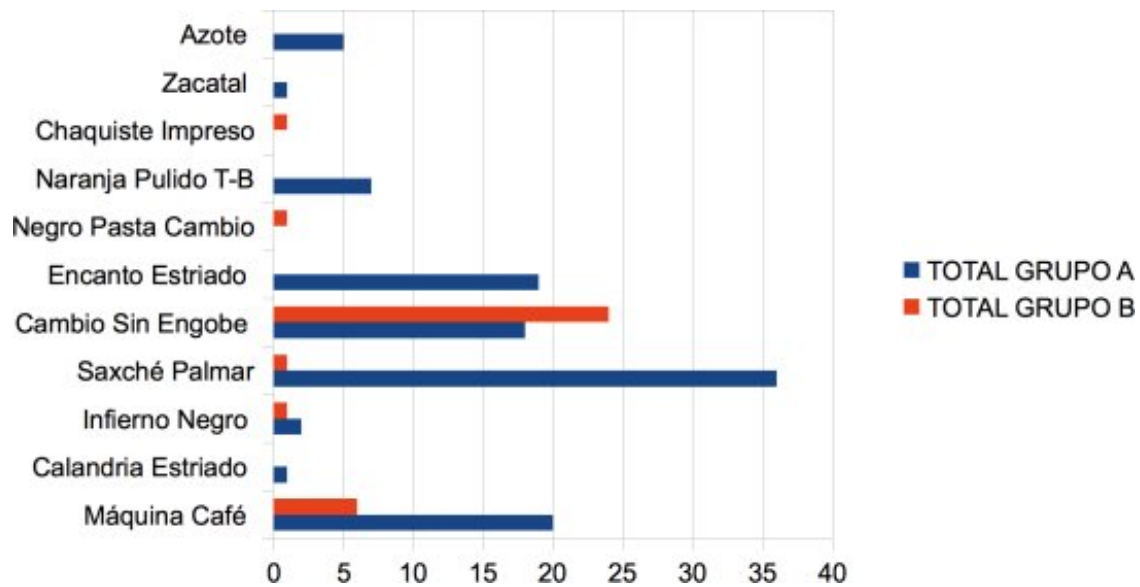


Figura 5.44 Frecuencia de tipos de Tierras Bajas en Grupo A y B, elaborado por D. García

Tipos de las Tierras Altas

Tipo-Variiedad: *Café Negro*

Grupo Cerámico: Café Negro

Total de tiosos identificados: 1 en el Grupo A

Descripción:

Pasta de textura media compacta, color café rojizo, con desgrasantes de mica, caliza y ferruginosos; superficies alisadas con engobe café negro mate que se erosiona con facilidad. Forma indeterminada.

Observaciones:

Este tipo cerámico es comparado con el tipo establecido por Arnauld (1986) para la región de Alta Verapaz llamado Chichicaste Café Negro: V. Chichicaste.



Figura 5.45 Ejemplar del tipo Café Negro: V. Café, fotografía por P. Torres

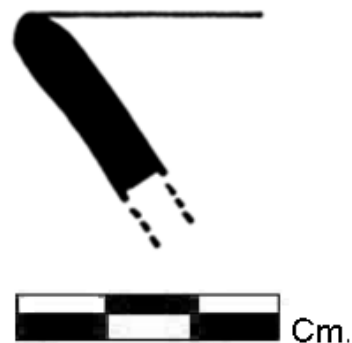
Tipo-Variiedad: *Micáceo (categoría)*

Grupo Cerámico: Indeterminado

Total de tiestos identificados: 6 en el Grupo A y 1 en el Grupo B

Descripción:

Pasta de textura media arenosa, color café anaranjado con desgrasantes de mica, caliza y ferruginosos; superficies alisadas mate del color de la pasta con abundante mica. La forma identificada es de un cuenco de pared divergente y labio redondeado, además de algunos cuerpos de forma indeterminada.



Forma B

Figura 5.46 Ejemplares de la categoría Micáceo, fotografía por P. Torres y dibujo por D. García

Tipo-Variiedad: *Crema Micáceo Impreso (categoría)*

Grupo Cerámico: Indeterminado

Total de tiestos identificados: 3 en el Grupo A

Descripción:

Pasta de textura media compacta y porosa, color beige anaranjado con desgrasante de mica y caliza; superficies con alisado mate color crema micáceo. Forma de cuenco de pared recta divergente y labio engrosado en el exterior sobre el cual se observa una banda de decoración impresa.

Observaciones:

Tipos micáceos son ampliamente reportados en las Tierras Altas de Guatemala desde el Clásico Tardío–Terminal así como la decoración impresa (Ichon 1992).

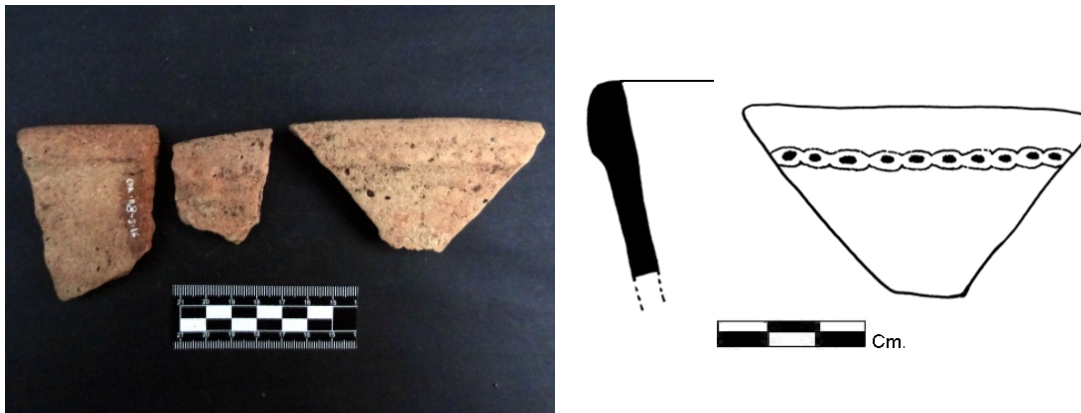


Figura 5.47 Ejemplares de la categoría Crema Micáceo Impreso, fotografía por P. Torres y dibujo por D. García

Tipo-Variiedad: *Mostaza rojo sobre natural*

Grupo Cerámico: Mostaza

Total de tiestos identificados: 42 en el Grupo A y 31 en el Grupo B

Descripción:

Pasta de textura media, su color va de anaranjado a beige y gris, desgrasantes de mica, cuarzo, ferruginosos; superficie con engobe rojo sobre ante. Forma de cántaro de cuerpo curvo convergente, borde directo, labio redondeado, borde divergente y evertido plano de labio redondeado.

Observaciones:

Tipo identificado por Arnauld (1986), Complejo Cobán.



Figura 5.48 Ejemplares del tipo Mostaza rojo sobre natural: V. Mostaza, fotografía por P. Torres y dibujo por D. García

Resultados generales de la cerámica de Tierras Altas

Son pocos los tipos que se lograron identificar para el conjunto de Tierras Altas, sin embargo el tipo Mostaza rojo sobre natural: V. Mostaza es uno de los que se encuentra más frecuente tanto dentro del Grupo A como en el Grupo B (Figura 5.49), por lo que estudios de pastas podrían verificar si se trata de una producción local imitando este tipo cerámico de la región de Alta Verapaz o son importados directamente del área, lo cual podría inferir ciertas relaciones posiblemente comerciales.

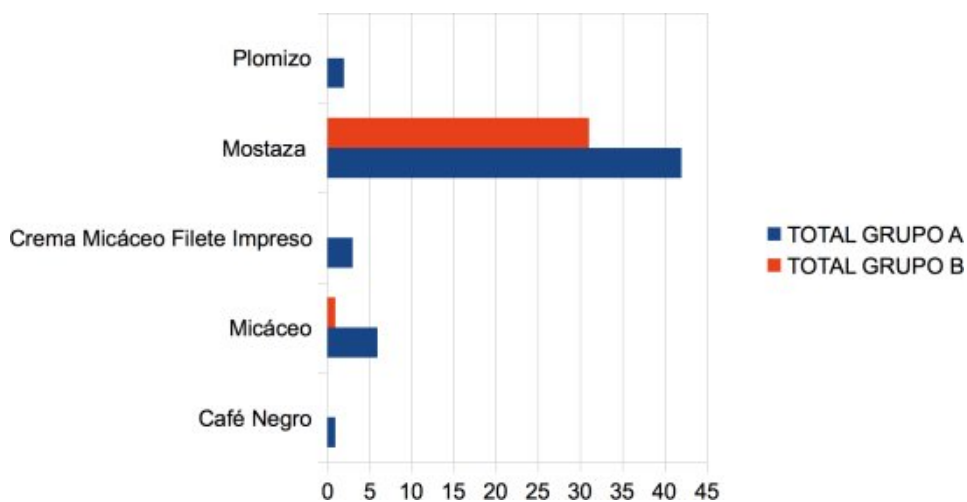


Figura 5.49 Frecuencia de tipos de Tierras Altas Grupo A y B, elaborado por D. García

Tipos de la Costa Sur

Tipo-Variedad: Tiquisate

Grupo Cerámico: Tiquisate

Total de tiosos identificados: 1 en el Grupo A

Descripción:

Pasta de textura fina compacta, color anaranjado rojizo con desgrasante de arena, mica, cuarzo y ferruginosos; superficies alisadas mate con engobe anaranjado erosionado. Cuerpo de forma indeterminada.



Figura 5.50 Ejemplar del tipo Tiquisate: V. Tiquisate, fotografía por P. Torres

Categorías de “No Identificados”

Los grupos que a continuación se presentan corresponden a una pequeña proporción de la colección del sitio, compuesta por una serie de tipos preliminares y que aún faltan por definir debido en algunos casos por la poca homogeneidad de los ejemplares entre sí, aunque comparten ciertos criterios generales. Asimismo existen muestras que no permiten establecer con certeza su pertenencia a algún tipo específico. Se espera que en un análisis futuro se puedan corroborar y aumentar la muestra de cada grupo para lograr establecer si la mayoría es parte de producción local o si evidencian algún evento específico como inmigraciones, intercambio comercial, etc.

Tipo-Variedad: “Rojo Acanalado”

Descripción:

Pasta de textura fina, color café beige con desgrasantes de mica y ferruginosos; superficies alisadas de color café claro, en un cuerpo se observa líneas horizontales de color rojo sobre la decoración acanalada de forma indeterminada. Otra

muestra corresponde a un plato de pared divergente y labio redondeado con una acanaladura en el exterior del borde.

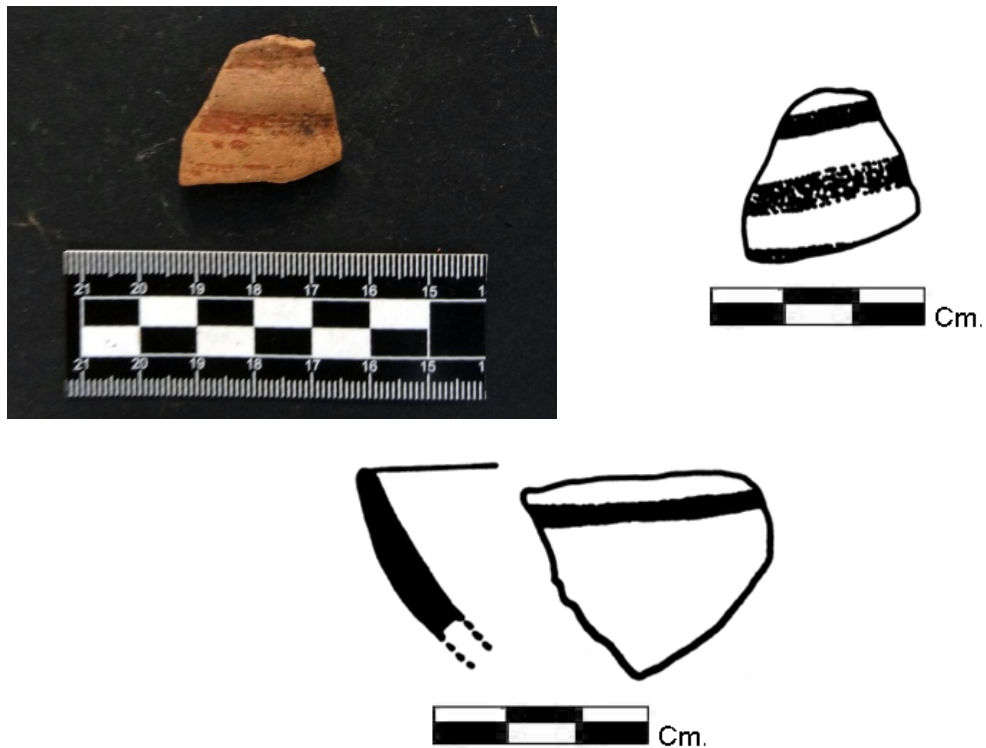


Figura 5.51 Ejemplares del grupo Rojo Acanalado, fotografía por P. Torres y dibujos por D. García

Tipo-Variedad: *“Rojo Micáceo”*

Descripción:

Pasta de textura fina porosa, color anaranjado rojizo a beige, con desgrasante de mica y caliza; superficies alisadas con engobe rojizo anaranjado micáceo levemente pulido al tacto que se erosiona con facilidad. Forma no determinada.



Figura 5.52 Ejemplares de Rojo Micáceo, fotografía por P. Torres

Tipo-Variiedad: *“Rojo Fino”*

Descripción:

Pasta de textura fina a media compacta y porosa, color café beige, con desgrasante de caliza, cuarzo y ferruginosos; superficies alisadas con engobe rojo levemente pulido que se erosiona con facilidad. Forma de cuenco de pared divergente y labio redondeado. Platos de pared divergente y curva convergente de labio redondeado y un soporte de botón.

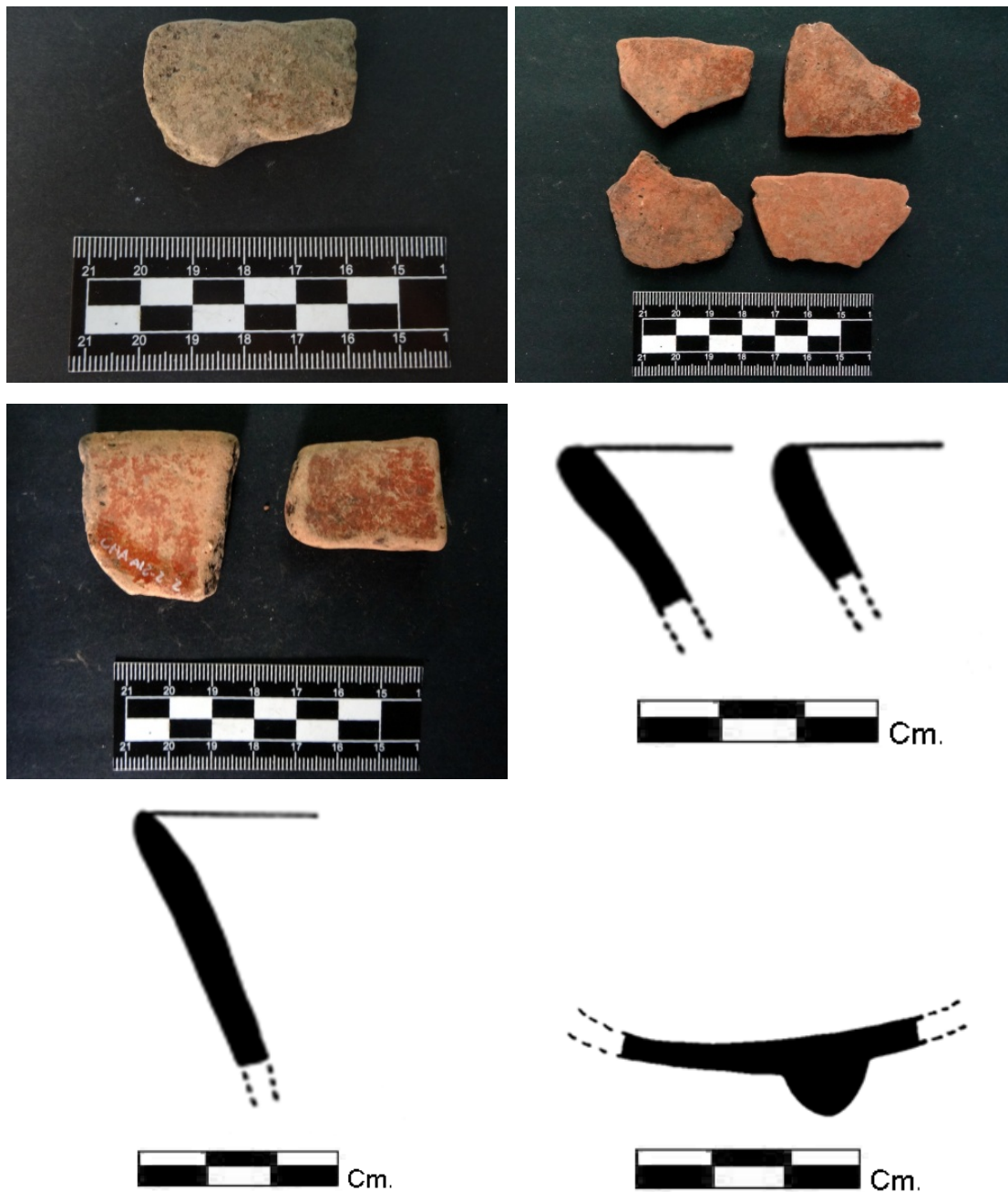


Figura 5.53 Ejemplares del grupo Rojo Fino, fotografía y dibujos por P. Torres

Tipo-Variación: “Engobe Rojo”

Descripción:

Pasta de textura media dura y compacta, color rojizo café, con desgrasantes de mica, caliza y ferruginosos; las superficies presentan engobe rojo levemente pulido, algunas veces únicamente en el exterior, por lo general se conserva

bien. Forma de cuenco de pared curva convergente y labio plano, pared recta divergente y labio redondeado. Cántaro de cuello divergente y labio redondeado; borde evertido y evertido plano de labio redondeado.

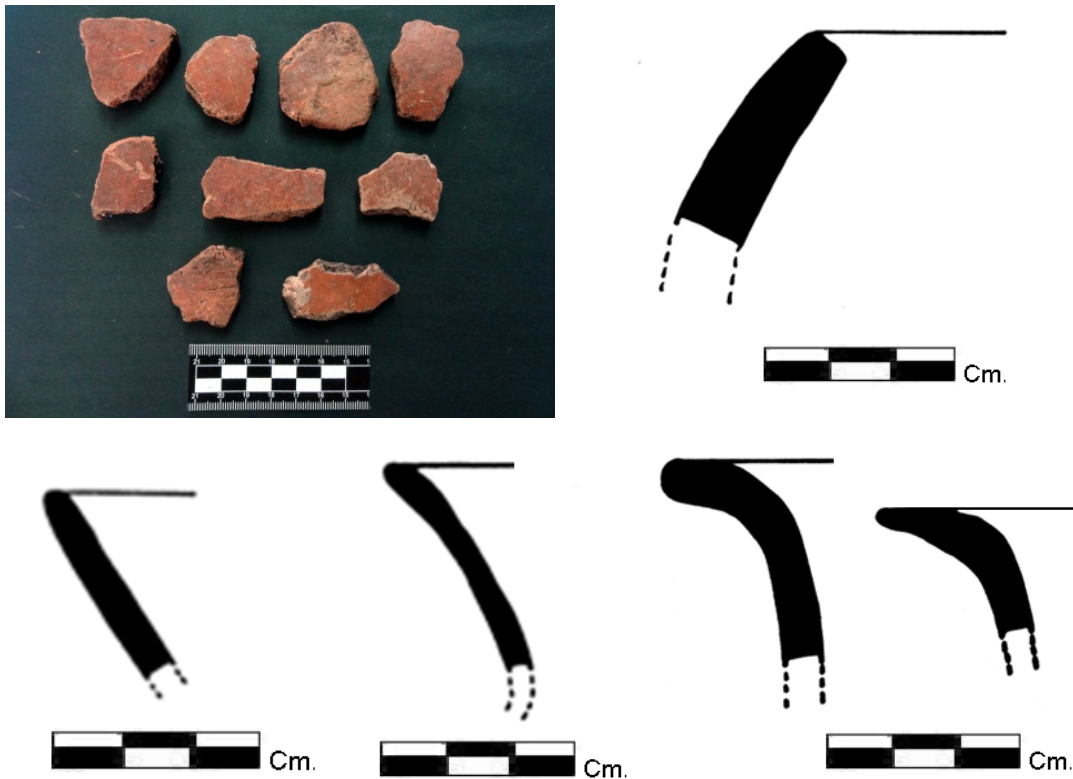


Figura 5.54 Ejemplares del grupo Engobe Rojo, fotografía y dibujos por P. Torres

Tipo-Variedad: "Rojo Café"

Descripción:

Pasta de textura media compacta, de color rojizo café con desgrasante de mica, caliza y ferruginosos; superficie exterior con engobe rojizo café levemente pulido que se erosiona con facilidad, el interior presenta un alisado sin engobe del color de la pasta. La muestra corresponde a cuerpos de cántaro no determinado.



Figura 5.55 Ejemplares del grupo Rojo Café, fotografía por P. Torres

Tipo-Variiedad: *“Anaranjado sobre Crema”*

Descripción:

Pasta de textura media a fina arenosa de color anaranjado a beige, con desgrasantes de mica, caliza y ferruginosos; superficies alisadas con engobe naranja rojizo sobre crema levemente pulido que se erosiona con facilidad. Forma de cuenco de pared divergente y labio redondeado; forma de plato de pared divergente, labio redondeado y agudo.

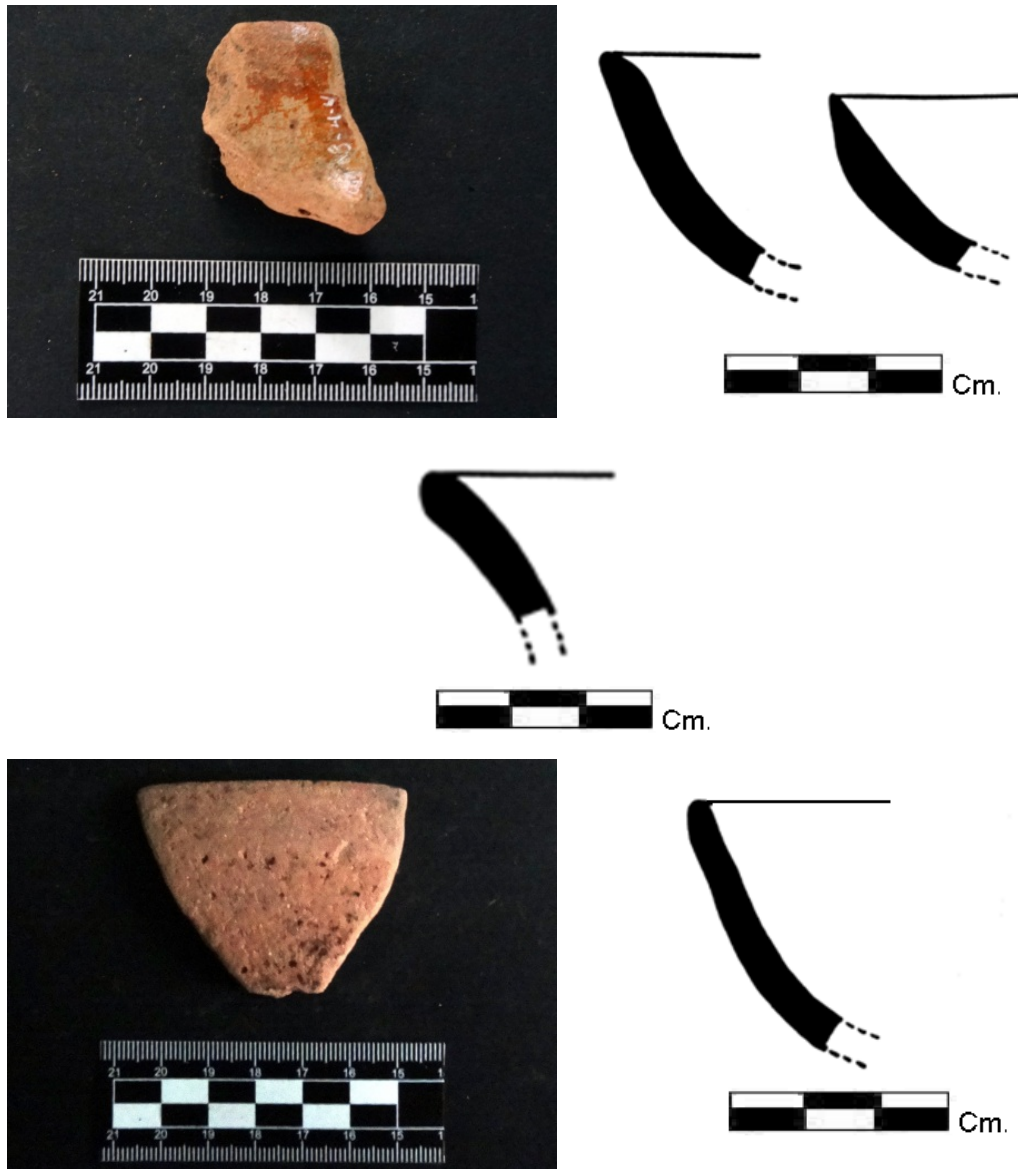


Figura 5.56 Ejemplares del grupo Anaranjado sobre crema, fotografía por P. Torres y dibujos por D. García

Tipo-Variación: "Crema"

Descripción:

Pasta de textura fina arenosa, color beige a anaranjado claro con desgrasantes de caliza y cuarzo; superficies con alisado mate crema que se erosiona fácilmente. Forma de cuenco de pared recta divergente, labio redondeado.



Figura 5.57 Ejemplares del grupo Crema, fotografía y dibujos por P. Torres

Tipo-Variación: "Crema Inciso"

Descripción:

Pasta de textura fina compacta de color beige con núcleo gris y desgrasante de mica y caliza; superficie exterior alisada mate con restos de baño crema visible en incisiones finas inclinadas. Forma no determinada.



Figura 5.58 Ejemplares del grupo Crema Inciso, fotografía por P. Torres y dibujo por D. García

Tipo-Variación: "Policromos erosionados"

Descripción:

Pasta de textura fina porosa a media color anaranjado beige que puede tener núcleo gris; superficies alisadas con leve pulimento que se erosionan con facilidad, de color rojizo a anaranjado sobre el cual se observan líneas horizontales de color negro. Forma de vaso de pared divergente y labio redondeado. Fragmento

de soporte indeterminado.



Figura 5.59 Ejemplares del grupo Polícromos Erosionados, fotografías por P. Torres y dibujo por D. García

Tipo-Variiedad: “Dicromo Negro Rojo/anaranjado”**Descripción:**

Pasta de textura media a fina porosa, color anaranjado rojizo con desgrasante abundantes de caliza y algunas partículas de mica; superficies alisadas con leve pulimento y ceroso al tacto, el interior de color negro y el exterior de color rojizo anaranjado.

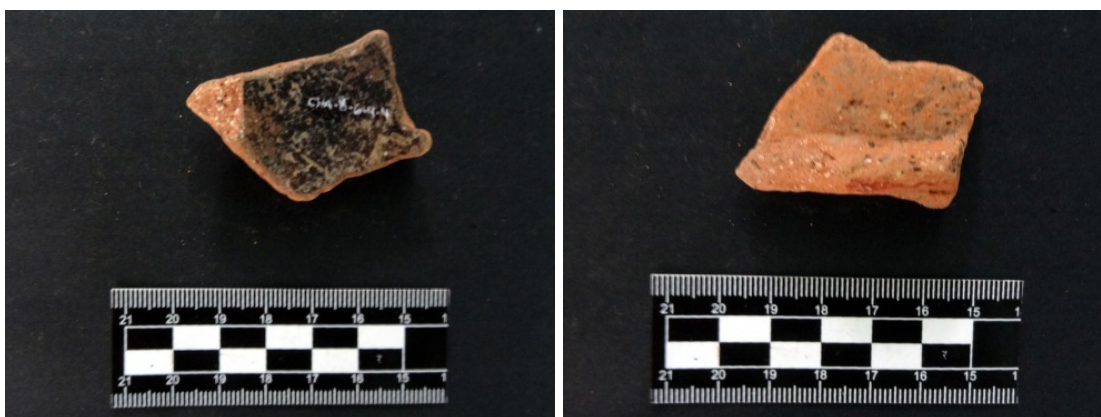


Figura 5.60 Ejemplares del grupo Dicromo Negro Rojo/Anaranjado, fotografías por P. Torres

Tipo-Variiedad: “Bícromo”**Descripción:**

Pasta de textura media compacta y dura, color anaranjado rojizo con desgrasante de caliza, mica y ferruginosos; superficies con alisado mate del color de la pasta, el interior del labio presenta una banda de color rojo. Forma de plato de pared divergente y labio redondeado.



Figura 5.61 Ejemplar del grupo Bícromo, fotografías por P. Torres

Tipo-Variiedad: “Bícromo Acanalado”**Descripción:**

Pasta de textura fina, color café anaranjado con núcleo gris porosa, desgrasante de caliza y algunos ferruginosos; superficies con leve pulimento y engobe que se erosiona con facilidad, el interior es rojo café y el exterior es negro café con acanaladuras verticales. La muestra corresponde a cuerpos de posible vaso.



Figura 5.62 Ejemplar del grupo Bícromo Acanalado, fotografía por P. Torres y dibujos por D. García

Tipo-Variiedad: “Bícromo Inciso-Acanalado”**Descripción:**

Pasta de textura fina, color café rojizo algo porosa con desgrasante de caliza y algunas partículas ferruginosas; superficies con leve pulimento y engobe que se erosiona con facilidad, el interior es de color café rojizo y el exterior negro con una incisión fina de 0.01 m de ancho abajo del labio y dos acanaladuras verticales en el cuerpo. La forma es de un vaso de pared divergente y labio redondeado.

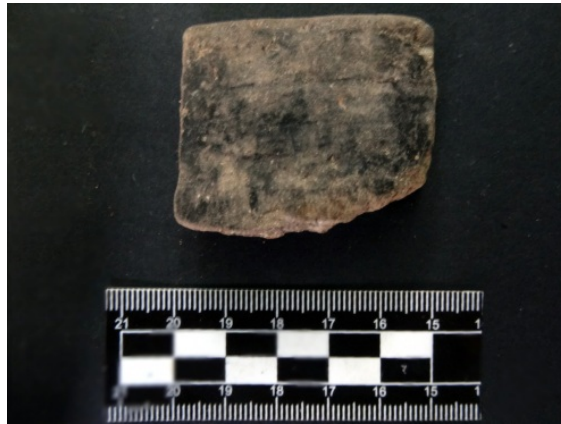


Figura 5.63 Ejemplar del grupo Bícromo Inciso Acanalado, fotografía por P. Torres

Tipo-Variación: *“Café No identificado”*

Descripción:

Pasta de textura fina a media compacta, color anaranjado café rojizo con desgrasante de mica, caliza y ferruginosos; superficies alisadas con engobe café claro de acabado mate. Forma de plato de pared divergente y labio redondeado; cuenco pared curvo divergente y labio plano; cántaro borde evertido, labio redondeado y asa plana de banda en el cuerpo.

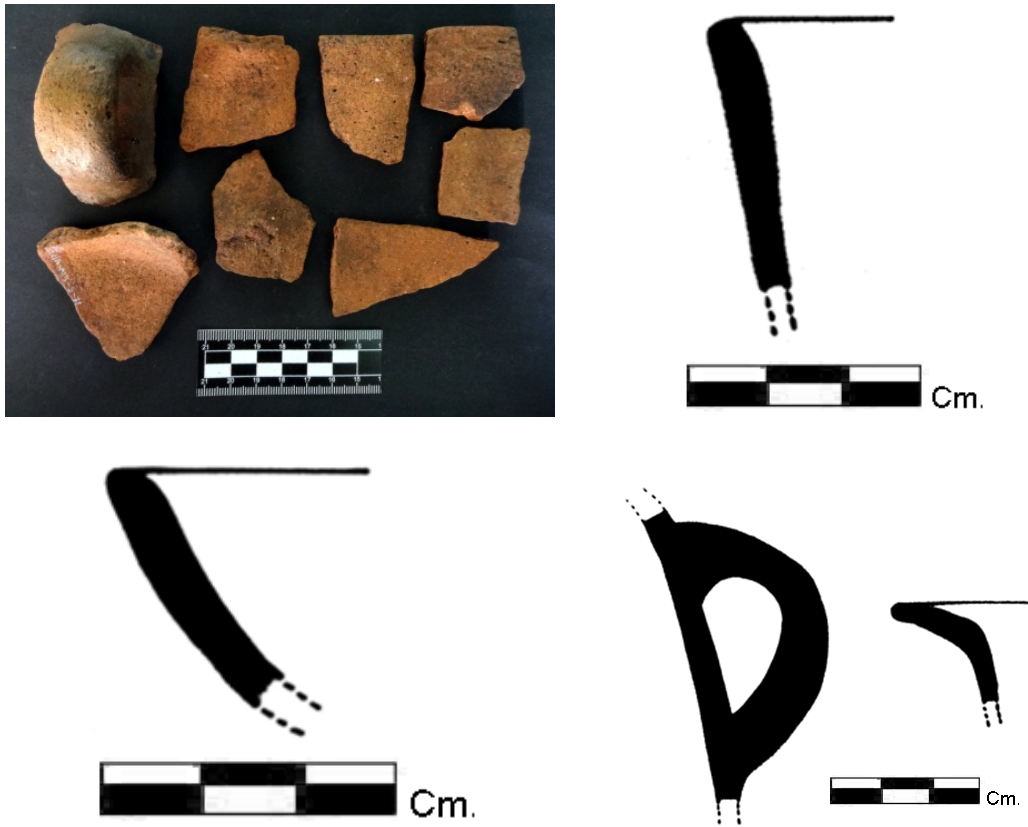


Figura 5.64 Ejemplares del grupo Café No Identificado, fotografía por P. Torres y dibujos por D. García

Tipo-Variedad: *"Gris Mate"*

Descripción:

Pasta de textura fina arenosa, color café rojizo con desgrasante de caliza y otros; superficies alisadas con engobe gris mate que se erosiona con facilidad.



Figura 5.65 Ejemplar del grupo Gris Mate, fotografía por P. Torres

Tipo-Variiedad: “Gris Inciso”

Descripción:

Pasta de textura media, color gris a blanco con desgrasantes de caliza y algunas partículas ferruginosas; superficies alisadas sin engobe del mismo color de la pasta. Borde curvo divergente de labio redondeado con una incisión en el interior del borde, posiblemente de cántaro.

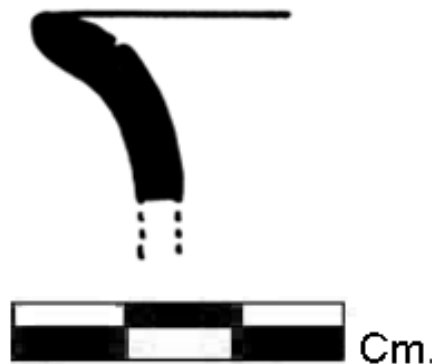


Figura 5.66 Ejemplares del grupo Gris Inciso, fotografía por P. Torres y dibujo por D. García

Tipo-Variiedad: “Pasta Blanca Grisácea”

Descripción:

Pasta de textura media porosa, de color blanco con núcleo gris y desgrasante de mica y caliza; superficies sin engobe alisadas color blanco a grisáceo, en el exterior presenta estrías verticales. Forma de cántaro de borde evertido y labio engrosado en el exterior y reforzado en el interior.



Figura 5.67 Ejemplar del grupo Pasta Blanca Grisácea, dibujos por D. García

Grupo de Misceláneos

Se clasificaron fragmentos de cerámica misceláneos de acuerdo a sus formas particulares y diferentes que responden a su función. A continuación se presenta la descripción de cada una de ellas.

Tapaderas

Descripción:

Pasta del grupo Chachalaca, superficies alisadas sin engobe de color rojizo-anaranjado a grisáceo, algunas presentan nubes de color negro posiblemente rasgo de su uso. La forma es de tapaderas de incensarios, solidas incisas de bordes engrosados de ambos lados o bien solo en el exterior, pueden presentar aplicaciones de discos, banda modelada de pequeñas espigas o bien lisas.

Observaciones:

Laporte (2008) reporta en su clasificación de incensarios en las Tierras Bajas del sur la presencia de este tipo de tapaderas de incensarios con mayor frecuencia durante el Clásico Terminal, observando el diseño de sus formas. Sin embargo su producción local es evidente dentro del grupo Chachalaca con fuerte presencia de sus variedades en cerámica doméstica (Chachalaca Rojo) y ceremonial (Nutria).



Figura 5.68 Ejemplares de Tapaderas dentro de la colección, fotografía y dibujos por P. Torres

Malacate

Descripción:

Pasta del grupo Chachalaca, superficie erosionada sin engobe del color de su pasta. La muestra corresponde a la mitad de un malacate de forma cónica (según clasificación de Cossich Vielman 2009), encontrada en contexto de basurero (Estructuras A-40, A-41).

Observaciones:

Los malacates han sido encontrados e investigados en toda la región Mesoamericana, su definición como contrapeso no solo de barro sino también de otros materiales como piedra, caracol u otros que adherido a una varilla eran utili-

zados para hilar. El término proviene del nahuatl “malacatl” retorcer y caña (Cossich Vielman 2009), teniendo su posible origen en el Preclásico Medio.

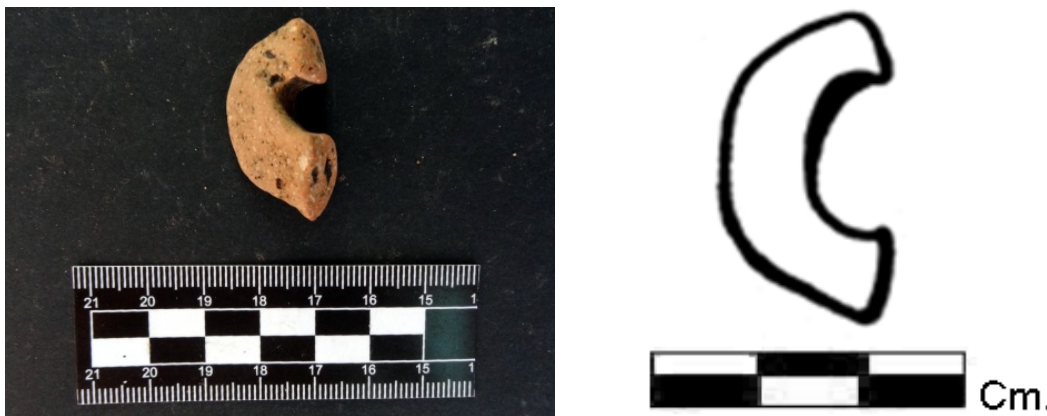


Figura 5.69 Ejemplar de Malacate de la colección del sitio, fotografía y dibujos por P. Torres

Tiestos Reutilizados

Descripción:

Los fragmentos de cerámica reutilizada corresponde a distintos tipos: Hamiltic, Anaranjado Pulido, Tasaño Rojo y Cambio sin engobe (de derecha a izquierda); sus superficies bastante desgastadas posiblemente por su uso además de la erosión. Su forma es circular bastante irregular, únicamente un ejemplar presenta una concavidad en su centro. Parte de la muestra proviene del contexto del basurero (Estructuras A-41, A-42).

Observaciones:

Entender la naturaleza de los tiestos reutilizados supone entender el proceso de desecho y reutilización o reciclaje de los materiales (McKee 1995), por ejemplo muchos de los tiestos reutilizados pudieron ser empleados como base para que el giro del malacate sea más fácil (Cossich Vielman 2009).



Figura 5.70 Ejemplares de tiestos reutilizados encontrados en las excavaciones, fotografía por P. Torres y dibujo por D. García

Figurillas

Algunos fragmentos de figurillas fueron recuperados en la unidad TP-B-7 nivel 2, lote 2, en el barro café oscuro con piedras. Consisten en dos con formas indeterminadas, un fragmento modelado que posiblemente sea parte de un aditamento y un tocado cónico modelado; sus superficies son alisadas y el color la pasta es anaranjado rojizo fina.

Una figurilla más completa fue recuperada en la operación TP-A-12 nivel 2 lote 2, Estructura A-34 en contexto de relleno de la plataforma. Aunque erosionada esta figurilla muestra rasgos zoomorfos, posiblemente de un ave no identificada, su pasta es fina de color beige, sin engobe u otro tratamiento.

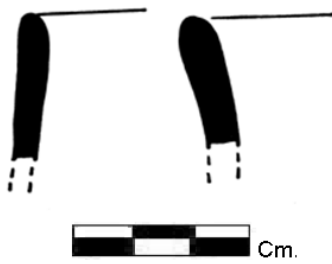


Figura 5.71 Ejemplares de Figurillas encontradas en excavaciones, fotografías por P. Torres y dibujos por D. García

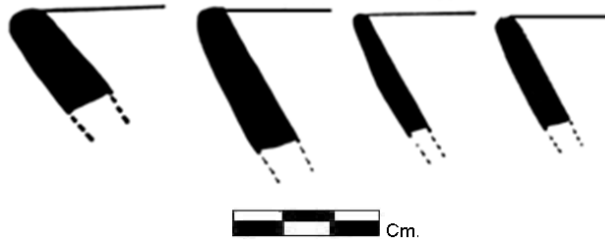
Bordes Indeterminados y cuerpos erosionados

Dentro del material recuperado se separaron un total de 916 fragmentos erosionados, que consisten en bordes indeterminados y cuerpos estriados e incisos, cuya definición de sus tipos no es posible, sin embargo se presentan a continuación las formas y tipos de bordes y labios que puedan ayudar a definir los modos de formas y decoraciones del sitio arqueológico Chaculá, para un análisis más detallado.

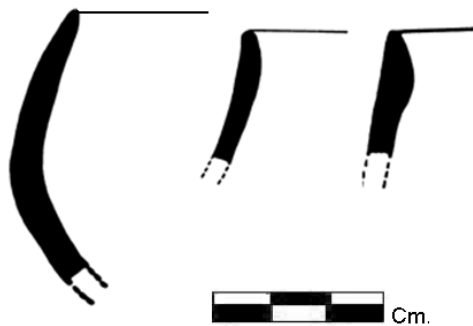
Modos forma B (Cuenco)



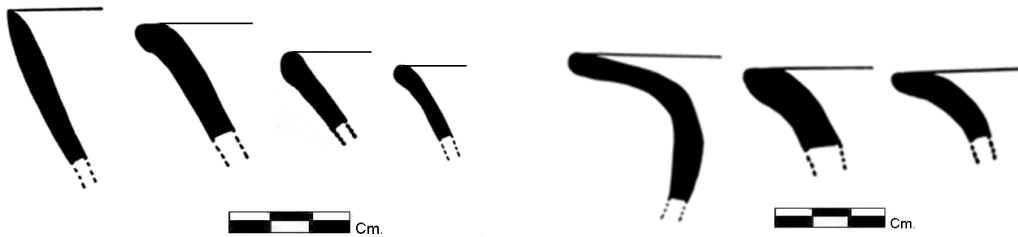
Pared convergente y divergente, labio redondeado.



Pared recto divergente, labio redondeado.



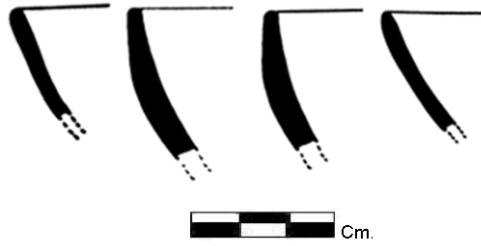
Pared curva y recta convergente, labio redondeado y biselado interior.



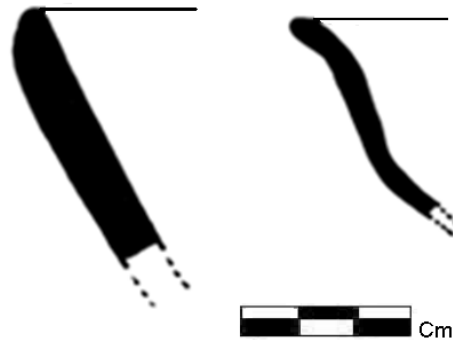
Pared divergente, labio agudo, engrosado en el exterior y redondeado.

Figura 5.72 Formas de Bordes Indeterminados (erosionados), dibujos por D. García

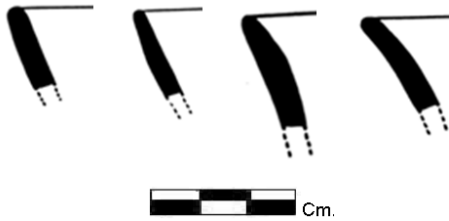
Modos Forma D (Plato)



Pared curva divergente, labio redondeado.



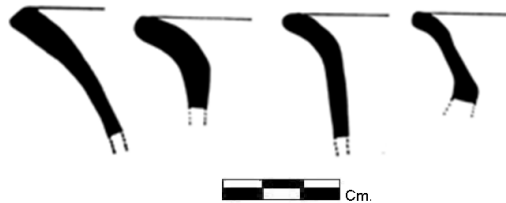
Pared divergente, labio biselado exterior. Silueta compuesta, labio redondeado.



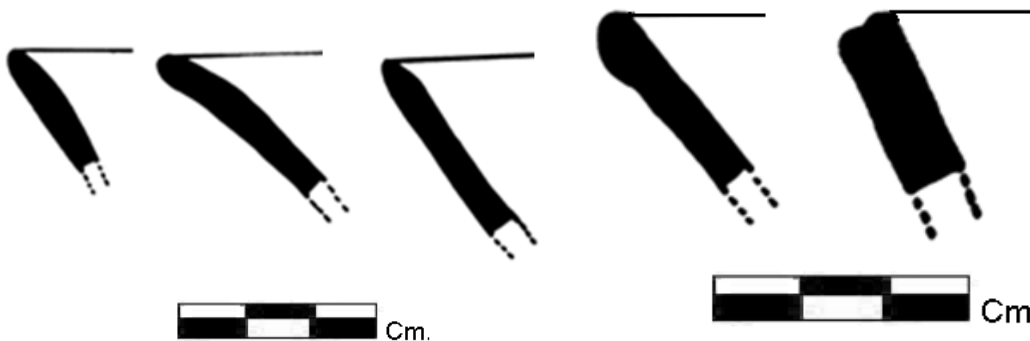
Pared recta y curvo divergente, labio redondeado.

Figura 5.73 Formas de Bordes Indeterminados (erosionados), dibujos por D. García

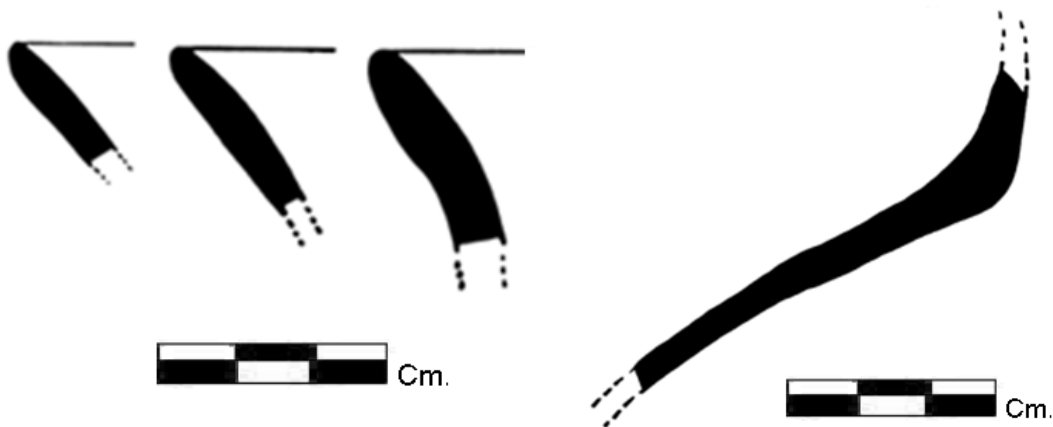
Modos de Forma A (Cántaro)



Borde evertido y divergente de labio redondeado y plano.



Borde curvo o divergente, labio redondeado, agudo, engrosado en el exterior y con acanaladura.



Borde evertido, labio redondeado y levemente engrosado exterior.

Cuerpo de cántaro

Figura 5.74 Formas de Bordes Indeterminados y cuerpos de cántaro, dibujos por D. García

Estriados



Base y cuerpo con estrías horizontales.

Incisos



Cuerpos con decoración incisa fina y media.

Figura 5.75 Cuerpos estriados e Incisos erosionados, dibujos por D. García

Resultados del análisis cerámico

En este primer acercamiento en el estudio de la cerámica del sitio de Chaculá, se pudieron identificar tipos de tres regiones específicas: La cuenca superior del Grijalva, Tierras Bajas y Tierras Altas, así como un pequeño número de grupos indeterminados y que aún quedan pendientes de identificación y un solo ejemplar de filiación hacia la Costa Sur (Figura 5.76 y Figura 5.77). Todos los contextos a nivel cronológico se fechan para el Clásico Tardío, lo cual pone en evidencia una corta ocupación en el sitio. A nivel general, el conjunto de tipos del Grijalva poseen el porcentaje más alto, seguido del conjunto de Tierras Bajas y con menor presencia el conjunto de Tierras Altas. Se espera con el incremento de la muestra lograr definir la producción local en la región, con un estudio más intensivo enfocado en pastas y formas, para evidenciar así también la evolución de algunos tipos importantes.

Finalmente, se puede inferir que el sitio de Chaculá presenta características típicas de un área transicional y en donde aún queda por definirse, cuál fue su papel dentro de la historia de la región, ya que también su peculiar patrón de asentamiento y arquitectura dejan entrever el establecimiento de una sociedad compleja.

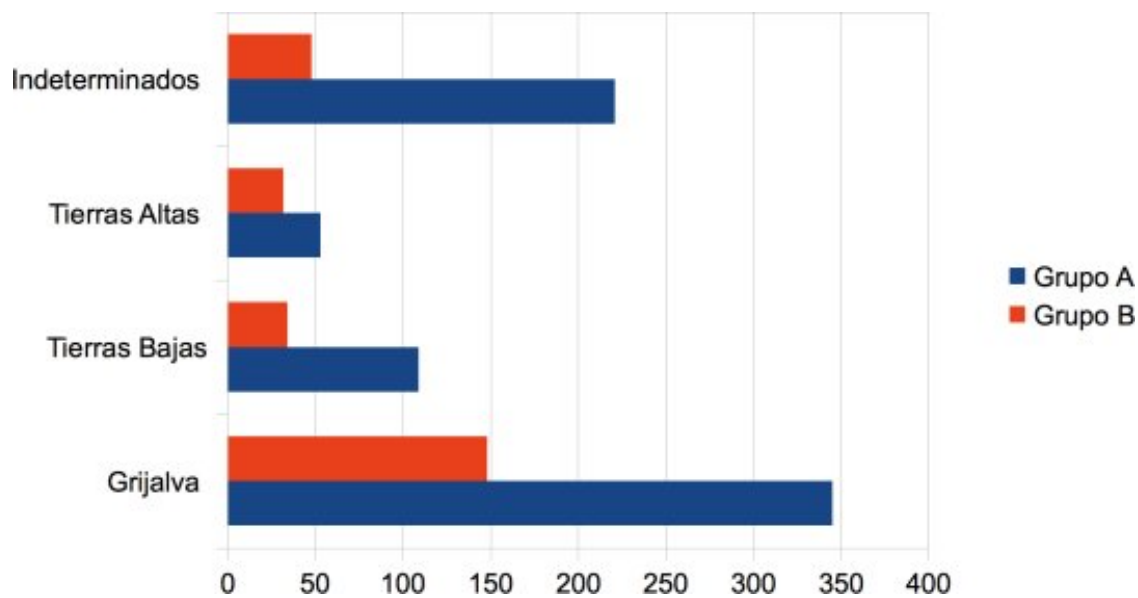


Figura 5.76 Frecuencia de tipos por región en Grupos A y B, elaborado por D. García

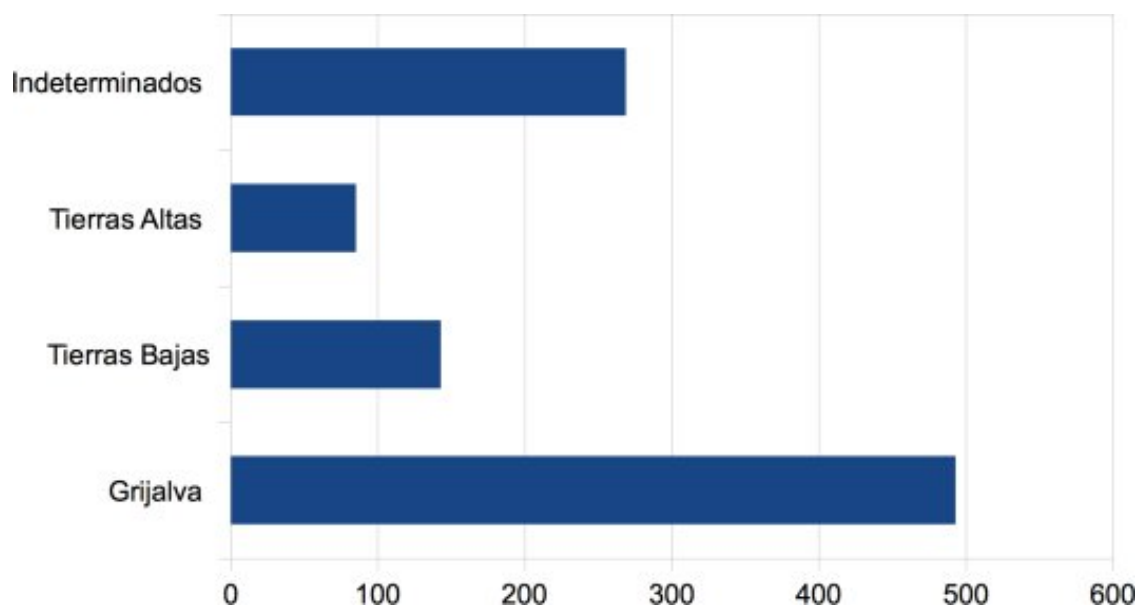


Figura 5.77 Frecuencia general de tipos por región, elaborado por D. García

Resultados de la cerámica recuperada en la operación de Reconocimiento

Adicionalmente al análisis de material cerámico de las excavaciones, se tomaron algunas fotografías representativas del material de superficie encontrado durante los reconocimientos tanto en Chaculá como en otros sitios cercanos (Ver Capítulo 2), con el

objetivo de identificar similitudes regionales de la cerámica tanto en tipología como en período de ocupación. Para ello se tomaron algunas notas y fotografía para su posterior identificación y estudio comparativo, dejando el material donde se encontraba.

La Trinidad

Se identificaron un fragmento de base con soporte cónico del Tipo Tasajo Rojo: V. Tasajo y abundantes bordes de cuenco con engobe rojizo anaranjado interior y exterior burdo, algunos con decoraciones impresas profundas o leves típicos del Tipo Chachalaca Rojo: V. Chachalaca.



Figura 5.78 Ejemplares de tipos identificados en el reconocimiento realizado en La Trinidad: TRI-9 (izquierda); cerca de TRI-13 (centro); TRI-13 (derecha), fotografías por U. Wölfel

Uaxac Canal

La cerámica de este sitio se caracterizó por la frecuencia de formas utilitarias de cántaros y cuencos de engobe rojizo anaranjado pulido, negro pulido y cerámica erosionada sin engobe. Por lo general las pastas fueron homogéneas con un color de rojizo anaranjado a café y beige, con desgrasantes de mica, caliza, ferruginosos y otros.

Se identificó un fragmento de asa tubular vacía con algunas decoraciones incisas del Tipo Nutria, un fragmento de borde de plato de pared curvo convergente, labio redondeado y superficie con decoración de líneas concéntricas en el interior de color rojo sobre el engobe anaranjado. Algunos cuerpos incisos y erosionados corresponden a formas de cántaro y cuenco, además de cuerpos del tipo Chachalaca Rojo: V. Chachalaca.



Figura 5.79 Ejemplares de tipos observados en el reconocimiento en Uaxac Canal, UAC-9, fotografías por U. Wölfel



Figura 5.80 Otros ejemplares de tipos observados en el reconocimiento en Uaxac Canal: UAC-8 (izquierda); cerca de UAC-7 (derecha), fotografías por U. Wölfel y D. García

Yalambojoch

En este sitio se identificaron dos fragmentos, uno perteneciente al tipo Chachalaca Rojo; V, Chachalaca, y el segundo parece ser un fragmento modelado perteneciente a un aditamento o tapadera de algún incensario del tipo Tartaleta.



Figura 5.81 Ejemplares observados en el reconocimiento del sitio Yalambojoch 1, YAL-2, fotografías por U. Wölfel

Chaculá, grupo de las Siete Cuerdas y Chaculá Viejo

El área denominada “siete cuerdas” es parte de los grupos aún no reconocidos y mapeados del sitio arqueológico Chaculá, siendo un área conocida por los pobladores con ese nombre. Se observó en superficie abundante material cerámico entre los cultivos y especialmente en una de las estructuras ubicadas en esta área. Lograron identificarse una asa de trenza del tipo Chachalaca Rojo: V. Chachalaca, además de un interesante fragmento reutilizado con dos lados rectos y otros dos fragmentados, con una perforación circular en su centro. Otros fragmentos erosionados de cerámica confirman la homogeneidad y consistencia en colores y desgrasantes de la materia prima utilizada por los alfareros de la región, en tonos anaranjados y rojizos. Asimismo son abundantes los fragmentos de navajas prismáticas de obsidiana provenientes principalmente de la fuente el Chayal.



Figura 5.82 Ejemplares observados en Chaculá, grupo de las “Siete Cuerdas”, CHA-3, fotografías por U. Wölfel



Figura 5.83 Ejemplares observados en Chaculá Viejo, CHA-6, fotografía por U. Wölfel

Discusión y conclusiones

Como ha sido mencionado a lo largo de este capítulo, en la región arqueológica de Chaculá no existían antecedentes de una cronología y tipología cerámica, reportes anteriores en la zona y de sitios cercanos fechan el área para el Clásico Tardío–Terminal (Navarrete 1979; Clark et al. 2001; Borgstede 2004; Garrido López 2012a, 2012b), sin embargo las excavaciones realizadas y el análisis de los materiales recuperados en esta temporada de campo evidencian una ocupación para el Clásico Tardío, pero se deben seguir investigaciones más intensivas que permitan obtener más materiales de los diferentes grupos del sitio, ya que algunos pueden variar en temporalidad. Asimismo es importante conocer más sobre la identidad de los pobladores que habitaron la zona, sus relaciones con otras regiones, fuentes de materia prima y características propias como área cultural. A continuación se presentan en detalle algunos puntos importantes que se lograron definir a lo largo de este estudio.

Tipología cerámica y filiación cultural

Aunque el análisis presentado nos aporta solamente datos preliminares, esta cerámica representa la primera muestra recuperada en contextos controlados provenientes de un grupo habitacional (Grupo A) y uno posiblemente de élite o ceremonial (Grupo B), cuyos materiales presentan tipos cerámicos de por lo menos tres regiones culturales distintas, que obviando los límites territoriales actuales, ofrecen la oportunidad de realizar un análisis comparativo de posibles relaciones con la finalidad de determinar el papel del sitio de Chaculá en la región. En este sentido, las frecuencias de cerámica identificada y que fueron expuestas anteriormente, muestran la presencia mayoritaria de tipos de la Cuenca Superior del Grijalva, seguido de Tierras Bajas y en menor porcentaje de Tierras

Altas de Guatemala.

En cuanto a la tipología de la Cuenca Superior del Grijalva, es fuerte la presencia de cerámica de tipo doméstica, se encontraron los tipos Tasajo Rojo: V. Tasajo, seguido de Chachalaca Rojo: V. Chachalaca, y una muestra menor de Hamiltic, Cuatzi y Patal en el Grupo A. Por otra parte en el Grupo B, aparecen igualmente tipos domésticos y de servicio, además de algunos fragmentos de figurillas y tipos más finos como Sasben Gubiado.

Uno de los grupos cerámicos abundantes es Chachalaca, en su forma de cuencos grandes con impresiones en distintos diseños y formas y su característico engobe rojo anaranjado pulido únicamente en el interior. Muchas más variedades en cuanto a formas de cántaros, cuencos y platos, están presentes en el grupo Tasajo Rojo conformando así una vajilla más de servicio y que según Bryant et al. (2005), fue de producción local en distintos centros, comprobado a partir del estudio de las pastas en las cuales se reconocieron distintas fuentes, tanto en los sitios de la Cuenca del Grijalva como en Chinkultic; posiblemente Chaculá también pudo ser productor de su propia cerámica de este tipo.

Algunos tipos como Cuatzi reportan formas como comales y coladores del Clásico Tardío, en las Tierras Altas de Guatemala, sin embargo en la colección de Chaculá solamente se identificó la forma de cuenco. Tipos menos frecuentes fueron Santa Cruz y Santa Cruz estriado, que son interesantes por su similitud con la cerámica del Grupo Cambio sin Engobe de Tierras Bajas. Por otra parte, el tipo Batzi es particular por su superficie con engobe rojo especular, también característico de las Tierras Altas, no solo de Guatemala sino de Chiapas.

Los ejemplares reportados como partes y fragmentos de incensarios aparecen tanto en el Grupo A y B, en el primero los tipos Nutria y Tartaleta y en el segundo únicamente el tipo Tartaleta. Aunque presentes en ambos grupos, estos se encuentran en contextos posiblemente ceremoniales, el caso del mango de un posible sahumerio encontrado en la unidad TP-A-15 (complejo arquitectónico mayor del Grupo A), asociado a la plataforma al pie de la piedra parada, donde también fueron encontrados restos de carbón que pueden reflejar parte de las actividades rituales públicas en este grupo habitacional. El estilo de estos fragmentos recuerda los típicos incensarios, platos o cuencos, con mangos decorados de aplicaciones antro y zoomorfos del Clásico Tardío–Terminal hasta el Posclásico en las Tierras Altas de Guatemala, en tanto el diseño de los fragmentos del tipo Tartaleta presentan más similitudes a las aplicaciones de los típicos incensarios palencanos (Bryant et al. 2005).

Con respecto a la cerámica fina, aparecen con menor frecuencia, principalmente del grupo Nichel, Sasben y Chat; cerámica de pasta fina con engobe rojo anaranjado y negro pulido, además de diseños excisos típicos de platos del Clásico Tardío en la región del

Grijalva. Por otra parte, la presencia de dos fragmentos del tipo Plomizo en contextos de rellenos, no refieren precisamente una ocupación Posclásica, como son reportados en la Cuenca del Grijalva, futuras investigaciones podrían dilucidar mejor una ocupación durante este período.

El segundo grupo representativo corresponde a tipos ampliamente conocidos en las Tierras Bajas, con sus grupos y tipos característicos del Clásico Tardío como Máquina Café, Cambio sin Engobe, Tinaja Rojo, Saxché-Palmar, Infierno Negro, Chaquiste Impreso, Azote y Zacatal, además de una categoría no identificada denominada en este estudio Naranja Pulido. En cuanto a frecuencias de estos tipos, el Grupo A tiene mayor presencia del grupo Saxché-Palmar, incluida una ofrenda de dos vasijas encontradas de forma invertida al pie de la escalinata de la Estructura 21 (TP-A-8), mientras en el Grupo B aparece mayor cantidad del tipo Cambio Sin Engobe y Máquina Café. Tipos más utilitarios como Cambio sin Engobe y Encanto Estriado aparecen con más frecuencia en el Grupo A, al igual que otros como Máquina Café y la categoría de Naranja Pulido no identificados. Otros tipos aparecen en menor frecuencia como Infierno Negro, Chaquiste Impreso, Azote y Zacatal.

Aunque por sus características estos tipos son identificados en las Tierras Bajas, sus pastas pudieron ser de producción local, debido a lo consistente de color y desgrasantes de la cerámica en general, lo que es prematuro afirmar, esperando pueda ser confirmado o descartado con otros estudios. A este propósito sucede lo mismo con la cerámica identificada con filiación de Tierras Altas, con tipos aún no bien definidos, debido a las pocas muestras recuperadas que sin embargo presentan características típicas de esta área, este es el caso de los tipos micáceos e impresos. El caso del tipo identificado como Mostaza es particular, por su abundancia tanto en el Grupo A como en el B, identificado por Arnauld (1986) en Baja Verapaz, para el Clásico Tardío (Complejo Cobán). Otro caso de comparación es el tipo identificado como Café Negro, ya que al realizar la consulta con muestrarios de Cancún, un sitio transicional con cerámica de varias regiones, presenta las mismas características del tipo Chichicaste Café, igualmente son necesarias más muestras para afirmarlo con seguridad.

Un único ejemplar de cerámica identificada como Tiquisate, se encontró en el Grupo A, tipo característico de la Costa Sur durante el Clásico Tardío y denominado con el nombre Tekor en la región del Grijalva, sin embargo al igual que el tipo Plomizo y Chichicaste Café, su presencia en Chaculá debe ser investigada en un futuro a partir de muestras más representativas.

A nivel comparativo se identificó un tipo con engobe rojo ceroso y pasta anaranjada rojiza porosa en el muestras de cerámica de Cancún (se encuentra en la categoría de Rojo por Identificar), que corresponde al grupo Chachalaca Rojo en el Grijalva, hecho

que es interesante para futuras comparaciones con este sitio del Clásico Tardío.

Otras categorías aún no identificadas son rojos acanalados, engobes rojos finos, alisados y pulidos, engobes anaranjados que son abundantes, además de algunos cremas incisos o sin decoración bastante erosionados. Algunas muestras interesantes como los Dícromos rojo y negro con decoración acanalada e incisa, además de los polícromos erosionados, requieren de mejores muestras, análisis y comparaciones en un futuro.

Cronología, estratigrafía y hallazgos importantes

En conclusión y de acuerdo a los resultados del análisis realizado de la cerámica de Chaculá, se evidencia una sola ocupación corta durante el Clásico Tardío–Terminal, lo anterior es confirmado también dadas las características arquitectónicas y excavaciones realizadas con evidencia de materiales no más allá de 0.60 m de profundidad, que en general definen un nivel de humus, un nivel de piso, el relleno constructivo y el estrato estéril. En este sentido la cronología es la misma tanto para el nivel de piso y rellenos, con material más abundante en el nivel debajo del piso con muestras mejor conservadas.

En cuanto a contextos especiales, se tuvo el hallazgo de un basurero entre las estructuras A-40 y A-41 (ver Capítulo 4), que a pesar de ser abundante, debido a la erosión de la mayoría de la cerámica, no brindó muchos ejemplares clasificables. El análisis de las muestras analizables incluyen fragmentos reutilizados, un malacate y fragmentos de obsidiana y hueso.

En el Grupo A en la unidad TP-A-15 de la “Piedra Parada”, ubicada en la planada frente a la Estructura A-24 y A-25, presenta abundante material en el nivel de piso y en un relleno de barro negro duro y compacto con restos de carbón, estrato en el cual se encontró un mango de sahumero del tipo Nutria, sobre la plataforma. Otro hallazgo importante en esta misma área del Grupo A, lo fueron la ofrenda de dos vasijas invertidas del grupo Saxché-Palmar (Figura 5.43), al pie de la escalinata de la Estructura A-21, encontradas también en un estrato de barro café oscuro, con algunos restos óseos. Ambos contextos inferen la posibilidad de actividades rituales o ceremoniales en el área y dado el nivel, estrato y tipología cerámica confirman una ocupación para el Clásico Tardío.

Otros artefactos identificados representativos de actividades ceremoniales, lo son las tapaderas de incensarios (grupo Chachalaca, tipo Nutria), sólidas con decoración modelada y aplicaciones. En cuanto a estilo estas tapaderas son frecuentes durante el Clásico Terminal (Laporte 2008), y su tipología corresponde a los tipos identificados del Grijalva durante el Clásico Tardío.

En el caso de la “Piedra Parada” del Grupo B, Estructura B-13 (unidad excavada TP-B-4), frente al Templo del Oeste, los materiales cerámicos representativos se encontraron

en el relleno constructivo de piedra grande en la plataforma. Otro caso es el de las figurillas modeladas, una con forma de tocado, encontradas en el nivel de piso. Una figurilla más completa, posiblemente una representación zoomorfa, fue recuperada en la Estructura A-34 (TP-A-12), en el relleno de la plataforma.

Del Reconocimiento y acercamiento etnográfico

Las actividades de reconocimiento permitieron conocer las características e identificar algunos tipos de cerámica de los sitios de La Trinidad, Uaxac Canal, Yalambojoch y Siete Cuerdas (Chaculá), identificando la consistencia en pastas rojizo-anaranjado, y acabado de superficie de engobes rojo, anaranjado, negro y muestras sin engobe erosionadas, indicando la relación de estos sitios que conforman una región cultural.

Al igual que en la cerámica de las excavaciones de Chaculá, los tipos predominantes son Chachalaca Rojo e Impreso, y Tasaño Rojo, entre otros como Nutria, Tartaleta y Musaraña, todos tipos de la Cuenca Superior del Grijalva, indicando que estos sitios no sólo conforman una región cultural sino también mantuvieron nexos con los sitios del Grijalva (Chiapas), en la temporalidad Clásico Tardío-Terminal.

Parte del reconocimiento y observación de cerámica de superficie no fue condicionado únicamente a lo prehispánico, el acercamiento a técnicas de elaboración de cerámica actual (ver Capítulo 6), son una ventana al conocimiento de culturas vivas en la región, ya que al realizar la comparación de las pastas de la cerámica, tanto de reconocimiento como de las excavaciones de Chaculá, con el barro utilizado por la artesana de origen Chuj de la aldea El Aguacate, es imposible negar la fuerte similitud y consistencia del color, textura y desgrasantes del barro que utiliza para la elaboración de su cerámica. Esto puede representar la evidencia del uso de las mismas fuentes de materia prima en la época prehispánica y actual, además de algunas formas características tanto de Tierras Altas de Guatemala y Chiapas del Clásico Tardío, que aún reproduce, muestra de los procesos culturales, económicos, sociales y religiosos que vislumbran cómo distintos sitios, regiones y poblaciones pudieron relacionarse, aprovechando siempre las fuentes de recursos y materias primas, en este caso es el barro, que amasan las manos artesanas para la producción de cerámica, que más que objetos son la evidencia de la historia y desarrollo en su elaboración desde tiempos ancestrales.

Chaculá como un sitio prehispánico del Clásico Tardío

Aunque los sitios de la Cuenca Superior del Grijalva evidencian un desarrollo amplio desde el Preclásico Medio (Bryant et al. 2005), la cronología preliminar de Chaculá corresponde únicamente al período Clásico Tardío-Terminal, época del auge y florecimiento

de los sitios de la Cuenca y que se puede asociar a la presencia de grandes y numerosos grupos habitacionales, que durante las actividades de mapeo fueron descubiertos, y que evidencian el asentamiento de un grupo bastante elevado en Chaculá.

El aumento de población en esta región puede estar relacionado con el período del colapso en las Tierras Bajas, ocasionando que sus habitantes emigraran a otras zonas, en este caso la Cuenca del Grijalva (sin tener en cuenta los límites territoriales actuales), trayendo consigo su cultura propia, entre ella su tradición cerámica, hecho que explicaría la presencia de tipos y similitudes presentes en Chaculá. Sin embargo, la abundancia de cerámica doméstica Chachalaca, Tasajo Rojo, entre otros, además de la evidencia de fuentes de materia prima locales utilizadas hasta la fecha, hacen pensar en una producción local del corpus tipológico del Grijalva, y quizás imitaciones de Tierras Bajas.

La evidencia en Chaculá muestra tipos de la Cuenca Grijalva, de producción local con similitudes en formas y superficies de Tierras Bajas (Santa Cruz, Sasben); tipos característicos de Tierras Bajas, que pueden ser imitaciones (Saxché-Palmar, Máquina Café, Cambio sin Engobe): tipos de Tierras Altas evidencian posiblemente intercambio (Mostaza, Chichicaste Café, micáceos). La cerámica no local es reflejo de posibles intercambios culturales, provocados por eventos migratorios o bien por vías de comercio.

A este propósito es importante recordar que Borgstede y Romero (2007) atribuyen la introducción de tipos cerámicos y características arquitectónicas a la región Huista en Guatemala, a las migraciones de poblaciones de la Cuenca del Grijalva durante el Clásico Terminal, terminando en una ruptura para el Posclásico. En este sentido si consideramos nuevamente el aumento de población en la región del Grijalva, por habitantes de Tierras Bajas, es posible que en este proceso ciertos grupos no sólo hayan emigrado hacia la región Huista sino también a la región de Chaculá, bajo el poder económico y político del Grijalva, lo que explicaría las similitudes en algunas características arquitectónicas y tipos cerámicos. Clark et al. (2001), reporta en esta región del lado guatemalteco cerámica micácea, de engobe naranja, e incensarios, que pueden ser los mismos tipos presentes en Chaculá (Naranja Pulido, Micáceos, Nutria y Tartaleta), para la misma temporalidad.

Como fue mencionado anteriormente, otra posibilidad sería la comercialización de tipos finos de las Tierras Bajas, como los polícromos aún no identificados (erosionados), que adquirieron paralelamente a la producción de su propia cerámica doméstica. De cualquier forma la posición geográfica transicional de Chaculá entre Tierras Bajas, Tierras Altas, y las cuencas del Grijalva y el Usumacinta, permite plantear relaciones comerciales, políticas, culturales así como migraciones.

Estas posibilidades hacen pensar que se está ante el estudio de un fenómeno de fusión de regiones culturales durante el Clásico Tardío (Garrido López 2012a, 2012b;

Ciudad Ruiz e Iglesias Ponce de León 1995), frente a las posibles rutas de comercio entre estas (Tejada et al. 2000; Arroyave 2010) que deben continuar su investigación. En cuanto a las rutas comerciales reportadas en esta zona, la cerámica Gris Fino y Naranja Fino fueron intercambiadas de la Cuenca del Usumacinta (Yaxchilán y Piedras Negras) hacia la Cuenca del Grijalva, también en su período de mayor auge (Arroyave 2010), dichas redes de intercambio también incluyen a Chinkultic (Ball 1980) más tardíamente para el Clásico Terminal, lo que puede reflejar la posibilidad de intercambio del Usumacinta o del Grijalva hacia Chaculá.

Aún es necesario refinar la tipología y cronología a partir de futuros análisis no sólo cerámicos, sino químicos para establecer la secuencia de Chaculá durante aproximadamente 350 años de desarrollo, en relación a las fases ya establecidas para otros sitios (Cuadro 5.6), y conocer su papel en la configuración social, política y económica de la región. Preliminarmente pudo ser una región controlada por los sitios tributarios de la Cuenca del Grijalva que, a partir de sus relaciones comerciales y aumento de población, aumentaron su poder tanto económico como político. Así, los habitantes que llegaron a Chaculá durante el Clásico Tardío a poblar la zona, pueden ser originarios de esta región, manteniendo y reproduciendo la misma tradición cerámica, y reflejando también las relaciones culturales y económicas, que la Cuenca estableció con otras regiones, así como la posibilidad de migraciones. En cuanto a Tierras Altas, la poca frecuencia de tipos de esta zona refiere relaciones esporádicas (Tipos micáceos y Mostaza), cuya naturaleza debe ser investigada y podría estar relacionada a eventos específicos tales como intrusiones, inmigración de pequeños grupos, casamientos, entre otros (M. Hatch, comunicación personal 2015).

Estudio de los materiales Líticos

Obsidiana

Dentro de los materiales recuperados se obtuvieron fragmentos de obsidiana correspondientes principalmente a navajas prismáticas y otros desechos, que evidencia la ausencia de una producción local de estos artefactos que más bien pudieron ser adquiridos por vías comerciales. La fuente principal reconocida fue de El Chayal, con excepción de un desecho de navaja de San Martín Jilotepeque (TP-A-14). En Cuadros 5.7 y 5.8 se presentan los detalles de la obsidiana recuperada en el Grupo A y B.

Cuenca Superior Grijalva	Mix	600–900 d.C.
Chinkultic	Yobnajib	600–900 d.C.
Huehuetenango	Huehue X Complejo L	600–850 d.C.
Zaculeu	Chinaq	550–900 d.C.
Cancuén	Concordia	650–750 d.C.
	Los Laureles	750–800 d.C.
	Chamán	800–850 d.C.
Alto Salamá	Totonicapán	550–900 d.C.
Altar de Sacrificios	Chixoy	600–650 d.C.
	Pasión	650–700 d.C.
Uaxactún	Tepeu 2	650–850 d.C.
	Tepeu 1	600–650 d.C.

Cuadro 5.6 Fases del Clásico Tardío–Terminal, elaborado por D. García

Unidad	Nivel	Lote	Contexto	Cant.	Observaciones
TP-A-12	1	1	Humus	2	1 Frag. distal de navaja irregular, uso medio punta curvada, gris opaco 1 Frag. Desecho de navaja prismática
TP-A-13	2	2	Barro café	1	Frag. distal, navaja prismática, uso medio, gris opaco
TP-A-10	5	6	Barro café claro con piedrín	1	Frag. distal de navaja prismática, con fractura, uso fuerte, gris traslúcido
TP-A-14	3	2	Barro café oscuro, derrumbe	1	Frag. medial navaja prismática, uso fuerte, negro-gris opaco
TP-A-2	1	2	Humus/nivel de piso	1	Frag. medial navaja prismática, uso medio, gris traslúcido con vetas
TP-A-10	3	2	Barro negro	1	Frag. distal navaja navaja curvada, uso medio gris opaco
TP-A-15	5	10	Relleno	1	navaja prismática de uso leve, gris traslúcido
TP-A-10	4	5	Barro café oscuro, piedrín	1	Frag. medial navaja prismática, uso medio, gris traslúcido
TP-A-15 Ext. A	2	7	Barro negro	1	Frag. distal navaja prismática, uso medio, gris opaco
TP-A-3	2	2	Barro	1	Desecho de navaja prismática, negro con vetas
TP-A-8 Ext. B	7	13	Relleno piedrín (piso)	1	Frag. medial navaja prismática, uso leve, gris-negro traslúcido
TP-A-10 Ext. A	3	4	Barro negro	1	Frag. distal navaja prismática, uso leve, gris-negro traslúcido
TP-A-4	2	3	Barro café oscuro	1	Frag. medial navaja prismática, uso leve, gris opaco con vetas
TP-A-14	4	3	Barro café claro	1	Desecho de navaja negro brillante rugoso / San Martín Jilotepeque

Cuadro 5.7 Detalle de la muestra total de artefactos de obsidiana recuperados en las excavaciones, Grupo A, elaborado por D. García

Unidad	Nivel	Lote	Contexto	Cant.	Observaciones
TP-B-3	2	2	Humus	1	Frag. medial navaja prismática, uso medio, negro traslúcido
TP-B-6	2	2	Tierra negra suelta	3	Frag. medial navaja prismática, uso medio, gris opaco Frag. medial navaja prismática fina, uso fuerte medio, gris transparente Desecho de navaja indeterminado
TP-B-6	3	3	Relleno	4	Frag. medial navaja prismática, uso leve, gris traslúcido Frag. distal navaja prismática, uso leve, gris traslúcido 2 Desecho de navaja prismática, gris transparente
TP-B-7	2	2	Barro café oscuro y piedras	1	Frag. medial navaja prismática, uso fuerte, gris traslúcido
TP-B-6	4	4	Relleno piedra grande	4	3 Frag. distales navaja prismática, uso leve, gris opaco Frag. proximal navaja prismática, uso fuerte, gris traslúcido
TP-B-2 Ext. A	2	3	Humus	1	Frag. navaja prismática fina, uso medio, gris transparente
TP-B-5	2	1	Humus	1	Desecho de navaja gris traslúcido
TP-B-5	3	2	Relleno barro con piedra	1	Frag. medial navaja prismática, uso medio, gris traslúcido
TP-B-2	3	2	Barro negro, derrumbe	1	Desecho navaja prismática, negro brillante

Cuadro 5.8 Detalle de la muestra total de artefactos de obsidiana recuperados en las excavaciones, Grupo B, elaborado por D. García



Figura 5.84 Detalle de fragmentos de navajas prismáticas y desechos, fotografía por P. Torres y dibujos por D. García

Fragmentos de Manos de Moler

Los fragmentos recuperados de manos de moler, provenían de rellenos de las estructuras, abajo del nivel de piso. La unidad TP-A-12 presenta un fragmento no identificado. Fueron identificados cuatro en total.

Unidad	Nivel	Lote	Contexto	Cantidad
TP-A-7	2	2	Debajo de piso	1
TP-A-4	2	2	Barro café oscuro	1
TP-A-2	1	2	Humus/Nivel de piso	1
TP-A-12	2	2	Relleno tierra café y piedra	1

Cuadro 5.9 Detalles de la lítica mayor encontrada en excavaciones, elaborado por D. García



Figura 5.85 Fragmentos de manos de moler e indeterminado, fotografía por P. Torres

Pedernal

La muestra corresponde a desechos de pedernal no trabajados, recuperados del humus y rellenos debajo del nivel de piso.

Unidad	Nivel	Lote	Contexto	Cantidad
TP-A-11	2	2	Barro café rojizo	1
TP-A-10 Ext. A	3	4	Barro negro	3
TP-A-8 Ext. B	6	12	Relleno piedrín (piso)	1
TP-A-3 Ext. B	2	6	Barro café oscuro	1
TP-A-8	5	15	Relleno piedrín	9
TP-A-8	4	4	Barro café oscuro	1
TP-A-5	1	1	Humus	1
TP-A-10	5	6	Barro café claro con piedrín	1
TP-A-2	1	2	Humus/nivel de piso	1
TP-A-3	3	4	Barro negro	1
TP-A-4	2	2	Barro café oscuro	2
TP-B-6	2	2	Tierra negra suelta	2
TP-B-2 Ext. A	2	3	Humus	2
TP-B-3	3	3	Barro café oscuro	1
TP-B-3	2	2	Humus	3
TP-B-3	4	4	Barro con piedras	2

Cuadro 5.10 Detalles del pedernal recuperado en excavaciones, elaborado por D. García

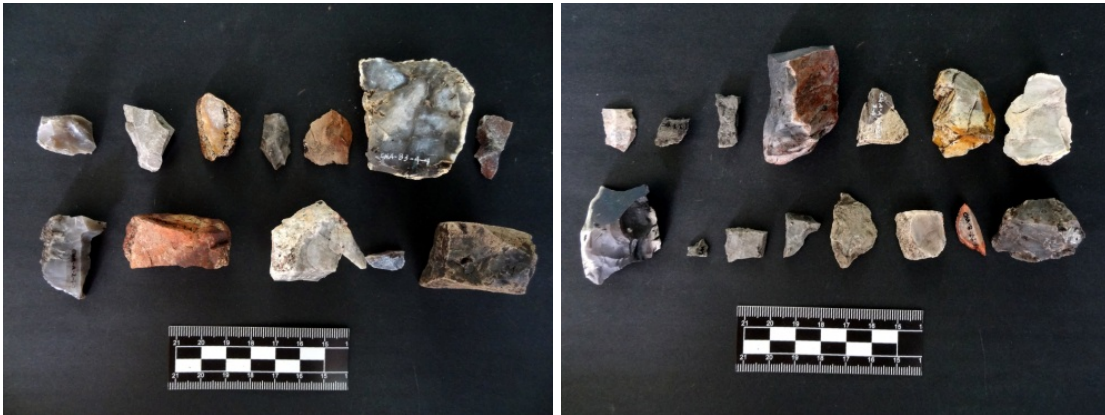


Figura 5.86 Desechos de pedernal, fotografía por P. Torres

Fragmentos Óseos

Algunos fragmentos de hueso se encontraron asociados al estrato de barro café y rellenos bajo el nivel de piso. Estos posiblemente corresponden en su mayoría a fauna, un colmillo sobresale de esta muestra (TP-A-9). Fueron identificados lo que parecen ser dientes (TP-A-10 y TP-B-2 Ext. A), además de un hueso humano que forma parte de la mano (TP-A-2).

Unidad	Nivel	Lote	Contexto	Cantidad	Observaciones
TP-A-9	6	6	Relleno plataforma	1	Diente animal (colmillo)
TP-A-10	4	5	Barro café oscuro con piedrín	2	Hueso animal ?
TP-A-10	5	6	Barro café claro con piedrín	1	Hueso animal ?
TP-A-2	2	3	Relleno barro con piedras	1	Hueso de la mano ?
TP-A-4	2	3	Barro café oscuro	1	Hueso animal ?
TP-A-10	5	6	Barro café claro con piedrín	3	1 diente quemado 2 Frag. Hueso animal?
TP-A-8	5	15	Relleno piedrín	1	Hueso indeterminado
TP-A-12	2	2	Relleno barro y piedras	1	Hueso humano?
TP-B-3	4	4	Relleno barro con piedra	2	1 Hueso quemado animal? 1 Frag. Indeterminado
TP-B-6	4	4	Relleno piedra grande	2	Hueso animal?
TP-B-6	3	3	Relleno	1	Diente animal?
TP-B-2 Ext-A	2	3	Humus	1	Diente molar?

Cuadro 5.11 Detalle de los fragmentos óseos recuperados en excavaciones, elaborado por D. García



Figura 5.87 Ejemplares de los fragmentos de hueso recuperados, fotografía por P. Torres y dibujos por D. García

6 Notas sobre la producción de cerámica en El Aguacate

Ulrich Wölfel, Paola Torres y Dora García

Durante las investigaciones del Proyecto Arqueológico Regional Chaculá, se realizó una documentación etnográfica sobre el proceso actual de la manufactura cerámica en la región, destacando el trabajo que se realiza en la aldea El Aguacate, al norte de Chaculá y en donde a continuación se presenta una descripción de parte del proceso que actualmente es llevado a cabo.

Según la alfarera visitada existen en El Aguacate alrededor de diez familias que producen cerámica. Otros lugares conocidos por su producción de cerámica en la región de Chaculá son Yalambojoch y Yuxquen. En tiempos pasados se vendió la cerámica de El Aguacate en los mercados de Gracias a Dios y Lázaro Cárdenas (Chiapas, México), mientras hoy en día se produce por encargo de consumidores que normalmente son locales.

Las vasijas que la alfarera visitada produce consisten principalmente en ollas (Chuj: *chen*), cantaros (Chuj: *xalu*) y comales (*sa'am*).

Preparación

Los componentes de la cerámica de la alfarera visitada consisten en (1) el barro, que se obtiene ya sea buscándolo en las partes occidentales de los terrenos de El Aguacate (hacia Chaculá Viejo) o comprándolo en la aldea vecina de Yalambojoch y (2) el desgrasante, consistente en un tipo de calcita conocido en Chuj como *b'ax*, que es comprado a distribuidores en la región.

Antes de iniciar el moldeado de la vasija, que en este caso fue la elaboración de una forma de olla, se mezclaron el barro con *b'ax* molido y agua, realizándose el amasado y la homogeneización de la mezcla. Durante este proceso se utilizó un disco de madera que se encontraba sobre el piso, enfrente de la alfarera. Se colocó también un poco de *b'ax* molido en un cuenco de madera que funcionó como base para iniciar el modelado.

La base

Para iniciar el cuerpo de la olla la alfarera utilizó un pedazo de barro, el cual fue apelmazado formando una bola. Posteriormente se realizó una cavidad en el centro del barro. Girando la bola se conservó la forma redonda, resultando como una primera versión de la base.

Con el puño derecho se moldeó en la cavidad formada en el paso anterior, girando la base y sosteniéndola con la otra mano. Después la alfarera colocó la base sobre sus piernas (regazo) y continuó formando los lados presionando con sus dedos (a excepción del meñique) en el interior y los pulgares en el exterior. En el interior ella empezó a distribuir de mejor manera la arcilla. El resultado de este paso es el inicio de la base (aproximadamente 1/4 de la altura completa) de la olla.

El cuerpo

Para los siguientes pasos se colocó la base de arcilla inicial en el cuenco de madera con *b'ax* que sirve como un molde cóncavo y ayuda a sostener la base mientras se forma el resto del cuerpo. En el proceso de manufactura del cuerpo, se utilizó la técnica del enrollado en donde se realizaron varios rollos del barro y que fueron añadidos a la base poco a poco, aumentando así hasta la altura del cuerpo de la olla requerido. Luego se llegó hasta el borde en donde la alfarera dio forma al labio con sus dedos.

Con una madera, en forma de espátula, fueron alisadas las partes convexas del cuerpo: primero el exterior, desde la base hasta el borde y retirando el exceso de barro. Después fue alisada la parte cóncava del cuerpo interior con un trapo mojado. Fue repetido el paso de alisar una vez más. El resultado fue el cuerpo alisado de la olla.

Las asas

El siguiente paso consistió en modelar y colocar las asas en el cuello. Se prepararon dos pequeños rollos de barro y fueron prensados sobre el disco de madera, para dar un grosor menor. Se realizaron dos perforaciones en el cuello y allí se introdujeron cada una de las bandas de barro que formarían las asas, sobresaliendo todavía un poco en el interior (Figura 6.1). Usando pequeños pedazos de barro adicionales se juntaron la asa con el cuerpo, cerrándose así los agujeros. Se quitaron las partes innecesarias y se alisó el interior de la olla con la espátula de madera.

Posteriormente de dejar secar por un tiempo (alrededor de una hora) se quitó la olla del molde de madera y la alfarera volvió a colocar la vasija sobre sus piernas y realizó un alisando nuevamente tanto en el interior como el exterior con instrumentos de madera.



Figura 6.1 Alfarera poniendo asas en una olla, fotografía por U. Wölfel

El último paso consistió en aplanar la base de la olla, para lo cual se golpeó con fuerza sobre una tabla recta, aplanando la base que en esta manera recibió su forma.

Cocer el barro

Después de formar la olla se deja en un proceso de secado por aproximadamente 10 días, lo que permite la eliminación del exceso de agua de la pasta cruda y también en este período el alfarero puede observar si se encoge o agrieta la pieza.

La cocción en el fuego se realizó a cielo abierto, se utilizó leña (Chuj: *k'atzitz*) conformando la base de un horno artesanal sobre el cual fueron asentadas las piezas para cubrir las luego con trozos grandes de corteza (Chuj: *jokob'*) de pino. En el caso observado, el proceso de cocción llevó alrededor de 22 minutos.

Debido a la mala calidad del barro empleado (y posiblemente la proporción del *b'ax* usado) varias de las piezas presentaron defectos ya que el barro no logró cocerse bien y se desmoronaba en partes del exterior, asimismo algunas ollas se observaron con fracturas en sus orillas (Figura 6.2). Según la cosmovisión de la alfarera, la causa de los daños en la cerámica fue la presencia de los miembros del proyecto, ya que ella está acostumbrada a realizar la cocción de la cerámica de manera aislada y nunca produce desecho. Antes de realizar la cocción de la cerámica, ella suele rezar a Dios para mostrar su respeto.

Rice (1987) hace mención de varios rituales y tabúes en torno a la obtención del barro, así como del proceso de manufactura de la cerámica en otras poblaciones del mundo y en donde existen una serie de creencias en torno a la elaboración de piezas cerámicas, lo cual es interesante dada la experiencia con la alfarera de El Aguacate y su explicación



Figura 6.2 El resultado de quemar cerámica, fotografía por U. Wölfel

sobre lo ocurrido en el proceso de cocción.

Finalmente, antes de poder usar las vasijas elaboradas, los clientes deben lavar sus piezas con cal para que se cierren pequeñas fisuras.

Comparación a nivel regional

Los lugares más cercanos a El Aguacate para los cuales existen descripciones de la producción de cerámica son Yalmuz en Chiapas, Mexico, descrito por Daltabuit y Álvarez (1977) y San Miguel Acatán, Huehuetenango, descrito por Reina y Hill (1978).

El desgrasante utilizado en Yalmuz consiste de arena cernida que, en el caso de vasijas que se ponen en el fuego, se mezcla con calcita (Tojolab'al: *b'ax*, Daltabuit y Álvarez 1977:234). En San Miguel Acatán el desgrasante es arena pómez (Reina y Hill 1978:109).

La técnica de preparar la base en el caso de Yalmuz consiste en formar un cilindro y sacar barro de la parte superior con las manos (Daltabuit y Álvarez 1977:236). Esta es distinta de la técnica empleada en El Aguacate, donde la base es modelada libremente con las manos (sin molde).

En Yalmuz, antes de cocer el barro se “quema” brevemente la vasija, para quitar restos de agua en el barro. En la cocción se utiliza, como en El Aguacate, pedazos de corteza de ocote para cubrirla (Daltabuit y Álvarez 1977:239).

Comentarios Finales

La elaboración de cada pieza es una ardua labor que requiere de un profundo conocimiento, tanto desde la obtención de la materia prima, así como el tiempo y proceso de manufactura y actualmente es, como en el caso de la alfarera de El Aguacate, una fuente de ingresos económicos para la manutención de algunas familias, aunque el precio de las vasijas ya terminadas suele ser muy bajo (Q5.00 a Q20.00 aproximadamente).

Así, esta experiencia permitió observar el trabajo de carácter ancestral en la elaboración de piezas y en donde son creadas relaciones de identidad cultural. En este sentido fue interesante observar el color, consistencia del barro y utilización de desgrasantes, que son semejantes con las pastas identificadas en los diferentes tipos cerámicos en Chaculá, principalmente de los grupos Chachalaca y Hamiltic, lo que hace referencia a que, las fuentes de materia prima siguen siendo las mismas, además de las técnicas empleadas en su elaboración.

Aunque las formas responden a fines utilitarios, la alfarera de El Aguacate tenía como parte de sus recipientes en la cocina comales con asas y paredes cortas divergentes que hacen remembranza a los conocidos en la región de Tierras Altas durante el Clásico Tardío (Figura 6.3). Por otra parte, también elaboró incensarios con soportes que de igual forma presentan similitudes con los producidos por los Lacandones en el área de Chiapas, México. Esas similitudes y rasgos culturales observados actualmente en la cerámica con características de distintas regiones ponen en evidencia el movimiento de ideas y modos que pudieron difundirse de distintas formas no sólo en Chaculá sino en toda la región antiguamente, y por lo tanto la identificación de distintas filiaciones culturales en el análisis preliminar realizado y presentado en este informe puede ser el reflejo de interacción entre las diversas zonas.



Figura 6.3 Tipos de comales elaborados en la región de Chaculá, fotografía por U. Wölfel

7 Conclusiones

Ulrich Wölfel y Paola Torres

Al extender las investigaciones iniciadas a partir del 2013, la Temporada 2014 del proyecto PARCHA ha brindado nuevas expectativas en torno a esta región poco estudiada y en donde al tratar de responder a los objetivos originales y a otros fines imprevistos, se obtuvieron resultados preliminares muy importantes.

Se presentan a continuación las conclusiones más significativas obtenidas de esta segunda temporada de campo y que resumen la información que hasta ahora puede inferirse de los datos recolectados, esperando en futuras investigaciones responder a los nuevos cuestionamientos que ahora surgen y que puedan determinar los aspectos más importantes de la región de Chaculá.

1. Dentro de las actividades de reconocimiento (Operación 1) se pudieron localizar un total de 20 sitios arqueológicos, entre estos, 12 sitios que no fueron descritos por Seler. Particularmente se pudo observar que los sitios en el área de Yalambojoch son de gran interés por (a) poseer arquitectura monumental, incluso de una pirámide en YAL-2, (b) estar generalmente bien preservados, en particular el sitio de Unin Witz y (c) mostrar rasgos arquitectónicos y artefactos en superficie que indican una ocupación más tardía en el área, probablemente para el Posclásico Temprano, siendo los otros sitios como Chaculá, Uaxac Canal o Quen Santo, todos del Clásico Tardío.
2. Localizar la existencia del sitio Atz'am K'em en una parte montañosa, al noreste de Chaculá, fue de importancia ya que no han sido reportados aún sitios en esta parte dentro de los registros arqueológicos. Es de gran interés llevar a cabo el reconocimiento de esta área en estudios posteriores.
3. Fue posible reubicar exitosamente un total de ocho sitios arqueológicos reportados por Seler (1901): en Chaculá ("Templo del Este", "Templo y Fundamento de Casa"), La Trinidad ("El Cimarrón"), Uaxac Canal ("Grupo Piedra Parada", "Grupo de templos 2", "Grupo Llano", "Grupo La Ventana", "Cueva de los Pájaros") y

Yalambojoch (“San Francisco”). En conjunto con los sitios descubiertos durante la Temporada 2013 constituyen la mayoría de los que fueron reportados por Seler. Solamente quedan por reubicar dos grupos menores en Uaxac Canal (“Grupo de túmulos 1, lado de La Ventana”, “Grupo de túmulos 1, lado de la Piedra Parada”), así como la “Cueva de los Murciélagos”, cerca de Uaxac Canal.

4. En el grupo de la Piedra Parada de Uaxac Canal se pudo identificar el área en donde Seler realizó sus excavaciones. Comparando estos pozos con las trincheras grandes halladas en Pueblo Viejo Quen Santo en 2013, las de Uaxac Canal son muy reducidas en número y tamaño.
5. En la Operación 2, en donde fue realizado el mapeo del sitio arqueológico Chaculá, se pudo observar que en el área entre los Grupos A y B existe un asentamiento denso y continuo. Un área de 41850 m² fue mapeado (2013: 26400 m²), registrando un total de 54 edificios en cuatro grupos (2013: 71). Todos estos fueron reportados siguiendo el patrón observado desde 2013 en los grupos habitacionales, el cual consiste en ser construidos sobre las pendientes rodeando conos de denudación.
6. Otro patrón que se reconoció en las actividades de mapeo fue la presencia de un conjunto arquitectónico con cierta monumentalidad en cada grupo, como A-21–A-26, C-7–C-14 y B-1–B-9 (y B-12–B-13). En el Grupo E se observó un conjunto fuera del área de mapeo que mantiene este patrón. Debido a estos esquemas del ordenamiento espacial, se podrían relacionar los grupos definidos durante el mapeo con segmentaciones de la antigua ciudad y que dejarían entrever parte de la organización social establecida. Por tal razón es de suma importancia continuar el mapeo en las próximas temporadas de campo para lograr incluir los Grupos B, C y E por completo en el mapa.
7. La visión que se tenía sobre la extensión del sitio Chaculá se ha ampliado en esta temporada, ya que durante el reconocimiento se encontraron nuevas partes del Grupo B y el Grupo E, siendo mucho más grande que las zonas incluidas en el mapeo, y según informantes, el asentamiento es continuo entre el área de estudio y los grupos al norte del mismo, como el Templo del Este y “Las siete cuerdas”. Además, existen cimientos prehispánicos al lado este del arroyo, en Chaculá Viejo, acrecentando así el área ocupada por el sitio.
8. Las excavaciones de 20 pozos de sondeo distribuidos entre los Grupos A y B del sitio arqueológico Chaculá constituyeron la Operación 3. En todas las unidades se observó una sola fase de construcción, indicando preliminarmente una ocupación

muy breve del sitio y de rápida reorganización cultural. Las excavaciones sobre las plataformas artificiales permitieron definir el patrón constructivo seguido por los antiguos pobladores, en donde es evidente que se requirió una gran inversión de trabajo, aunque fueron construidas en un corto período de tiempo.

9. Desde el punto de vista ritual, la evidencia indica que fueron realizadas este tipo de actividades en el sitio. Mediante los pozos efectuados enfrente de las plataformas en donde fueron colocadas las “Piedras Paradas” en los Grupos A y B se pudo constatar por el hallazgo de fragmentos de incensarios y restos de carbón, que servían como lugares ceremoniales. Es muy probable que las actividades rituales más importantes se hallan llevado a cabo en las cuevas y en los cerros cercanos.
10. Con respecto a los resultados de laboratorio, el análisis preliminar de la cerámica demuestra redes de interacción del sitio de Chaculá con la Cuenca Superior del Grijalva, las Tierras Bajas y Tierras Altas mayas, en donde queda aún por definirse cuál fue el papel desempeñado por el sitio dentro de esta zona transicional, así como posibles patrones de migración o identificación de poblaciones en el mismo.
11. En base a los tipos establecidos en el estudio cerámico, se pudo determinar la ocupación del sitio para el período Clásico Tardío–Terminal y en donde los sitios de la periferia, también parecen evidenciar una ocupación para este período como parte de una misma esfera.
12. Por medio del estudio etnográfico realizado sobre la manufactura de la cerámica en la aldea El Aguacate, se obtuvieron datos interesantes que confirman la presencia de fuentes de barro en la región, lo cual permite inferir y relacionarse a una producción de cerámica local también para la época prehispánica, dadas las semejanzas encontradas entre las pastas con esta cerámica contemporánea (observación macroscópica).

Finalmente, a partir de estos resultados se sigue demostrando la complejidad del sitio y la región de Chaculá, en donde con los datos recolectados a lo largo de dos temporadas de investigaciones se han obtenido las primeras bases para su entendimiento, faltando aún muchos más estudios a futuro, que logren interpretar parte de su dinámica así como su desarrollo y que permitan establecer con claridad la historia de sus habitantes.

8 Bibliografía

- Aimers, James J. y P. M. Rice
2006 Astronomy, Ritual, and the Interpretation of Maya „E-Group“ Architectural Assemblages. *Ancient Mesoamerica* 17:79–96.
- Arnauld, Marie Charlotte
1986 *Archeologie de L’Habitat en Alta Verapaz (Guatemala)*, Collection Etudes Mesoamericaines 10. México, D.F.: Centre d’Etudes Mexicaines et Centramericaines.
- Arroyave, Ana Lucía
2010 Cerámica recuperada a lo largo de cinco temporadas de campo, Proyecto Regional Arqueológico sierra del Lacandón. En: *XXIII Simposio de Investigaciones Arqueológicas en Guatemala, 2009*, B. Arroyo, A. Linares, y L. Paiz (eds.), pp. 1170–1179. Guatemala: Museo Nacional de Arqueología y Etnología.
- Ball, Joseph W.
1980 *The Archaeological Ceramics of Chinkultic, Chiapas, Mexico*, Papers of the New World Archaeological Foundation 43. Provo: New World Archaeological Foundation.
- Bauer, María Belén
2012 Una aproximación a la ocupación prehispánica en Quetzaltenango: corpus arqueológico del municipio de Quetzaltenango. Tesis de Licenciatura, Escuela de Historia, Universidad de San Carlos de Guatemala.
- Becquelin, Pierre
1969 *Archéologie de la région de Nebaj (Guatemala)*, Mémoires de l’Institut d’Ethnologie 2. Paris: Institut d’Ethnologie, Musée de l’Homme.
- Borgstede, Gregory J.
2004 *Ethnicity and Archaeology in the Western Maya Highlands, Guatemala*. PhD thesis, University of Pennsylvania.
- Borgstede, Gregory J. y L. A. Romero
2007 Relaciones entre las Tierras Altas Occidentales de Guatemala y las Tierras Bajas en el Clásico Terminal. En: *XX Simposio de Investigaciones Arqueológicas en Guatemala, 2006*, J. P. Laporte, B. Arroyo, y H. Mejía (eds.), pp. 1–14. Guatemala: Museo Nacional de Arqueología y Etnología.
- Bryant, Douglas Donne, J. E. Clark y D. Cheetham (eds.)
2005 *Ceramic Sequence of the Upper Grijalva Region Chiapas, Mexico*. Provo: New World Archaeological Foundation.

Castillo, Victor

2013 El sitio arqueológico Chaculá. En: *Proyecto Arqueológico de la Región de Chaculá, Reporte de las Actividades de Campo de la Temporada 2013*, V. Castillo y U. Wölfel (eds.), pp. 57–76. Guatemala: Informe Presentado al Instituto de Antropología e Historia de Guatemala.

Castillo, Victor y U. Wölfel (eds.)

2013 *Proyecto Arqueológico de la Región de Chaculá, Reporte de las Actividades de Campo de la Temporada 2013*. Guatemala: Informe Presentado al Instituto de Antropología e Historia de Guatemala.

Chase, Arlen F. y D. Z. Chase

1995 External Impetus, Internal Synthesis, and Standardization: E Group Assemblages and the Crystalization of Classic Maya Society in the Southern Lowlands. En: *The Emergence of Lowland Maya Civilization: The Transition from the Preclassic to Early Classic*, N. Grube (ed.), pp. 87–101. Markt-Schwaben: Verlag Anton Saurwein.

Ciudad Ruiz, Andrés y M. J. Iglesias Ponce de León

1995 Arqueología del Occidente de Guatemala: Estado Actual y Perspectivas de Futuro. En: *VIII Simposio de Investigaciones Arqueológicas en Guatemala, 1994*, J. P. Laporte y H. Escobedo (eds.), pp. 90–101. Guatemala: Museo Nacional de Arqueología y Etnología / IDAEH.

Clark, John E., M. Tejada Bouscayrol, D. Castillo Valdez, D. Cheetham, D. Nuttall y B. Balcárcel

2001 Prospección Arqueológica de la Cuenca Superior del Río Grijalva en Huehuetenango, Guatemala: Reporte Final de la Temporada 1999, Fundación Arqueológica Nuevo Mundo. Informe presentado a la Dirección del Patrimonio Cultural y Natural de Guatemala y al Departamento de Monumentos Prehispánicos y Coloniales.

Comunidad Lingüística Chuj

2001 *Toponimias Maya Chuj*. Guatemala: Academia de Lenguas Mayas de Guatemala.

Cossich Vielman, Margarita

2009 Haciendo hilo, creando historias: Análisis de los malacates de la Costa Sur y del Sureste de Petén. En: *XXII Simposio de Investigaciones Arqueológicas en Guatemala, 2008*, J. P. Laporte, B. Arroyo, y H. Mejía (eds.), pp. 1062–1077. Guatemala: Museo Nacional de Arqueología y Etnología.

Daltabuit, Magalí y C. Álvarez

1977 La Cerámica de Yalmuz, Chiapas. *Estudios de Cultura Maya* X:231–242.

de Landa, Diego

1997 *Relación de las cosas de Yucatán*. Mérida: Editorial Dante.

de Vos, Jan

1988 *La paz de Dios y del Rey, La conquista de la Selva Lacandona (1525–1821)*. México, D.F.: Donde de Cultura Económica.

Falla, Ricardo

2011 *Negreaba de zopilotes... Masacre y sobrevivencia, Finca San Francisco, Nentón*. Guatemala: AVANCSO.

Forné, Mélanie, S. Alvarado y P. Torres

2011 Cronología cerámica en Cancún: Historia de una ciudad del Clásico Tardío. *Estudios de Cultura Maya* XXXVIII:11–39.

Fuentes y Guzmán, Francisco Antonio

1933 *Recordación Florida*, Biblioteca "Goathemala", vol. III. Guatemala: Sociedad de Geografía e Historia.

Garrido López, Jose Luis

2012a Proyecto Arqueológico de Rescate Caserío Ixquisis, San Mateo Ixtatán, Huehuetenango. Informe final presentado a la Dirección General de Patrimonio Cultural y Natural de Guatemala y al Departamento de Monumentos Prehispánicos y Coloniales.

2012b Proyecto Arqueológico de Rescate Caserío Ixquisis, San Mateo Ixtatán, Huehuetenango, Investigación de los Montículos Identificados como 1 y 2 de Ixquisis, 2da Fase, PARYIX. Informe final presentado a la Dirección General de Patrimonio Cultural y Natural de Guatemala y al Departamento de Monumentos Prehispánicos y Coloniales.

Hatch, Marion Popenoe y D. Castillo

1984 Un método simplificado para la clasificación en arqueología. *Nacxit Revista de estudiantes*, 2da. Época 5:80–91.

Ichon, Alain

1992 *Los Cerritos-Chijoj, La transición Epiclásica en las Tierras Altas de Guatemala*. Guatemala: CEMCA.

Johnston, Kevin J.

2004 Lowland Maya Water Management Practices: The Household Exploitation of Rural Wells. *Geoarchaeology* 19(3):265–292.

Laporte, Juan Pedro

2007 La Cerámica del Sureste de Petén y la aplicación del Sistema Tipo-Variedad. En: *La secuencia cerámica del Sureste de Petén: Tipos, cifras, localidades, y la historia del asentamiento*, Atlas Arqueológico de Guatemala, Monografía 3, pp. 1–27. Guatemala: Instituto de Antropología e Historia. Versión digital.

2008 Humo, Humareda, Humazón: Análisis Regional de los Fragmentos de Incensarios de una amplia zona de Petén. *Utz'ib* 4(4):11–36.

Matarredona Desantes, Nuria

2014 La Arquitectura del Baño de Vapor en la Cultura Maya. *Estudios de Cultura Maya* 44:11–40.

McKee, Brian

1995 La reutilización de materiales arqueológicos en el sitio Cerén, El Salvador. En: *VIII Simposio de Investigaciones Arqueológicas en Guatemala, 1994*, J. P. Laporte y H. Escobedo (eds.), pp. 68–77. Guatemala: Museo Nacional de Arqueología y Etnología.

Navarrete, Carlos

1979 *Esculturas de Chacula, Huehuetenango, Guatemala*, Cuadernos, Serie Antropológica 31. México, D.F.: Instituto de Investigaciones Antropológicas, UNAM.

Piedrasanta Herrera, Ruth

2009 *Los Chuj, Unidad y rupturas en su espacio*. Guatemala: ARMAR Editores.

Recinos, Adrián

1913 *Monografía del Departamento de Huehuetenango*. Guatemala: Tipografía Sánchez & de Guise.

Reina, Ruben E. y R. M. Hill, II

1978 *The Traditional Pottery of Guatemala*. Austin and London: University of Texas Press.

Rice, Prudence

1987 *Pottery Analysis. A sourcebook*. Chicago: The University of Chicago Press.

Rivera, Silvia

2009 Secuencia Cerámica del Período Preclásico del sitio arqueológico San Bartolo, Flores, Peten. Tesis de Licenciatura, Escuela de Historia, Universidad de San Carlos de Guatemala.

Rivero Torres, Sonia E. y U. Chávez Jiménez

2007 Informe de Cerámica presentado para el consejo de Arqueología, Proyecto Arqueológico Lagartero, Trinitaria, Chiapas, Temporada 2007.

Ruppert, Karl

1940 A special assemblage of Maya structures. En: *The Maya and their neighbors*, C. L. Hay, S. K. Lothrop, R. L. Linton, H. L. Shapiro, y G. C. Vaillant (eds.), pp. 222–231. New York: Appleton-Century.

Sabloff, Jeremy y R. E. Smith

1969 The importance of both Analytic and Taxonomic Classification in the Type-Variety System. *American Antiquity* 34(3):278–285.

Satterthwaite, Linton

2005 Sweathouses. En: *Piedras Negras Archaeology, 1931–1939*, J. M. Weeks, J. Hill, y C. Golden (eds.), pp. 241–317. Philadelphia: University of Pennsylvania Museum of Archaeology and Anthropology.

Schwartzkopf, Stacey

2008 *Maya Power and State Culture: Community, Indigenous Politics, and State Formation in Northern Huehuetenango, Guatemala, 1800–1871*. PhD thesis, Tulane University, New Orleans.

Seler, Caecilie

1900 *Auf alten Wegen in Mexico und Guatemala*. Berlin: Dietrich Reimer.

Seler, Eduard

1901 *Die alten Ansiedlungen von Chaculá im Distrikte Nenton des Departements Huehuetenango der Republik Guatemala*. Berlin: Dietrich Reimer.

Smith, Robert, G. R. Wiley y J. Gifford

1960 The Type-Variety concept as a basis for the Analysis of Maya Pottery. *American Antiquity* 25(3):330–340.

Tejada, Mario, J. Clark y B. Balcárcel

2000 Exploraciones arqueológicas de la cuenca superior del río Grijalva en Huehuetenango, Guatemala. En: *XI Simposio de Investigaciones Arqueológicas en Guatemala, 1999*, J. P. Laporte, H. Escobedo, B. Arroyo, y A. C. de Suasnávar (eds.), pp. 705–717. Guatemala: Museo Nacional de Arqueología y Etnología.

Tracey, George

1975 Caving in Guatemala. Huehuetenango. Cueva de los Pájaros (K'en Ch'el). *The Canadian Caver* 7(2):12–14.

Wölfel, Ulrich

2013 Reconocimiento Arqueológico en la Región de Chaculá. En: *Proyecto Arqueológico de la Región de Chaculá, Reporte de las Actividades de Campo de la Temporada 2013*, V. Castillo y U. Wölfel (eds.), pp. 14–56. Guatemala: Informe Presentado al Instituto de Antropología e Historia de Guatemala.